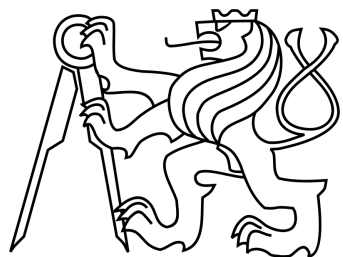


ČESKÉ VYSOKÉ UČENÍ TECHNICKÉ V PRAZE
FAKULTA STAVEBNÍ

KATEDRA OCELOVÝCH A DŘEVĚNÝCH KONSTRUKCÍ



DIPLOMOVÁ PRÁCE

Návrh a posouzení konstrukce lyžařského můstku

Autor: Bc.Dominik Palášthy

Vedoucí práce: doc.Dr.Ing.Jakub Dolejš

Praha,2018

Názov práce: Návrh a posouzení konstrukcie lyžařského můstku

Autor: Bc.Dominik Palášthy

Katedra: Katedra oceľových a drevených konštrukcií

Vedúci bakalárskej práce: doc.Dr.Ing.Jakub Dolejš

e-mail vedúceho: dolejs@fsv.cvut.cz

Abstrakt Predmetom diplomovej práce je návrh a posúdenie nosnej konštrukcie lyžiarskeho mostíka, nachádzajúceho sa na Štrbskom plese. Táto práca obsahuje technickú správu, statický výpočet a výkresovú dokumentáciu. Hlavná oceľová konštrukcia lyžiarskeho mostíku sa skladá z dvoch zakrivených priečadových nosníkov z ocele S355J2, ktoré sú kĺbovo uložené na betónových pätkách. V statickom výpočte sú posúdené všetky hlavné prvky nosnej konštrukcie, vybraných detailov styčníkov a založenia.

Kľúčové slová: oceľ, lyžiarsky mostík, detail styčníku, priečadový nosník, založenie

Title: Design and Check of the Construction of a Ski-Jump

Author: Bc.Dominik Palášthy

Department: Department of Steel and Timber Structures

Supervisor: doc.Dr.Ing.Jakub Dolejš

Supervisor's e-mail address: dolejs@fsv.cvut.cz

Abstract The issue of my thesis is a design and assessment of the construction of a Ski-Jump, situated near from Štrbské Pleso. This work contains technical report, static calculation, drawing documentation. The main steel structure of the Ski-Jump consists of two curved trusses of steel S355J2, which are articulately supported on reinforced concrete foundation. In the static calculation are assessed the main structural elements, selected connections and foundation.

Keywords: steel, Ski-jump, detail of connection, truss, foundation



ČESKÉ VYSOKÉ UČENÍ TECHNICKÉ V PRAZE

Fakulta stavební
Thákurova 7, 166 29 Praha 6

ZADÁNÍ DIPLOMOVÉ PRÁCE

I. OSOBNÍ A STUDIJNÍ ÚDAJE

Příjmení: Bc. Palášthy Jméno: Dominik Osobní číslo: 410784

Zadávající katedra: Katedra ocelových a dřevených konstrukcí

Studijní program: Stavební inženýrství

Studijní obor: Konstrukce a dopravní stavby

II. ÚDAJE K DIPLOMOVÉ PRÁCI

Název diplomové práce: Návrh a posouzení konstrukce lyžařského můstku

Název diplomové práce anglicky: Design and Check of the Construction of a Ski-Jump

Pokyny pro vypracování:

Vypracujte konstrukční návrh a podrobné statické posouzení všech prvků a hlavních detailů. Zpracujte výkresovou dokumentaci (dispoziční výkresy, výkresy detailů na úrovni prováděcího projektu) a technickou zprávu včetně návrhu postupu montáže.

Seznam doporučené literatury:

Předán osobně.

Jméno vedoucího diplomové práce: Doc. Dr. Ing. Jakub Dolejš

Datum zadání diplomové práce: 4.6.2018

Podpis vedoucího práce

Termín odevzdání diplomové práce: 10.9.2018

Údaj uveďte v souladu s datem v časovém plánu příslušného ak. roku

Podpis vedoucího katedry

III. PŘEVZETÍ ZADÁNÍ

Beru na vědomí, že jsem povinen vypracovat diplomovou práci samostatně, bez cizí pomoci, s výjimkou poskytnutých konzultací. Seznam použité literatury, jiných pramenů a jmen konzultantů je nutné uvést v diplomové práci a při citování postupovat v souladu s metodickou příručkou ČVUT „Jak psát vysokoškolské závěrečné práce“ a metodickým pokynem ČVUT „O dodržování etických principů při přípravě vysokoškolských závěrečných prací“.

4.6.2018

Datum převzetí zadání

Podpis studenta(ky)

Tento cestou by som rád podčakoval vedúcomu diplomovej práce pánovi doc.Dr.Ing. Jakubovi Dolejšovi za cenné rady. Takisto chcem podčakovať rodine a priateľom za podporu počas štúdia.

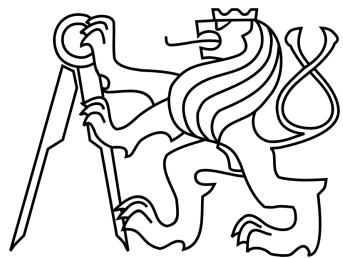
Prehlasujem, že som svoju diplomovú prácu napísal samostatne a výhradne s použitím citovaných prameňov. Súhlasím so zapožičiavaním práce a jej zverejňovaním.

V Prahe dňa 10.09.2018

Dominik Palášthy

ČESKÉ VYSOKÉ UČENÍ TECHNICKÉ V PRAZE
FAKULTA STAVEBNÍ

KATEDRA OCELOVÝCH A DŘEVĚNÝCH KONSTRUKCÍ



STATICKÝ VÝPOČET

OBSAH

Abstrakt	iii
1 Postup návrhu tvaru konštrukcie	1
1.1 Pôvodný návrh - varianta A	1
1.1.1 Úprava varianty A	3
1.1.2 Zhodnotenie	3
1.2 Nový návrh - Varianta B	5
2 Opis konštrukcie a výpočetného modelu	7
2.1 Hlavné nosníky	8
2.2 Dolné a horné stuženie	15
2.3 Horné priečniky	20
2.4 Dolné a horné schodisko	23
2.5 Plošiny	29
2.6 Dráha výťahu	36
2.7 Tuhé väzby	36
2.8 Základy	37
3 Zaťaženie	38
3.1 Stále zaťaženie	38
3.1.1 Vlastná tiah	38
3.1.2 Trapézový plech	38
3.1.3 Zváraný podlahový rošt	39
3.1.4 Zábradlie	40
3.2 Premenlivé zaťaženie	40
3.2.1 Technológie	40
3.2.2 Úžitné	41
3.2.3 Vietor-teória	41
3.2.4 Vietor-výpočet	52
3.2.5 Sneh	66
3.2.6 Teplota	68
3.2.7 Výťah	74
4 Kombinácie zaťaženia	76
4.1 Lineárne kombinácie	77
4.2 Stabilitné kombinácie	77
4.3 Nelineárne kombinácie	77
5 Globálna analýza	90
5.1 Stabilitný výpočet	90

5.2	Výpočet podľa teórie II.rádu	92
5.2.1	Globálna imperfekcia v podobe náklonu	92
5.2.2	Kompletne imperfektná sústava	96
6	Posúdenie jednotlivých prvkov v MSÚ	97
6.1	Hlavný nosník	97
6.1.1	Horný pás - B455(SHS400/22,0)	97
6.1.2	Dolný pás - B403(SHS450/32,0)	99
6.1.3	Zvislica - B416(SHS300/10,0)	102
6.1.4	Diagonálna - B426(SHS250/12,5)	105
6.2	Dolné stuženie	107
6.2.1	Diagonálna - B481(SHS250/12,5)	107
6.2.2	Priečnik - B401(SHS250/10,0)	109
6.3	Horné stuženie	111
6.3.1	Diagonálna - B585(SHS200/10,0)	111
6.3.2	Priečnik - B916(SHS300/16,0)	111
6.4	Dolné schody	115
6.4.1	Tiahlo B918(CFCHS88,9/5,0)	117
6.4.2	Priečne stuženie B903(IPE120)	118
6.4.3	Pozdĺžnik - B295(UPN140)	119
6.4.4	Nosník-B267(J200/100/6,0)	120
6.4.5	Pozdĺžnik - B149(UPN140)	120
6.5	Horné schody	123
6.5.1	Nosník B791(J180/100/6,0)	125
6.5.2	Nosník - B69(UPE200)	127
6.6	Horná plošina HP 3	127
6.6.1	Nosník B543(HEA300)	129
6.6.2	Nosník B550(IPE270)	132
6.6.3	Nosník B545(J250/150/5,0)	134
6.7	Horná plošina HP 2	135
6.7.1	Nosník B538(J300/200/8,0)	137
6.7.2	Nosník B282(J250/150/6,0)	138
6.7.3	Nosník B702(IPE240)	139
6.8	Horná plošina HP 1	139
6.8.1	Nosník B698(IPE220)	141
6.8.2	Tiahlo B846(CHS48,3/3,2)	141
6.8.3	Nosník B825(J180/100/6,0)	142
6.8.4	Priečnik B810(HEA220)	143
6.8.5	Stuženie B847(L63/5,0)	146
6.9	Schody/plošina	147
6.9.1	Schody B271(UPE200)	148
6.9.2	Stuženie B1050(L100/8,0)	151
6.10	Posúdenie trapézových plechov	152
6.10.1	Prípad 1	152
6.10.2	Prípad 2	153
7	Posúdenie v MSP	155
8	Posúdenie detailov	167
8.1	Styčníky priečradového nosníku	167
8.2	Čapový spoj-dolné schody	167
8.3	Pripojenie UPN140 na RHS300/16,0	168

8.4	Posúdenie uloženia konštrukcie	171
8.4.1	DET.Z1	171
8.4.2	DET.Z2	175
9	Záver	179
Literatúra		183

KAPITOLA
PRVÁ

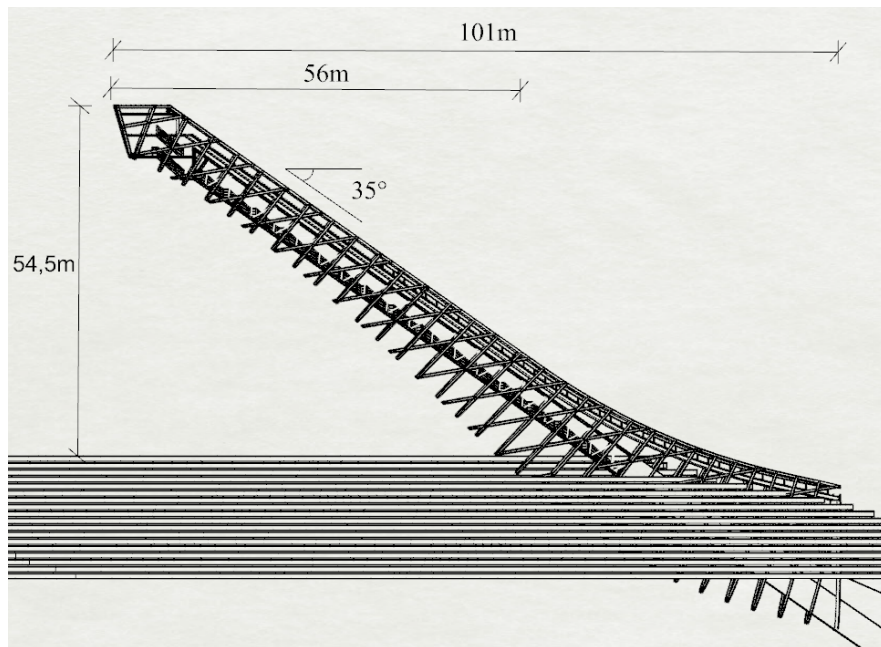
POSTUP NÁVRHU TVARU KONŠTRUKCIE

Návrh konštrukcie je iteračný proces, kedy v našom prípade bol východiskovým bodom tvar z diplomovej práce, spomínaného architekta v úvode technickej správy.

V tejto kapitole nebudeme zachádzať do podrobností, kedže čitateľovi chceme iba nastieriť, ako sme postupovali pri hľadaní výsledného tvaru.

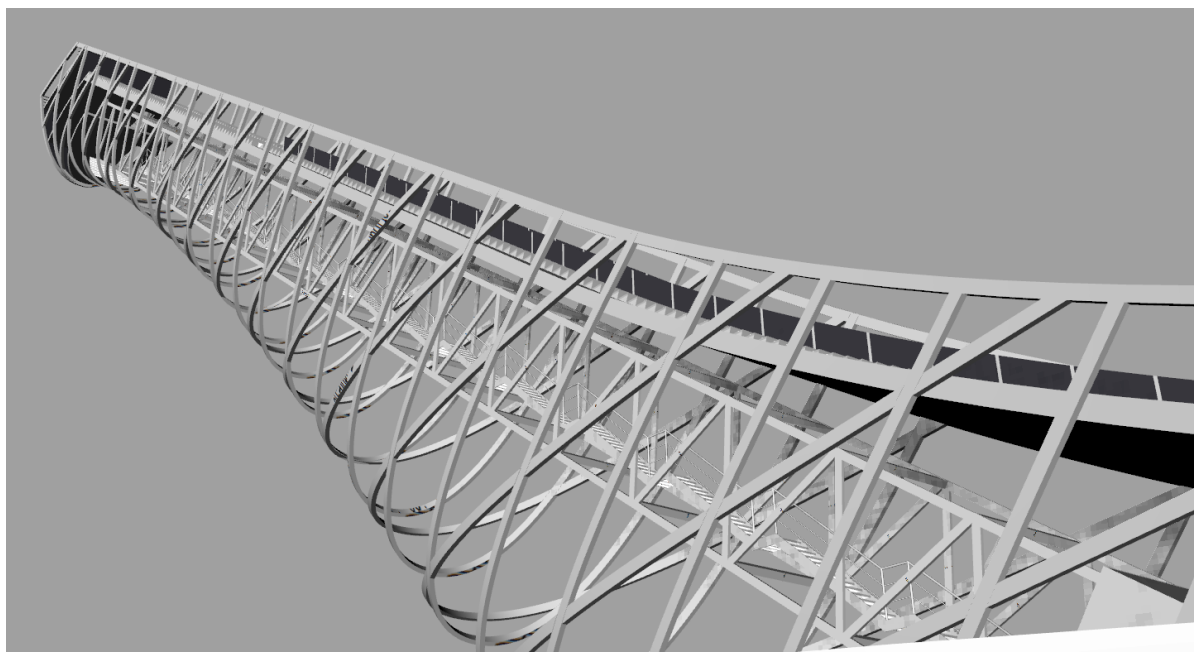
1.1 Pôvodný návrh - varianta A

Konštrukcia sa skladá z priestorovo zakrivených, navzájom krížených prútov, ktoré pripomínajú tvar písmena U. Ako je vidieť z priložených obrázkov v kapitole 1.1, vo vnútri tejto konštrukcie sa nachádza ešte dvojica priečadových nosníkov, medzi ktorými je uložené schodisko.

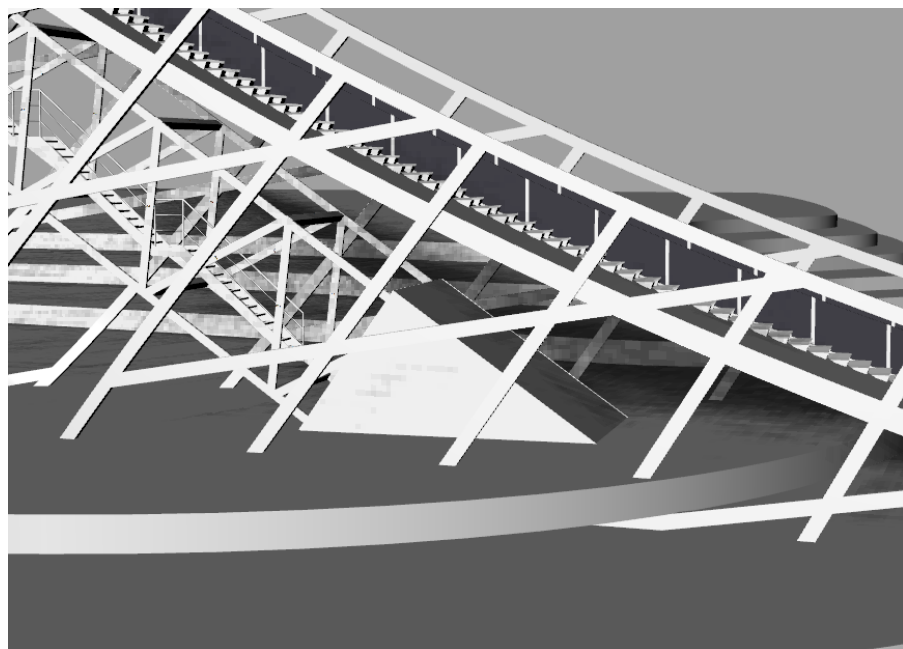


Obr. 1.1: Pohľad na pôvodný návrh

V oblasti základov vyúsťuje kolektor z príľahlého hotelu.



Obr. 1.2: 3D pohľad



Obr. 1.3: Vyústenie výťahu

Vzhľadom nato, že sklony, ako aj celkové rozmery boli prebraté od architekta, nebudeme sa venovať výpočtu geometrie podľa medzinárodnej lyžiarskej federácie FIS.

1.1.1 Úprava varianty A

Na prvý pohľad je zrejmé, že v pôvodnej variante A chýba spodný pás, ktorý slúži k prenosu tlakových síl. Taktiež chýba vodorovné stuženie, ktoré bude preberať zaťaženie od vetra a dodávať určitú tuhosť konštrukcii. Ďalší faktor, ktorý hrá veľkú rolu je vlastná hmotnosť, ktorá sa javí byť pomerne veľká vzhľadom na veľké množstvo prútov. Dodatočná priečadlová konštrukcia, ktorá nesie schodisko vo vnútri len potvrdzuje naše domnenky. Tvar sa nám nejaví byť vhodný, pretože v oblasti horných pásníc je konštrukcia najširšia a naopak dole je najužšia, čo zväčšuje nestabilitu konštrukcie.

Požiadavky na konštrukciu:

- štíhllosť
- nízka hmotnosť
- tuhosť
- spoľahlivosť
- hospodárnosť

V programe SCIA ENGINEER 15.3.120 bol vytvorený prútový model tejto konštrukcie. Presnosť vytvoreného modelu odpovedá jeho účelu. Chceli sme zistiť, či má zmysel sa zapodievať týmto tvarom ďalej. Zapracované zmeny v konštrukcii sú nasledovné:

- doplnenie spodného pásu
- doplnenie priečnikov
- odstránenie vnútornej priečadlovej konštrukcie
- vodorovné stuženie
- ukončenie mostíka v mieste vyústenia výťahu
- podpory sa v tejto fáze uvažujú pevné klbové v najnižšom mieste spodného ako aj horného pásu

Na priloženom obrázku 1.5 je názorne ukázané červenou farbou, ktorá časť sa odstráni a modrou farbou je vyznačený pridaný spodný pás. Žltá farba znázorňuje roviny stuženia. Rozmery odpovedajú obrázku 1.1.

Pôvodné krivky boli aproximované polygónmi. Styčníky hlavnej nosnej konštrukcie sú tuhé. Stuženie a priečniky sú klbovo pripojené ku HNK.

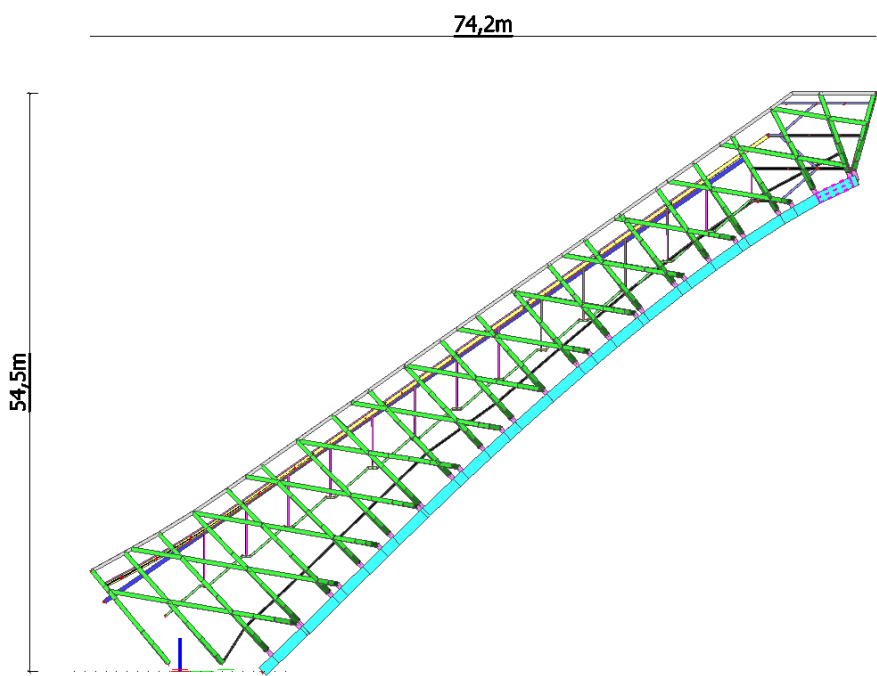
Je nutné dodať, že zatiaľ nebudeme vysvetľovať výpočet zaťaženia. Takisto sa nebudeme podrobnejšie venovať opisu statického modelu. Dôvod spočíva v tom, že všetko je podrobne vysvetlené pre finálny model. Postupy boli aplikované rovnaké a teda si čitateľ dokáže spraviť ľahko predstavu o zaťažení a tvorbe modelu aj v tomto prípade. Základné profili použité vo variante A sú na obrázku 1.6.

1.1.2 Zhodnotenie

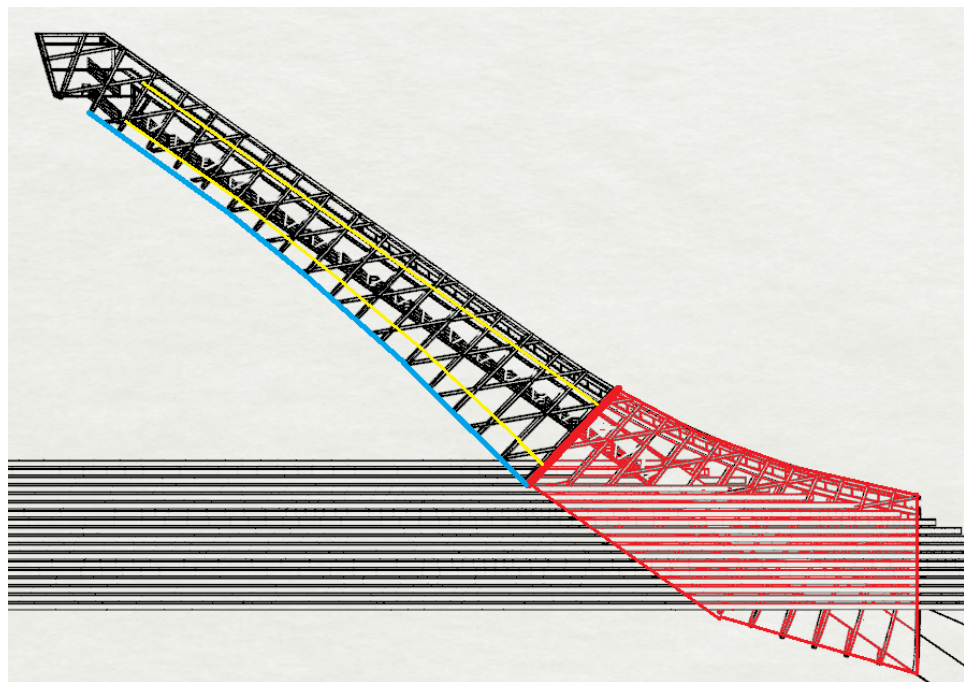
Daná konštrukcia(varianta A) po zapracovaní zmien vykazuje stále nadmieru veľké deformácie. Maximálny zvislý posun činí pri lineárnom výpočte cca. 344mm. Maximálna veľkosť zvislého posunu bola po dohode s vedúcim práce stanovená ako L/300, kde L je dĺžka konzoly. V našom prípade uvažujeme $\approx 300\text{mm}$.

Predbežná hmotnosť konštrukcie bez zohľadnenia trapézových plechov, pororošťov, zábradlia ap. činí 320ton.

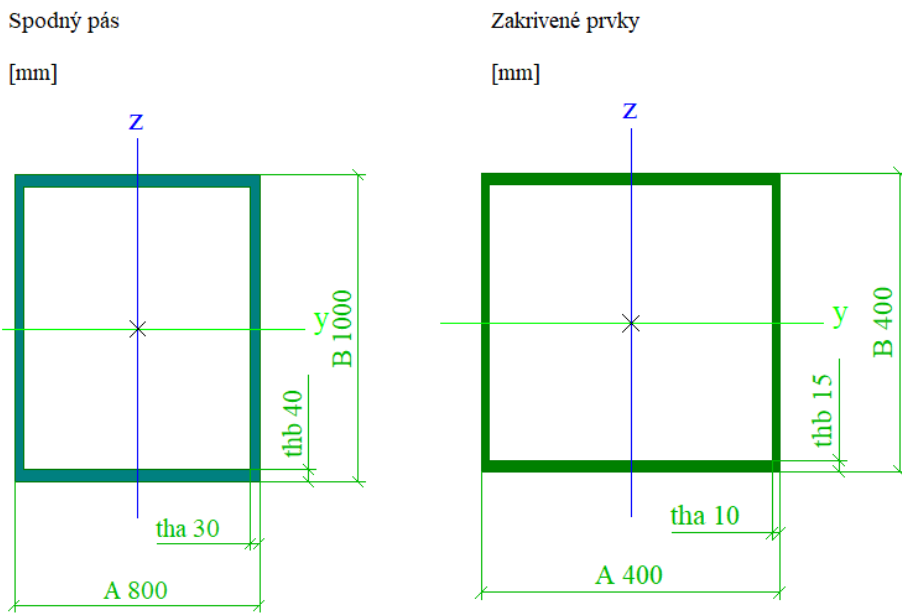
Vzhľadom na uvedené fakty z predbežnej analýzi vylučujeme túto variantu ako vhodnú pre sko-kanský mostík.



Obr. 1.4: Statický model



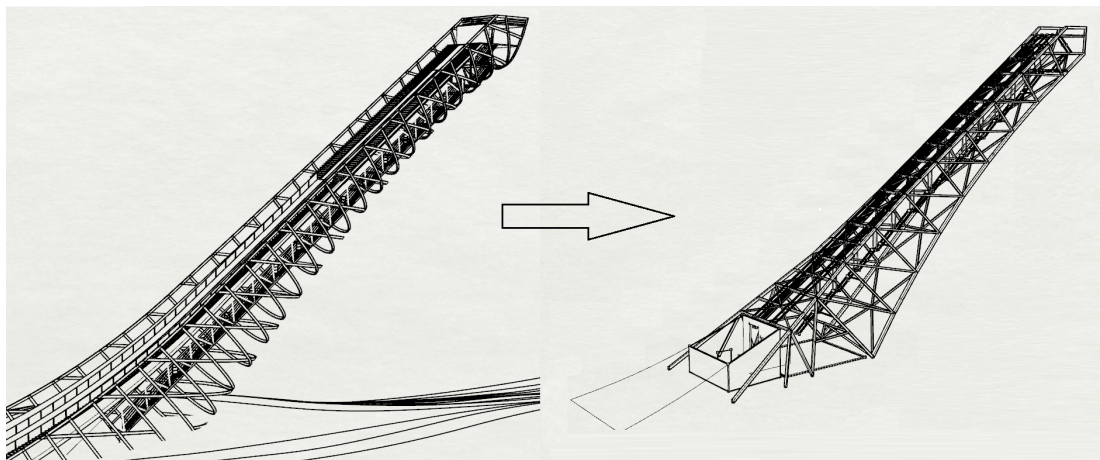
Obr. 1.5: Znázornenie zmien v pôvodnom návrhu



Obr. 1.6: Základné profily-V.A

1.2 Nový návrh - Varianta B

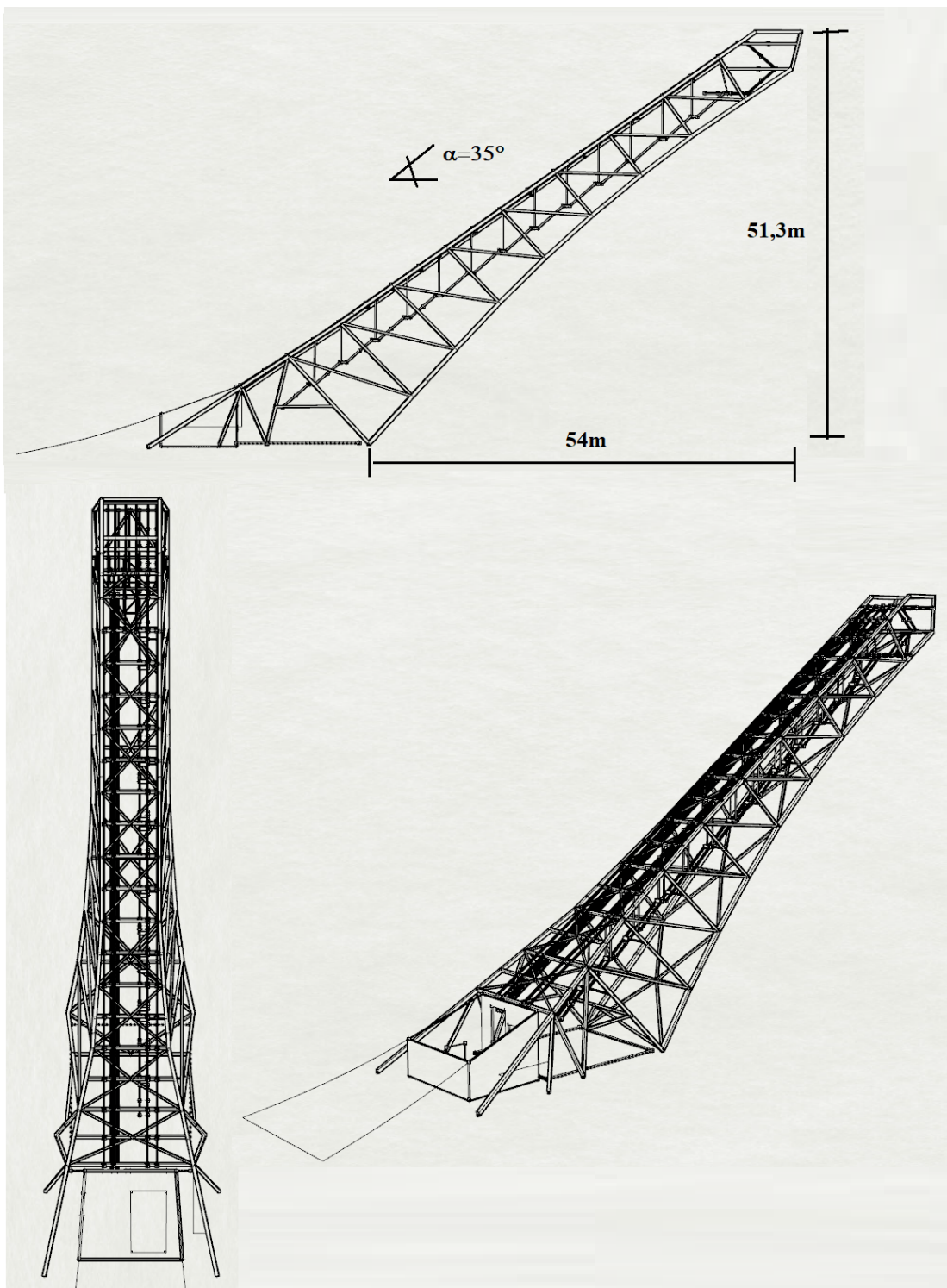
Ďalej sme postupovali tak, že sme navrhli novú konštrukciu mostíka, avšak s prihliadnutím nato, aby sa dodržala stanovená geometria. Obrázok 2.10 konfrontuje pôvodny návrh s nami stanoveným finálnym



Obr. 1.7: Pôvodný verzus finálny tvar

tvarom.

Finálny tvar mostíka je zakrivený v dvoch na seba kolmých rovinách, čo je dobre vidieť z obrázku 1.8. Na tomto mieste už nebudeme uvádzat viac podrobností k výslednému tvaru. V ďalších častiach sa budeme venovať už len tejto finálnej verzii.

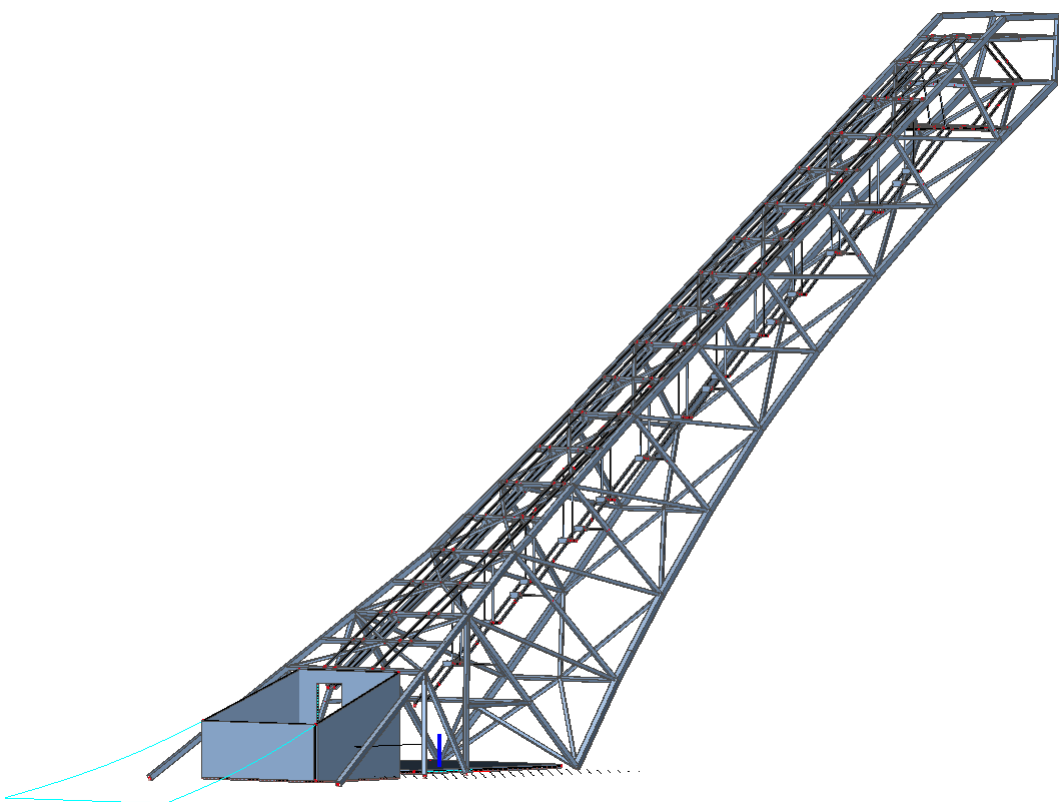


Obr. 1.8: Finálny tvar mostíka

KAPITOLA
DRUHÁ

OPIS KONŠTRUKCIE A VÝPOČETNÉHO MODELU

V rámci tejto kapitoly sa zoznámime podrobne so samotnou konštrukciou a popíšeme si statický model. Ako je vidieť na obrázku 1.8, hlavný nosný prvok mostíka tvorí dvojica zakrivených priehradových nosní-



Obr. 2.1: 3D model v SCII

kov. Spolu s dolným a horným stužením to pripomína komorový prierez. Dolné stuženie tvoria diagonály, ktoré sú vždy v mieste vzájomného kríženia prepojené pomocou priečnikov. Priečniky tiež pomáhaju stabilizovať tlakovo namáhaný spodný pás hlavných nosníkov. Horné stuženie je tvorené diagonálami, ktorých hlavnou úlohou je zabezpečiť priestorovú tuhosť. Plocha kadiaľ budú jazdiť lyžiari a chodiť ľudia je vytvorená pomocou horných priečnikov, ktoré sú umiestnené vždy v styčníkoch horného pásu hlavného

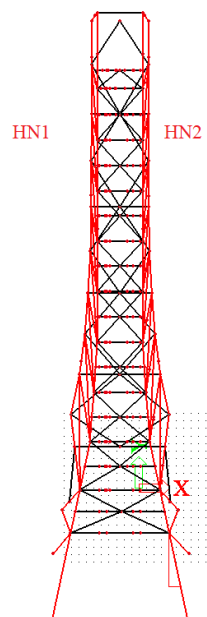
nosníka a takisto v ich polovičnej vzdialosti medzi sebou. Na týchto priečnikoch je potom umiestnený trapézový plech. Na horných pásniciach sú umiestnené nosníky, ktoré tvoria schodisko a na tomto mieste je trapézový plech vždy ukončený. Mostík umožňuje 2 typy prepravy. Buď pomocou zavesených schodov alebo šikmeho výťahu. Vnútorné schody vysia na tiahľach, ktoré sú na začiatku schodiska pripojené k horným priečnikom a neskôr k pozdĺžnikom, ktoré boli z tohto dôvodu pridané. Medzi nosníkmi schodiska sú navrhnuté schodiskové stupne z pororoštu. Aby sme zabezpečili to, že nám schodisko nevybočí, upevnilí sme ho do zvýšenia hlavného nosníka. Jazdná dráha výťahu je tvorená dvojicou pozdĺžnikov, ktoré sú pripojené k spodnej pásnici horných priečnikov. Na vrchu mostíka sa nachádzajú 3 plošiny, na ktorých je umiestnená pochôdzna plocha z pororoštu. Zábradlie v miestach schodísk, ako aj na plošinách sa uvažuje z plného profilu, čiže prieplustnosť je 0. Čitateľa upozorňujem nato, že v tejto variante nebolo uvažované opláštenie mostíka.

Výpočetný model

Celý výpočet mostíka je vyhotovený v zmysle platných európskych noriem. Výpočetný model bol vytvorený v programe Scia Engineer 15.3.120, ako priestorový prútový model. Je zložený z prútov, ktoré reprezentujú jednotlivé konštrukčné prvky.

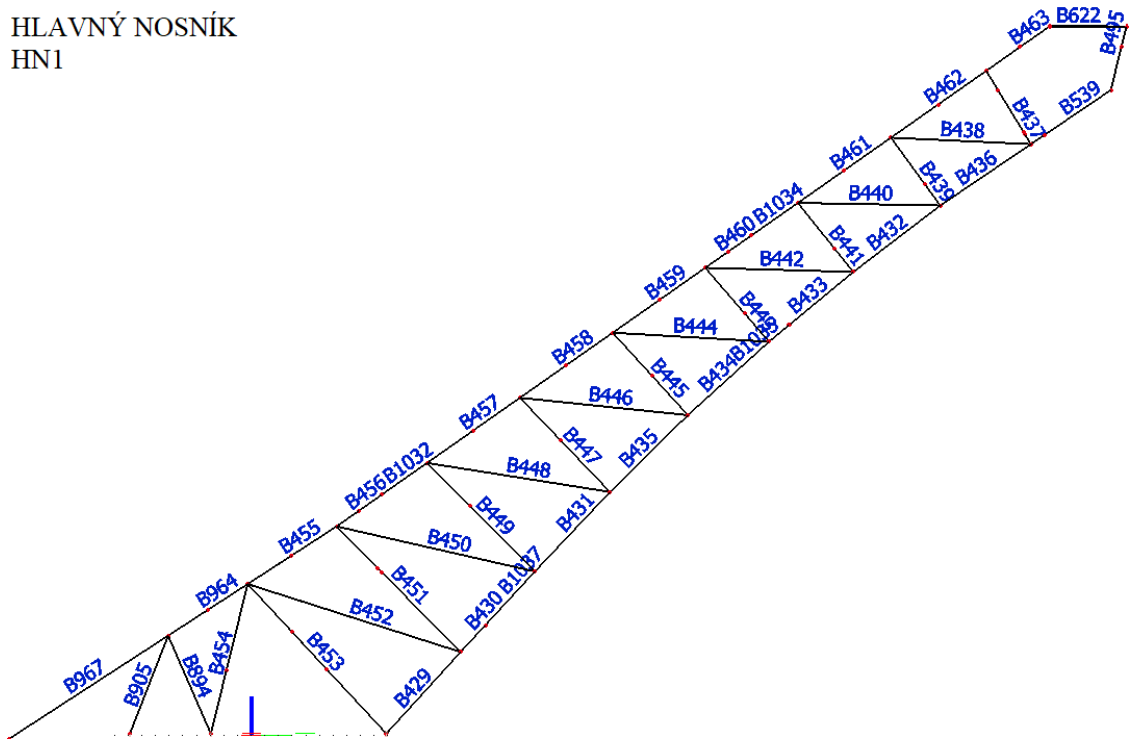
2.1 Hlavné nosníky

Nosníky sú navrhnuté z pravouhlých dutých prierezov, ktoré sme sa rozhodli navzájom zvariť, aby boli hermeticky uzavreté a teda zamedzili vzniku korózii vo vnútri, ktorá by sa inak len ľahko dala kontrolovať. Z pohľadu statiky sú teda styčníky tuhé a prenášajú aj momenty. Označenie jednotlivých prvkov, ako aj priradenie prierezov k prvkom nájdete na nasledujúcich stranách.

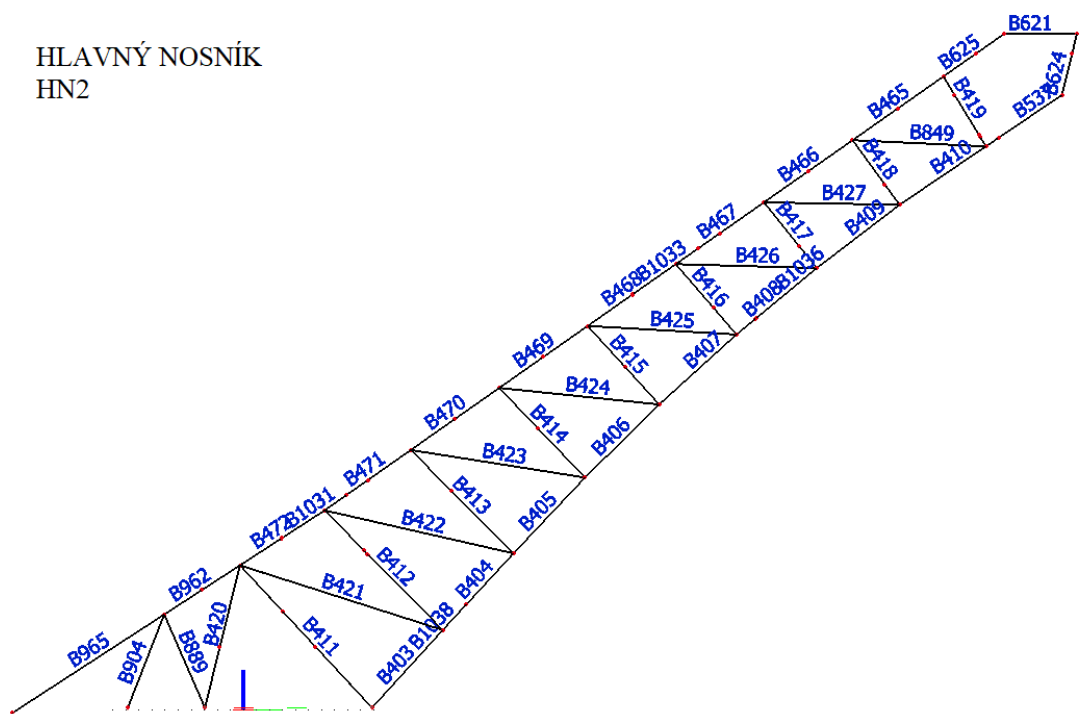


Obr. 2.2: Označenie hlavných nosníkov

HLAVNÝ NOSNÍK
HN1



HLAVNÝ NOSNÍK HN2



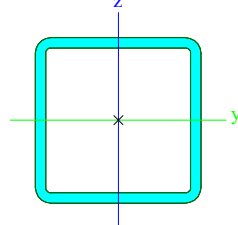
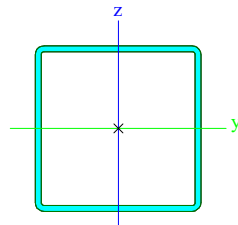
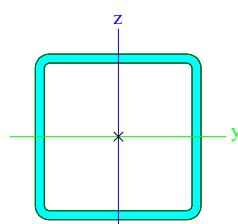
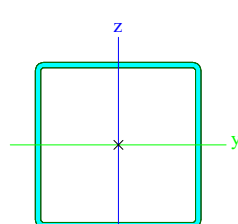
Obr. 2.3: Názvy prvkov jednotlivých nosníkov

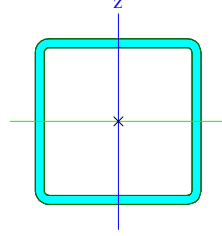
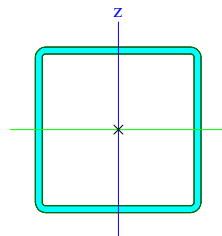
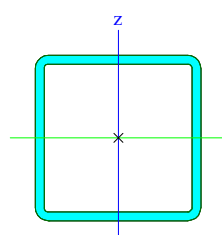
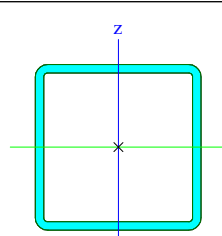
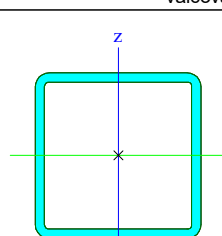
1. Prut

Jméno	Průřez	Materiál
B403	dolny_pas4 - SHS450/450/32.0	S 355
B404	dolny_pas4 - SHS450/450/32.0	S 355
B405	dolny_pas1 - SHS450/450/28.0	S 355
B406	dolny_pas1 - SHS450/450/28.0	S 355
B407	dolny_pas3 - SHS450/450/25.0	S 355
B408	dolny_pas3 - SHS450/450/25.0	S 355
B409	dolny_pas3 - SHS450/450/25.0	S 355
B410	dolny_pas2 - SHS450/450/16.0	S 355
B411	zvyslica2 - SHS350/350/19.0	S 355
B412	zvyslica6 - SHS300/300/16.0	S 355
B413	zvyslica6 - SHS300/300/16.0	S 355
B414	zvyslica6 - SHS300/300/16.0	S 355
B415	zvyslica6 - SHS300/300/16.0	S 355
B416	zvyslica1 - SHS300/300/10.0	S 355
B417	zvyslica1 - SHS300/300/10.0	S 355
B418	zvyslica1 - SHS300/300/10.0	S 355
B419	zvyslica4 - SHS300/300/16.0	S 355
B420	zvyslica4 - SHS300/300/16.0	S 355
B421	diagonaly2 - SHS250/250/16.0	S 355
B422	diagonaly1 - SHS250/250/12.5	S 355
B423	diagonaly1 - SHS250/250/12.5	S 355
B424	diagonaly1 - SHS250/250/12.5	S 355
B425	diagonaly1 - SHS250/250/12.5	S 355
B426	diagonaly1 - SHS250/250/12.5	S 355
B427	diagonaly1 - SHS250/250/12.5	S 355
B429	dolny_pas4 - SHS450/450/32.0	S 355
B430	dolny_pas4 - SHS450/450/32.0	S 355
B431	dolny_pas1 - SHS450/450/28.0	S 355
B432	dolny_pas3 - SHS450/450/25.0	S 355
B433	dolny_pas3 - SHS450/450/25.0	S 355
B434	dolny_pas3 - SHS450/450/25.0	S 355
B435	dolny_pas1 - SHS450/450/28.0	S 355
B436	dolny_pas2 - SHS450/450/16.0	S 355
B437	zvyslica4 - SHS300/300/16.0	S 355
B438	diagonaly1 - SHS250/250/12.5	S 355
B439	zvyslica1 - SHS300/300/10.0	S 355
B440	diagonaly1 - SHS250/250/12.5	S 355
B441	zvyslica1 - SHS300/300/10.0	S 355
B442	diagonaly1 - SHS250/250/12.5	S 355
B443	zvyslica1 - SHS300/300/10.0	S 355
B444	diagonaly1 - SHS250/250/12.5	S 355
B445	zvyslica6 - SHS300/300/16.0	S 355
B446	diagonaly1 - SHS250/250/12.5	S 355
B447	zvyslica6 - SHS300/300/16.0	S 355
B448	diagonaly1 - SHS250/250/12.5	S 355
B449	zvyslica6 - SHS300/300/16.0	S 355
B450	diagonaly1 - SHS250/250/12.5	S 355
B451	zvyslica6 - SHS300/300/16.0	S 355
B452	diagonaly2 - SHS250/250/16.0	S 355
B453	zvyslica2 - SHS350/350/19.0	S 355
B454	zvyslica4 - SHS300/300/16.0	S 355
B455	horny_pas3 - SHS400/400/22.0	S 355
B456	horny_pas1 - SHS400/400/22.0	S 355
B457	horny_pas1 - SHS400/400/22.0	S 355
B458	horny_pas1 - SHS400/400/22.0	S 355
B459	fake_ - SHS400/400/22.0	S 355
B460	horny_pas2 - SHS400/400/12.5	S 355
B461	horny_pas2 - SHS400/400/12.5	S 355
B462	horny_pas2 - SHS400/400/12.5	S 355
B463	horny_pas2 - SHS400/400/12.5	S 355
B465	horny_pas2 - SHS400/400/12.5	S 355
B466	horny_pas2 - SHS400/400/12.5	S 355
B467	horny_pas2 - SHS400/400/12.5	S 355
B468	horny_pas1 - SHS400/400/22.0	S 355
B469	horny_pas1 - SHS400/400/22.0	S 355
B470	horny_pas1 - SHS400/400/22.0	S 355
B471	horny_pas1 - SHS400/400/22.0	S 355
B472	horny_pas3 - SHS400/400/22.0	S 355
B495	zvyslica1 - SHS300/300/10.0	S 355
B537	dolny_pas2 - SHS450/450/16.0	S 355

Jméno	Průřez	Materiál
B539	dolny_pas2 - SHS450/450/16.0	S 355
B621	horny_pas2 - SHS400/400/12.5	S 355
B622	horny_pas2 - SHS400/400/12.5	S 355
B624	zvyslica1 - SHS300/300/10.0	S 355
B625	horny_pas2 - SHS400/400/12.5	S 355
B849	diagonaly1 - SHS250/250/12.5	S 355
B889	zvyslica3 - SHS300/300/12.5	S 355
B894	zvyslica3 - SHS300/300/12.5	S 355
B904	zvyslica1 - SHS300/300/10.0	S 355
B905	zvyslica1 - SHS300/300/10.0	S 355
B962	horny_pas3 - SHS400/400/22.0	S 355
B964	horny_pas3 - SHS400/400/22.0	S 355
B965	horny_pas3 - SHS400/400/22.0	S 355
B967	horny_pas3 - SHS400/400/22.0	S 355
B1031	horny_pas1 - SHS400/400/22.0	S 355
B1032	horny_pas1 - SHS400/400/22.0	S 355
B1033	horny_pas2 - SHS400/400/12.5	S 355
B1034	horny_pas2 - SHS400/400/12.5	S 355
B1035	dolny_pas3 - SHS450/450/25.0	S 355
B1036	dolny_pas3 - SHS450/450/25.0	S 355
B1037	dolny_pas4 - SHS450/450/32.0	S 355
B1038	dolny_pas4 - SHS450/450/32.0	S 355

Průřezy

Jméno	dolny_pas1
Typ	SHS450/450/28.0
Zdroj hodnot	British Standard / BS 5950 part 1 : 1990 & EN 10210-2
Výroba	válcovaný
Obrázek	
Jméno	dolny_pas2
Typ	SHS450/450/16.0
Zdroj hodnot	British Standard / BS 5950 part 1 : 1990 & EN 10210-2
Výroba	válcovaný
Obrázek	
Jméno	horny_pas1
Typ	SHS400/400/22.0
Zdroj hodnot	British Standard / BS 5950 part 1 : 1990 & EN 10210-2
Výroba	válcovaný
Obrázek	
Jméno	zvyslica1
Typ	SHS300/300/10.0
Zdroj hodnot	British Standard / BS 5950 part 1 : 1990 & EN 10210-2
Výroba	válcovaný
Obrázek	
Jméno	zvyslica2
Typ	SHS350/350/19.0
Zdroj hodnot	British Standard / BS 5950 part 1 : 1990 & EN 10210-2
Výroba	válcovaný

Obrázek	
Jméno	zvyslica3
Typ	SHS300/300/12.5
Zdroj hodnot	British Standard / BS 5950 part 1 : 1990 & EN 10210-2
Výroba	válcovaný
Obrázek	
Jméno	zvyslica4
Typ	SHS300/300/16.0
Zdroj hodnot	British Standard / BS 5950 part 1 : 1990 & EN 10210-2
Výroba	válcovaný
Obrázek	
Jméno	diagonaly1
Typ	SHS250/250/12.5
Zdroj hodnot	British Standard / BS 5950 part 1 : 1990 & EN 10210-2
Výroba	válcovaný
Obrázek	
Jméno	dolny_pas3
Typ	SHS450/450/25.0
Zdroj hodnot	British Standard / BS 5950 part 1 : 1990 & EN 10210-2
Výroba	válcovaný
Obrázek	
Jméno	horny_pas2

Typ	SHS400/400/12.5
Zdroj hodnot	British Standard / BS 5950 part 1 : 1990 & EN 10210-2
Výroba	válcovaný
Obrázek	
Jméno	dolny_pas4
Typ	SHS450/450/32.0
Zdroj hodnot	British Standard / BS 5950 part 1 : 1990 & EN 10210-2
Výroba	válcovaný
Obrázek	
Jméno	diagonaly2
Typ	SHS250/250/16.0
Zdroj hodnot	British Standard / BS 5950 part 1 : 1990 & EN 10210-2
Výroba	válcovaný
Obrázek	

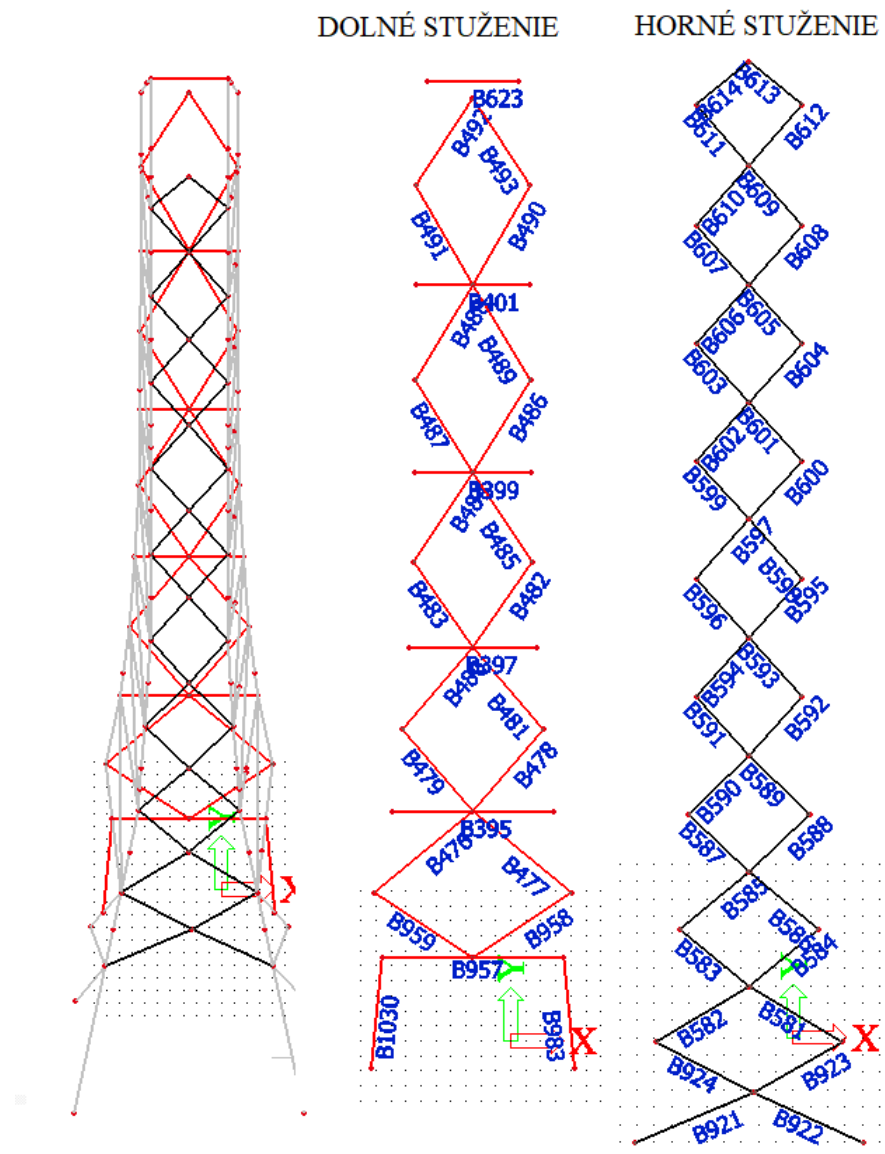
2.2 Dolné a horné stuženie

Jednotlivé prvky sú vytvorené z pravouhlých dutých profilov. Všetky prúty okrem priečnikov sú kĺbovo uložené pomocou navarených platní, ktoré sa navzájom spoja šroubmi. Konce prútov budú opatrené privarenou čelnou doskou, aby sa zamedzilo vnikaniu vody, ako aj vlhkosti do vnútra profilu.

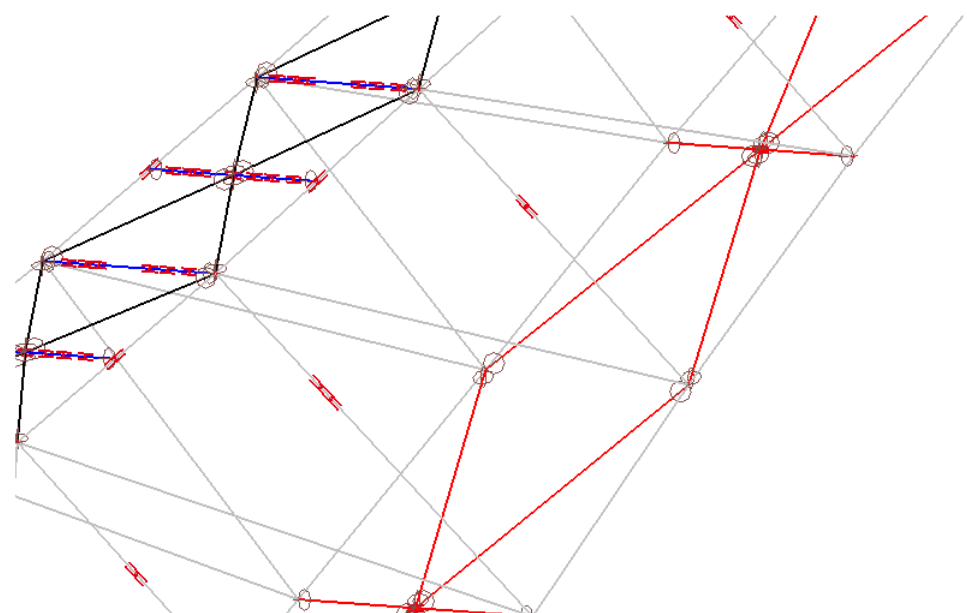
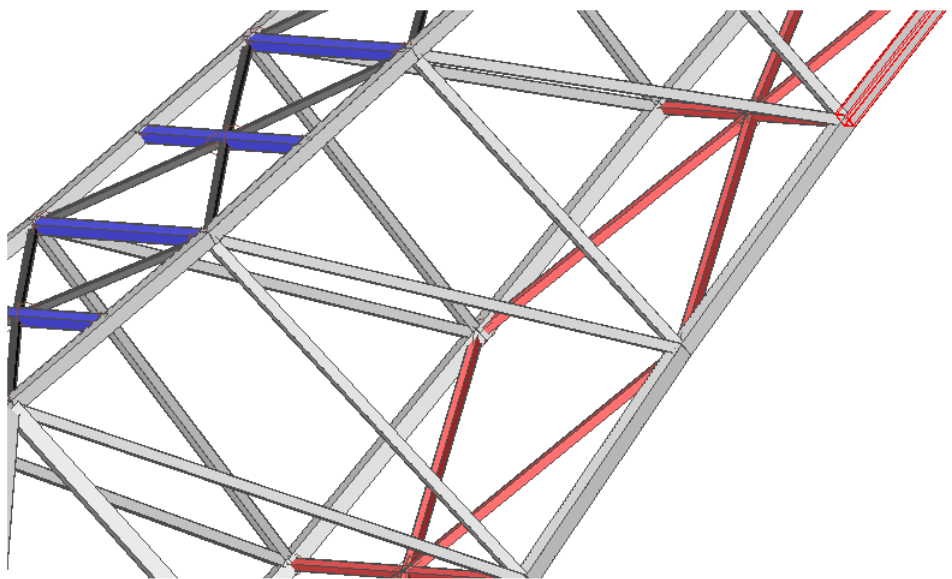
Spodné stuženie je v úrovni spodných pásov. Horné stužene je umiestnené v rovine horných pásov, vždy diagonálne medzi jednotlivými priečnikmi.

Spodný/horný priečnik je privarený k spodným/horným pásniciam hlavných nosníkov.

Označenie jednotlivých prvkov, ako aj priradenie prierezov k prvkom nájdete na nasledujúcich stranách.



Obr. 2.4: Označenie a názvy prvkov stuženia

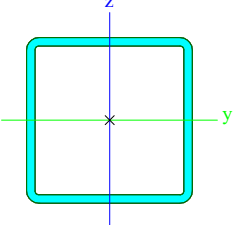
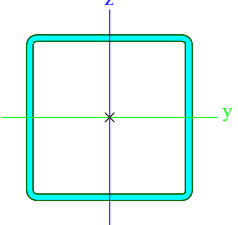
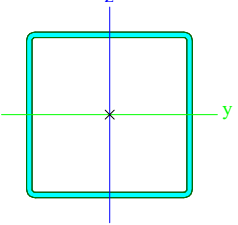
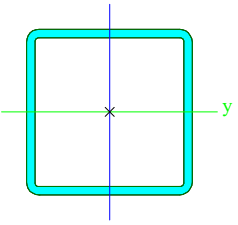


Obr. 2.5: Statický model-ukážka

Jméno	Průřez	Materiál	Délka [mm]
B395	stuzenie_D_1 - SHS250/250/12.5	S 355	10853,340
B397	stuzenie_D_2 - SHS250/250/10.0	S 355	8580,772
B399	stuzenie_D_2 - SHS250/250/10.0	S 355	7761,921
B401	stuzenie_D_2 - SHS250/250/10.0	S 355	7660,395
B476	stuzenie_D_1 - SHS250/250/12.5	S 355	10408,388
B477	stuzenie_D_1 - SHS250/250/12.5	S 355	10408,386
B478	stuzenie_D_1 - SHS250/250/12.5	S 355	9289,073
B479	stuzenie_D_1 - SHS250/250/12.5	S 355	9290,008
B480	stuzenie_D_1 - SHS250/250/12.5	S 355	9278,020
B481	stuzenie_D_1 - SHS250/250/12.5	S 355	9277,020
B482	stuzenie_D_1 - SHS250/250/12.5	S 355	8922,000
B483	stuzenie_D_1 - SHS250/250/12.5	S 355	8921,972
B484	stuzenie_D_1 - SHS250/250/12.5	S 355	8922,662
B485	stuzenie_D_1 - SHS250/250/12.5	S 355	8922,635
B486	stuzenie_D_1 - SHS250/250/12.5	S 355	8878,149
B487	stuzenie_D_1 - SHS250/250/12.5	S 355	8878,120
B488	stuzenie_D_1 - SHS250/250/12.5	S 355	8877,172
B489	stuzenie_D_1 - SHS250/250/12.5	S 355	8877,146
B490	stuzenie_D_1 - SHS250/250/12.5	S 355	8869,588
B491	stuzenie_D_1 - SHS250/250/12.5	S 355	8869,559
B492	stuzenie_D_1 - SHS250/250/12.5	S 355	8021,647
B493	stuzenie_D_1 - SHS250/250/12.5	S 355	8021,224
B581	stuzenie_H_1 - SHS200/200/10.0	S 355	6606,403
B582	stuzenie_H_1 - SHS200/200/10.0	S 355	6605,631
B583	stuzenie_H_1 - SHS200/200/10.0	S 355	5594,816
B584	stuzenie_H_1 - SHS200/200/10.0	S 355	5594,702
B585	stuzenie_H_1 - SHS200/200/10.0	S 355	5682,672
B586	stuzenie_H_1 - SHS200/200/10.0	S 355	5683,324
B587	stuzenie_H_1 - SHS200/200/10.0	S 355	5338,510
B588	stuzenie_H_1 - SHS200/200/10.0	S 355	5337,916
B589	stuzenie_H_1 - SHS200/200/10.0	S 355	5421,205
B590	stuzenie_H_1 - SHS200/200/10.0	S 355	5421,801
B591	stuzenie_H_1 - SHS200/200/10.0	S 355	5155,843
B592	stuzenie_H_1 - SHS200/200/10.0	S 355	5156,392
B593	stuzenie_H_1 - SHS200/200/10.0	S 355	5153,398
B594	stuzenie_H_1 - SHS200/200/10.0	S 355	5153,380
B595	stuzenie_H_1 -	S 355	5153,381

Jméno	Průřez	Materiál	Délka [mm]
	SHS200/200/10.0		
B596	stuzenie_H_1 - SHS200/200/10.0	S 355	5153,396
B597	stuzenie_H_1 - SHS200/200/10.0	S 355	5201,938
B598	stuzenie_H_1 - SHS200/200/10.0	S 355	5201,953
B599	stuzenie_H_1 - SHS200/200/10.0	S 355	5084,183
B600	stuzenie_H_1 - SHS200/200/10.0	S 355	5084,168
B601	stuzenie_H_1 - SHS200/200/10.0	S 355	5140,265
B602	stuzenie_H_1 - SHS200/200/10.0	S 355	5140,336
B603	stuzenie_H_1 - SHS200/200/10.0	S 355	5146,793
B604	stuzenie_H_1 - SHS200/200/10.0	S 355	5146,013
B605	stuzenie_H_1 - SHS200/200/10.0	S 355	5154,335
B606	stuzenie_H_1 - SHS200/200/10.0	S 355	5153,640
B607	stuzenie_H_1 - SHS200/200/10.0	S 355	5172,641
B608	stuzenie_H_1 - SHS200/200/10.0	S 355	5172,626
B609	stuzenie_H_1 - SHS200/200/10.0	S 355	5210,735
B610	stuzenie_H_1 - SHS200/200/10.0	S 355	5210,720
B611	stuzenie_H_1 - SHS200/200/10.0	S 355	5273,660
B612	stuzenie_H_1 - SHS200/200/10.0	S 355	5273,643
B613	stuzenie_H_1 - SHS200/200/10.0	S 355	4310,501
B614	stuzenie_H_1 - SHS200/200/10.0	S 355	4310,487
B623	stuzenie_D_3 - SHS300/300/10.0	S 355	6123,170
B921	stuzenie_H_1 - SHS200/200/10.0	S 355	7696,891
B922	stuzenie_H_1 - SHS200/200/10.0	S 355	7250,629
B923	stuzenie_H_1 - SHS200/200/10.0	S 355	6190,704
B924	stuzenie_H_1 - SHS200/200/10.0	S 355	6614,839
B957	stuzenie_D_1 - SHS250/250/12.5	S 355	12135,348
B958	stuzenie_D_1 - SHS250/250/12.5	S 355	9173,215
B959	stuzenie_D_1 - SHS250/250/12.5	S 355	9173,279
B983	stuzenie_D_1 - SHS250/250/12.5	S 355	7387,138
B1030	stuzenie_D_1 - SHS250/250/12.5	S 355	7387,133

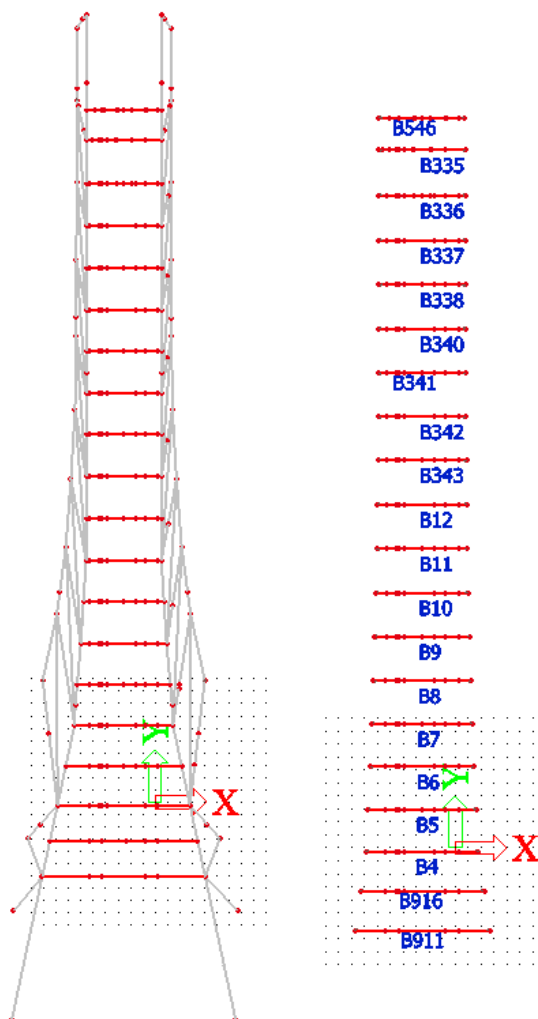
Průřezy

Jméno	stuzenie_D_1
Typ	SHS250/250/12.5
Zdroj hodnot	British Standard / BS 5950 part 1 : 1990 & EN 10210-2
Výroba	válcovaný
Obrázek	
Jméno	stuzenie_D_2
Typ	SHS250/250/10.0
Zdroj hodnot	British Standard / BS 5950 part 1 : 1990 & EN 10210-2
Výroba	válcovaný
Obrázek	
Jméno	stuzenie_D_3
Typ	SHS300/300/10.0
Zdroj hodnot	British Standard / BS 5950 part 1 : 1990 & EN 10210-2
Výroba	válcovaný
Obrázek	
Jméno	stuzenie_H_1
Typ	SHS200/200/10.0
Zdroj hodnot	British Standard / BS 5950 part 1 : 1990 & EN 10210-2
Výroba	válcovaný
Obrázek	

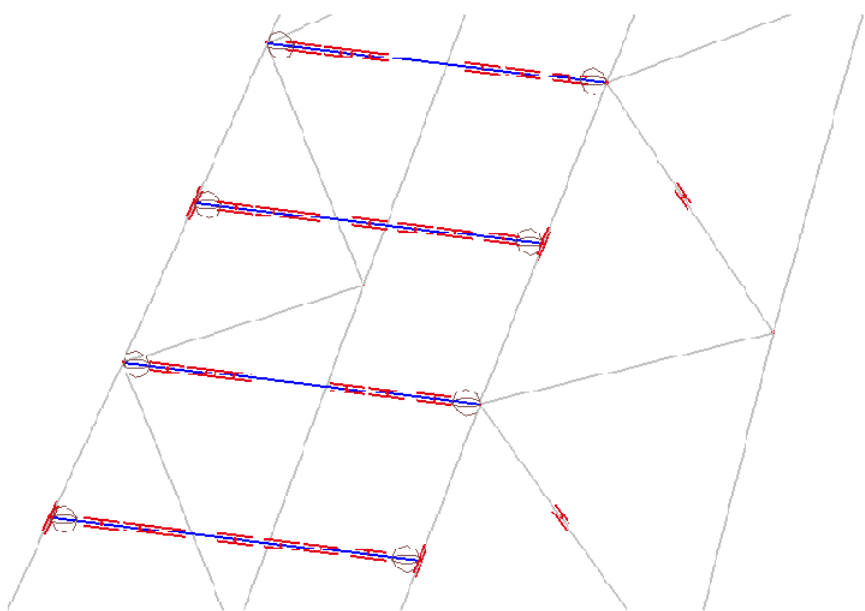
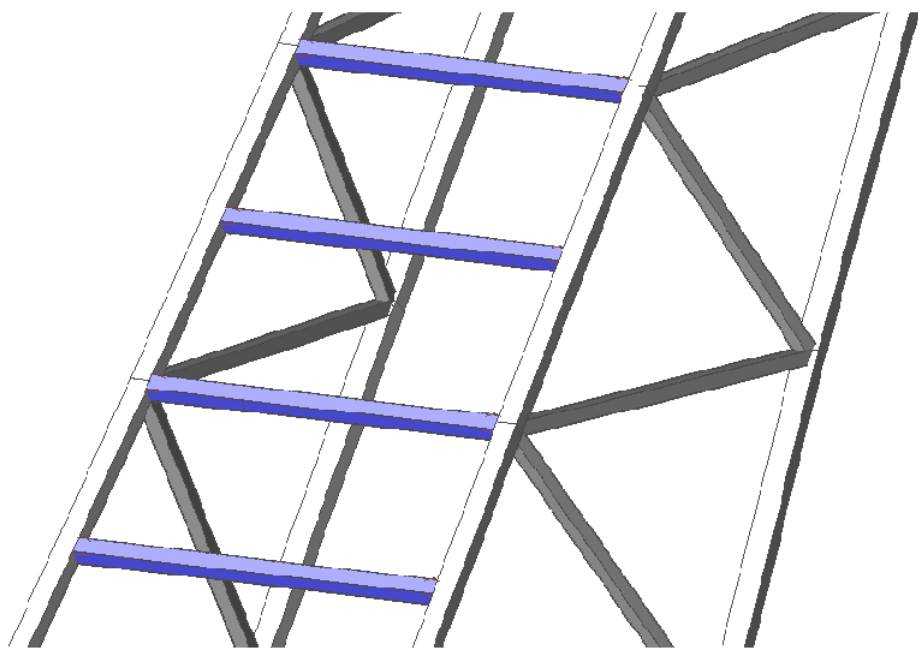
2.3 Horné priečniky

Priečniky sú z jäklových profilov a slúžia k vytvoreniu plochy, po ktorej budú jazdiť lyžiari a takisto k pohybu ľudí po mostíku. Pohyb bežných ľudí je umožnený po oboch stranách lyžiarskej stopy pomocou schodiska. Tieto priečniky sú kľovo uložené k hornému pásu priehradového nosníka.

Označenie jednotlivých prvkov, ako aj priradenie prierezov k prvkom nájdete na nasledujúcich stranach.



Obr. 2.6: Označenie a názvy prvkov horných priečnikov



Obr. 2.7: Statický model-ukážka

1. Prut

Jméno	Průřez	Materiál	Délka [mm]
B4	priecnik_H_1 - SHS300/300/16.0	S 355	8696,183
B5	priecnik_H_1 - SHS300/300/16.0	S 355	8349,388
B6	priecnik_H_2 - SHS300/300/16.0	S 355	7995,098
B7	priecnik_H_2 - SHS300/300/16.0	S 355	7737,613
B8	priecnik_H_2 - SHS300/300/16.0	S 355	7480,127
B9	priecnik_H_2 - SHS300/300/16.0	S 355	7301,649
B10	priecnik_H_2 - SHS300/300/16.0	S 355	7123,170
B11	priecnik_H_2 - SHS300/300/16.0	S 355	7009,300
B12	priecnik_H_2 - SHS300/300/16.0	S 355	6895,430
B335	priecnik_H_2 - SHS300/300/16.0	S 355	6650,859
B336	priecnik_H_2 - SHS300/300/16.0	S 355	6655,671
B337	priecnik_H_2 - SHS300/300/16.0	S 355	6660,395
B338	priecnik_H_2 - SHS300/300/16.0	S 355	6674,305
B340	priecnik_H_2 - SHS300/300/16.0	S 355	6688,121
B341	priecnik_H_2 - SHS300/300/16.0	S 355	6725,055
B342	priecnik_H_2 - SHS300/300/16.0	S 355	6761,921
B343	priecnik_H_2 - SHS300/300/16.0	S 355	6827,676
B546	priecnik_H_2 - SHS300/300/16.0	S 355	6622,288
B911	priecnik_H_1 - SHS300/300/16.0	S 355	10399,178
B916	priecnik_H_1 - SHS300/300/16.0	S 355	9547,681

Jméno	priecnik_H_1
Typ	SHS300/300/16.0
Zdroj hodnot	British Standard / BS 5950 part 1 : 1990 & EN 10210-2
Výroba	válcovaný

Obrázek	
Jméno	priecnik_H_2
Typ	SHS300/300/16.0
Zdroj hodnot	British Standard / BS 5950 part 1 : 1990 & EN 10210-2
Výroba	válcovaný

Obrázek	
Jméno	priecnik_H_2
Typ	SHS300/300/16.0
Zdroj hodnot	British Standard / BS 5950 part 1 : 1990 & EN 10210-2
Výroba	válcovaný

2.4 Dolné a horné schodisko

Dolné schodisko tvorí obdĺžnikový dutý prierez. Schodisko je tvorené radou lomených nosníkov. Pomocou trubkových prierezov, ktoré pôsobia ako tiahla, je schodisko zavesené v rovnakých rozostupoch vždy v mieste vodorovnej časti lomeného nosníka. Pojem tiahla nie je úplne korektný, keďže v nich nebol vylúčený tlak. Po vykonaní globálnej analýzy, obálka vnútorných sôl indikuje prítomnosť tlakových sôl. Tieto pruty sa teda musia posúdiť aj na vzper.

Bočné stuženie alebo tiež vzpery, ktoré držia schodisko v priečnom smere sú kľovo pripojené, vždy v mieste zvislice hlavného nosníka.

Pozdĺžniky sú prvky, ktoré sú pripojené k spodnej pásnici horných priečnikov. Navrhnuté sú ako prostý nosník. Do pozdĺžnikov sú ďalej chytené tiahla. Tieto pozdĺžniky sme aplikovali preto, aby sme dodržali akýsi rovnaký raster rozmiestnenia tiahel.

Medzi nosníkmi sú stužujúce schodiskové stupne z pororoštu. Vzhľadom nato, že sme schodiskové stupne nemodelovali, nahradili sme ich v istom rozostupe tuhými väzbami, vďaka ktorým prebehol korektné nelineárny výpočet a prvý tvar z výpočtu stability neodpovedal lokálnemu vybočeniu nosníku dolného schodiska.

Podrobne označenie v tomto prípade nemá zmysel, keďže sú volené rovnaké profily pre rovnakú skupinu prvkov.

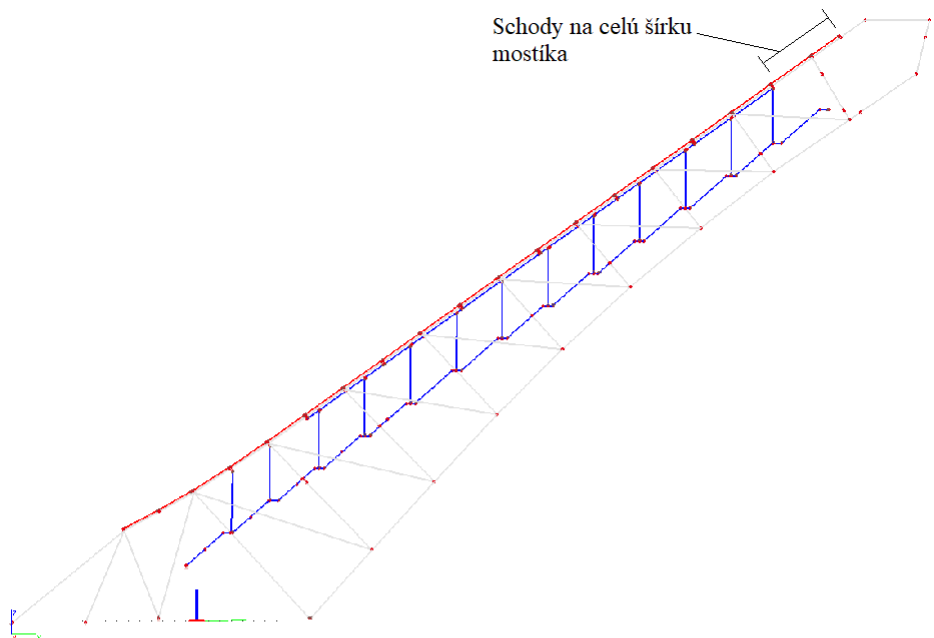
Tabuľka 2.1: Prvky dolného schodiska

Nosník	schody/dolne1	J200/100/6,0
Tiahlo	tiahla/schody2	CHS88,9/4,0
Pozdĺžnik	zaves/schody	UPN140
Stuženie	schody/dolne3	IPE120

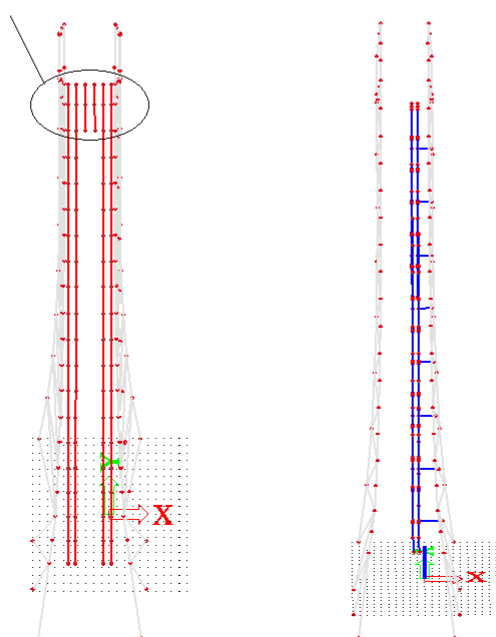
Horné schodisko je riešené ako prostý nosník, uložený na hornej pásnici horných priečnikov. Je zložené z dvoch tipov profilov. Časť nazvaná na obr.2.8 "Schody na celú šírku" označíme v tabuľke ako "**Nosník 2**". Ostatné prvky odpovedajú **nosníku 1**.

Tabuľka 2.2: Prvky horného schodiska

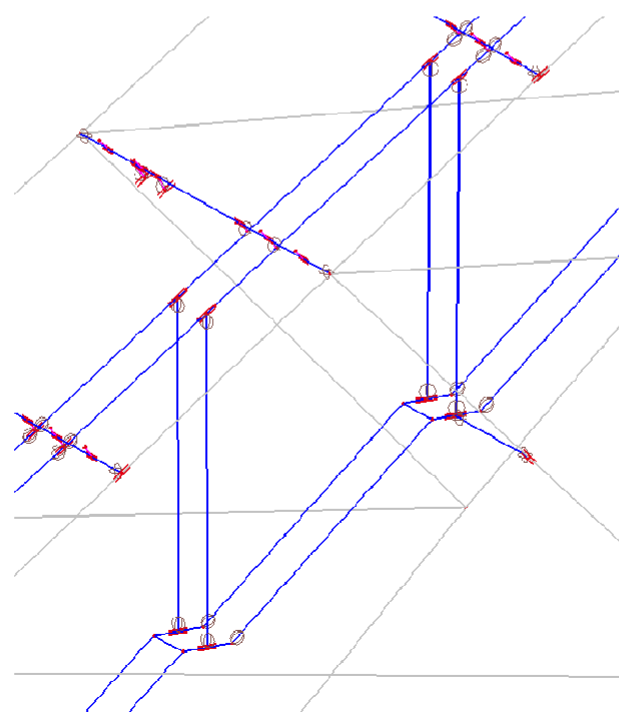
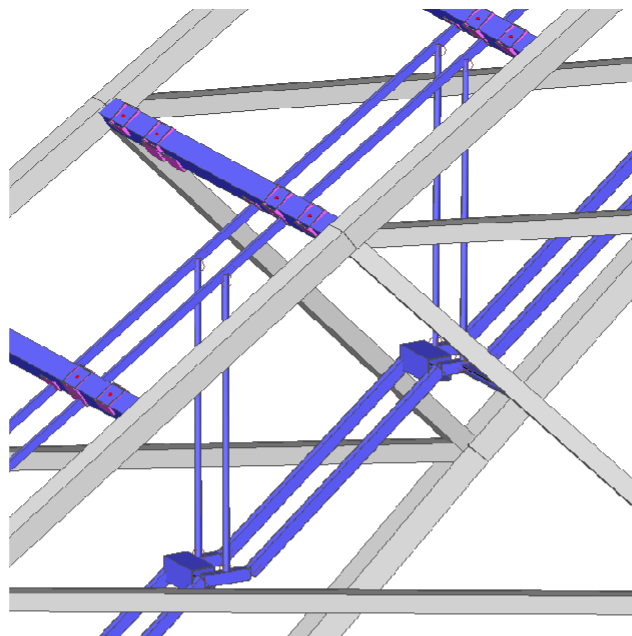
Nosník 1	schody/horne2	UPE200
Nosník 2	schody/horne1	J180/100/6,0



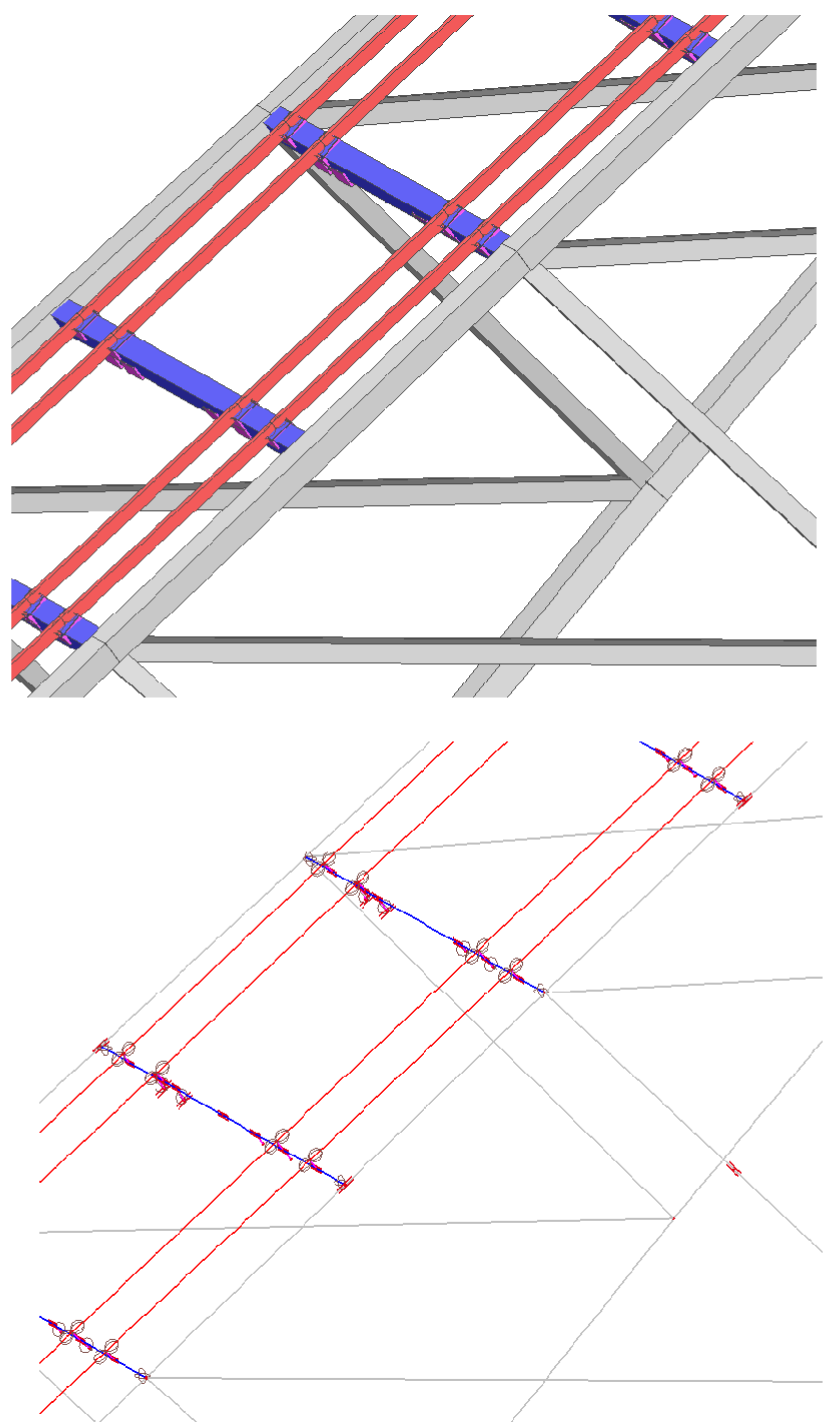
Schody na celú šírku



Obr. 2.8: Pohľad na dolné a horné schodisko

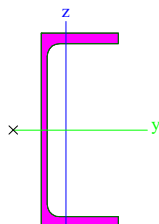
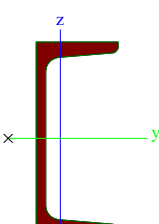
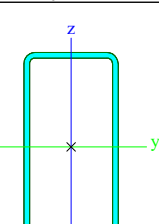
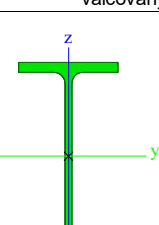


Obr. 2.9: Statický model - dolné schodisko



Obr. 2.10: Statický model - horné schodisko

Průřezy

Jméno	schody_horne2
Typ	UPE200
Zdroj hodnot	Bauen mit Stahl / Thema UPE, UNP, UAP - Tabelle 1 / Salzgitter AG
Výroba	válcovaný
Obrázek	
Jméno	zaves_schody
Typ	UPN140
Zdroj hodnot	ArcelorMittal / Sales Programme / Version 2012-1
Výroba	válcovaný
Obrázek	
Jméno	schody_dolne1
Typ	J200X100X6
Zdroj hodnot	Chinese Standard / GB 6728-2002
Výroba	tvářený za studena
Obrázek	
Jméno	schody_dolne3
Typ	IPE120
Zdroj hodnot	ArcelorMittal / Sales Programme / Version 2012-1
Výroba	válcovaný
Obrázek	
Jméno	tiahla_schody2
Typ	CFCHS88.9X5
Zdroj hodnot	Rautaruukki Oyj / Structural Hollow Sections EN10219 / Ed.2007
Výroba	válcovaný

Obrázek	
Jméno	schody_horne1
Typ	J180X100X6
Zdroj hodnot	Chinese Standard / GB 6728-2002
Výroba	tvářený za studena
Obrázek	
Jméno	schody_dolne4
Typ	HEA120
Zdroj hodnot	Profil Arbed / Structural shapes / Edition Octobre 1995
Výroba	válcovaný
Obrázek	

2.5 Plošiny

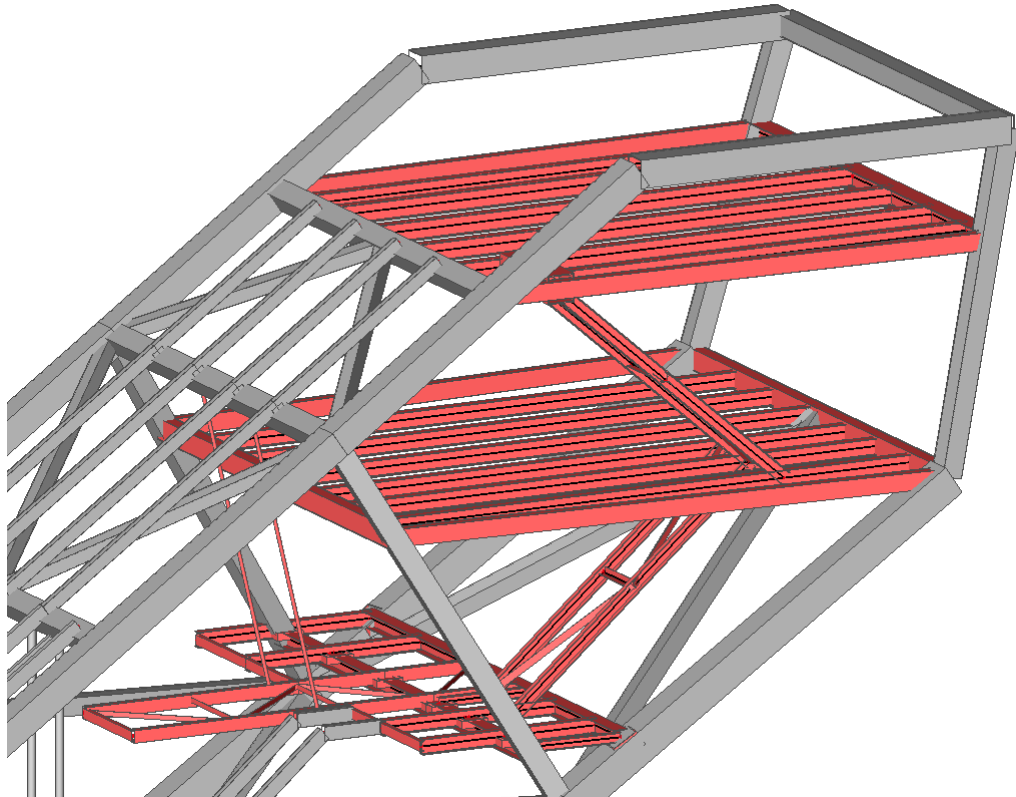
Na vrchu konštrukcie sa nachádzajú plošiny, ktoré sú v troch výškových úrovniach. Označíme ich od najnižšie položenej HP1 až po HP3.

Na plošine HP1 vyúsťuje schodisko a výťah. Táto plošina je tvorená dvomi priečnymi nosníkmi, na ktorých sú uložené IPE nosníky s prevylíml koncom. Uprostred plošiny sú 2 komorové nosníky, ktoré sú vykonzolované o cca. 3,2m viac ako ostatné. Z tohto dôvodu sú podopierané dvojicou tiahel. Miesto uloženia tiahla, bolo vyiterované na základe priehybov. Tieto nosníky tvoria výstupnú plošinu pre ľudí z výťahu. Táto plošina je vo vodorovnom smere stužená profilmu typu L. Z plošiny HP1 ďalej vedie schodisko na HP2. Schodisko je tvorené dvojicou UPE nosníkov, ktoré sú kľovo uložené na plošinách.

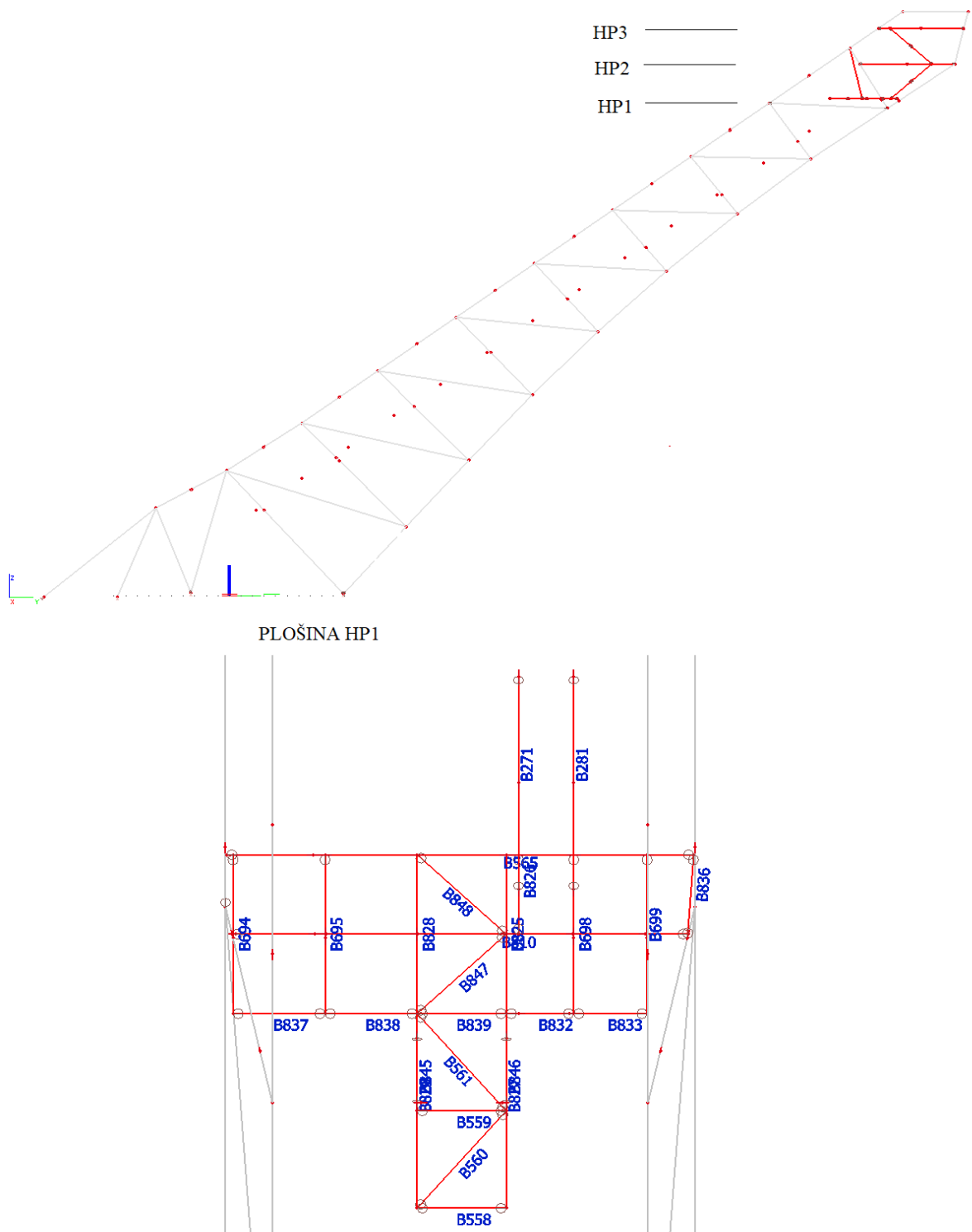
Plošina HP2 je tvorená nosníkmi, ktoré sú uložené na priečnik, ktorý spája konce spodných pásov priečradových nosníkov (*nazvyme ho B538*) a na ďalší priečnik, ktorý je pripojený k zvysliciam hlavných nosníkov (*nazvyme ho B285*). Priečnik B538 pôsobí ako obojstranne vetknutý nosník z tohto dôvodu, aby celý nos konštrukcie bol tuhší a nevykazoval zvýšené deformácie. Priečnik B285 je tiež obojstranne vetknutý a pripojený k zvysliciam. Na tento priečnik sú následne pripojené kľovo nosníky, ktoré sú otvoreného prierezu okrem krajov, kde je uzavretý prierez. Z plošiny HP2 vedie rovnaké schodisko na HP3.

Plošina HP3 je rovnakého typu ako HP2.

Pre lepšiu predstavu uvádzame najskôr vyrendrovaný model a následne pohľad na konštrukciu s označením prvkov.

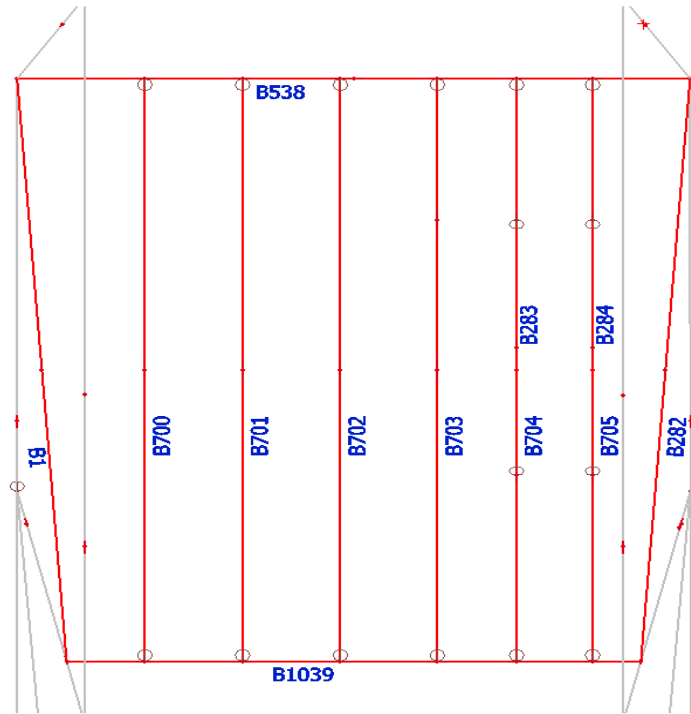


Obr. 2.11: Horné plošiny

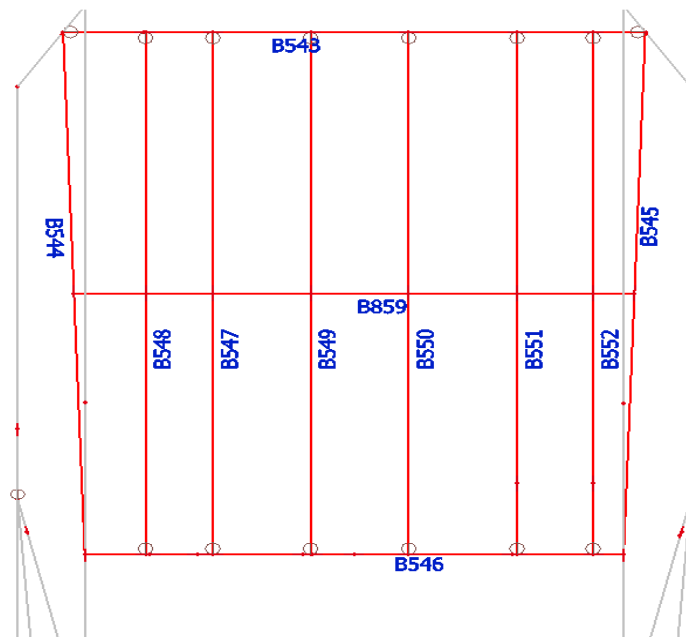


Obr. 2.12: Celková konštrukcia + HP1

PLOŠINA HP2



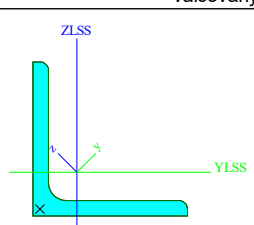
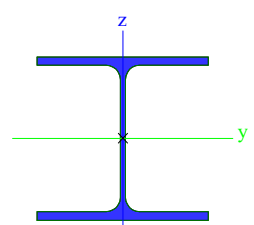
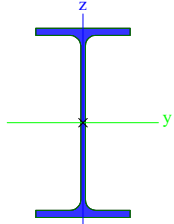
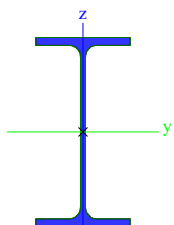
PLOŠINA HP3

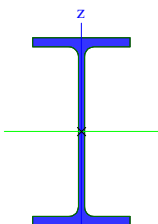
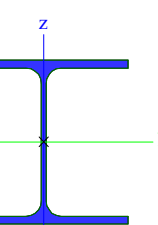
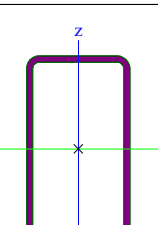
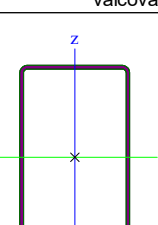
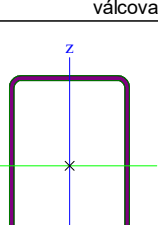


Obr. 2.13: HP2 + HP3

Jméno	Průřez	Materiál	Délka [mm]
B1	H.P.2_3 - J250X150X5	S 355	8270,625
B271	H.P.schody - UPE200	S 355	4712,355
B281	H.P.schody - UPE200	S 355	4712,402
B282	H.P.2_3 - J250X150X5	S 355	8270,331
B283	H.P.schody - UPE200	S 355	4801,110
B284	H.P.schody - UPE200	S 355	4801,103
B538	H.P.2_2 - J300X200X8	S 355	7646,651
B543	H.P.3_2 - HEA300	S 355	6615,364
B544	H.P.3_3 - J250X150X5	S 355	7406,839
B545	H.P.3_3 - J250X150X5	S 355	7406,937
B546	priecnik_H_2 - SHS300/300/16.0	S 355	6123,170
B547	H.P.3_1 - IPE270	S 355	7402,765
B548	H.P.3_1 - IPE270	S 355	7402,749
B549	H.P.3_1 - IPE270	S 355	7402,788
B550	H.P.3_1 - IPE270	S 355	7402,811
B551	H.P.3_1 - IPE270	S 355	7402,837
B552	H.P.3_1 - IPE270	S 355	7402,855
B558	schody_horne2 - UPE200	S 355	1451,509
B559	H.P_stuženie - LS70X7	S 355	1451,509
B560	H.P_stuženie - LS70X7	S 355	2176,630
B561	H.P_stuženie - LS70X7	S 355	2176,631
B565	H.P.1_4 - HEA220	S 355	7614,444
B694	H.P.1_2 - IPE220	S 355	2650,108
B695	H.P.1_2 - IPE220	S 355	2650,102
B698	H.P.1_2 - IPE220	S 355	2650,087
B699	H.P.1_2 - IPE220	S 355	2650,083
B700	H.P.2_1 - IPE240	S 355	8251,469
B701	H.P.2_1 - IPE240	S 355	8251,465
B702	H.P.2_1 - IPE240	S 355	8251,461
B703	H.P.2_1 - IPE240	S 355	8251,458
B704	H.P.2_1 - IPE240	S 355	8251,454
B705	H.P.2_1 - IPE240	S 355	8251,451
B810	H.P.1_4 - HEA220	S 355	7437,371
B825	H.P.1_3 - J180X100X6	S 355	2650,091
B826	H.P.1_1 - IPE140	S 355	1323,814
B827	H.P.1_3 - J180X100X6	S 355	3243,974
B828	H.P.1_3 - J180X100X6	S 355	2650,096
B829	H.P.1_3 - J180X100X6	S 355	3243,974
B832	schody_horne2 - UPE200	S 355	1100,526
B833	schody_horne2 - UPE200	S 355	1195,779
B836	H.P.1_1 - IPE140	S 355	1392,945
B837	schody_horne2 - UPE200	S 355	1500,000
B838	schody_horne2 - UPE200	S 355	1500,000
B839	H.P_stuženie - LS70X7	S 355	1451,509
B845	tiahla_schody1 - CHS48.3/3.2	S 355	4630,798
B846	tiahla_schody1 - CHS48.3/3.2	S 355	4630,762
B847	H.P_stuženie - LS70X7	S 355	1966,187
B848	H.P_stuženie - LS70X7	S 355	1964,528
B1039	H.P.2_2 - J300X200X8	S 355	6525,578

Průřezy

Jméno	H.P_stuženie
Typ	LS70X7
Zdroj hodnot	Chinese Standard / GB 9787-88
Výroba	válcovaný
Obrázek	
Jméno	H.P.1_4
Typ	HEA220
Zdroj hodnot	Profil Arbed / Structural shapes / Edition Octobre 1995
Výroba	válcovaný
Obrázek	
Jméno	H.P.3_1
Typ	IPE270
Zdroj hodnot	ArcelorMittal / Sales Programme / Version 2012-1
Výroba	válcovaný
Obrázek	
Jméno	H.P.2_1
Typ	IPE240
Zdroj hodnot	ArcelorMittal / Sales Programme / Version 2012-1
Výroba	válcovaný
Obrázek	
Jméno	H.P.1_1
Typ	IPE140
Zdroj hodnot	ArcelorMittal / Sales Programme / Version 2012-1
Výroba	válcovaný

Obrázek	
Jméno	H.P.3_2
Typ	HEA300
Zdroj hodnot	Profil Arbed / Structural shapes / Edition Octobre 1995
Výroba	válcovany
Obrázek	
Jméno	H.P.1_3
Typ	J180X100X6
Zdroj hodnot	Chinese Standard / GB 6728-2002
Výroba	válcovany
Obrázek	
Jméno	H.P.3_3
Typ	J250X150X5
Zdroj hodnot	Chinese Standard / GB 6728-2002
Výroba	válcovany
Obrázek	
Jméno	H.P.2_2
Typ	J300X200X8
Zdroj hodnot	Chinese Standard / GB 6728-2002
Výroba	válcovany
Obrázek	
Jméno	H.P.2_3

Typ	J250X150X5
Zdroj hodnot	Chinese Standard / GB 6728-2002
Výroba	válcovany
Obrázek	
Jméno	H.P.1_2
Typ	IPE220
Zdroj hodnot	ArcelorMittal / Sales Programme / Version 2012-1
Výroba	válcovany
Obrázek	
Jméno	H.P.schody
Typ	UPE200
Zdroj hodnot	Bauen mit Stahl / Thema UPE, UNP, UAP - Tabelle 1 / Salzgitter AG
Výroba	válcovany
Obrázek	

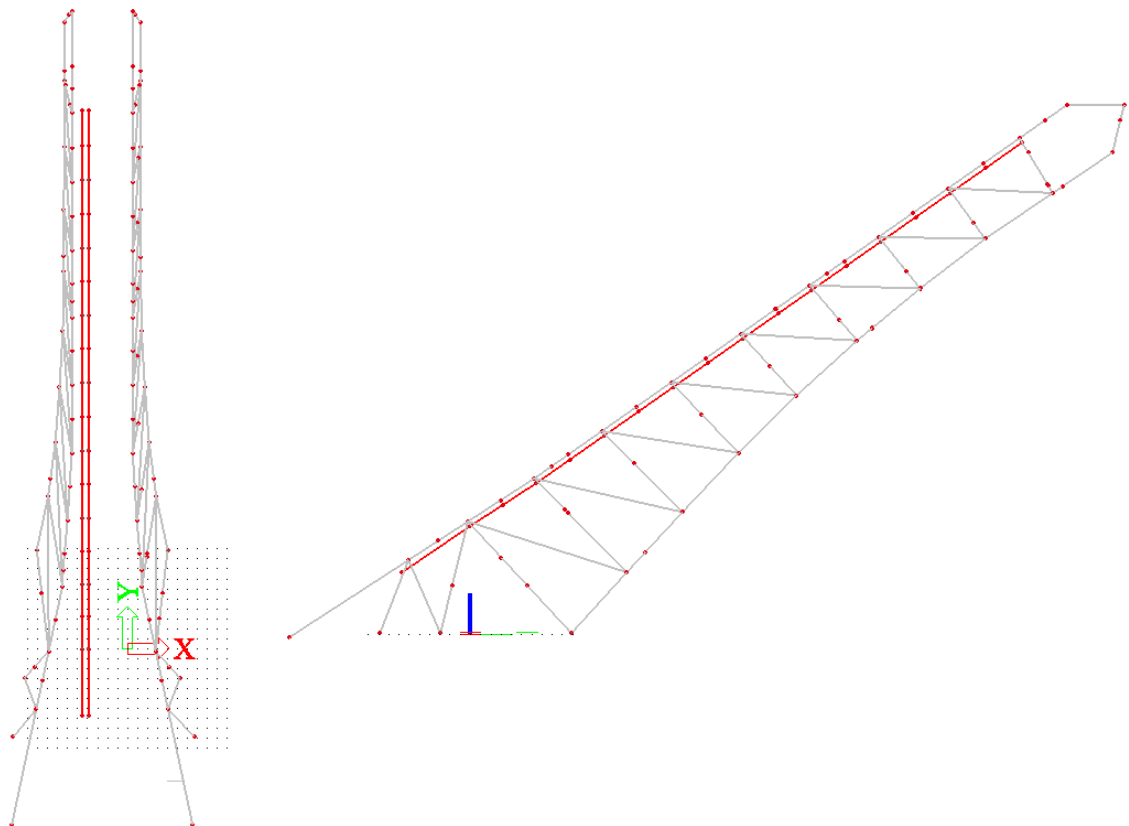
2.6 Dráha výťahu

Tejto problematike sme sa podrobne nevenovali, keďže bol problém zistiť informácie k navrhovaniu takýchto dráh. Jednotlivé firmy pôsobiace v tomto sektore nám poskytli minimum informácií. Firma ktorá nám poskytla informácie je firma **LEITNER**. V krátkej prezentácii projektu z Polska (ktorú sme obdržali priamo od tejto firmy) sme zistili, že použili nosníky HEA400, avšak rozpäťie jednotlivých polí nebolo známe. Ďalšia dostupná informácia bola hmotnosť kabínky. Rozhodli sme sa postupovať nasledovne:

- určiť začatie
- na príslušné vnútorné sily urobiť iba dôkaz únosnosti prierezu

Statický systém našej dráhy predpokladáme ako dvojpolový spojity nosník, zložený z profilov HEA300. Nosníky sú vo vzdialosti 800mm od seba. Priečne stuženie IPE120 je umiestnené pod každým priečnikom.

Ako už bolo spomenuté vyšie, podrobnejším posúdeniam sme sa nevenovali, keďže je tu veľa neznámych.



Obr. 2.14: Umiestnenie dráhy výťahu

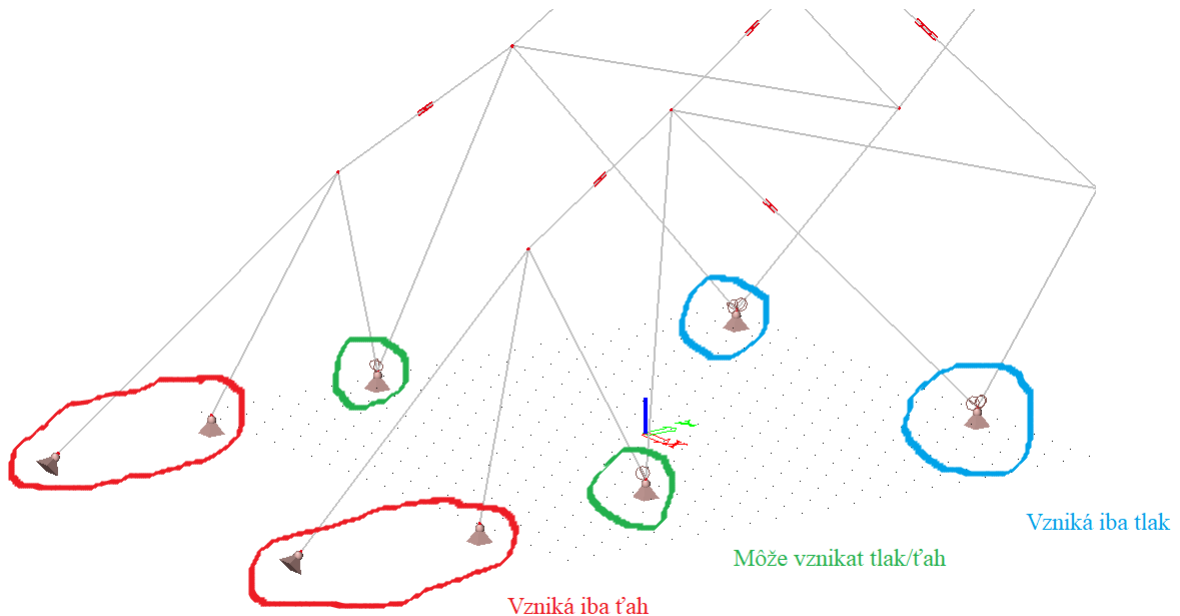
2.7 Tuhé väzby

Tieto väzby nám umožňujú v prútových modeloch pripojiť prúty, ktoré sa v priestore inak nepretínajú, čiže nemajú spoločný bod. Vzhľadom na to, že potrebujeme, aby bol tento prvok dostatočne tuhý, zvolili sme komorový prierez o vonkajších rozmeroch 400x400mm a hrúbke steny 15mm. Ako materiál sme použili oceľ, kvôli vysokému modulu pružnosti a triedu S450, kvôli vyššej únosnosti. Urobili sme tak

z dôvodu bezproblémového prenosu síl medzi danými prvkami. Nastavená je nulová hmotnosť týchto prvkov.

2.8 Základy

Všetky vznikajúce sily, musia byť prebrané hlavnými nosníkmi a ďalej zachteňené základmi. Hlavné nosníky sú kľovo uložené na základové bloky. V mieste kde vznikajú ľahy, sa navrhnu predpjeté zemné kotvy, ktoré budú zainjektované do horniny, čím preberú ľahové namáhanie. V modeli uvažujeme pevné kľbové podpory. Vznikajúci ľah preberá viac prútov, čo je pozitívne pre základy, ktoré nemusia byť potom tak masívne a budú sa ďalej rozumne ukotviť do horniny.



Obr. 2.15: Model uloženia konštrukcie

KAPITOLA
TRETIA

ZAŤAŽENIE

V tejto kapitole si definujeme uvažované zaťažovacie stavy a určíme ich hodnotu. Výpočet zaťaženia prebiehal podľa platných európskych noriem STN EN 1991-1.

3.1 Stále zaťaženie

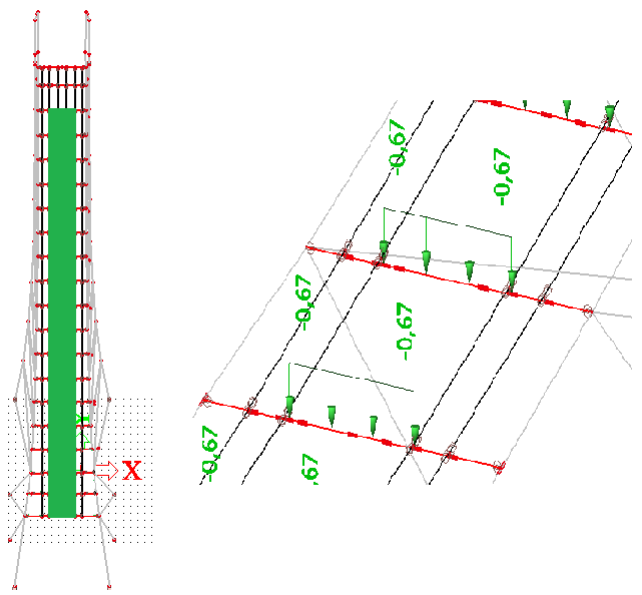
3.1.1 Vlastná tiahá

Vlastná tiahá je počítaná automaticky v programe. Vo výpočtovom modeli sme nemodelovali prvky ako sú styčníkové plechy, spojovací materiál ap. Na druhú stranu sa modeluje na osu prutu, čím sa priadal materiál do konštrukcie. Zavádzame teda predpoklad, že tieto dva efekty sa vynegujú a teda vlastná hmotnosť modelu je korektná.

3.1.2 Trapézový plech

Trapézový plech uvažujeme iba v rovine horných priečnikov, na ktoré je prišroubovaný. Na tomto plechu bude v mieste lyžiarskej stopy umiestnená gumená podložka a na nej tenkostenný za studena tvarovaný plech, ktorý tvorí lyžiarsku stopu. Gumená podložka a tenkostenný plech neboli uvažované a zjednodušene sa povedalo, že ich pokryje zaťažovací stav technológie. Hmotnosť trapézového plechu je $16,1 \text{ kg/m}^2$, čo odpovedá typu H135/310-1,25 od firmy Hoffmann.

Zaťaženie na priečnik: $f = 0,161 \cdot 4,15 = 0,67 \text{ kN/m}$

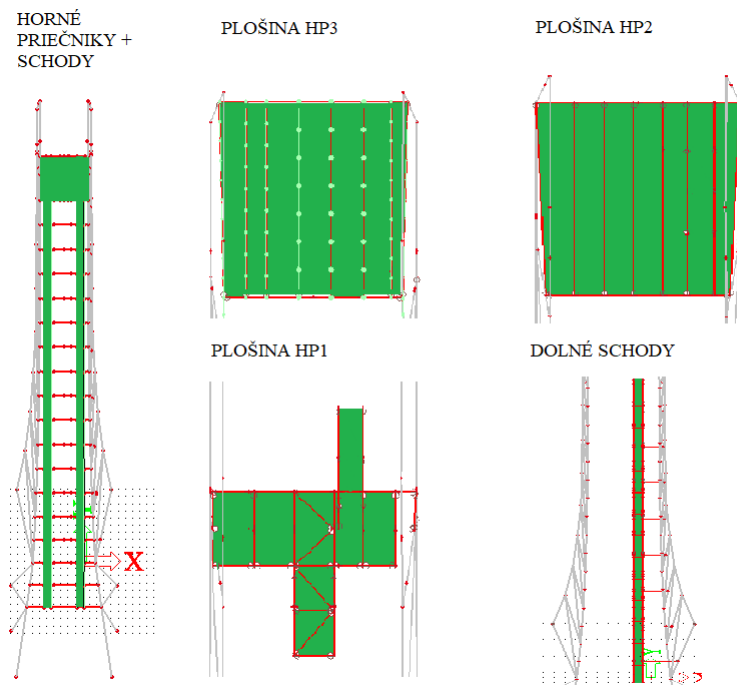


Obr. 3.1: Mapa zaťaženia - trapéz

3.1.3 Zváraný podlahový rošt

Zvolili sme variantu zváraného roštu od firmy STACO.

- **TYP A40x3** → $g = 0,36 \text{ kN/m}^2$



Obr. 3.2: Mapa zaťaženia - pororošt

3.1.4 Zábradlie

Uvažujeme plnostenné zábradlie s výškou 1,1m. Líniové zaťaženie budeme uvažovať **0,8kN/m**. Zábradlie uvažujeme v miestach podľa obrázku 3.2.

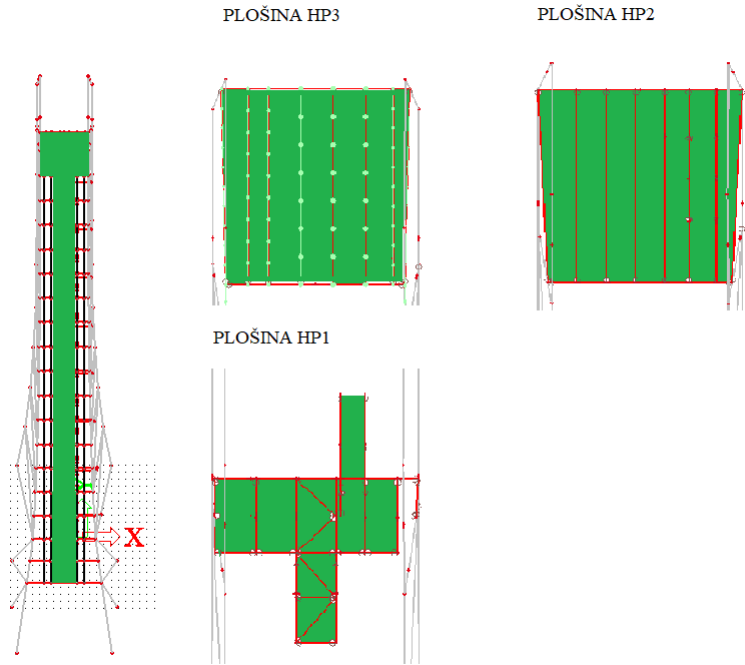
3.2 Premenlivé zaťaženie

3.2.1 Technológie

Tento zaťažovací stav reprezentuje výskyt technických zariadení ako napr. kamery, fréza na čistenie stopy a iné.

Hodnotu zaťaženia sme odhadli na $1,5kN/m^2$.

Zaťaženie je aplikované na horné priečnicky, plošiny HP1 až HP3. Na dolných schodoch nie je predpokladaný jeho výskyt.



Obr. 3.3: Mapa zaťaženia - technologie

3.2.2 Úžitné

V tomto prípade reprezentuje výskyt ľudí. Poprípade taktiež nejaké ľahké vybavenie, ktoré mení v priebehu času polohu.

Uvažujeme hodnotu $2kN/m^2$

Pôsobenie zaťaženia je rovnaké ako v prípade obrázku 3.2. Z tohto dôvodu ho tu nebudeme zobrazovať.

3.2.3 Vietor-teória

Vzhľadom nato, že skokanský mostík sa nachádza na Štrbskom plese, ktoré spadá do horskej oblasti nad 1300m, bolo nutné vyžiadať informácie k vetru na Slovenskom hydrometeorologickom ústave. Požadovali sme fundamentálnu hodnotu základnej rýchlosťi vetra $v_{b,0}$. Ďalej si uvedieme teóriu ku kvazistatickému výpočtu pomocou súčiniteľov c_f a potom samotný výpočet, ktorý bol zrealizovaný v programe Excel 2013.

Úvod

Základná rýchlosť vetra v_b :

$$v_b = c_{dir} * c_{season} * v_{b,0}$$

$c_{dir} = 1,0 \dots$ súčinieľ smerovosti

$c_{season} = 1,0 \dots$ súčinieľ sezónnosti

$v_{b,0} = 36m/s \dots$ fundamentálna hodnota základnej rýchlosťi vetra podľa SHMÚ

Stredná rýchlosť vetra $v_m(z)$:

$$v_m = c_r(z) * c_0(z) * v_b$$

- $c_r(z)$... súčiniteľ drsnosti

$$c_r(z) = k_r \ln\left(\frac{z}{z_0}\right) \Leftrightarrow z_{min} < z \leq z_{max}$$

$$c_r(z) = c_r(z_{min}) \Leftrightarrow z \leq z_{min}$$

$$z_{max} = 200m$$

z =zvyslá výška nad terénom

Tabuľka 4.1 – Kategórie a parametre terénu

Kategória terénu	z_0 m	z_{min} m
0 More alebo pobrežia vystavené vetru od voľného mora	0,003	1
I Jazerá alebo ploché a horizontálne plochy so zanedbateľnou vegetáciou a bez prekážok	0,01	1
II Plochy s nízkou vegetáciou ako je tráva a izolované prekážky (stromy, budovy) vzdialené od seba aspoň 20-násobok ich výšky	0,05	2
III Plochy pravidelne pokryté vegetáciou alebo budovami alebo s prekážkami, ktoré sú od seba vzdialené najviac 20-násobok ich výšky (dôdny, predmestia, súvislý les)	0,3	5
IV Plochy, kde aspoň 15 % je zastavané budovami a ich priemerná výška je väčšia ako 15 m	1,0	10
POZNÁMKA. – Zobrazenie kategórií terénu je v prílohe A.1.		

Obr. 3.4: Kategórie a parametre terénu

k_r ... súčiniteľ terénu

$$k_r = 0,19 \left(\frac{z}{z_{0,II}} \right)^{0,07}$$

$$z_{0,II} = 0,05m \dots \text{pre terén kategórie II}$$

- $c_0(z) = 1,0 \dots$ súčiniteľ orografie

Základný tlak vetra $q_p(z)$:

$$q_p(z) = 1 + 7 * I_v(z) * 0,5 * \rho * v_m(z)$$

- $\rho = 1,25kg/m^3 \dots$ hustota vzduchu

- $I_v(z) \dots$ intenzita turbulencie

$$I_v(z) = \frac{\sigma_v}{v_m(z)} \Leftrightarrow z_{min} < z \leq z_{max}$$

$$I_v(z) = I_v(z_{min}) \Leftrightarrow z \leq z_{min}$$

$\sigma_v \dots$ smerodajná odchýlka turbulentnej zložky rýchlosťi vetra

$$\sigma_v = k_r * v_b * k_l$$

$k_l = 1,0 \dots$ súčiniteľ tubulencie

Špičkový tlak vetru $q_p(z)$ budeme uvažovať konštantný po výške pre maximálnu hodnotu $z = 54\text{m}$. Pri rozdelení výšky na tretiny je rozdiel medzi $q_p(\max)$ a $q_p(\min)$ 67kg/m^2 . Pre plné plochy to má zmysel uvažovať, avšak naša konštrukcia je pripustná a preto budeme počítať na bezpečnej strane s $q_p(\max)$

Sily vetra F_w :

Sila vetra pôsobiaca na časť konštrukcie resp. na daný prvok, sa môže určiť podľa vzťahu:

$$F_w = c_s c_d * c_f * q_p(z) * A_{ref}$$

Tým dostávame hodnotu sily pôsobiacu v ťažisku daného prvku. V skutočnosti však pôsobí líniové zaťaženie:

$$f_w = c_s c_d * c_f * q_p(z) * h_{ref}$$

h_{ref} . . . priemerná výška prvku

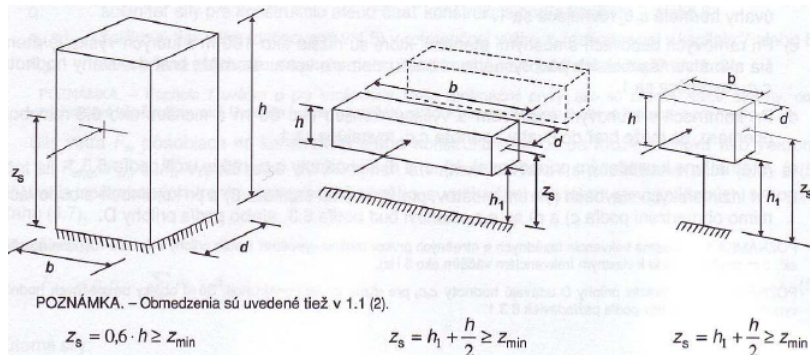
Stanovenie súčiniteľa konštrukcie $c_s c_d$

Cez tento súčinieľ sa zohľadňuje účinok toho, že špičkové tlaky vetra na povrchu nevznikajú súčasne s účinkami kmitania konštrukcie, vyvolaného turbulenciou vetra. Stanovíme ho podľa kapitoly 6.3 a informatívnej prílohy B normy STN EN 1991-1-4.

$$c_s c_d = \frac{1 + 2 * k_p * I_v(z_s) * \sqrt{B^2 + R^2}}{1 + 7 * I_v(z_s)}$$

- z_s . . . referenčná výška

Najskôr je treba stanoviť mernú dĺžku turbulencie $L(z)$, ktorá reprezentuje priemernú veľkosť ná-



Obr. 3.5: Referenčná výška

razov vetra.

$$L(z) = L_t * \left(\frac{z}{z_t}\right)^\alpha \Leftrightarrow z \geq z_{min}$$

$$L(z) = L_{z_{min}} \Leftrightarrow z < z_{min}$$

Referenčná výška $z_t = 200\text{m}$ a referenčná dĺžka $L_t = 300\text{m}$. Exponent α je vyjadrený nasledujúcou rovnicou: $\alpha = 0,67 + 0,05 \ln(z_0)$, kde dĺžka drsnosti z_0 sa dosadzuje v m.

- Súčiniteľ pôvodu odozvy B^2

Zohľadňuje neprítomnosť plnej korelácie tlaku vetra na povrchu konštrukcie.

$$B^2 = \frac{1}{1 + 0,9 \left(\frac{b+h}{L_{z_s}}\right)^{0,63}}$$

Hodnoty b a h označujú šírku a výšku konštrukcie. Na bezpečnej strane je použitie hodnoty $B^2 = 1$.

- Súčiniteľ rezonančnej odozvy R^2
Zohľadňuje turbulenciu v rezonancii s uvažovaným vlastným tvarom kmitania konštrukcie.

$$R^2 = \frac{\pi^2}{2 * \delta} S_L(z_s, n_{1,x}) * R_h(\eta_h) R_b(\eta_b)$$

- S_L . . funkcia bezrozmernej spektrálnej výkonovej hustoty

$$S_L(z, n) = \frac{n * S_v(z, n)}{\sigma_v^2} = \frac{6,8 * f_L(z, n)}{(1 + 10,2 * f_L(z, n))^{5/3}}$$

Hodnota $f_L(z, n)$ je bezrozmerná frekvencia, stanovená z frekvencie $n = n_{1,x}$, ktorá je prvou vlastnou frekvenciou konštrukcie v Hz.

$$f_L(z, n) = \frac{n * L_z}{v_m(z)}$$

- Funkcie aerodynamickej admitancie R_h, R_b

$$R_h = \frac{1}{\eta_h} - \frac{1}{2 * \eta_h^2} * (1 - e^{-2 * \eta_h})$$

$$R_b = \frac{1}{\eta_b} - \frac{1}{2 * \eta_b^2} * (1 - e^{-2 * \eta_b})$$

$$\eta_h = \frac{4,6 * h}{L_{z_s}} * f_L(z_s, n_{1,x}) \text{ a } \eta_b = \frac{4,6 * b}{L_{z_s}} * f_L(z_s, n_{1,x})$$

- Súčiniteľ špičiek k_p

Pomer maximálnej hodnoty fluktuačnej zložky odozvy k jej smerodajnej odchýlke.

$$k_p = \max(\sqrt{2 * \ln(\nu * T)} + \frac{0,6}{\sqrt{2 * \ln(\nu * T)}}, 3)$$

$$\nu = n_{1,x} * \sqrt{\frac{R^2}{B^2 + R^2}} \Leftrightarrow \nu \geq 0,08 \text{ Hz}$$

Hodnota ν je očakávaná frekvencia, pričom 0,08Hz zodpovedá súčiniteľu špičiek $k_p = 3,0$ a perióda $T = 600\text{s}$.

Pri vlastných tvaroch s internými uzlovými bodmi, norma odporúča urobiť podrobny výpočet, ktorý však už nie je nikde načrtnutý. Takému prípadu s internými uzlovými bodmi rozumieme podľa nasledujúceho obrázku 3.6 masívneho stožiaru s lokálnymi bremenami. Podľa informácií inžinierskej spoločnosti IPU s odkazom na konkrétny text,¹ bola vyhotovená rada skúšok, kde sa porovnávali hodnoty vypočítané podľa normy, s hodnotami experimentálne získanými. Vyhodnotenie potvrdzuje správnosť odhadu aerodynamickej admitancie podľa normy. Ďalej uvádzá, že v mnohých prípadoch normový prístup leží na bezpečnej strane.

Vzhľadom nato, že naša konštrukcia neobsahuje uzlové body v zmysle obrázku 3.6 a normový prístup leží na bezpečnej strane považujeme zvolený prístup za korektný.

- Logaritmický dekrement útlmu δ
Je definovaný ako prirodzený logaritmus útlmu.

$$\delta = \ln(\lambda)$$

¹<http://www.ipu-bs.de/index.php?id=75>, navštívené 15.06.2018



Obr. 3.6: Interné uzlové body

Útlm λ je definovaný ako podiel dvoch za sebou idúcich výchyliek v rovnakom smere.

$$\lambda = \frac{x(t)}{x(t+T)}$$

Kde t je ľubovoľný časový bod a T je časová períoda. Pre základný ohybový tvar sa celkový logaritmický dekrement vypočíta podľa vzťahu:

$$\delta = \delta_s + \delta_a + \delta_d$$

- Logaritmický dekrement konštrukčného tlmenia δ_s

oceľové mosty + priečinkové oceľové veže	zvárané	0,02
	s vysokopevnými skrutkami	0,03
	s obyčajnými skrutkami	0,05

Obr. 3.7: Hodnoty konštrukčného tlmenia

- Logaritmický dekrement aerodynamického tlmenia δ_a

Zavádzame predpoklad, že výchylky vlastného tvaru $\phi(y, z)$ sú po šírke konštantné pre každú výšku z a teda logaritmický dekrement aerodynamického tlmenia pre kmitanie v smere vetra môžeme vypočítať podľa nasledujúceho vzťahu:

$$\delta_a = \frac{c_f * \rho * b * v_m(z_s)}{2 * n_1 * m_e}$$

m_e ... ekvivalentná hmotnosť na jednotku dĺžky

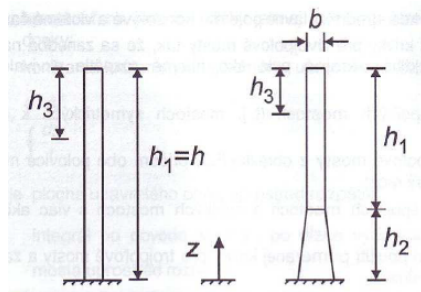
Pri konzolových konštrukciách možno aproximovať ako priemernú hodnotu m cez hornú tretinu konštrukcie, viď obr.3.8.

b ... šírka konštrukcie vo vyšetrovanom mieste

$n_{1,x}$... vlastná frekvencia konštrukcie v smere vetra

c_f ... súčiniteľ sily pre zaťaženie vetrom v smere vetra

Na tomto mieste dosadíme najnižšiu hodnotu c_f , aby sme dostali čo najmenšie tlmenie. Tým sa dopracujeme k väčšiemu súčiniteľu rezonančnej odozvy R^2 a následne k väčšej hodnote súčiniteľa konštrukcie $c_s c_d$. Tým pádom sa nachádzame na bezpečnej strane.



Obr. 3.8: Aproximácia ekvivalentnej hmotnosti

- Logaritmický dekrement od špeciálnych zariadení δ_d
Špecialné zariadenie môže byť napr. ladený hmotnostný tlmič. Kedže neuvažujeme žiadne tlmiče, tak $\delta_d = 0$

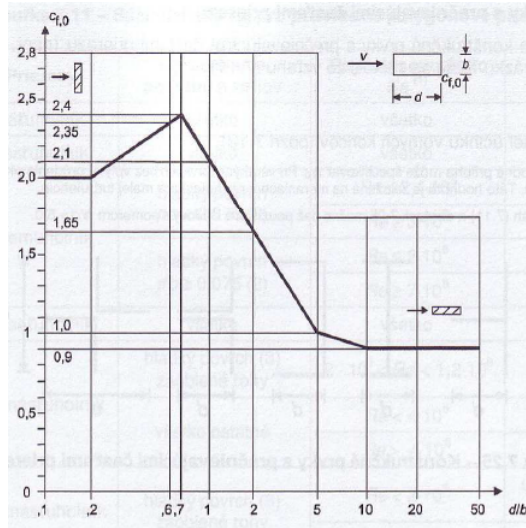
Súčiniteľ sily c_f

Priehradová konštrukcia je navrhnutá z uzavretých pravouhlých/kruhových a otvorených profilov. Súčinitele sily budeme riešiť pre každý typ prierezu zvlášť.

- Súčiniteľ sily c_f pre uzavreté pravouhlé prierezy

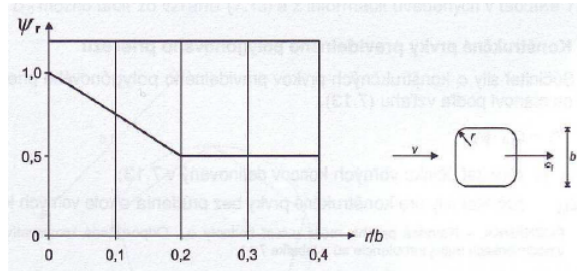
$$c_f = c_{f,0} * \psi_r * \psi_\lambda$$

- Súčiniteľ sily bez účinkov koncov $c_{f,0}$
V norme je uvedený ako funkcia závislá na pomere d/b.



Obr. 3.9: Súčiniteľ $c_{f,0}$ pre pravouhlé prierezy

- Redukčný súčiniteľ ψ_r
Zohľadňuje vplyv zaoblených rohov. My však nebudeme uvažovať zaoblené rohy a teda v našom prípade je redukčný súčiniteľ rovný 1.



Obr. 3.10: Súčiniteľ ψ_r

– Súčiniteľ účinku koncov ψ_λ

Je funkciou pomernej plnosti ϕ a štíhlosti λ . Tento súčiniteľ zohľadňuje redukovanú odolnosť konštrukcie v dôsledku prúdenia vetra okolo voľného konca.

Štíhlosť λ sa odčíta z tabuľky 7.16 STN EN 1991-1-4. Pre priehradové konštrukcie, kde $L \geq 50\text{m}$ je hodnota λ vypočítaná nasledovne:

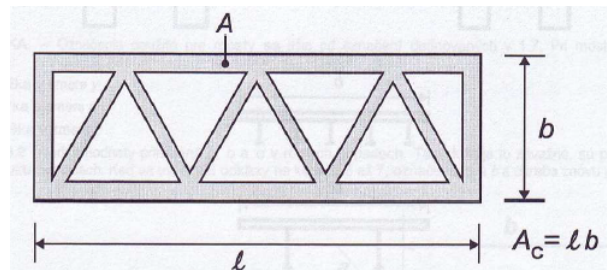
$$\lambda = \min(1,4 * \frac{L}{b}; 70)$$

Šírku konštrukcie b budeme uvažovať ako najnižšiu vyskytujúcu sa. Tým sa posunieme na bezpečnú stranu.

Pomerá plnosť je definovaná ako:

$$\varphi = \frac{A}{A_c}$$

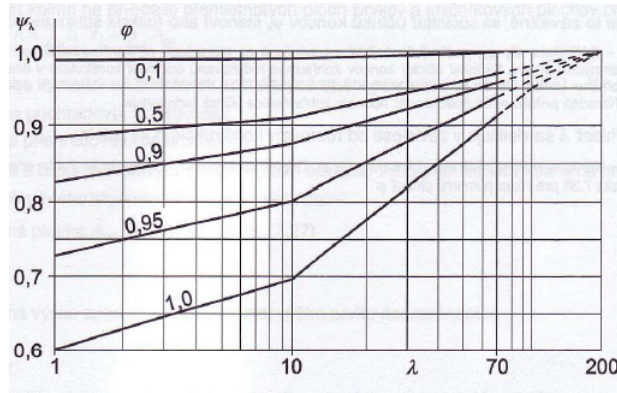
Súčiniteľ účinku koncov ψ_λ odčítame nakoniec z nasledujúceho grafu :



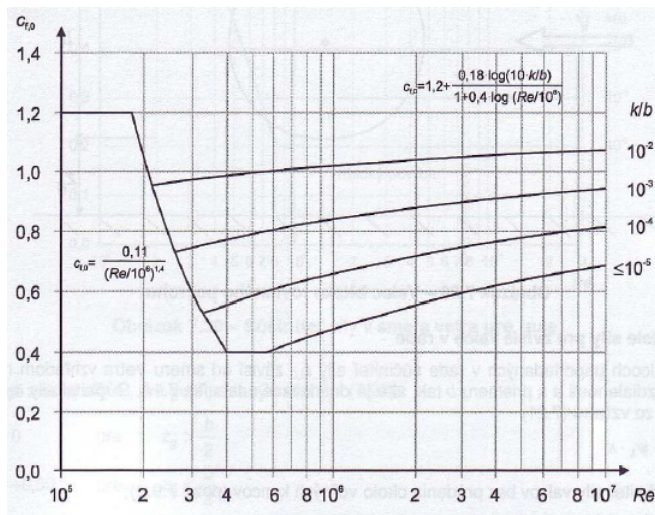
Obr. 3.11: Stanovenie pomernej plnosti

- Súčiniteľ sily c_f pre kruhové prierezy

$$c_f = c_{f,0} * \psi_\lambda$$



Obr. 3.12: Súčiniteľ účinku koncov



Obr. 3.13: Stanovenie $c_{f,0}$

– Súčiniteľ sily bez účinkov koncov $c_{f,0}$

Závisí na Reynoldsovom čísle Re a pomere k/b . K je drsnosť povrchu podľa obrázku 3.14 a b je priemer trubky. Reynoldsovo číslo Re sa vypočíta podľa vzťahu :

$$Re = \frac{b * v(z_e)}{\nu}$$

$v(z_e)$... špičková rýchlosť vetra podľa:

$$v(z_e) = \sqrt{\frac{2 * q_p}{\rho}}$$

$\nu = 15 * 10^{-6} m^2/s$... kinematická viskozita vzduchu

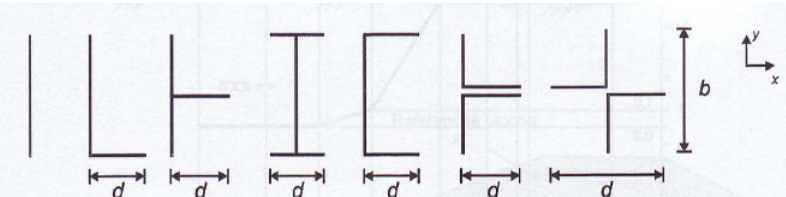
– Súčiniteľ účinku koncov ψ_λ sa spočíta tak, ako to už bolo vysvetlené vyššie.

- Súčiniteľ sily c_f pre otvorené prierezy

$$c_f = c_{f,0} * \psi_\lambda$$

Druh povrchu	Ekvivalentná drsnosť k mm
sklo	0,001 5
leštený kov	0,002
uhladený náter	0,006
striekaný náter	0,02
lesklá ocel ^a	0,05
latina	0,2
galvanizovaná ocel ^b	0,2

Obr. 3.14: Ekvivalentná drsnosť povrchu k



Obrázok 7.25 – Konštrukčné prvky s prečnievajúcimi časťami prierezu

Obr. 3.15: Ukážka otvorených prierezov

- Súčiniteľ sily bez účinkov koncov $c_{f,0}$
Odporúča sa hodnota 2,0.
- Súčiniteľ účinku koncov ψ_λ sa spočíta tak, ako to už bolo vysvetlené vyššie.

Súčiniteľ tlaku $c_{p,net}$

V našom prípade sa jedná o plnostenné zábradlie $\varphi = 1,0$ s výškou 1,1m. Veľkosť tlaku vetra na povrchu sa určí nasledovne:

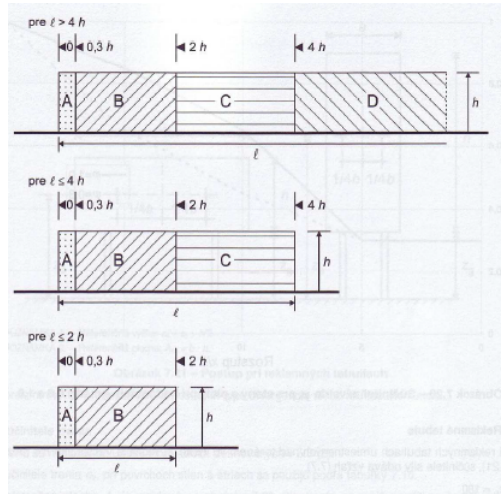
$$w_e = c_{p,net} * q_p(z) * h$$

Tabuľka 7.9 – Odporúčané súčinitele tlaku $c_{p,net}$ pre voľne stojace steny a parapety

Pomerná plnosť ^a	Oblast'		A	B	C	D
$\varphi = 1$	bez ohnutých rohov	$\ell/h \leq 3$	2,3	1,4	1,2	1,2
		$\ell/h = 5$	2,9	1,8	1,4	1,2
		$\ell/h \geq 10$	3,4	2,1	1,7	1,2
	s ohnutými rohmi dlžky $\geq h^a$	$\pm 2,1$	$\pm 1,8$	$\pm 1,4$	$\pm 1,2$	
$\varphi = 0,8$		$\pm 1,2$	$\pm 1,2$	$\pm 1,2$	$\pm 1,2$	

^a Pri ohnutých rohoch dlžky medzi 0,0 a h možno použiť lineárnu interpoláciu.

Obr. 3.16: Súčinitele tlaku $c_{p,net}$

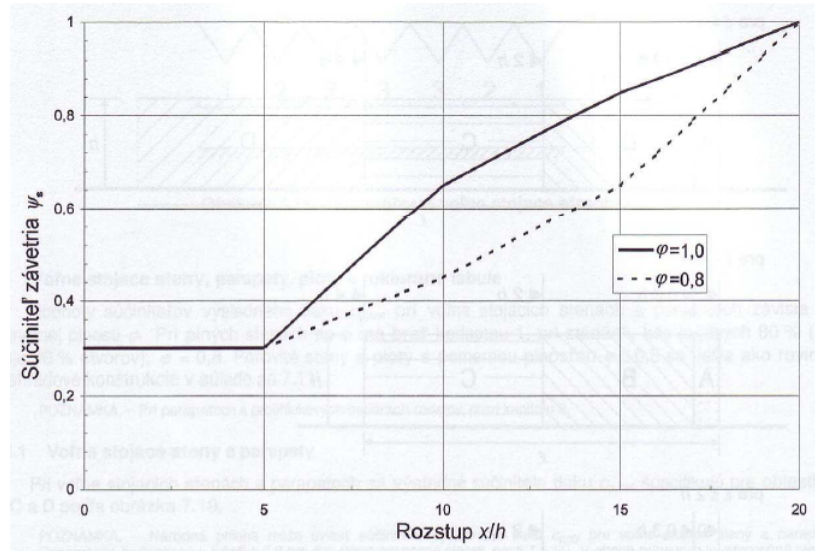


Obr. 3.17: Rozloženie zaťaženia

Pokiaľ leží zábradlie v závetri, môžme hodnotu $c_{p,net}$ redukovať súčiniteľom závetria ψ_s .

$$c_{p,net,s} = c_{p,net} * \psi_s$$

Súčiniteľ ψ_s je závislý od pomernej plnosti φ a rozostupu x/h .



Obr. 3.18: Súčiniteľ závetria ψ_s

Pôsobenie vetra kolmo na povrch zjazdovej plochy

Inšpirujeme sa pultovou strechou. Tlak na plochu sa spočíta ako:

$$w_e = q_p(z) * c_{pe,10}$$

Odtrhávanie vírov

Priečne rezonančné kmitanie sa objaví, keď sa víry odtrhávajú striedavo na opačných stranách konštrukcie. Tým sa vytvára pulzačné zaťaženie kolmo na smer vetra. Kmitanie nastáva vtedy, keď frekvencia odtrhávania vírov je v zhode s vlastnou frekvenciou konštrukcie. To nastáva, pokiaľ rýchlosť vetra je v zhode s kritickou rýchlosťou v_{crit} .

$$v_{crit} = \frac{b * n_{i,y}}{St}$$

Účinok odtrhávania vírov netreba skúmať, keď:

$$v_{crit} > 1,25 * v_m$$

b . . . najmenšia šírka priečneho rezu

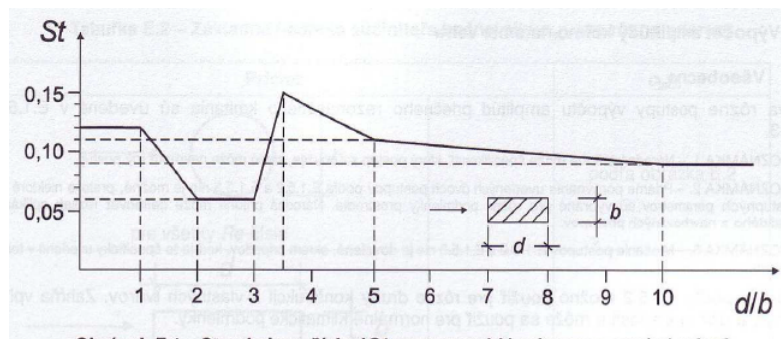
Vzniká tu priečne rezonančné kmitanie a výchylka vlastného tvaru je tu maximom pre konštrukciu.

$n_{i,y}$. . . vlastná frekvencia uvažovaného ohybového tvaru kmitania, kolmo na smer vetra

Budeme uvažovať najnižšiu frekvenciu v kmitaní kolmo na smer vetra, čím opäť znížime v_{crit} a teda budeme na bezpečnej strane. Kedže vektor môže pôsobiť z rôznych smerov, budeme uvažovať prvý vlastný tvar a teda $n_{i,y} = n_{1,x}$

St . . . Strouhalovo číslo

Odčítame z priloženého grafu ako maximálnu hodnotu. Tým si znížime v_{crit} a budeme na bezpečnej strane.



Obrázok E.1 – Strouhalovo číslo (St) pre pravouhlé prierezy s ostrými rohmi

Obr. 3.19: Strouhalovo číslo

Galoping

Samobudiace kmitanie konštrukcie kolmo na smer vetra. Nekruhové duté prierezy vrátane prierezov L-, I-, U- a T-tvaru majú sklon ku galopingu. Kmitanie v galopingu začína pri špeciálnej nábehovej rýchlosťi vetra v_{cg} .

$$v_{cg} = \frac{2 * Sc}{a_g} * n_{1,y} * b$$

Sc ... Scrutonovo číslo

$$Sc = \frac{2 * \delta * m_{i,e}}{\rho * b^2}$$

δ ... logaritimický dekrement tlmenia konštrukcie

Bolo vysvetlené vyššie.

$m_{i,e}$... ekvivalentná hmotnosť na jednotku dĺžky

Podľa STN EN 1991-1-4 (F.4) je definovaná takto:

$$m_e = \frac{\int_0^l m(s) * \phi_1^2(s) ds}{\int_0^l \phi_1^2(s) ds}$$

Avšak pri konzolových konštrukciách je možné m_e aproximovať cez hornú tretinu konštrukcie. Z tejto definícii to počítame ako pomer hmotnosti hornej tretiny konštrukcie ku príslušnej dĺžke.

$a_g = 10$... súčiniteľ nestability v galopingu

$n_{1,y}$... základná vlastná frekvencia kolmo na smer vetra

Aby sme mohli zanedbať galoping je treba splniť podmienku:

$$v_{cg} > 1,25 * v_m$$

Interakcia Galopingu s odtrhávaním vírov

Zohľadní sa pokiaľ:

$$0,7 < \frac{v_{cg}}{v_{crit}} < 1,5$$

3.2.4 Vietor-výpočet

Výpočet zaťaženia je iteratívny proces, keďže veľkosť zaťaženia závisí od daného prutu. Jedna z potrebných hodnôt na získanie zaťaženia, je aj vlastná frekvencia. V programe SCIA Engineer 15.3.120 sme vytvorili kombináciu hmôr z nasledovných skupín hmôr: vlastná tiahla, trapéz, pororošt a zábradlie. Ná sledne sme vyšetrili vlastné tvary konštrukcie. Zaujíma nás najnižší ohybový vlastný tvar. V rámci tejto podkapitoly nájdete aj vykreslenie prvých troch vlastných tvarov.

Kombinace skupin hmot

Jméno	Skupina hmot	Souč. [-]
CM1	MG1	1,00
	MG2	1,00
	MG3	1,00
	MG4	1,00

Obr. 3.20: Kombinácia skupín hmôr

Zatáčenie vetrom podľa STN EN 1991-1-4

Kategória terénu : III

Fundamentálna hodnota

základnej rýchlosťi vetra $v_{b,0}$

$$v_{b,0} = \boxed{\quad} \text{ m/s}$$

Základná rýchlosť vetra v_b

Súčinitel' smerovosti c_{dir}

$$c_{dir} = 1$$

Súčinitel' sezónnosti c_{season}

$$c_{season} = 1$$

Základná rýchlosť vetra v_b

$$v_b = 36 \text{ m/s}$$

Stredná rýchlosť vetra $v_m(z)$

Súčinitel' terénu k_r

$$z_{0,II} = 0,05 \text{ m}$$

$$k_r = 0,19 \left(\frac{z_0}{z_{0,II}} \right)^{0,07}$$

$$k_r = 0,215$$

Súčinitel' drsnosti $c_r(z)$:

$$z = 51,6 \text{ m}$$

$$c_r(z) = k_r \ln \left(\frac{z}{z_0} \right) \text{ pre } z_{min} < z \leq z_{max}$$

$$z_0 = 0,3 \text{ m}$$

$$c_r(z) = c_r(z_{min}) \text{ pre } z \leq z_{min}$$

$$z_{min} = 5 \text{ m}$$

$$c_r(z) = 1,109$$

$$z_{max} = 200 \text{ m}$$

Súčinitel' orografie $c_o(z)$

$$c_o(z) = 1$$

Stredná rýchlosť vetra $v_m(z)$

$$v_m(z) = \boxed{\quad} \text{ m/s}$$

Špičkový tlak vetra $q_p(z)$

Smerodajná odchylka

turbulentnej zložky rýchlosťi

vetra σ_v

$$\sigma_v = k_r v_b k_I$$

$$\sigma_v = 7,754 \text{ m/s}$$

$$k_I = 1$$

Intenzita turbulencie $I_v(z)$

$$I_v(z) = \frac{\sigma_v}{v_m(z)} \text{ pre } z_{min} < z \leq z_{max}$$

$$I_v(z) = I_v(z_{min}) \text{ pre } z \leq z_{min}$$

$$I_v(z_s) = 0,194$$

Hustota vzduchu ρ

$$\rho = 1,250 \text{ kg/m}^3$$

Špičkový tlak vetru $q_p(z)$

$$q_p(z) = 2,350 \text{ kN/m}^2$$

Turbulencia vetra

Merná dĺžka turbulencie $L(z)$

$$\alpha = 0,67 + 0,05 \ln(z_0)$$

$$L_t = 300 \text{ m}$$

$$\alpha = 0,610$$

$$z_t = 200 \text{ m}$$

$$L(z) = 131,319 \text{ m}$$

Bezrozmerná frekvencia

$$\begin{aligned}
n_{1,x} &= 1,44 \text{ Hz} && \text{vlastná frekvencia konštrukcie} \\
c_r(z_s) &= 0,999 \\
z_s &= 30,96 \text{ m} \\
L(z_s) &= 96,171 \text{ m} \\
f_L(z_s, n_{1,x}) &= \frac{n_{1,x} * L(z_s)}{v_m(z_s)} \\
f_L(z_s, n_{1,x}) &= 3,852
\end{aligned}$$

Funkcia bezrozmernej spektrálnej výkonovej hustoty $S_L(z,n)$

$$S_L(z_s, n_{1,x}) = 0,055$$

Súčinieľ pôvodu odozvy B^2

$$\begin{aligned}
b &= 5,6 \text{ m} \\
h &= 51,6 \text{ m} \\
B^2 &= 0,607
\end{aligned}$$

Funkcia aerodynamickej admitancie R_h/R_b

$$\begin{aligned}
\eta_h &= 9,50686 \\
\eta_b &= 1,03175 \\
R_h &= 0,100 \\
R_b &= 0,559
\end{aligned}$$

Logaritmický dekrement konštrukčného tlmenia δ_s

$$\delta_s = 0,02$$

Logaritmický dekrement aerodynamického tlmenia δ_a

$$\begin{aligned}
c_f &= 1,116 \\
\rho &= 1,250 \text{ kg/m}^3 \\
b &= 5,6 \text{ m} \\
n_{1,x} &= 1,44 \text{ Hz} \\
L/3 &= 25 \text{ m} \\
m &= 192 \text{ ton} \quad (\text{celková hmotnosť konštrukcie}) \\
m_e &= 2560 \text{ kg/m} \\
\delta_a &= 0,042
\end{aligned}$$

Celkový logaritmický dekrement δ

$$\delta = 0,062$$

Súčinieľ rezonančnej odozvy R^2

$$R^2 = 0,244$$

Súčinieľ špičiek k_p

$$\begin{aligned}
v &= 0,772 \text{ Hz} & \geq & 0,08 \text{ Hz} & \text{OK} \\
T &= 600 \text{ s} & \text{podľa normy} &
\end{aligned}$$

$$k_p = 3,675$$

Súčinatel konštrukcie $c_s c_d$

$$c_s c_d = 0,982$$

Súčinatel účinku koncov c_f

Výpočet štíhlosti λ
L = 75 m
b = 5,6 m
 $\lambda = 18,75$

Pomerná plnosť φ
A = 126 m²
Ac = 682 m²
 $\varphi = 0,185$

Reynoldsovo číslo pre kruhové prierezy :

vznačen	b [mm]	v [m ² /s]	v(z _e) [m/s]	Re	c _{f,o}
1	88,9	1,50E-05	1,939	1,15E+04	1,2
2	48,3	1,50E-05	1,939	6,24E+03	1,2

V tomto prípade sa $b = h_{ref}$

značan	d [mm]	b [mm]	d/b	$c_{f,0}$	ψ_r	ψ_k	c_f	c_{cd}	$q_p(z) [\text{kN/m}^2]$	$f_{w,tlak} [\text{KN/m}]$	
1	400	400	1,000	2,1	1	0,93	1,953	0,986	2,350	1,810	Horný pas (SHS400)
2	300	300	1,000	2,1	1	0,93	1,953	0,986	2,350	1,358	Diagonál (SHS300)
3	300	300	1,000	2,1	1	0,93	1,953	0,986	2,350	1,358	Zvyslice 1 (SHS300)
4	400	400	1,000	2,1	1	0,93	1,953	0,986	2,350	1,810	Zvyslice 2 (SHS400)
5	450	450	1,000	2,1	1	0,93	1,953	0,986	2,350	2,037	Dolný pas (SHS450)
6	250	250	1,000	2,1	1	0,93	1,953	0,986	2,350	1,131	Stuženie D (SHS250)
7	100	200	0,500	2,3	1	0,93	2,139	0,986	2,350	0,991	Schody_D_1 (SHS200/100)
8	200	100	2,000	1,65	1	0,93	1,535	0,986	2,350	0,356	Schody_D_1 (SHS200/120)
9	-	88,9	-	1,2	-	0,93	1,116	0,986	2,350	0,230	Tiahlo_88,9 zaves/schody
10	65	140	0,464	2	-	0,93	1,86	0,986	2,350	0,280	(UPE140)
11	64	120	0,533	2	-	0,93	1,86	0,986	2,350	0,517	Schody_D_3 (IPE120)
12	140	73	1,918	1,2	-	0,93	1,116	0,986	2,350	0,189	H.P.1_1 (IPE140)
13	220	110	2,000	2	-	0,93	1,86	0,986	2,350	0,474	H.P.1_2 (IPE220)
14	180	100	1,800	2	-	0,93	1,86	0,986	2,350	0,431	H.P.1_3 (I180/100)
15	-	48,3	-	1,2	-	0,93	1,116	0,986	2,350	0,125	Tiahlo_48,3 Schody
16	200	80	2,500	2	-	0,93	1,86	0,986	2,350	0,345	(UPE200)
17	300	200	1,500	1,2	-	0,93	1,116	0,986	2,350	0,517	H.P.2_2 (SHS300/200)
18	220	120	1,833	2	-	0,93	1,86	0,986	2,350	0,517	H.P.2_1 (IPE240)
19	270	135	2,000	2	-	0,93	1,86	0,986	2,350	0,582	H.P.3_1 (IPE270)
20	300	290	1,034	2	-	0,93	1,86	0,986	2,350	1,250	Dráha (HEA300)

Vektor kolmo na zjazdovú plochu y+

Súčineteľ c_{pe} sa odčíta z normy (pultové strechy)

$$\alpha = 35^\circ$$

$$c_{pe,10} = 0,467$$

$$q_p(z) = 2,350 \text{ kN/m}^2$$

$$w_e = 1,097 \text{ kN/m}^2$$

$$\alpha = 0^\circ$$

$$c_{pe,10} = 0$$

$$q_p(z) = 2,350 \text{ kN/m}^2$$

$$w_e = 0,000 \text{ kN/m}^2$$

Vektor s účinkami zdvýhania konštrukcie y-

Riešime to pomocou súčiniteľov sily. Jednotlivé prvky zaťažíme prislúchajúcim spojitém zaťažením v zmysle

Vplyv vetru na plnostenné zábradlie

Oblast' plošiny $L > 4h$

	$c_{p,net}$	L_{rel} [m]	$q_p(z)$ [kN/m ²]	$w_e * h$ [kN/m]	x/h	ψ_s	$c_{p,net,s}$	$w_{e,s} * h$ [kN/m]
A	2,9	0,36	2,350	8,177	5,8	0,35	1,015	2,86
B	1,8	2,4	2,350	5,075	5,8	0,35	0,63	1,78
C	1,4	4,8	2,350	3,948	5,8	0,35	0,49	1,38
D	1,2	-	2,350	3,384	5,8	0,35	0,42	1,18

Oblast' plošiny $L \leq 2h$

	$c_{p,net}$	L_{rel} [m]	$q_p(z)$ [kN/m ²]	$w_e * h$ [kN/m]	x/h	ψ_s	$c_{p,net,s}$	$w_{e,s} * h$ [kN/m]
A	2,3	0,36	2,350	6,485	5,8	0,35	0,805	2,27
B	1,4	2,4	2,350	3,948	5,8	0,35	0,49	1,38

Schodisko $L > 10h$

	$c_{p,net}$	$q_p(z)$ [kN/m ²]	$w_e * h$ [kN/m]	x/h	ψ_s	$c_{p,net,s}$	$w_{e,s} * h$ [kN/m]
A	3,4	2,350	10,386	3,8	0,3	1,02	3,12
B	2,1	2,350	6,415	3,8	0,3	0,63	1,92
C	1,7	2,350	5,193	3,8	0,3	0,51	1,56
D	1,2	2,350	3,666	3,8	0,3	0,36	0,85

Posúdenie priečneho rezonančného kmitania od odtrhávania vírov

$$b = 5,6 \text{ m}$$

$$n_{i,y} = 1,44 \text{ Hz}$$

$$St = 0,15$$

$$v_{crit} = 53,76 \text{ m/s}$$

Podmienka:

$$v_{crit} > 1,25 * v_m$$

$$53,76 > 49,892 \text{ [m/s]}$$

Účinok odtrhávania vírov môžeme zanedbať

Posúdenie Galopingu

$$\begin{aligned}
\delta_s &= 0,062 \\
m_{i,c} &= 2560 \text{ kg/m} \\
\rho &= 1,250 \text{ kg/m}^3 \\
b &= 5,6 \text{ m} \\
Sc &= 8,136
\end{aligned}$$

$$\begin{aligned}
n_{1,y} &= 1,44 \text{ Hz} \\
a_g &= 1,7 \text{ (Podľa tabuľky E.7 v STN EN 1991-1-4)} \\
v_{cg} &= 77,187 \text{ m/s}
\end{aligned}$$

Podmienka : $v_{cg} > 1,25 * v_m$

$$77,186932 > 49,8922 \text{ [m/s]}$$

Galoping môžeme zanedbať

Interakcia : $0,7 < \frac{v_{cg}}{v_{crit}} < 1,5$

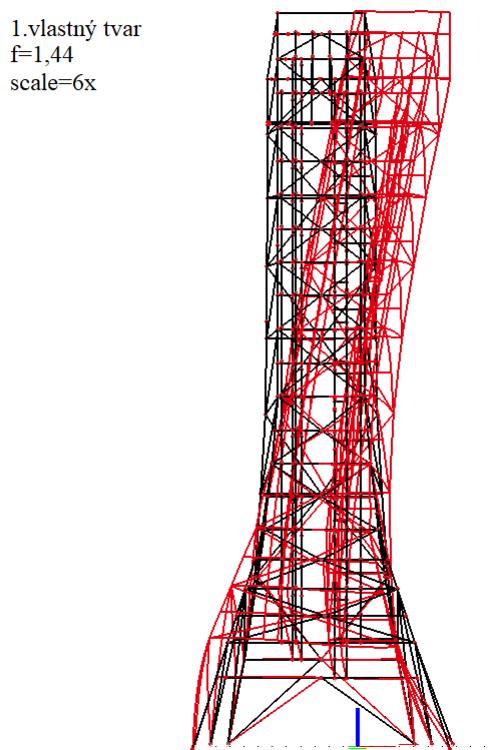
$$v_{cg}/v_{crit} = 1,436$$

Interakcia sa musí zohľadniť, v takomto prípade sa odporúča vyžadať expertné vyjadrenie

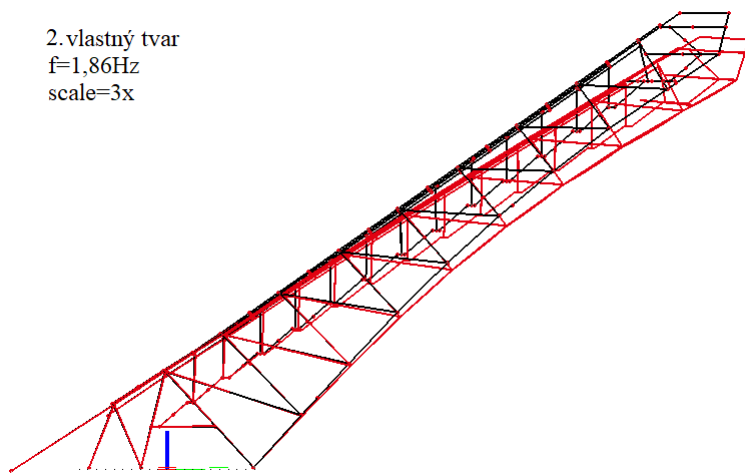
Vlastní frekvence

N	f [Hz]	omega [1/s]	omega ² [1/s ²]	T [s]
Kombinace hmot : CM1				
1	1,44	9,03	81,53	0,70
2	1,86	11,66	135,86	0,54
3	2,64	16,56	274,36	0,38
4	3,68	23,09	533,25	0,27
5	4,17	26,20	686,68	0,24
6	4,63	29,09	846,25	0,22
7	4,70	29,53	871,95	0,21
8	4,87	30,59	936,03	0,21
9	5,11	32,11	1030,85	0,20

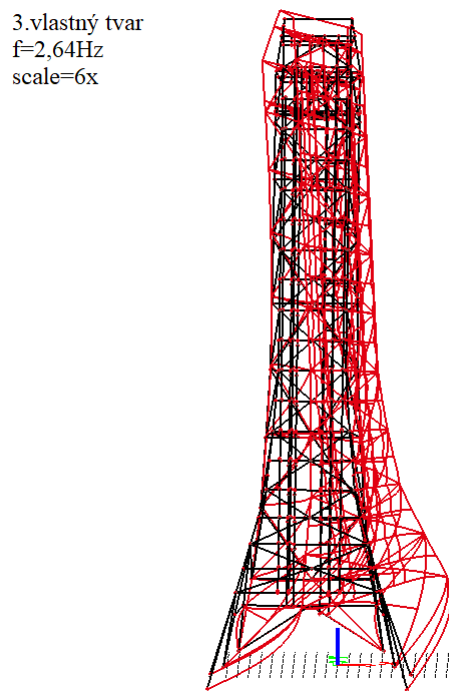
Obr. 3.21: Vlastné frekvencie



Obr. 3.22: 1. vlastný tvar



Obr. 3.23: 2. vlastný tvar



Obr. 3.24: 3. vlastný tvar

Smer x

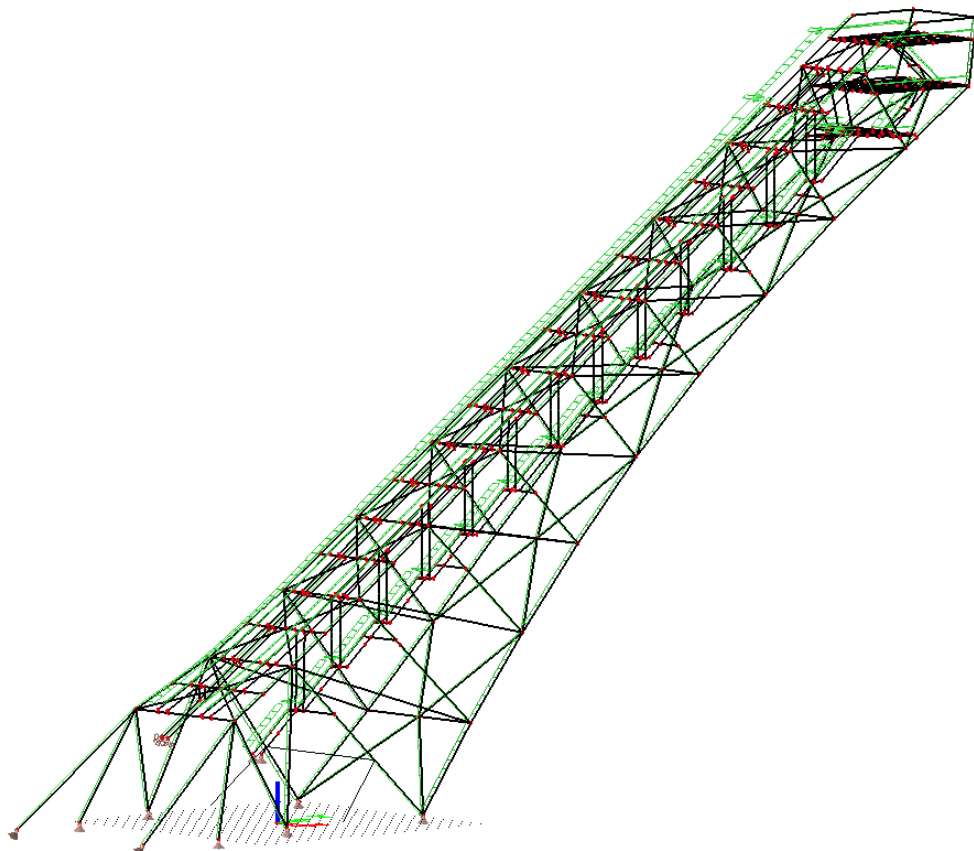
V tomto smere sme zaťažovali prúty líniovým zaťažením podľa príslušného prierezu. Ďalší vplyv na hodnotu zaťaženia má zábradlie. V miestach, kde je zábradlie, sme sa riadili podľa líniového zaťaženia na zábradlí a zadávali sme ho s príslušnou excentricitou 55cm. V týchto miestach bolo zadané líniové zaťaženie iba od zábradlia.

Smer y+

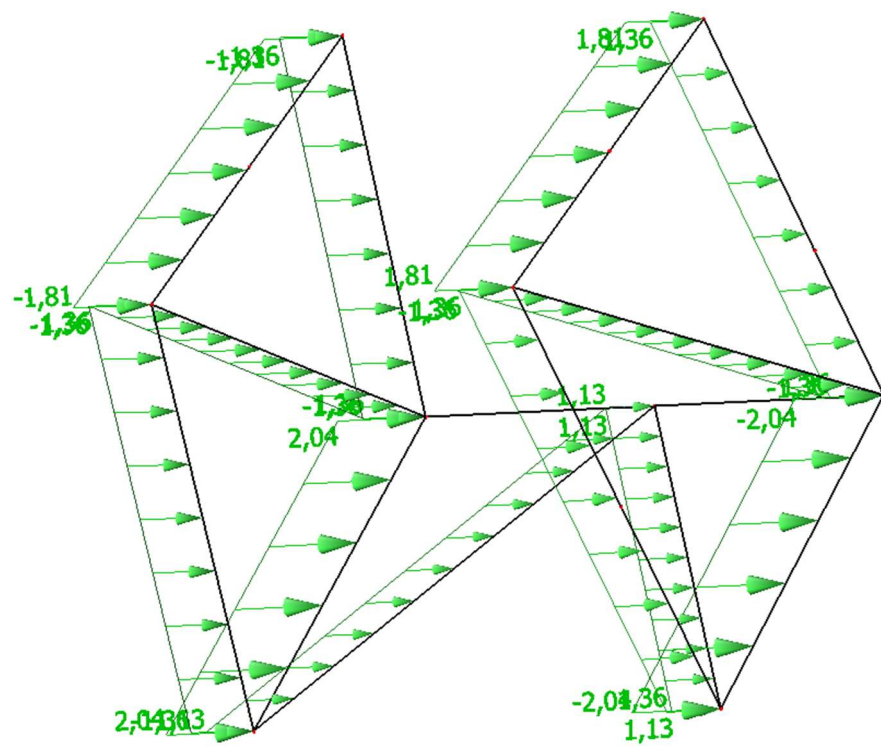
V smere y+ sme kombinovali vplyv na plnú plochu(zjazdová dráha) a vplyv na jednotlivé prúty. Hodnota zaťaženia na plochu, počítaná ako pultová strecha sa prenásobí vzdialenosťou horných priečnikov, na ktoré je aplikovaná, ako líniové zaťaženie. Líniové zaťaženie sme takisto v príslušnom smere aplikovali na dolný pás HN, dolné stuženie, dolné schodisko a diagonály. Viedol nás k tomu fakt, že nevieme s istotou odhadnúť, ako presne nám bude pôsobiť vietor na konštrukciu a týmto postupom ležíme na bezpečnej strane.

Smer y-

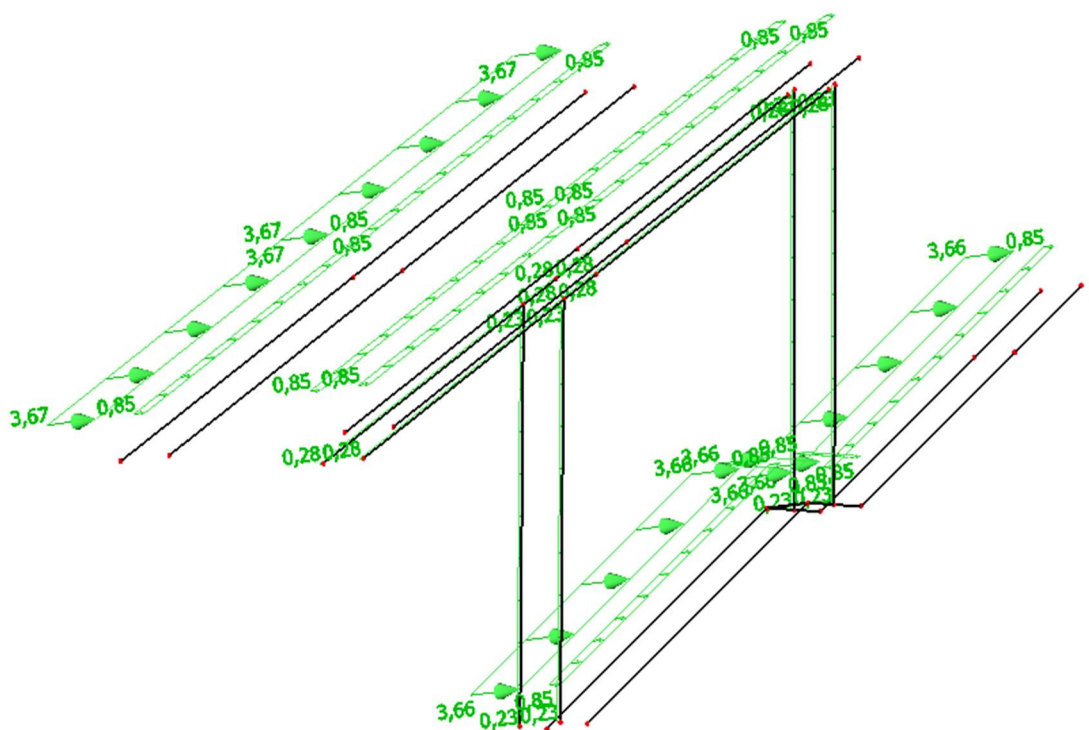
Vytvorili sme ešte jeden zaťažovací stav, kedy predpokladáme, že vietor bude podfukovať mostík. Tento zaťažovací stav pôsobí pozitívne, pretože nám nadľahčuje konštrukciu. Problém by to mohol byť, ak by zaťaženie bolo väčšie ako vlastná váha + stále zaťaženie. Tento prípad avšak nenastal. Jediné čo bolo treba zohľadniť je nadľahčovanie schodiska a tým vnášanie dodatočného tlaku do tiahel, na ktorých schodisko visí. Táto situácia bola zohľadnená a nehrala žiadnu významnú rolu.



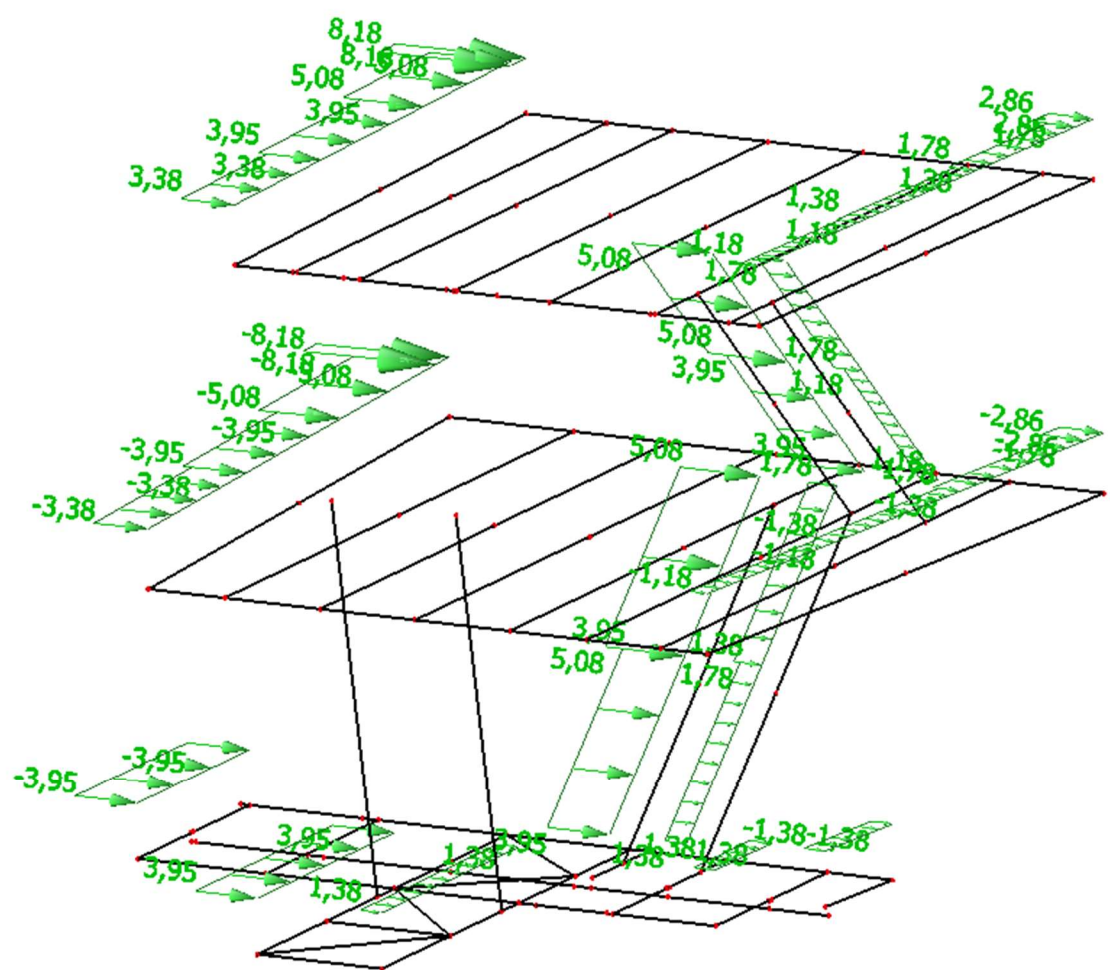
Obr. 3.25: Zaťaženie vetrom x



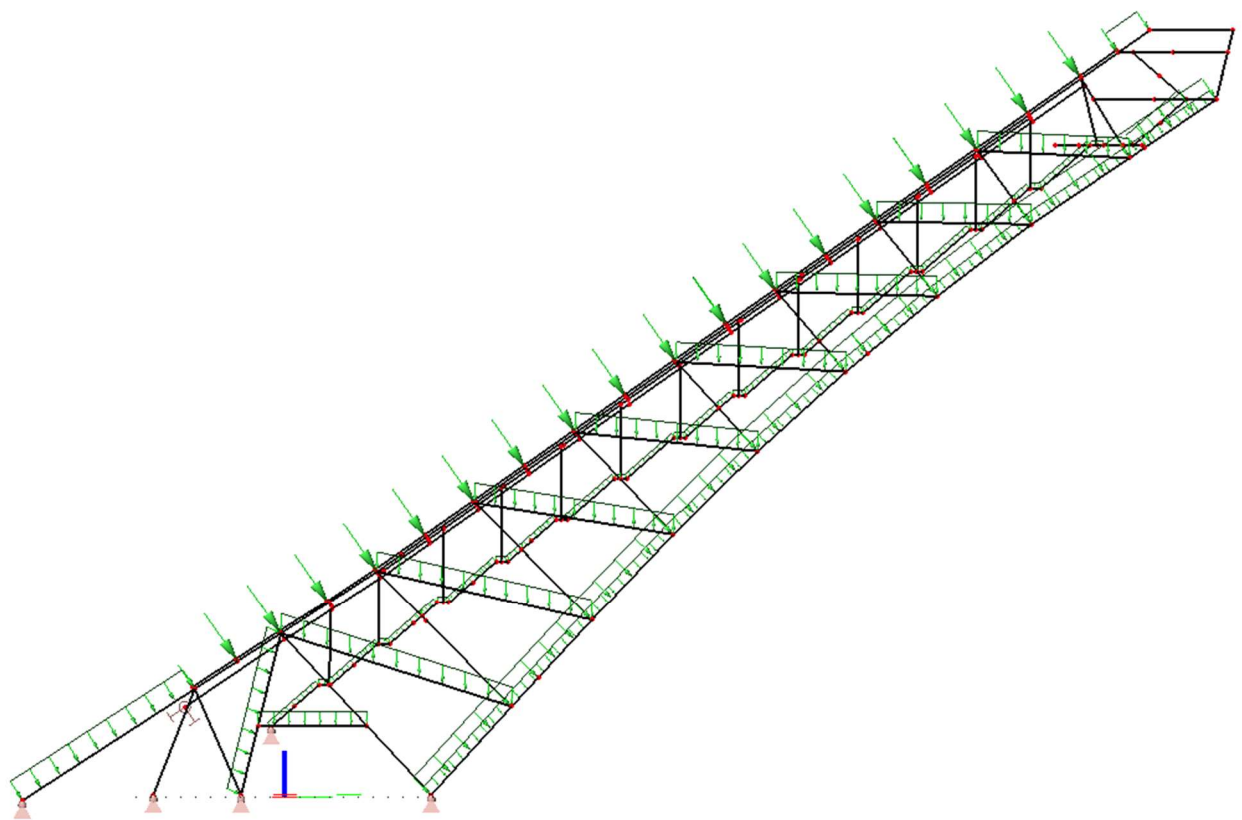
Vietor_x: HNK+DS



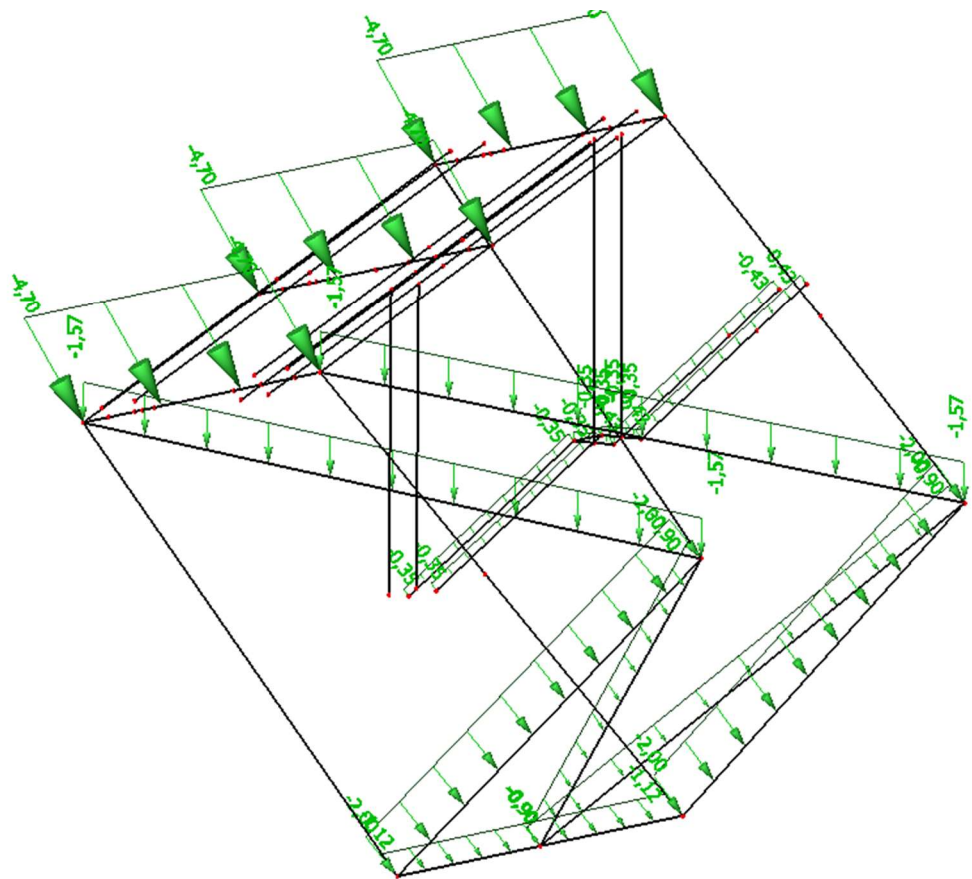
Vietor_x:dolné/horné schody



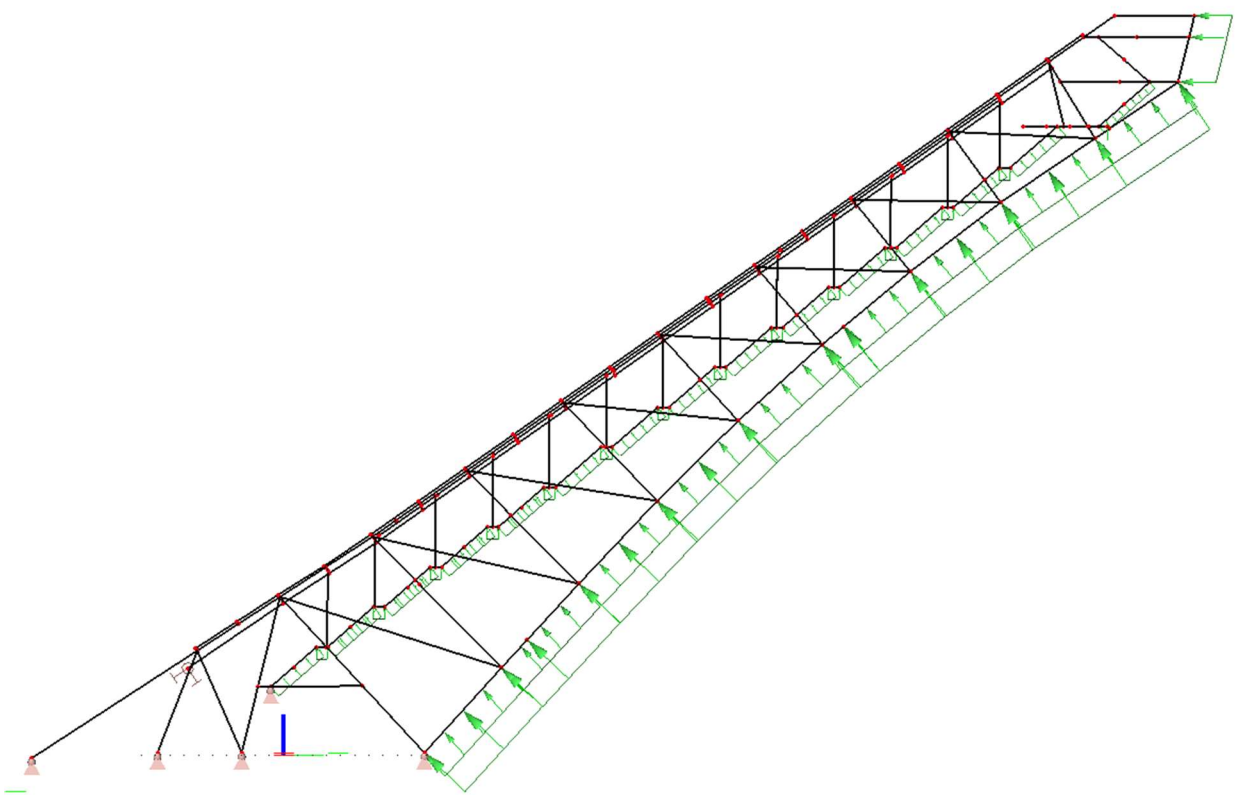
Vietor_x: horné plošiny HP1/2/3



Vietor_y+



Vietor_y+: typický výrez



Vektor y-: podfukovanie konštrukcie

3.2.5 Sneh

Štrbské Pleso spadá do oblasti V, ktorá podľa normy dosahuje charakteristické zaťaženie snehom na povrchu zeme $s_k > 2,25 \text{ kN/m}^2$.

Kedže je to dosť nepresná hodnota, požiadali sme SHMÚ o upresnenie hodnoty s_k . Vzhľadom na vysokú variabilitu zaznamenaných zimných maxím, vyžadujú sa podľa STN EN 1991-1-3-NA (4.1.(1)) záznamy minimálne z 20 rokov. Naše zaťaženie s_k bolo stanované na základe meraní v rozmedzí 1961-2010.

Charakteristické zaťaženie snehom na povrchu zeme : $s_k = X \text{ kN/m}^2$

Podľa SHMÚ nespadá záujmová lokalita do oblasti s výskytom výnimcočných zaťažení snehom. Uvažujeme dočasné/trvalé návrhové situácie pre nezávejové usporiadanie snehu.

Zaťaženie snehom na plochu budeme uvažovať ako:

$$s = \mu * C_e * C_t * s_k$$

μ . . . súčinieľ tvaru

Pri vodorovných plochách uvažujeme $\mu = 0,8$ a pri šikmej rovine sa vypočíta podľa vzorca $0,8*(60 - \alpha)/30$, čo pre $\alpha = 35^\circ$ vychádza $\mu = 0,67$.

$C_e = 0,8$. . . súčinieľ expozície

$C_e = 1,0$. . . tepelný súčinieľ

Topografia	C_e
Veterná (sneh odfukovaný vetrom) ^{a)}	0,80
Normálna (bežná) ^{b)}	1,00
Chránená ^{c)}	1,20

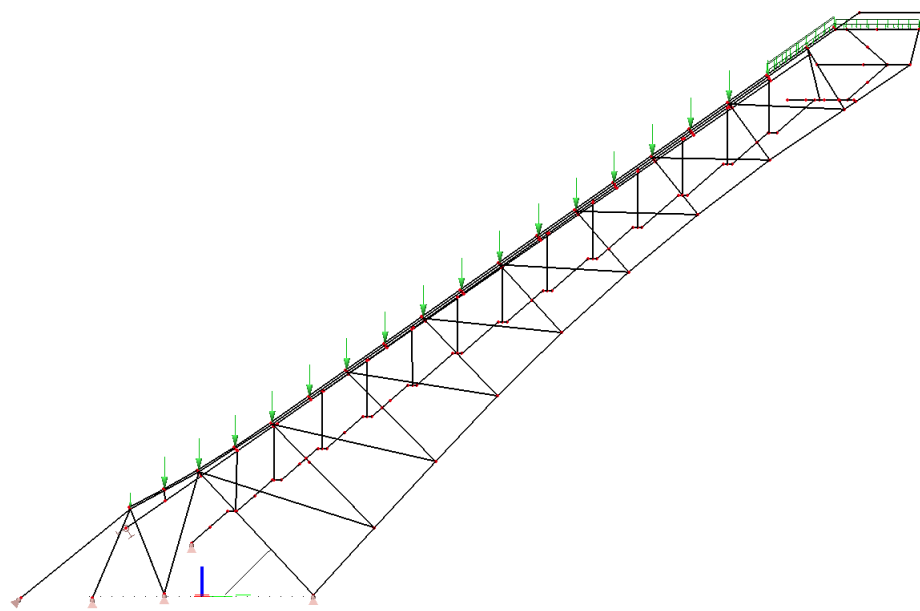
Obr. 3.26: Súčinieľ expozície

Vodorovné plochy:

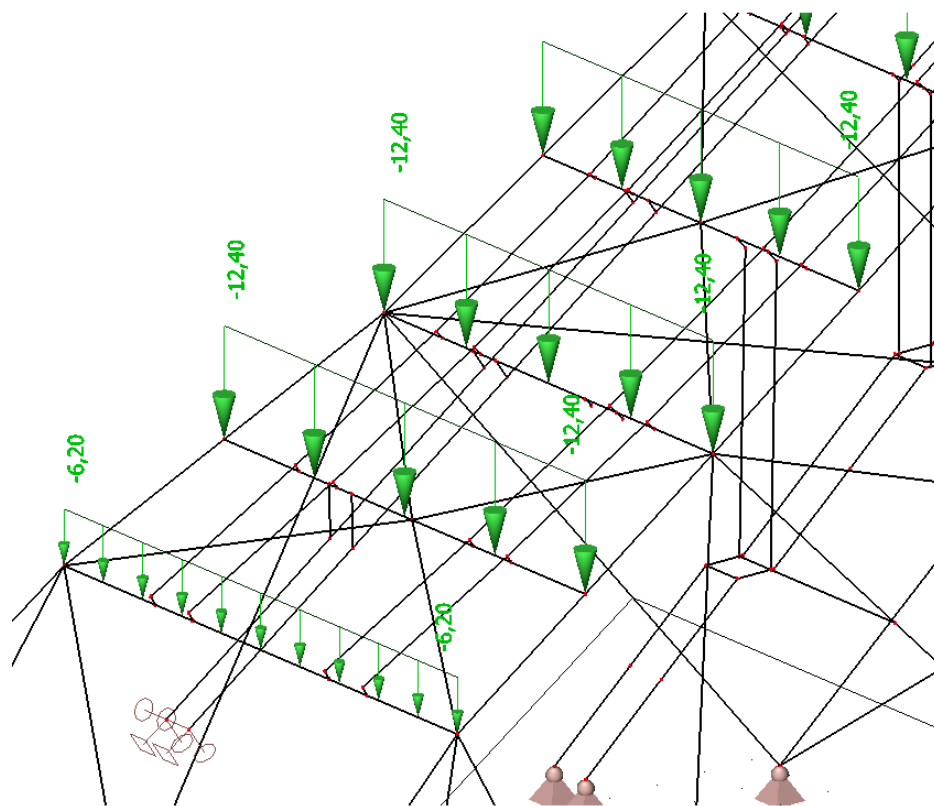
$$s = 0,8 * 0,8 * 1,0 * X = X \text{ kN/m}^2$$

Šikmé plochy:

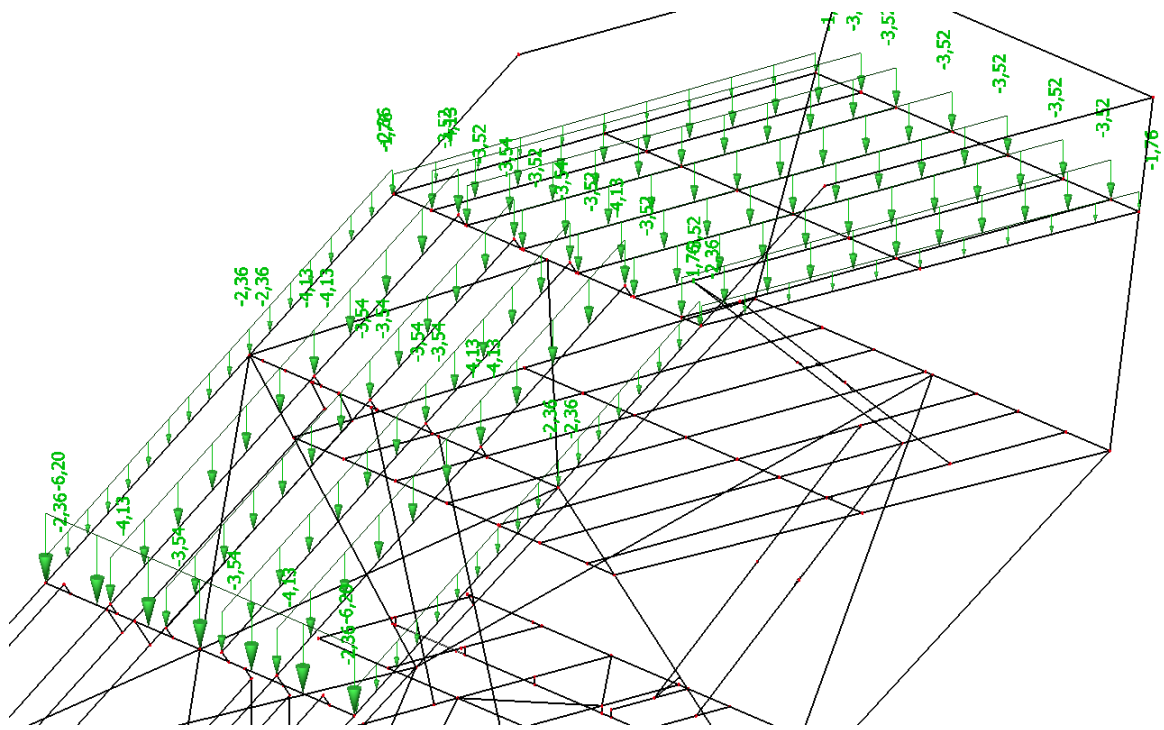
$$s = 0,67 * 0,8 * 1,0 * X = X \text{ kN/m}^2$$



Obr. 3.27: Zaťaženie snehom



Obr. 3.28: Detail - zjazdová plošina(horné priečniky)



Obr. 3.29: Detail - horná plošina HP3

3.2.6 Teplota

Postupovali sme podľa STN EN 1991-1-5 kapitola 6, ktorá sa venuje mostom. Našu konštrukciu sme v tomto prípade riešili ako oceľový priečkový most s ortotropnou mostovkou. Táto konštrukcia mosta sa radí do typu 1.

Zaťaženie je rozdelené na rovnomernú a rozdielovú zložku teploty.

Typ 1	Oceľová nosná konštrukcia mosta:	– oceľový komorový nosník – oceľový priečodový alebo plnostenný nosník
Typ 2	Spráchnutá nosná konštrukcia mosta	
Typ 3	Betónová nosná konštrukcia mosta:	– betónová doska – betónový nosník – betónový komorový nosník

Obr. 3.30: Typ konštrukcie

Rovnomerná zložka teploty:

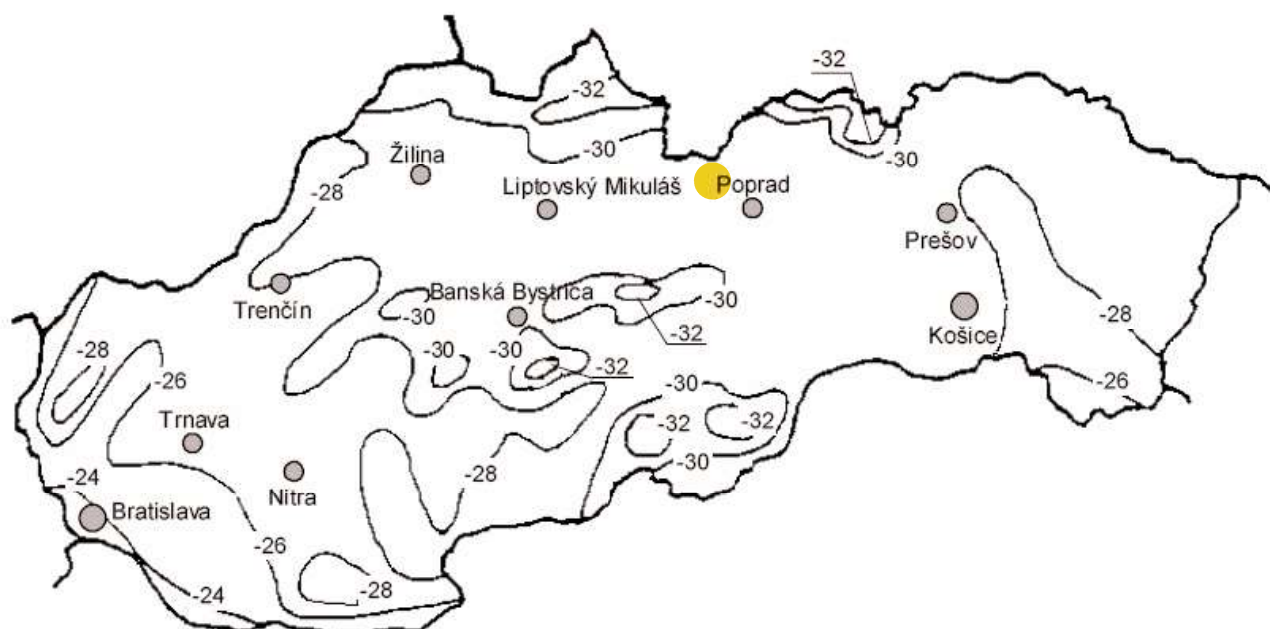
Závisí od minimálnej a maximálnej teploty ktorú most dosiahne, tj. $T_{e,min}$ a $T_{e,max}$. Tieto hodnoty sa odčítajú z obrázku 3.31. Hodnoty T_{max} (maximálna teplota vzduchu v tieni) a T_{min} (minimálna teplota vzduchu v tieni) sú podľa miesta stavby odčítané z izoterm, ktoré sa nachádzajú v národnej prílohe STN EN 1991-1-5. V našom prípade dostávame hodnoty:

$$T_{max} = 40^\circ$$

$$T_{min} = -30^\circ$$

Národná príloha NB (Informatívna)

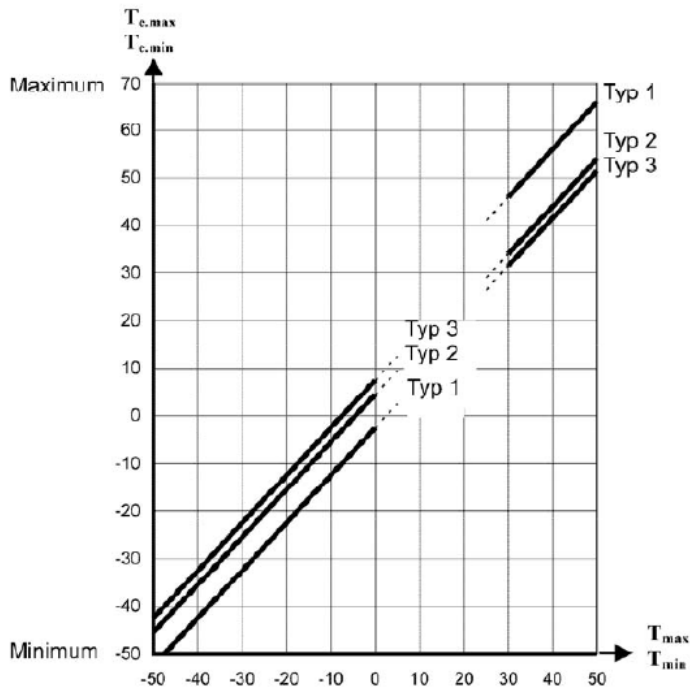
Mapy s izotermami



Obrázok NB.1: Izotermy minimálnej teploty vzduchu v tieni v °C



Obrázok NB.2: Izotermy maximálnej teploty vzduchu v tieni v °C



POZNÁMKA 1. – Hodnoty na obrázku 6.1 vychádzajú z denných teplotných rozsahov 10°C . Tento rozsah možno považovať za primeraný pre väčšiu členských krajín.

POZNÁMKA 2. – Pre oceľové priečadlové a plnostenné nosníky sa môžu maximálne hodnoty uvedené pre typ 1 zmenšiť o 3°C .

Obr. 3.31: Rozsah teplôt

Z priloženého obrázku 3.31 dostávame príslušnú maximálnu a minimálnu teplotu mostu, pričom maximálna hodnota je znížená o 3°C podľa poznámky 2 na obrázku 3.31.

$$T_{e,\max} = 53^{\circ}$$

$$T_{e,\min} = -33^{\circ}$$

Maximálny rozsah rovnomených teplôt pre počiatočnú teplotu konštrukcie $T_0 = 10^{\circ}\text{C}$:

$$T_{N,neg} = T_{e,\min} - T_0 = -33 - 10 = -43^{\circ}$$

$$T_{N,pos} = T_{e,\max} - T_0 = 53 - 10 = 43^{\circ}$$

Zvislá lineárna zložka teplotného spádu:

Ďalej budeme uvažovať lineárnu zmenu teploty po výške prierezu. Zohľadnia sa prostredníctvom ekvivalentnej zložky teplotného spádu $\Delta T_{M,heat}$ a $\Delta T_{M,cool}$, ktorá sa ďalej redukuje súčiniteľom k_{sur} podľa hrúbky povrchovej úpravy. Tieto hodnoty sa použijú medzi horným a spodným povrhom nosnej konštrukcie. Pre typ 1 dostávame:

Výsledná zmena teploty:

Typ nosnej konštrukcie	Horný povrch teplejší ako spodný	Spodný povrch teplejší ako horný
	$\Delta T_{M,heat}$ ($^{\circ}\text{C}$)	$\Delta T_{M,cool}$ ($^{\circ}\text{C}$)
Typ 1: Ocelová nosná konštrukcia	18	13

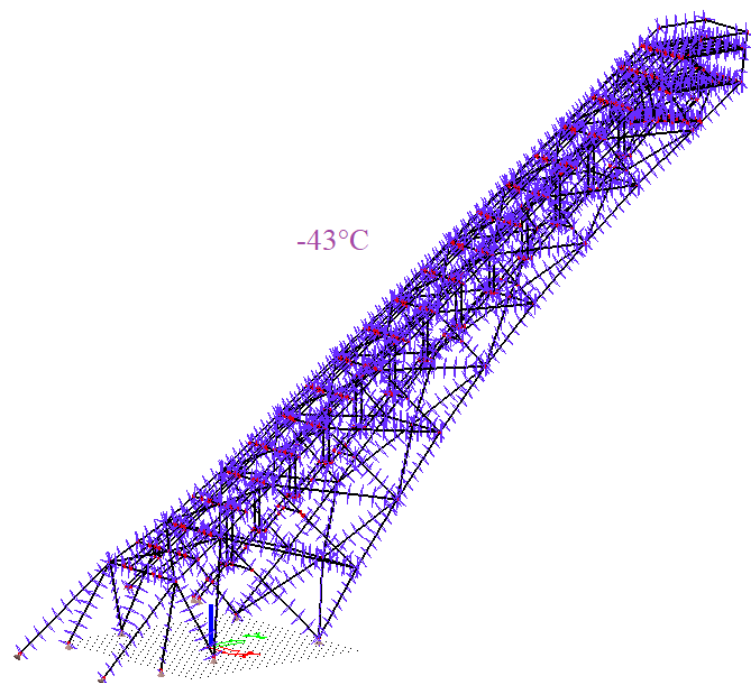
Obr. 3.32: Ekvivalentné zložky teplotného spádu

Hrúbka povrchovej úpravy	Typ 1	
	Horný povrch teplejší ako spodný	Spodný povrch teplejší ako horný
[mm]	k_{sur}	k_{sur}
bez povrchovej úpravy	0,7	0,9

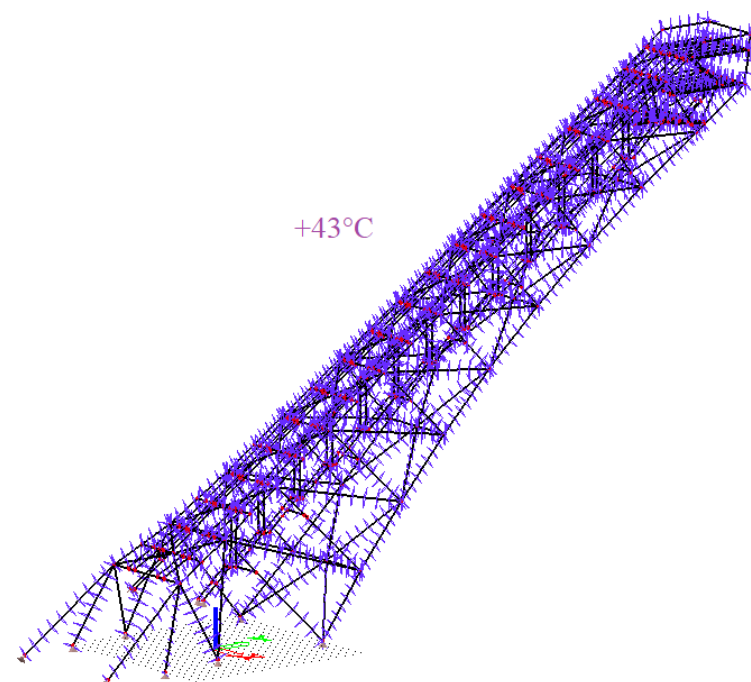
Obr. 3.33: Súčiniteľ k_{sur}

$$\Delta T_{M,heat} = 18 * 0,7 = 12,6^{\circ}$$

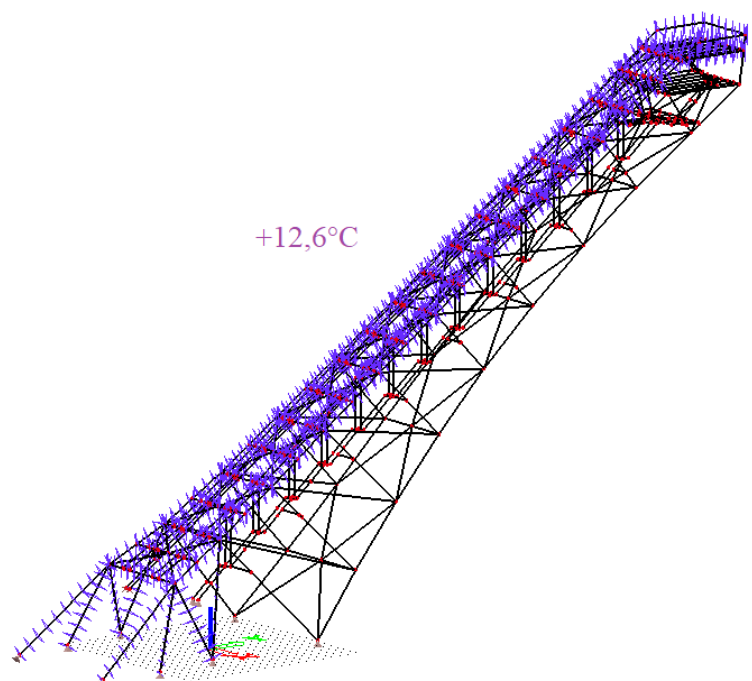
$$\Delta T_{M,cool} = 13 * 0,9 = 11,7^{\circ}$$



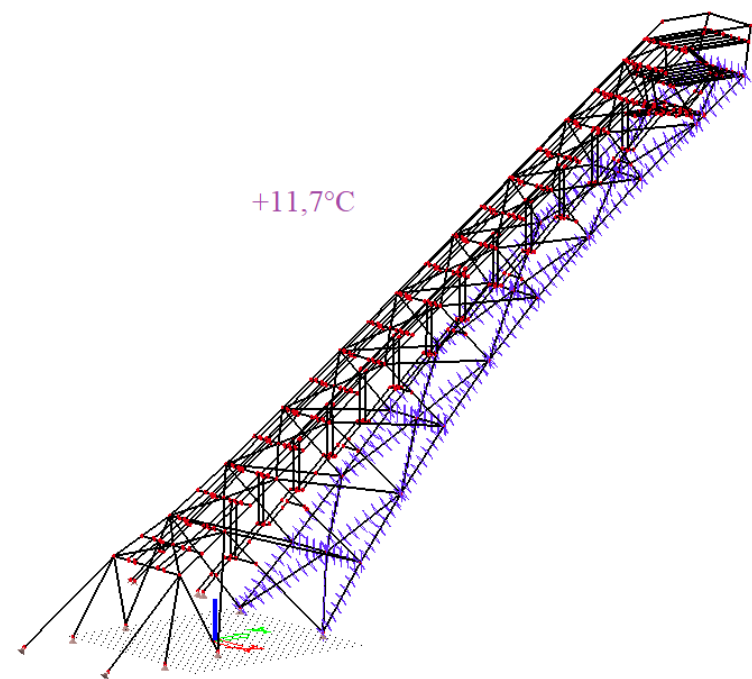
Obr. 3.34: Zaťaženie od $T_{N,neg}$



Obr. 3.35: Zaťaženie od $T_{N,pos}$



Obr. 3.36: Zaťaženie od $T_{M,heat}$



Obr. 3.37: Zaťaženie od $T_{M,cool}$

3.2.7 Výťah

Podľa informačnej brožúry firmy Leitner sme predbežne stanovili maximálnu hmotnosť kabínky na 3000kg, tj. vrátane ľudí. Kabínka bude zavesená na dvoch nosníkoch typu HEA 300. Nebudeme uvažovať nerovnomerné rozdelenie ľudí a teda na každý nosník pôsobí rovnako veľká sila $F_z/2$.

$$F_z = 3000/100 = 30kN$$

Priečnu silu P počítame ako 10% z celkovej zvislej F_z a teda na jeden nosník pôsobí polovica.

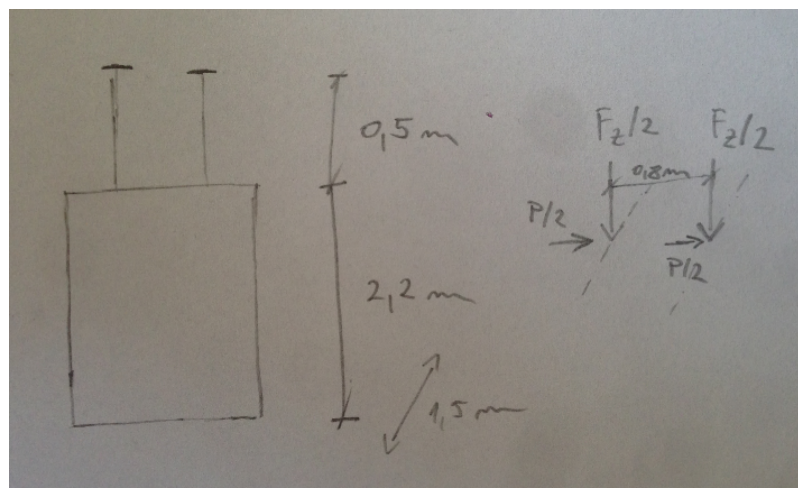
$$P = 0,1 * 30 = 3kN$$

Pozdĺžna sila F_x je spočítaná zo zvislej F_z nasledovne:

$$F_x = F_z * \sin(\alpha) = 30 * \sin(35) = 17,2kN$$

Rozmery kabínky sa uvažujú takto: výška=2,2m/šírka=1,5m a vzdialenosť medzi horným povrchom kabínky a osou nosníku dráhy uvažujeme 0,5m.

Zaťaženie bez uváženia bočného vetru:



Obr. 3.38: Rozloženie súčinov bez vplyvu vetra

Vplyv vetra

Hodnotu sily F_w budeme počítať podľa:

$$F_w = c_s c_d * c_f * q_p(z) * A_{ref}$$

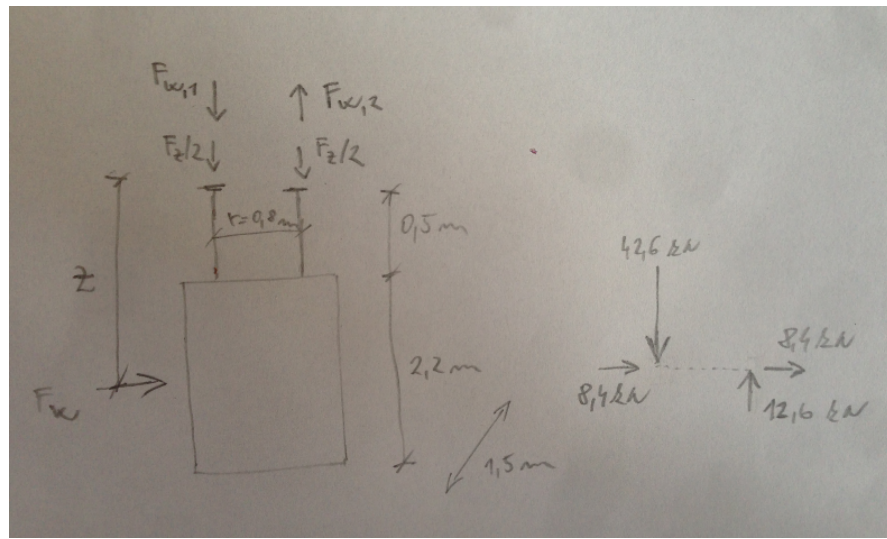
Hodnotu súčiniteľa sily c_f prevezmeme podľa STN EN 1991-1-4 (7.4.3 Reklamné tabule), čím dostávame $c_f = 1,8$. Robíme tak z dôvodu, že je to voľne stojaca plocha v nejakej výške nad povrhom. Z ostatných možností nám táto najviac pripomína násprípad.

$$F_w = 0,986 * 1,8 * 2,35 * (2,2 * 1,5) = 13,8kN$$

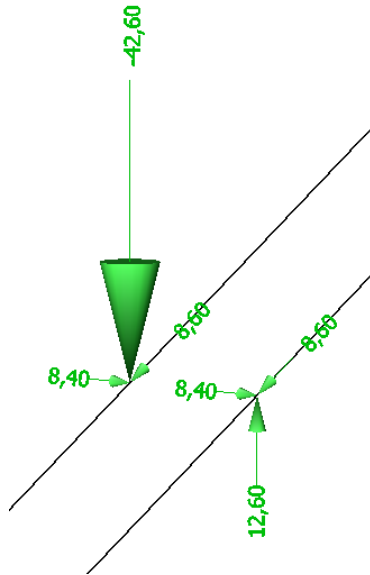
Vodorovná sila F_w pôsobí na rameni z. Vďaka excentricite nám vzniká moment, ktorý nahradíme dvojicou síl $F_{w,1}$ a $F_{w,2}$. Táto dvojica síl sa potom pripočíta k $F_z/2$.

$$M = F_w * z = 13,8 * 1,6 = 22,08kNm$$

$$F_{w,1} = F_{w,2} = M/r = 22,08/0,8 = 27,6kN$$



Obr. 3.39: Rozloženie sín vplyvom vetra



Obr. 3.40: Vyobrazenie zaťaženia v SCII

Vzhľadom nato, že rozhodujúci je stav s vplyvom vetra, pretože nám vyvodzuje maximálnu zvýslú, ako aj vodorovnú silu na nosník, budeme ďalej uvažovať tento prípad.

KAPITOLA
ŠTVRTÁ

KOMBINÁCIE ZAŤAŽENIA

Tvorba kombinácií sa riadi podľa STN EN 1990. Všeobecne sú účinky zaťažení funkciou rôznych zaťažovacích stavov pôsobiacich súčasne na daný objekt. Pravdepodobnosť ich súčasného pôsobenia sa využadruje pomocou pravidiel pre zostavovanie kombinácií zaťažení.

Pre medzný stav únosnosti(MSÚ) budeme uvažovať štandardne kombinácie pre trvalé a dočasné návrhové situácie, všeobecne označované **6.10 / 6.10a / 6.10b**.

$$6.10 : \sum_{j \geq 1} \gamma_{G,j} G_{k,j} + \gamma_{Q,1} Q_{k,1} + \sum_{i > 1} \gamma_{Q,i} \psi_{0,i} Q_{k,i}$$

$$6.10a : \sum_{j \geq 1} \gamma_{G,j} G_{k,j} + \gamma_{Q,1} \psi_{0,1} Q_{k,1} + \sum_{i > 1} \gamma_{Q,i} \psi_{0,i} Q_{k,i}$$

$$6.10b : \sum_{j \geq 1} \xi_j \gamma_{G,j} G_{k,j} + \gamma_{Q,1} Q_{k,1} + \sum_{i > 1} \gamma_{Q,i} \psi_{0,i} Q_{k,i}$$

V medznom stave použiteľnosti(MSP) budeme uvažovať **charakteristickú** kombináciu.

$$char : \sum_{j \geq 1} G_{k,j} + Q_{k,1} + \sum_{i > 1} \psi_{0,i} Q_{k,i}$$

Tabuľka 4.1: Hodnoty parciálnych súčiniteľov

$\gamma_{G,priazniva}$	1,35
$\gamma_{G,nepriazniva}$	1,0
$\gamma_{Q,i,priazniva}$	1,5
$\gamma_{Q,i,nepriazniva}$	0
ξ	0,85

Tabuľka 4.2: Kombinačné súčinitele

Zaťažovací stav	ψ_0
Vlastná tiahá	-
Trapéz	-
Pororošt	-
Záradlie	-
Technológie	0,7
Úžitné	0,7
Sneh	0,7
Vietor x	0,6
Vietor y+	0,6
Vietor y-	0,6
$\Delta T_{n,neg}$	0,6
$\Delta T_{n,pos}$	0,6
$\Delta T_{m,heat}$	0,6
$\Delta T_{m,cool}$	0,6
Výťah	1,0

4.1 Lineárne kombinácie

Podľa týchto pravidiel sme pri lineárnom výpočte vytvorili kombinácie typu **obálka-únosnosť**. Vďaka tomu, nemusíme vytvárať každú kombináciu zvlášť. Keďže platí princíp superpozície, spočítajú sa najskôr jednotlivé stavy a následne sa môžu ľubovoľne kombinovať. Zaťažovacie stavy sú priradené prislúchajúcim skupinám zaťažení. V našom prípade máme viac zaťažovacích stavov pri vetre a teplote. Nikdy nenastane situácia, kedy sa bude ochladzovať a zohrievať zároveň alebo fúkať vietor z rozličných smerov naraz. Aby sme sa vyhli tomu, že sa budú kombinovať stavy, ktoré sa nevyskytujú zároveň, nastaví sa im skupina zaťažení **výberová**.

4.2 Stabilitné kombinácie

Neplatí princíp superpozície. Každá kombinácia sa musí vytvoriť zvlášť.

4.3 Nelineárne kombinácie

Neplatí princíp superpozície. Každá kombinácia sa musí vytvoriť zvlášť.

Kombinace

Kombinace pro lineární výpočet

Jméno	Typ	Zatěžovací stavy	Souč. [-]
MSU_6.10.a	Obálka - únosnost	vlastná taha	1,35
		trapéz	1,35
		vietor_x	0,90
		technológie_1,5kN/m2	1,05
		delta_T_n_neg	0,90
		pororošt	1,35
		zábradlie	1,35
		sneh	1,05
		delta_T_n_pos	0,90
		delta_T_m_heat	0,90
		delta_T_m_cool	0,90
		úžitné_2kN/m2	1,05
		vietor_y+_1	0,90
		vytah_	1,00
MSU_6.10.b_sneh	Obálka - únosnost	vlastná taha	1,15
		trapéz	1,15
		vietor_x	0,90
		technológie_1,5kN/m2	1,05
		delta_T_n_neg	0,90
		pororošt	1,15
		zábradlie	1,15
		sneh	1,50
		delta_T_n_pos	0,90
		delta_T_m_heat	0,90
		delta_T_m_cool	0,90
		úžitné_2kN/m2	1,05
		vietor_y+_1	0,90
		vytah_	1,00
MSU_6.10.b_uzitne	Obálka - únosnost	vlastná taha	1,15
		trapéz	1,15
		vietor_x	0,90
		technológie_1,5kN/m2	1,05
		delta_T_n_neg	0,90
		pororošt	1,15
		zábradlie	1,15
		sneh	1,05
		delta_T_n_pos	0,90
		delta_T_m_heat	0,90
		delta_T_m_cool	0,90
		úžitné_2kN/m2	1,50
		vietor_y+_1	0,90
		vytah_	1,00
MSU_6.10.b_vietor_x	Obálka - únosnost	vlastná taha	1,15
		trapéz	1,15
		vietor_x	1,50
		technológie_1,5kN/m2	1,05
		delta_T_n_neg	0,90
		pororošt	1,15
		zábradlie	1,15
		sneh	1,05
		delta_T_n_pos	0,90
		delta_T_m_heat	0,90
		delta_T_m_cool	0,90
		úžitné_2kN/m2	1,05
		vietor_y+_1	0,90
		vytah_	1,00
MSU_6.10.b_vietor_y+	Obálka -	vlastná taha	1,15
		trapéz	1,15
		technológie_1,5kN/m2	1,05
		delta_T_n_neg	0,90
		pororošt	1,15
		zábradlie	1,15

Jméno	Typ	Zatěžovací stavy	Souč. [-]
MSU_6.10.b_vietor_y+	Obálka - únosnost	sneh delta_T_n_pos delta_T_m_heat delta_T_m_cool úžitné_2kN/m2 vietor_y+_1 vytah_-	1,05 0,90 0,90 0,90 1,05 1,50 1,00
MSU_6.10.b_n_neg	Obálka - únosnost	vlastná tiahá trapéz vietor_x technológie_1,5kN/m2 delta_T_n_neg pororošt zábradlie sneh úžitné_2kN/m2 vietor_y+_1 vytah_-	1,15 1,15 0,90 1,05 1,50 1,15 1,15 1,05 1,05 0,90 1,00
MSU_6.10.b_n_pos	Obálka - únosnost	vlastná tiahá trapéz vietor_x technológie_1,5kN/m2 pororošt zábradlie sneh delta_T_n_pos úžitné_2kN/m2 vietor_y+_1 vytah_-	1,15 1,15 0,90 1,05 1,15 1,15 1,05 1,50 1,05 0,90 1,00
MSU_6.10.b_m_heat	Obálka - únosnost	vlastná tiahá trapéz vietor_x technológie_1,5kN/m2 pororošt zábradlie sneh delta_T_m_heat úžitné_2kN/m2 vietor_y+_1 vytah_-	1,15 1,15 0,90 1,05 1,15 1,15 1,05 1,50 1,05 0,90 1,00
MSU_6.10.b_m_cool	Obálka - únosnost	vlastná tiahá trapéz vietor_x technológie_1,5kN/m2 pororošt zábradlie sneh delta_T_m_cool úžitné_2kN/m2 vietor_y+_1 vytah_-	1,15 1,15 0,90 1,05 1,15 1,15 1,05 1,50 1,05 0,90 1,00
MSP_char_sneh	Obálka -	vlastná tiahá trapéz vietor_x technológie_1,5kN/m2 delta_T_n_neg pororošt zábradlie sneh delta_T_n_pos delta_T_m_heat delta_T_m_cool úžitné_2kN/m2 vietor_y+_1 vytah_-	1,00 1,00 0,60 0,70 0,60 1,00 1,00 1,00 0,60 0,60 0,60 0,70 0,60 1,00

Jméno	Typ	Zatěžovací stavy	Souč. [z]
MSP_char_sneh	Obrázkost	vietor_y_-1	0,60
MSP_char_vietor_x	Obálka - únosnost	vlastná tiah trapéz vietor_x technológie_1,5kN/m2 delta_T_n_neg pororošt zábradlie sneh delta_T_n_pos delta_T_m_heat delta_T_m_cool úžitné_2kN/m2 vytah_	1,00 1,00 1,00 0,70 0,60 1,00 1,00 0,70 0,60 0,60 0,60 0,70 1,00
MSP_char_vietor_y+	Obálka - únosnost	vlastná tiah trapéz technológie_1,5kN/m2 delta_T_n_neg pororošt zábradlie sneh delta_T_n_pos delta_T_m_heat delta_T_m_cool úžitné_2kN/m2 vietor_y+_1 vytah_	1,00 1,00 0,70 0,60 1,00 1,00 0,70 0,60 0,60 0,60 0,70 1,00 1,00
MSU_6.10.b_vietor_y-	Obálka - únosnost	vlastná tiah trapéz pororošt zábradlie delta_T_m_cool vietor_y_-1	1,00 1,00 1,00 1,00 0,90 1,50

Stabilitní kombinace

Jméno	Zatěžovací stavy	Souč. [-]
6.10.a_vietor_x+neg	vlastná taha	1,35
	trapéz	1,35
	vietor_x	0,90
	technológie_1,5kN/m2	1,05
	delta_T_n_neg	0,90
	pororošt	1,35
	zábradlie	1,35
	sneh	1,05
	úžitné_2kN/m2	1,05
	vytah_	1,00
6.10.a_vietor_y+neg	vlastná taha	1,35
	trapéz	1,35
	vietor_x	0,90
	technológie_1,5kN/m2	1,05
	delta_T_n_neg	0,90
	pororošt	1,35
	zábradlie	1,35
	sneh	1,05
	úžitné_2kN/m2	1,05
	vytah_	1,00
6.10.b_vietor_y+neg	vlastná taha	1,15
	trapéz	1,15
	technológie_1,5kN/m2	1,05
	delta_T_n_neg	0,90
	pororošt	1,15
	zábradlie	1,15
	sneh	1,05
	úžitné_2kN/m2	1,05
	vietor_y+_1	1,50
	vytah_	1,00
6.10.b_sneh_vietor_y_neg	vlastná taha	1,15
	trapéz	1,15
	technológie_1,5kN/m2	1,05
	delta_T_n_neg	0,90
	pororošt	1,15
	zábradlie	1,15
	sneh	1,50
	úžitné_2kN/m2	1,05
	vietor_y+_1	0,90
	vytah_	1,00
6.10.a_vietor_x+pos	vlastná taha	1,35
	trapéz	1,35
	vietor_x	0,90
	technológie_1,5kN/m2	1,05
	pororošt	1,35
	zábradlie	1,35
	sneh	1,05
	delta_T_n_pos	0,90
	úžitné_2kN/m2	1,05
	vytah_	1,00
6.10.a_vietor_x+heat	vlastná taha	1,35
	trapéz	1,35
	vietor_x	0,90
	technológie_1,5kN/m2	1,05
	pororošt	1,35
	zábradlie	1,35
	sneh	1,05
	delta_T_m_heat	0,90
	úžitné_2kN/m2	1,05
	vytah_	1,00
6.10.a_vietor_x+cool	vlastná taha	1,35
	trapéz	1,35
	vietor_x	0,90

Jméno	Zatěžovací stavy	Souč. [-]
6.10.a_vietor_x+cool	technológie_1,5kN/m2 pororošt zábradlie sneh delta_T_m_cool úžitné_2kN/m2 vytah_	1,05 1,35 1,35 1,05 0,90 1,05 1,00
6.10.a_vietor_y+pos	vlastná tiahá trapéz vietor_x technológie_1,5kN/m2 pororošt zábradlie sneh delta_T_n_pos úžitné_2kN/m2 vytah_	1,35 1,35 0,90 1,05 1,35 1,35 1,05 0,90 1,05 1,00
6.10.a_vietor_y+heat	vlastná tiahá trapéz vietor_x technológie_1,5kN/m2 pororošt zábradlie sneh delta_T_m_heat úžitné_2kN/m2 vytah_	1,35 1,35 0,90 1,05 1,35 1,35 1,05 0,90 1,05 1,00
6.10.a_vietor_y+cool	vlastná tiahá trapéz vietor_x technológie_1,5kN/m2 pororošt zábradlie sneh delta_T_m_cool úžitné_2kN/m2 vytah_	1,35 1,35 0,90 1,05 1,35 1,35 1,05 0,90 1,05 1,00
6.10.b_vietor_y+pos	vlastná tiahá trapéz technológie_1,5kN/m2 pororošt zábradlie sneh delta_T_n_pos úžitné_2kN/m2 vietor_y+_1 vytah_	1,15 1,15 1,05 1,15 1,15 1,15 1,05 0,90 1,05 1,50 1,00
6.10.b_vietor_y+heat	vlastná tiahá trapéz technológie_1,5kN/m2 pororošt zábradlie sneh delta_T_m_heat úžitné_2kN/m2 vietor_y+_1 vytah_	1,15 1,15 1,05 1,15 1,15 1,15 1,05 0,90 1,05 1,50 1,00
6.10.b_vietor_y+cool	vlastná tiahá trapéz technológie_1,5kN/m2 pororošt zábradlie sneh delta_T_m_cool úžitné_2kN/m2	1,15 1,15 1,05 1,15 1,15 1,05 0,90 1,05

Jméno	Zatěžovací stavy	Souč. [-]
6.10.b_vietor_y+cool	vietor_y+_1 vytah_	1,50 1,00
6.10.b_sneh_vietor_y_pos	vlastná tiahá trapéz technológie_1,5kN/m2 pororošt zábradlie sneh delta_T_n_pos úžitné_2kN/m2 vietor_y+_1 vytah_	1,15 1,15 1,05 1,15 1,15 1,50 0,90 1,05 0,90 1,00
6.10.b_sneh_vietor_y_heat	vlastná tiahá trapéz technológie_1,5kN/m2 pororošt zábradlie sneh delta_T_m_heat úžitné_2kN/m2 vietor_y+_1 vytah_	1,15 1,15 1,05 1,15 1,15 1,50 0,90 1,05 0,90 1,00
6.10.b_sneh_vietor_y_cool	vlastná tiahá trapéz technológie_1,5kN/m2 pororošt zábradlie sneh delta_T_m_cool úžitné_2kN/m2 vietor_y+_1 vytah_	1,15 1,15 1,05 1,15 1,15 1,50 0,90 1,05 0,90 1,00

Nelineární kombinace

Jméno	Typ	Zatěžovací stavy	Souč. [-]
6.10.a_vietor_x+neg	Únosnost	vlastná taha trapéz pororošt zábradlie technológie_1,5kN/m ² úžitné_2kN/m ² sneh vietor_x delta_T_n_neg vytah_	1,35 1,35 1,35 1,35 1,05 1,05 1,05 0,90 0,90 1,00
6.10.a_vietor_x+pos	Únosnost	vlastná taha trapéz pororošt zábradlie technológie_1,5kN/m ² úžitné_2kN/m ² sneh vietor_x delta_T_n_pos vytah_	1,35 1,35 1,35 1,35 1,05 1,05 1,05 0,90 0,90 1,00
6.10.a_vietor_x+heat	Únosnost	vlastná taha trapéz pororošt zábradlie technológie_1,5kN/m ² úžitné_2kN/m ² sneh vietor_x delta_T_m_heat vytah_	1,35 1,35 1,35 1,35 1,05 1,05 1,05 0,90 0,90 1,00
6.10.a_vietor_x+cool	Únosnost	vlastná taha trapéz pororošt zábradlie technológie_1,5kN/m ² úžitné_2kN/m ² sneh vietor_x delta_T_m_cool vytah_	1,35 1,35 1,35 1,35 1,05 1,05 1,05 0,90 0,90 1,00
6.10.a_vietor_y+neg	Únosnost	vlastná taha trapéz pororošt zábradlie technológie_1,5kN/m ² úžitné_2kN/m ² sneh vietor_y+_1 delta_T_n_neg vytah_	1,35 1,35 1,35 1,35 1,05 1,05 0,90 0,90 1,00
6.10.a_vietor_y+pos	Únosnost	vlastná taha trapéz pororošt zábradlie technológie_1,5kN/m ² úžitné_2kN/m ² sneh vietor_y+_1 delta_T_n_pos vytah_	1,35 1,35 1,35 1,35 1,05 1,05 0,90 0,90 1,00
6.10.a_vietor_y+heat	Únosnost	vlastná taha trapéz pororošt	1,35 1,35 1,35

Jméno	Typ	Zatěžovací stavy	Souč. [-]
6.10.a_vietor_y+heat	Únosnost	zábradlie technológie_1,5kN/m2 úžitné_2kN/m2 sneh vietor_y+_1 delta_T_m_heat vytah_	1,35 1,05 1,05 1,05 0,90 0,90 1,00
6.10.a_vietor_y+cool	Únosnost	vlastná tiahá trapéz pororošt zábradlie technológie_1,5kN/m2 úžitné_2kN/m2 sneh vietor_y+_1 delta_T_m_cool vytah_	1,35 1,35 1,35 1,35 1,05 1,05 1,05 0,90 0,90 1,00
6.10.b_sneh_vietor_x_neg	Únosnost	vlastná tiahá trapéz pororošt zábradlie technológie_1,5kN/m2 úžitné_2kN/m2 sneh vietor_x delta_T_n_neg vytah_	1,15 1,15 1,15 1,15 1,05 1,05 1,50 0,90 0,90 1,00
6.10.b_sneh_vietor_x_pos	Únosnost	vlastná tiahá trapéz pororošt zábradlie technológie_1,5kN/m2 úžitné_2kN/m2 sneh vietor_x delta_T_n_pos vytah_	1,15 1,15 1,15 1,15 1,05 1,05 1,50 0,90 0,90 1,00
6.10.b_sneh_vietor_x_heat	Únosnost	vlastná tiahá trapéz pororošt zábradlie technológie_1,5kN/m2 úžitné_2kN/m2 sneh vietor_x delta_T_m_heat vytah_	1,15 1,15 1,15 1,15 1,05 1,05 1,50 0,90 0,90 1,00
6.10.b_sneh_vietor_x_cool	Únosnost	vlastná tiahá trapéz pororošt zábradlie technológie_1,5kN/m2 úžitné_2kN/m2 sneh vietor_x delta_T_m_cool vytah_	1,15 1,15 1,15 1,15 1,05 1,05 1,50 0,90 0,90 1,00
6.10.b_sneh_vietor_y_neg	Únosnost	vlastná tiahá trapéz pororošt zábradlie technológie_1,5kN/m2 úžitné_2kN/m2 sneh vietor_y+_1	1,15 1,15 1,15 1,15 1,05 1,05 1,50 0,90

Jméno	Typ	Zatěžovací stavy	Souč. [-]
6.10.b_sneh_vietor_y_neg	Únosnost	delta_T_n_neg vytah_	0,90 1,00
6.10.b_sneh_vietor_y_pos	Únosnost	vlastná tiahá trapéz pororošt zábradlie technológie_1,5kN/m2 úžitné_2kN/m2 sneh vietor_y+_1 delta_T_n_pos vytah_	1,15 1,15 1,15 1,15 1,05 1,05 1,50 0,90 0,90 1,00
6.10.b_sneh_vietor_y_heat	Únosnost	vlastná tiahá trapéz pororošt zábradlie technológie_1,5kN/m2 úžitné_2kN/m2 sneh vietor_y+_1 delta_T_m_heat vytah_	1,15 1,15 1,15 1,15 1,05 1,05 1,50 0,90 0,90 1,00
6.10.b_sneh_vietor_y_cool	Únosnost	vlastná tiahá trapéz pororošt zábradlie technológie_1,5kN/m2 úžitné_2kN/m2 sneh vietor_y+_1 delta_T_m_cool vytah_	1,15 1,15 1,15 1,15 1,05 1,05 1,50 0,90 0,90 1,00
6.10.b_vietor_x_neg	Únosnost	vlastná tiahá trapéz pororošt zábradlie technológie_1,5kN/m2 úžitné_2kN/m2 sneh vietor_x delta_T_n_neg vytah_	1,15 1,15 1,15 1,15 1,05 1,05 1,05 1,50 0,90 1,00
6.10.b_vietor_x_pos	Únosnost	vlastná tiahá trapéz pororošt zábradlie technológie_1,5kN/m2 úžitné_2kN/m2 sneh vietor_x delta_T_n_pos vytah_	1,15 1,15 1,15 1,15 1,05 1,05 1,05 1,50 0,90 1,00
6.10.b_vietor_x_heat	Únosnost	vlastná tiahá trapéz pororošt zábradlie technológie_1,5kN/m2 úžitné_2kN/m2 sneh vietor_x delta_T_m_heat vytah_	1,15 1,15 1,15 1,15 1,05 1,05 1,05 1,50 0,90 1,00
6.10.b_vietor_x_cool	Únosnost	vlastná tiahá trapéz pororošt	1,15 1,15 1,15

Jméno	Typ	Zatěžovací stavy	Souč. [-]
6.10.b_vietor_x_cool	Únosnost	zábradlie technológie_1,5kN/m2 úžitné_2kN/m2 sneh vietor_x delta_T_m_cool vytah_	1,15 1,05 1,05 1,05 1,50 0,90 1,00
6.10.b_vietor_y_neg	Únosnost	vlastná tiahá trapéz pororošt zábradlie technológie_1,5kN/m2 úžitné_2kN/m2 sneh vietor_y+_1 delta_T_n_neg vytah_	1,15 1,15 1,15 1,15 1,05 1,05 1,05 1,50 0,90 1,00
6.10.b_vietor_y_pos	Únosnost	vlastná tiahá trapéz pororošt zábradlie technológie_1,5kN/m2 úžitné_2kN/m2 sneh vietor_y+_1 delta_T_n_pos vytah_	1,15 1,15 1,15 1,15 1,05 1,05 1,05 1,50 0,90 1,00
6.10.b_vietor_y_heat	Únosnost	vlastná tiahá trapéz pororošt zábradlie technológie_1,5kN/m2 úžitné_2kN/m2 sneh vietor_y+_1 delta_T_m_heat vytah_	1,15 1,15 1,15 1,15 1,05 1,05 1,05 1,50 0,90 1,00
6.10.b_vietor_y_cool	Únosnost	vlastná tiahá trapéz pororošt zábradlie technológie_1,5kN/m2 úžitné_2kN/m2 sneh vietor_y+_1 delta_T_m_cool vytah_	1,15 1,15 1,15 1,15 1,05 1,05 1,05 1,50 0,90 1,00
6.10.b_neg_vietor_x	Únosnost	vlastná tiahá trapéz pororošt zábradlie technológie_1,5kN/m2 úžitné_2kN/m2 sneh vietor_x delta_T_n_neg vytah_	1,15 1,15 1,15 1,15 1,05 1,05 1,05 0,90 1,50 1,00
6.10.b_neg_vietor_y	Únosnost	vlastná tiahá trapéz pororošt zábradlie technológie_1,5kN/m2 úžitné_2kN/m2 sneh vietor_y+_1	1,15 1,15 1,15 1,15 1,05 1,05 1,05 0,90

Jméno	Typ	Zatěžovací stavy	Souč. [-]
6.10.b_neg_vietor_y	Únosnost	delta_T_n_neg vytah_	1,50 1,00
6.10.b_pos_vietor_x	Únosnost	vlastná tiahá trapéz pororošt zábradlie technológie_1,5kN/m2 úžitné_2kN/m2 sneh vietor_x delta_T_n_pos vytah_	1,15 1,15 1,15 1,15 1,05 1,05 1,05 0,90 1,50 1,00
6.10.b_pos_vietor_y	Únosnost	vlastná tiahá trapéz pororošt zábradlie technológie_1,5kN/m2 úžitné_2kN/m2 sneh vietor_y+_1 delta_T_n_pos vytah_	1,15 1,15 1,15 1,15 1,05 1,05 1,05 0,90 1,50 1,00
6.10.b_heat_vietor_x	Únosnost	vlastná tiahá trapéz pororošt zábradlie technológie_1,5kN/m2 úžitné_2kN/m2 sneh vietor_x delta_T_m_heat vytah_	1,15 1,15 1,15 1,15 1,05 1,05 1,05 0,90 1,50 1,00
6.10.b_heat_vietor_y	Únosnost	vlastná tiahá trapéz pororošt zábradlie technológie_1,5kN/m2 úžitné_2kN/m2 sneh vietor_y+_1 delta_T_m_heat vytah_	1,15 1,15 1,15 1,15 1,05 1,05 1,05 0,90 1,50 1,00
6.10.b_cool_vietor_x	Únosnost	vlastná tiahá trapéz pororošt zábradlie technológie_1,5kN/m2 úžitné_2kN/m2 sneh vietor_x delta_T_m_cool vytah_	1,15 1,15 1,15 1,15 1,05 1,05 1,05 0,90 1,50 1,00
6.10.b_cool_vietor_y	Únosnost	vlastná tiahá trapéz pororošt zábradlie technológie_1,5kN/m2 úžitné_2kN/m2 sneh vietor_y+_1 delta_T_m_cool vytah_	1,15 1,15 1,15 1,15 1,05 1,05 1,05 0,90 1,50 1,00
MSP_char_vietor_y_pos	Únosnost	vlastná tiahá trapéz pororošt	1,00 1,00 1,00

Jméno	Typ	Zatěžovací stavy	Souč. [t]
MSP_char_vietor_y_pos	Únosnost	zábradlie technológie_1,5kN/m2 úžitné_2kN/m2 sneh vietor_y+_1 delta_T_n_pos vytah_	1,00 0,70 0,70 0,70 1,00 0,60 1,00
MSP_char_vietor_y_heat	Únosnost	vlastná tiahla trapéz pororošt zábradlie technológie_1,5kN/m2 úžitné_2kN/m2 sneh vietor_y+_1 delta_T_m_heat vytah_	1,00 1,00 1,00 1,00 0,70 0,70 0,70 1,00 0,60 1,00
6.10.a_vietor_y_cool	Únosnost	vlastná tiahla trapéz pororošt zábradlie vietor_y_-1 delta_T_m_cool	1,00 1,00 1,00 1,00 1,50 0,90

GLOBÁLNA ANALÝZA

V úvode práce sme hľadali rozumný/optimálny tvar mostíku pomocou lineárneho výpočtu, pretože je relatívne rýchli. Kedže sme hľadali tvar, tento výpočet bol postačujúci. V podrobnejšej analýze finálneho tvaru to však nie je vyhovujúce. Aký prístup v globálnej analýze máme zvoliť, si načrtнемe v ďalších riadkoch.

Rozhodujúcim parametrom je kritický súčinieľ α_{cr} .

$$\alpha_{cr} = \frac{F_{cr}}{F_{Ed}}$$

- $\alpha_{cr} \geq 10 \rightarrow$ Teória I. rádu
- $\alpha_{cr} < 10 \rightarrow$ Teória II. rádu
- $\alpha_{cr} \geq 15 \rightarrow$ plasticitne

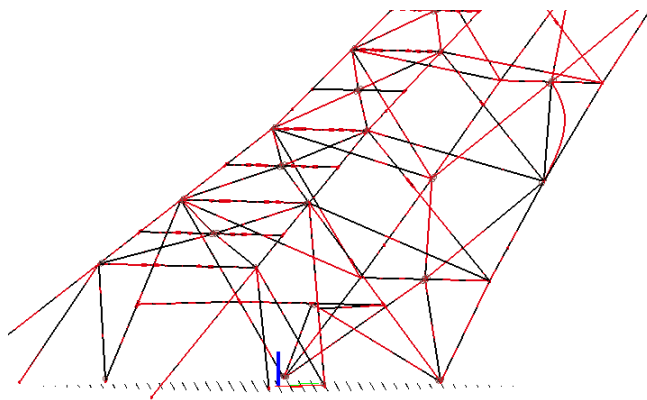
5.1 Stabilitný výpočet

Najnižšie $\alpha_{cr} = 2,54$, obdržíme v kombinácii 6.10.a_vietor_x+neg, kde vybočuje diagonála dolného stuženia B481. Zaujíma nás vždy 1.vlastný tvar vybočenia. Všetky ostatné sú iba teoretické tvary.
S ohľadom na α_{cr} sa musí vykonať výpočet podľa **teórie II.rádu**.

Součinitele kritického zatížení

SCIAENGINEER

N -	f [1]
Stabilitní kombinace : 6.10.a_vietor_x+neg	
1	2,54
2	2,54
Stabilitní kombinace : 6.10.a_vietor_y+neg	
1	2,54
2	2,54
Stabilitní kombinace : 6.10.b_vietor_y+neg	
1	4,49
2	4,49
Stabilitní kombinace : 6.10.b_sneh_vietor_y_neg	
1	4,65
2	4,65
Stabilitní kombinace : 6.10.a_vietor_x+pos	
1	2,62
2	2,77
Stabilitní kombinace : 6.10.a_vietor_x+heat	
1	2,62
2	2,64
Stabilitní kombinace : 6.10.a_vietor_x+cool	
1	2,63
2	2,66
Stabilitní kombinace : 6.10.a_vietor_y+pos	
1	2,62
2	2,77
Stabilitní kombinace : 6.10.a_vietor_y+heat	
1	2,62
2	2,64
Stabilitní kombinace : 6.10.a_vietor_y+cool	
1	2,63
2	2,66
Stabilitní kombinace : 6.10.b_vietor_y+pos	
1	3,62
2	3,62
Stabilitní kombinace : 6.10.b_vietor_y+heat	
1	4,03
2	4,03
Stabilitní kombinace : 6.10.b_vietor_y+cool	
1	3,92
2	3,92
Stabilitní kombinace : 6.10.b_sneh_vietor_y_pos	
1	3,72
2	3,72
Stabilitní kombinace : 6.10.b_sneh_vietor_y_heat	
1	4,17
2	4,17
Stabilitní kombinace : 6.10.b_sneh_vietor_y_cool	
1	4,04
2	4,04



Obr. 5.1: 1. vlastný tvar vybočenia - vybočuje B481

5.2 Výpočet podľa teórie II.rádu

Zohľadňuje vplyv deformácií na vnútorné sily. Vystihuje viac reálne správanie konštrukcie. Vnútorné sily vyšetríme metódou:

- globálna imperfekcia v podobe náklonu

Avšak vybrané prúty konfrontujeme s metódou *kompletne imperfektnej sústavy*.

5.2.1 Globálna imperfekcia v podobe náklonu

Celkové počiatočné naklonenie ϕ :

$$\phi = \phi_0 * \alpha_h * \alpha_m$$

$$\phi_0 = 1/200$$

α_h ... redukčný súčiniteľ v závislosti na výške h v metroch

$$\alpha_h = \frac{2}{\sqrt{h}} \text{ ale } \frac{2}{3} \leq \alpha_h \leq 1,0$$

$$\alpha_h = \frac{2}{\sqrt{51,6}} = 0,28 \rightarrow \alpha_h = \frac{2}{3}$$

α_m ... redukčný súčiniteľ pre počet stĺpov v rade

$$\alpha_m = \sqrt{0,5 * (1 + \frac{1}{m})}$$

Na bezpečnej strane uvažujeme $\alpha_m = 1$

Celkový náklon je teda: $\phi = \frac{1}{200} * \frac{2}{3} * 1,0 = \frac{1}{300}$

Náklon konštrukcie simulujeme silovými účinkami.

Z lineárneho výpočtu poznáme sily v hornom a dolnom páse priehradových nosníkov. Potom ako ich prenásobíme náklonom, získame náhradné vodorovné sily. Ich rozdielom je výsledná sila, ktorá pôsobí v uzle. Rozhodujúcou kombináciou je *MSU_6.10.b_vietor_x*.

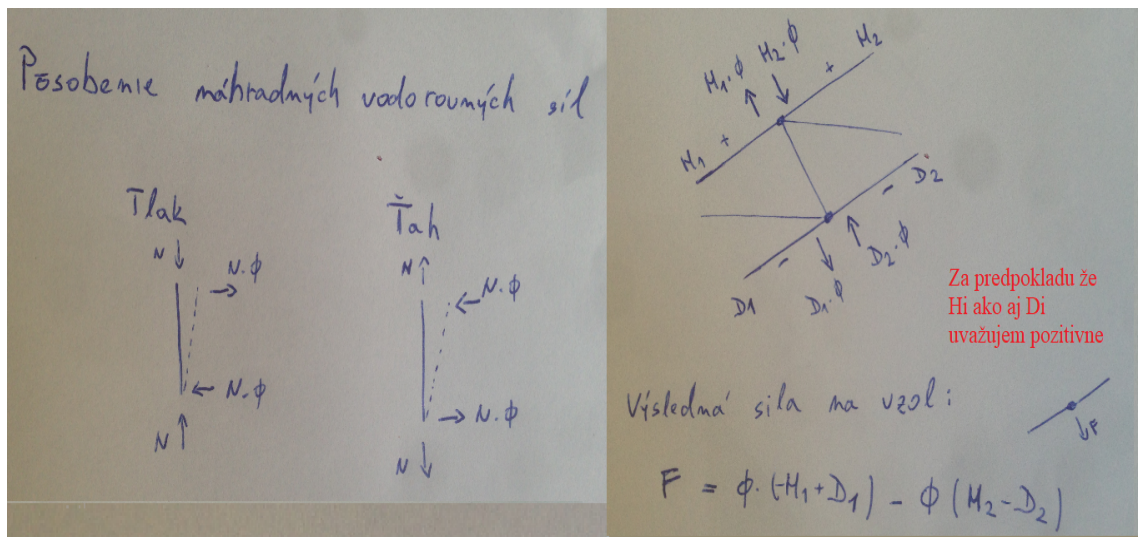
Za zmienku stojí ešte dodať, že pri posúdení jednotlivých prvkov sa musí zohľadniť stabilita. Avšak kritická dĺžka je rovná dĺžke prútu medzi styčníkmi.

Ľavý nosník: x-

Názov	Označenie	N_{ed} [kN]	ϕ	$H_{Ed,\phi}$ [kN]	$H_{Ed,\phi,i}$ [kN]	$H_{Ed,\phi u z o l}$ [kN]
Horný pás	B455	8110	0,00333	27,033	27,487	
Dolný pás	B429	136	0,00333	0,453		
Horný pás	B456	6480	0,00333	21,600	23,477	4,010
Dolný pás	B430	563	0,00333	1,877		
Horný pás	B457	4739	0,00333	15,797	14,923	8,553
Dolný pás	B431	-262	0,00333	-0,873		
Horný pás	B458	3386	0,00333	11,287	12,680	2,243
Dolný pás	B435	418	0,00333	1,393		
Horný pás	B459	2270	0,00333	7,567	3,637	9,043
Dolný pás	B434	-1179	0,00333	-3,930		
Horný pás	B460	1062	0,00333	3,540	2,133	1,503
Dolný pás	B433	-422	0,00333	-1,407		
Horný pás	B461	526	0,00333	1,753	-2,727	4,860
Dolný pás	B432	-1344	0,00333	-4,480		
Horný pás	B462	-137	0,00333	-0,457	-2,160	-0,567
Dolný pás	B436	-511	0,00333	-1,703		
Horný pás	B463	-50	0,00333	-0,167	-1,120	-1,040
Dolný pás	B539	-286	0,00333	-0,953		
Horný pás	B622	-57	0,00333	-0,190	-1,143	0,023
Dolný pás	B539	-286	0,00333	-0,953		

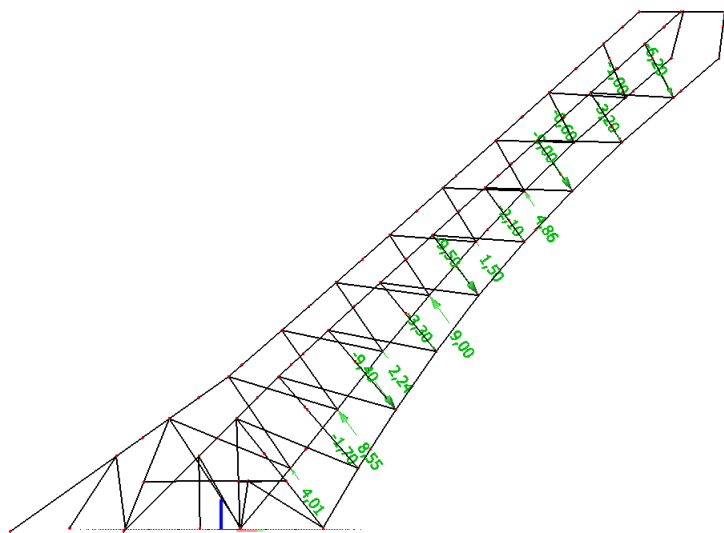
Pravý nosník: x+

Názov	Označenie	N_{ed} [kN]	ϕ	$H_{Ed,\phi}$ [kN]	$H_{Ed,\phi,i}$ [kN]	$H_{Ed,\phi u z o l}$ [kN]
Horný pás	B472	-421	0,00333	-1,403	-46,037	
Dolný pás	B403	-13390	0,00333	-44,633		-1,677
Horný pás	B471	-420	0,00333	-1,400	-44,360	
Dolný pás	B404	-12888	0,00333	-42,960		
Horný pás	B470	361	0,00333	1,203	-35,013	-9,347
Dolný pás	B405	-10865	0,00333	-36,217		
Horný pás	B469	815	0,00333	2,717	-31,747	-3,267
Dolný pás	B406	-10339	0,00333	-34,463		
Horný pás	B468	909	0,00333	3,030	-22,203	-9,543
Dolný pás	B407	-7570	0,00333	-25,233		
Horný pás	B467	512	0,00333	1,707	-20,060	-2,143
Dolný pás	B408	-6530	0,00333	-21,767		
Horný pás	B466	264	0,00333	0,880	-11,087	-8,973
Dolný pás	B409	-3590	0,00333	-11,967		
Horný pás	B465	-111	0,00333	-0,370	-7,883	-3,203
Dolný pás	B410	-2254	0,00333	-7,513		
Horný pás	B625	-51	0,00333	-0,170	-1,737	-6,147
Dolný pás	B537	-470	0,00333	-1,567		
Horný pás	B621	-70	0,00333	-0,233	-1,800	0,063
Dolný pás	B537	-470	0,00333	-1,567		

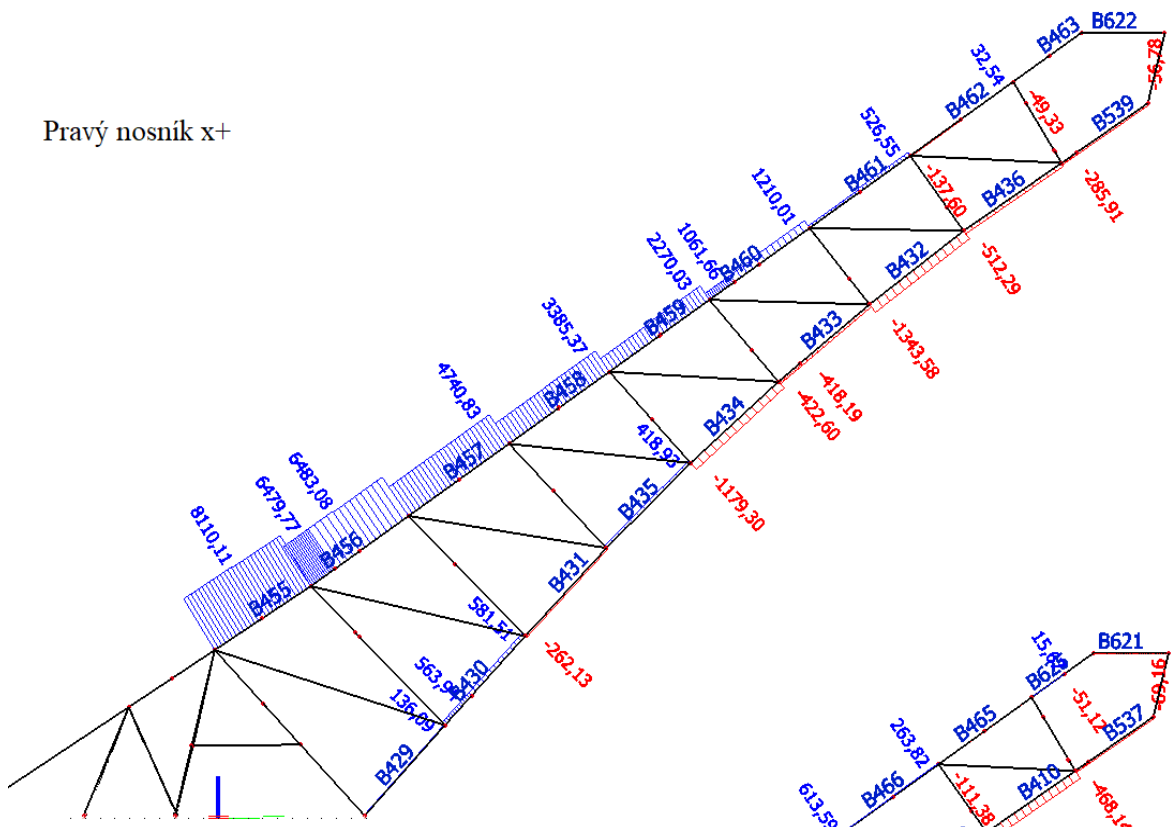


Obr. 5.2: Náhradné vodorovné sily

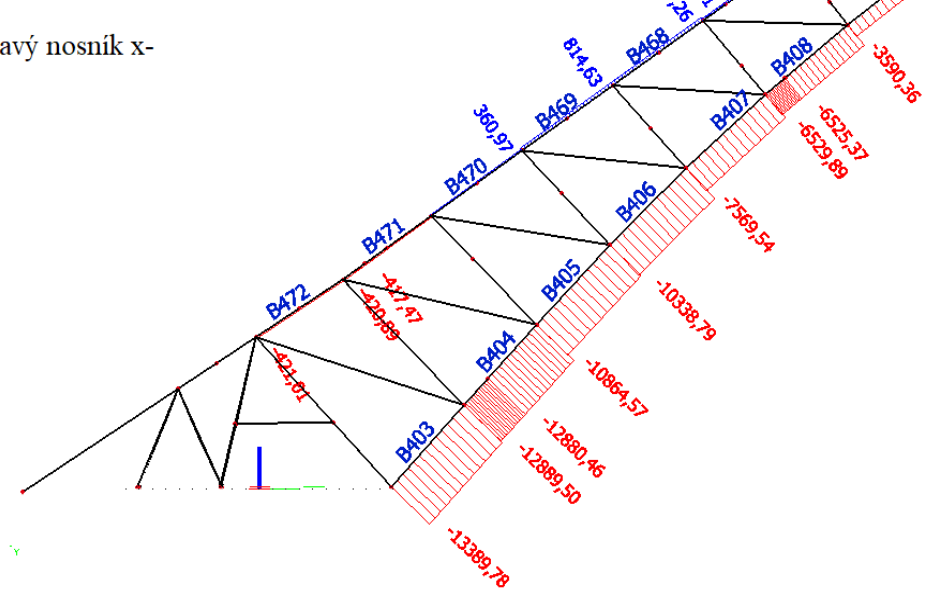
Zadanie imperfekcií pomocou zaťažovacieho stavu na obrázku 5.3.



Pravý nosník x+



Ľavý nosník x-



Obr. 5.4: Osové sily - lineárny výpočet

5.2.2 Kompletne imperfektná sústava

Ako jednu spoločnú globálnu a lokálnu imperfekciu sa môže použiť kritický tvar vybočenia. Tento tvar je známy zo stabilitného výpočtu. Avšak z matematického pohľadu je problémom vlastných čísel a teda príslušná diferenciálna rovnica má nekonečne veľa riešení. Nás zaujíma najnižšia hodnota pri ktorej nastáva vybočenie. Vlastné tvary sú bezrozmerné a najčastejšie sú normované podľa hmotnosti. V STN EN 19993-1-1 je uvedený výpočet hodnoty maximálnej amplitúdy vybočenia:

$$e_0 = \alpha(\bar{\lambda} - 0,2) * \frac{M_{Rk}}{N_{Rk}} * \frac{1 - \frac{\chi * \bar{\lambda}}{\gamma_{M1}}}{1 - \chi * \bar{\lambda}^2}$$

λ . . . pomerná štíhlosť konštrukcie

$$\bar{\lambda} = \sqrt{\frac{\alpha_{ult,k}}{\alpha_{cr}}}$$

$\alpha_{ult,k}$. . . násobiteľ osovej sily pre dosiahnutie charakteristickej únosnosti prútu

α . . . imperfekcia pre príslušnú krivku vzpernej pevnosti

V našom prípade vybočuje priečnik dolného stuženia B395.

$\gamma_{M1} = 1,0$

$\alpha = 0,21$

$\chi = 0,49$

$N_{Ed} = 1433kN$

$N_{Rk} = 2048kN$

$M_{Rk} = 368kNm$

$\alpha_{ult,k} = 1,43$

$\alpha_{cr} = 2,54$

$\bar{\lambda} = 0,75$

$e_0 = 0,0208m$ platí pre $\bar{\lambda} > 0,2$

Amplitúda imperfekcie v kritickom tvere vybočenia činí 20,8mm. Pri posúdení jednotlivých prvkov sa už nezohľadňuje strata stability. Výnimkou je klopenie, to sa musí zohľadniť vždy.

POSÚDENIE JEDNOTLIVÝCH PRVKOV V MSÚ

Na posúdenie jednotlivých prvkov sme vytvorili v programe EXCEL 2013 tabuľky, pre jednotlivé prípady namáhania. Ďalej sme do neho vložili rozsiahlu databázu oceľových prierezov, odkiaľ sa automaticky čerpajú potrebné dátá ako napr. prierezové charakteristiky, klasifikácia prierezu ap. V tejto kapitole si uvedieme návrhové sily a posúdime jednotlivé najviac namáhané prvky ručne. Posúdenia zvyšných prvkov nájdete v prílohe.

6.1 Hlavný nosník

Vyberieme rozhodujúce prúty z jednotlivých typov prvkov hlavného nosníka. Obidva nosníky budú identické, takže vyberáme vždy najviac namáhaný prvek z oboch nosníkov.

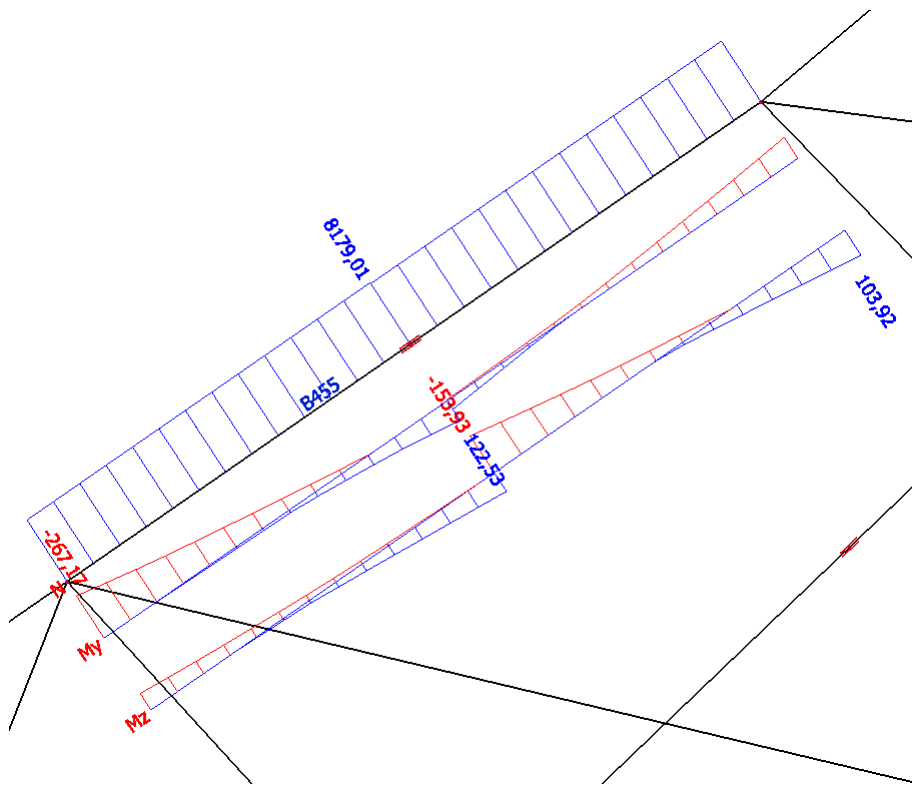
6.1.1 Horný pás - B455(SHS400/22,0)

- $N_{Ed} = 7980kN$
- $M_{y,Ed} = -3kNm$
- $M_{z,Ed} = -154kNm$
- $V_{z,Ed} = -111kN$
- $M_{x,Ed} = 68kNm$

Klasifikácia prierezu:

$$c/t \leq 72\varepsilon$$
$$334/22 = 15,2 \leq 72 * \sqrt{235/355} = 58,6 \rightarrow \text{Trieda prierezu 1}$$

Najskôr posúdime šmyk+krútenie, pretože v prípade veľkého šmyku sa redukuje medza klzu.



Obr. 6.1: B455-Obálka VS

1. Vnitřní síly na prutu

Nelineární výpočet, Extrém : Prvek, Systém : Hlavní
Výběr : B455
Třída : Nelinearne_MSU

Prvek	css	Stav	N [kN]	Vy [kN]	Vz [kN]	Mx [kNm]	My [kNm]	Mz [kNm]
B455	horny_pas3 - SHS400/400/22.0	6.10.a_vietor_y_-cool	524,96	5,77	-13,05	6,83	20,91	-10,26
B455	horny_pas3 - SHS400/400/22.0	6.10.b_vietor_x_pos	8179,01	19,75	65,58	-40,26	73,42	27,23
B455	horny_pas3 - SHS400/400/22.0	6.10.a_vietor_y_-cool	532,28	1,40	5,70	-9,17	20,46	0,45
B455	horny_pas3 - SHS400/400/22.0	6.10.b_vietor_x_heat	7979,18	70,94	-9,00	49,00	-2,92	-153,93
B455	horny_pas3 - SHS400/400/22.0	6.10.b_sneh_vietor_y_neg	5261,67	45,22	-56,05	59,53	-132,38	82,34
B455	horny_pas3 - SHS400/400/22.0	6.10.b_vietor_y_pos	6095,68	31,37	111,13	-42,55	-267,17	-44,21
B455	horny_pas3 - SHS400/400/22.0	6.10.b_vietor_x_heat	8107,39	16,55	63,31	-43,81	99,78	18,63
B455	horny_pas3 - SHS400/400/22.0	6.10.b_vietor_y_pos	5980,53	50,87	-51,57	67,78	-130,28	96,58
B455	horny_pas3 - SHS400/400/22.0	6.10.b_sneh_vietor_y_heat	5344,91	25,61	80,76	-42,22	122,53	57,89
B455	horny_pas3 - SHS400/400/22.0	6.10.b_vietor_y_heat	5502,38	54,87	-43,48	59,13	-113,85	103,92

Podmienka malého šmyku

- Prostý šmyk

$$V_{Pl,z,Rd} = \frac{A_{v,z} * f_y / \sqrt{3}}{\gamma_{M0}} = \frac{16 * 10^{-3} * 355 * 10^3 / \sqrt{3}}{1,0} = 3279 kN$$

$$\frac{V_{Ed,z}}{V_{Pl,z,Rd}} < 0,5$$

$$\frac{111}{3279} < 0,5$$

$$0,034 < 0,5$$

- Vplyv krútenia

$$2A_s = \omega = 2 * (0,4 - 0,022)^2 = 0,2858 m^2$$

$$\tau_{t,Ed} = \frac{T_t}{\omega * t_i} = \frac{68 * 10^{-3}}{0,2858 * 0,022} = 10,8 MPa$$

$$V_{Pl,T,Rd} = (1 - \frac{\tau_{t,Ed}}{(f_y/\sqrt{3})/\gamma_{M0}}) * V_{Pl,z,Rd} = (1 - \frac{10,8}{(355/\sqrt{3}/1,0)} = 3106 kN$$

$$\frac{V_{Ed,z}}{V_{Pl,T,Rd}} < 0,5$$

$$\frac{111}{3106} < 0,5$$

$$0,036 < 0,5$$

Netreba redukovať medzú klzú

Interakcia: ohyb+ťah

- Únosnosť prierezu

$$N_{pl,Rd} = \frac{A * f_y}{\gamma_{M0}} = \frac{32 * 10^{-3} * 355}{1,0} = 11360 kN$$

$$M_{pl,y,Rd} = \frac{W_{pl,y} * f_y}{\gamma_{M0}} = \frac{4,476 * 10^{-3} * 355}{1,0} = 1589 kNm$$

$$M_{pl,z,Rd} = \frac{W_{pl,z} * f_y}{\gamma_{M0}} = \frac{4,476 * 10^{-3} * 355}{1,0} = 1589 kNm$$

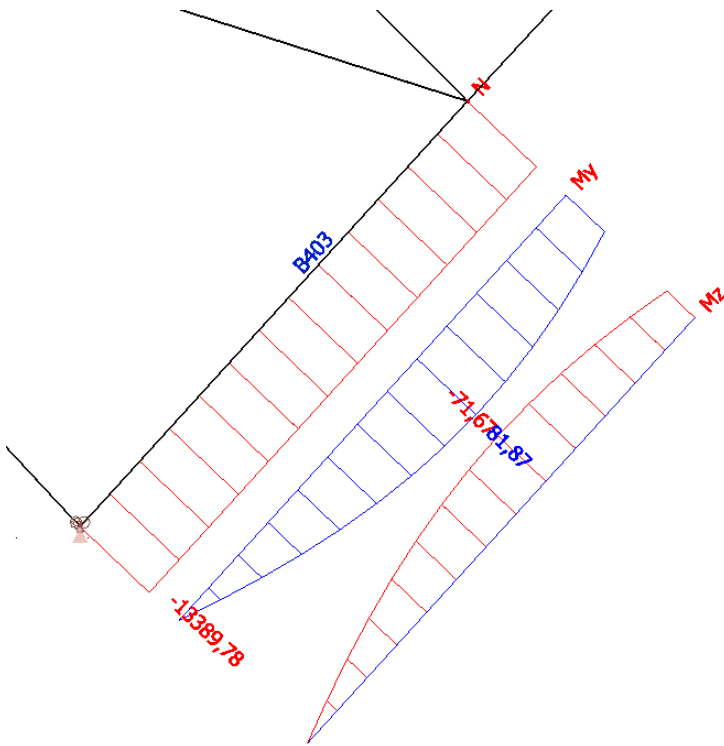
- Posúdenie

$$\frac{N_{Ed}}{N_{pl,Rd}} + \frac{M_{y,Ed}}{M_{pl,y,Rd}} + \frac{M_{z,Ed}}{M_{pl,z,Rd}} \leq 1$$

$$\frac{7980}{11360} + \frac{154}{1589} \leq 1$$

$$0,8 < 1 \implies \text{VYHOVUJE}$$

6.1.2 Dolný pás - B403(SHS450/32,0)



Obr. 6.2: B403-NK 6.10.b/vietor/x/neg

- $N_{Ed} = -13373kN$
- $M_{y,Ed} = -81,9kNm$
- $M_{z,Ed} = -72kNm$

Klasifikácia prierezu:

$$c/t \leq 33\epsilon$$

$$368/32 = 12 \leq 33 * \sqrt{235/355} = 26,7 \rightarrow \text{Trieda prierezu 1}$$

Interakcia: ohyb+tlak

Najskôr sa overí prostá únosnosť, tj. bez zahrnutia straty stability.

- Únosnosť prierezu

$$N_{pl,Rd} = \frac{A * f_y}{\gamma_{M0}} = \frac{50,9 * 10^{-3} * 355}{1,0} = 18070kN$$

$$M_{pl,y,Rd} = \frac{W_{pl,y} * f_y}{\gamma_{M0}} = \frac{7,826 * 10^{-3} * 355}{1,0} = 2778kNm$$

$$M_{pl,z,Rd} = \frac{W_{pl,z} * f_y}{\gamma_{M0}} = \frac{7,826 * 10^{-3} * 355}{1,0} = 2778kNm$$

1. Vnitřní síly na prutu

Nelineární výpočet, Extrém : Prvek, Systém : Hlavní
 Výběr : B403
 Třída : Nelinearne_MSU

Prvek	css	Stav	N [kN]	Vy [kN]	Vz [kN]	Mx [kNm]	My [kNm]	Mz [kNm]
B403	dolny_pas4 - SHS450/450/32.0	6.10.b_vietor_x_neg	-13389,78	25,64	-28,17	-3,86	0,00	-0,01
B403	dolny_pas4 - SHS450/450/32.0	6.10.a_vietor_y_-cool	-1405,00	-1,56	-6,33	-0,26	42,90	14,34
B403	dolny_pas4 - SHS450/450/32.0	6.10.b_vietor_y_pos	-9677,85	-18,86	-48,13	0,48	0,00	0,00
B403	dolny_pas4 - SHS450/450/32.0	6.10.b_vietor_y_pos	-9651,19	-2,10	28,40	0,08	98,77	104,75
B403	dolny_pas4 - SHS450/450/32.0	6.10.b_vietor_x_pos	-13276,39	-16,37	18,56	-4,08	59,47	16,58
B403	dolny_pas4 - SHS450/450/32.0	6.10.b_vietor_y_neg	-9002,10	-11,04	-43,81	0,82	0,00	0,00
B403	dolny_pas4 - SHS450/450/32.0	6.10.b_vietor_x_pos	-13303,21	13,07	-29,40	-4,06	0,00	-0,01
B403	dolny_pas4 - SHS450/450/32.0	6.10.b_vietor_y_pos	-9659,43	-10,04	3,19	0,06	139,29	89,31
B403	dolny_pas4 - SHS450/450/32.0	6.10.b_vietor_x_neg	-13373,27	-0,08	-1,13	-3,75	81,87	-71,67

- Posúdenie

$$\frac{N_{Ed}}{N_{pl,Rd}} + \frac{M_{y,Ed}}{M_{pl,y,Rd}} + \frac{M_{z,Ed}}{M_{pl,z,Rd}} \leq 1$$

$$\frac{13373}{18070} + \frac{81,9}{2778} + \frac{72}{2778} \leq 1$$

$$0,8 < 1 \implies VYHOVUJE$$

Únosnosť s vplyvom straty stability

$$\frac{N_{Ed}}{\chi_y * N_{pl,Rd}} + k_{yy} \frac{M_{y,Ed}}{\chi_{Lt} * M_{pl,y,Rd}} + k_{yz} * \frac{M_{z,Ed}}{M_{pl,z,Rd}} \leq 1$$

$$\frac{N_{Ed}}{\chi_z * N_{pl,Rd}} + k_{zy} \frac{M_{y,Ed}}{\chi_{Lt} * M_{pl,y,Rd}} + k_{zz} * \frac{M_{z,Ed}}{M_{pl,z,Rd}} \leq 1$$

- Stanovenie súčiniteľa vzperu

$$\chi_y = \chi_z \| L_{cr,y/z} = 8,15m \| \text{krivka vzpernej pevnosti a}$$

$$\lambda_1 = 93,9 * \varepsilon = 93,9 * \sqrt{\frac{235}{355}} = 76,4$$

$$i_y = \sqrt{\frac{I_y}{A}} = \sqrt{\frac{14,41 * 10^{-4}}{5,09 * 10^{-2}}} = 0,168m$$

$$\lambda_y = \frac{L_{cr,y}}{i_y} = \frac{8,15}{0,168} = 48,5$$

$$\overline{\lambda_y} = \frac{\lambda_y}{\lambda_1} = \frac{48,5}{76,4} = 0,63$$

$$\phi = 0,5 * [1 + \alpha(\bar{\lambda}_y - 0,2) + \bar{\lambda}_y^2] = 0,5[1 + 0,21(0,63 - 0,2) + 0,63^2] = 0,75$$

$$\chi_y = \frac{1}{\phi + \sqrt{\phi^2 - \bar{\lambda}_y^2}} = \frac{1}{0,75 + \sqrt{0,75^2 - 0,63^2}} = 0,876$$

- Súčinitel klopenia χ_{LT}

Kedže sa jedná o pravouhlý uzavretý prierez, tak $\chi_{LT} = 1,0$

- Súčinitele interakcie k

Podľa STN EN 1993-1-1 príloha B.

$$\psi_y = \psi_z = 0$$

$$\alpha_{h,y} = \frac{M_{h,y}}{M_{s,y}} = \frac{54}{82} = 0,66$$

$$\alpha_{h,z} = \frac{M_{h,z}}{M_{s,z}} = \frac{42}{72} = 0,58$$

$$C_{my} = 0,95 + 0,05 * 0,66 = 0,98$$

$$C_{mz} = 0,95 + 0,05 * 0,66 = 0,98$$

$$k_{yy} = \min[C_{my}(1 + (\bar{\lambda}_y - 0,2) \frac{N_{Ed}}{\chi_y * N_{pl,Rd}}); C_{my}(1 + 0,8 \frac{N_{Ed}}{\chi_y * N_{pl,Rd}})]$$

$$k_{yy} = \min[0,98(1 + (0,63 - 0,2) \frac{13373}{0,876 * 18070}); 0,98(1 + 0,8 \frac{13373}{0,876 * 18070})] = 1,34$$

$$k_{zz} = \min[C_{mz}(1 + (\bar{\lambda}_z - 0,2) \frac{N_{Ed}}{\chi_z * N_{pl,Rd}}); C_{mz}(1 + 0,8 \frac{N_{Ed}}{\chi_z * N_{pl,Rd}})]$$

$$k_{zz} = \min[0,98(1 + (0,63 - 0,2) \frac{13373}{0,876 * 18070}); 0,98(1 + 0,8 \frac{13373}{0,876 * 18070})] = 1,34$$

$$k_{yz} = 0,6 * k_{zz} = 0,6 * 1,34 = 0,8$$

$$k_{zy} = 0,6 * k_{yy} = 0,6 * 1,34 = 0,8$$

- Posúdenie

$$\frac{13373}{0,876 * 18070} + 1,34 \frac{81,9}{1,0 * 2778} + 0,8 \frac{72}{2778} < 1$$

$$0,905 < 1,0 \implies VYHOVUJE$$

$$\frac{13157}{0,876 * 18100} + 0,8 \frac{81,9}{1,0 * 2778} + 1,34 \frac{72}{2778} < 1$$

$$0,903 < 1,0 \implies VYHOVUJE$$

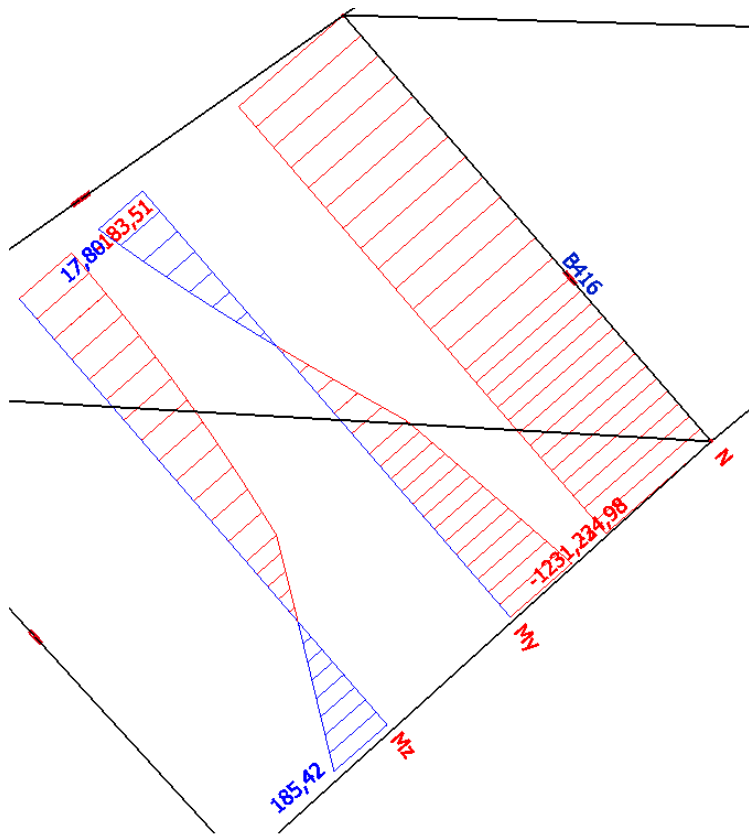
6.1.3 Zvislica - B416(SHS300/10,0)

- $N_{Ed} = -1231kN$
- $M_{y,Ed} = -25kNm$
- $M_{z,Ed} = 185,4kNm$
- $V_{y,Ed} = -107,4kN$

Klasifikácia prierezu:

$$c/t \leq 72\varepsilon$$

$$270/10 = 27 \leq 38 * \sqrt{235/355} = 30,8 \rightarrow \text{Trieda prierezu 2}$$



Obr. 6.3: B416-NK 6.10.b/vietor/x/neg

1. Vnitřní síly na prutu

Nelineární výpočet, Extrém : Prvek, Systém : Hlavní

Výběr : B416

Třída : Nelinearne_MSU

Prvek	css	Stav	N [kN]	Vy [kN]	Vz [kN]	Mx [kNm]	My [kNm]	Mz [kNm]
B416	zvyslica1 - SHS300/300/10.0	6.10.b_vietor_y_pos	-1488,61	-20,12	11,12	-2,53	-42,10	42,56
B416	zvyslica1 - SHS300/300/10.0	6.10.a_vietor_y_cool	-201,00	-0,58	-0,80	-0,66	1,80	-11,30
B416	zvyslica1 - SHS300/300/10.0	6.10.b_vietor_x_neg	-1229,82	-107,40	3,63	1,47	-20,58	50,34
B416	zvyslica1 - SHS300/300/10.0	6.10.b_vietor_x_pos	-1222,28	1,61	5,18	0,89	17,23	-178,65
B416	zvyslica1 - SHS300/300/10.0	6.10.b_vietor_y_pos	-1486,77	-21,90	12,53	-2,21	-14,01	-7,32
B416	zvyslica1 - SHS300/300/10.0	6.10.b_pos_vietor_y	-1219,97	-15,33	9,77	-2,80	-34,84	30,64
B416	zvyslica1 - SHS300/300/10.0	6.10.b_vietor_x_neg	-1224,34	-5,30	6,18	2,66	13,86	-181,92
B416	zvyslica1 - SHS300/300/10.0	6.10.b_vietor_y_pos	-1482,45	-9,63	6,11	-1,83	34,54	-87,92
B416	zvyslica1 - SHS300/300/10.0	6.10.b_vietor_x_neg	-1223,82	0,57	5,32	2,64	17,80	-183,51
B416	zvyslica1 - SHS300/300/10.0	6.10.b_vietor_x_neg	-1231,23	-104,57	3,38	0,75	-24,98	185,42

- Prostý šmyk

$$V_{Pl,y,Rd} = \frac{A_{v,z} * f_y / \sqrt{3}}{\gamma_{M0}} = \frac{11,5 * 10^{-3} * 355 * 10^3 / \sqrt{3}}{1,0} = 1178 kN$$

$$\frac{V_{y,Ed}}{V_{Pl,y,Rd}} < 0,5$$

$$\frac{107,4}{1178} < 0,5$$

$$0,1 < 0,5$$

Netreba redukovať medzú klzu

Interakcia: ohyb+tlak

Prostá únosnosť

- Únosnosť prierezu

$$N_{Pl,Rd} = \frac{A * f_y}{\gamma_{M0}} = \frac{11,5 * 10^{-3} * 355}{1,0} = 4082 kN$$

$$M_{Pl,y,Rd} = \frac{W_{Pl,y} * f_y}{\gamma_{M0}} = \frac{1,246 * 10^{-3} * 355}{1,0} = 442 kNm$$

$$M_{Pl,z,Rd} = \frac{W_{Pl,z} * f_y}{\gamma_{M0}} = \frac{1,246 * 10^{-3} * 355}{1,0} = 442 kNm$$

- Posúdenie

$$\begin{aligned} \frac{N_{Ed}}{N_{Pl,Rd}} + \frac{M_{y,Ed}}{M_{Pl,y,Rd}} + \frac{M_{z,Ed}}{M_{Pl,z,Rd}} &\leq 1 \\ \frac{1231}{4082} + \frac{25}{442} + \frac{185,4}{442} &\leq 1 \\ 0,78 < 1 \implies &VYHOVUJE \end{aligned}$$

Únosnosť s vplyvom straty stability

$$\begin{aligned} \frac{N_{Ed}}{\chi_y * N_{Pl,Rd}} + k_{yy} \frac{M_{y,Ed}}{\chi_{Lt} * M_{Pl,y,Rd}} + k_{yz} * \frac{M_{z,Ed}}{M_{Pl,z,Rd}} &\leq 1 \\ \frac{N_{Ed}}{\chi_z * N_{Pl,Rd}} + k_{zy} \frac{M_{y,Ed}}{\chi_{Lt} * M_{Pl,y,Rd}} + k_{zz} * \frac{M_{z,Ed}}{M_{Pl,z,Rd}} &\leq 1 \end{aligned}$$

- Stanovenie súčiniteľa vzperu

$\chi_y = \chi_z \|L_{cr,y/z} = 7,15m\|$ krivka vzpernej pevnosti a

$$\lambda_1 = 93,9 * \varepsilon = 93,9 * \sqrt{\frac{235}{355}} = 76,4$$

$$i_y = \sqrt{\frac{I_y}{A}} = \sqrt{\frac{1,6026 * 10^{-4}}{5,09 * 10^{-2}}} = 0,118 m$$

$$\lambda_y = \frac{L_{cr,y}}{i_y} = \frac{7,15}{0,118} = 60,6$$

$$\overline{\lambda_y} = \frac{\lambda_y}{\lambda_1} = \frac{60,6}{76,4} = 0,79$$

$$\phi = 0,5 * [1 + \alpha(\overline{\lambda_y} - 0,2) + \overline{\lambda_y}^2] = 0,5[1 + 0,21(0,79 - 0,2) + 0,79^2] = 0,88$$

$$\chi_y = \frac{1}{\phi + \sqrt{\phi^2 - \overline{\lambda_y}^2}} = \frac{1}{0,88 + \sqrt{0,88^2 - 0,79^2}} = 0,8$$

- Súčinitel klopenia χ_{LT}

Kedže sa jedná o pravouhlý uzavretý prierez, tak $\chi_{LT} = 1,0$

- Súčinitele interakcie k

Podľa STN EN 1993-1-1 príloha B.

$$\psi_y = -0,72 \wedge \psi_z = -0,99$$

$$\alpha_{s,z} = \frac{M_s}{M_h} = \frac{-140}{185} = -0,76$$

$$C_{my} = 0,6 + 0,4 * (-0,72) = 0,40$$

$$C_{mz} = 0,1 * (1 - (-0,99)) - 0,8 * (-0,76) = 0,8$$

$$k_{yy} = \min[C_{my}(1 + (\overline{\lambda_y} - 0,2) \frac{N_{Ed}}{\chi_y * N_{pl,Rd}}); C_{my}(1 + 0,8 \frac{N_{Ed}}{\chi_y * N_{pl,Rd}})]$$

$$k_{yy} = \min[0,4(1 + (0,79 - 0,2) \frac{1231}{0,8 * 4082}); 0,4(1 + 0,8 \frac{1231}{0,8 * 4082})] = 0,49$$

$$k_{zz} = \min[C_{mz}(1 + (\overline{\lambda_z} - 0,2) \frac{N_{Ed}}{\chi_z * N_{pl,Rd}}); C_{mz}(1 + 0,8 \frac{N_{Ed}}{\chi_z * N_{pl,Rd}})]$$

$$k_{zz} = \min[0,8(1 + (0,79 - 0,2) \frac{1231}{0,8 * 4082}); 0,8(1 + 0,8 \frac{1231}{0,8 * 4082})] = 0,98$$

$$k_{yz} = 0,6 * k_{zz} = 0,6 * 0,98 = 0,59$$

$$k_{zy} = 0,6 * k_{yy} = 0,6 * 0,49 = 0,29$$

- Posúdenie

$$\frac{1231}{0,8 * 4082} + 0,49 \frac{25}{1,0 * 442} + 0,59 \frac{185,4}{442} < 1$$

$$0,66 < 1,0 \implies VYHOVUJE$$

$$\frac{1231}{0,8 * 4082} + 0,29 \frac{25}{1,0 * 442} + 0,29 \frac{185,4}{442} < 1$$

$$0,81 < 1,0 \implies VYHOVUJE$$

6.1.4 Diagonála - B426(SHS250/12,5)

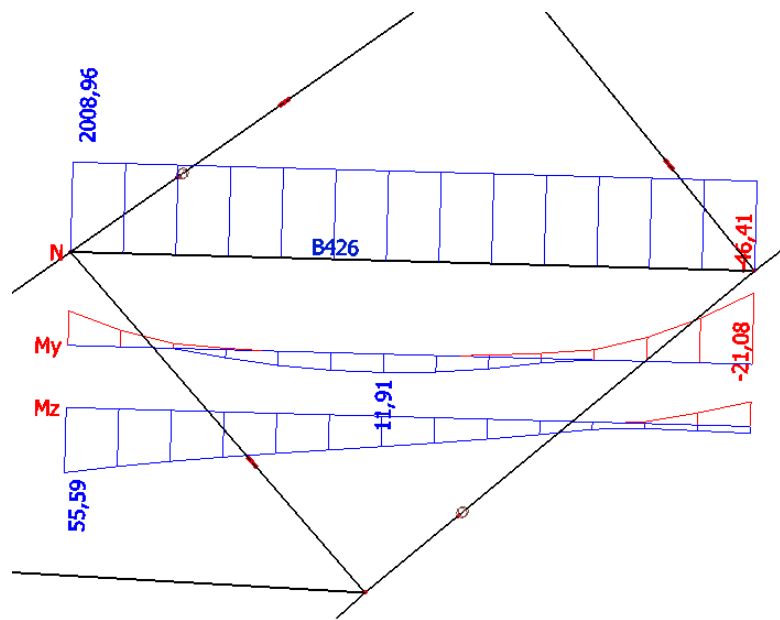
- $N_{Ed} = 2008kN$
- $M_{y,Ed} = -46,4kNm$
- $M_{z,Ed} = -5,8kNm$

Klasifikácia prierezu:

$$c/t \leq 72\varepsilon$$

$$213/12,5 = 17 \leq 72 * \sqrt{235/355} = 58,6 \rightarrow \text{Trieda prierezu 1}$$

Interakcia: ohyb+ťah



Obr. 6.4: B426-Obálka VS

1. Vnitřní síly na prutu

Nelineární výpočet, Extrém : Prvek, Systém : Hlavní

Výběr : B426

Třída : Nelinearne_MSU

Prvek	css	Stav	N [kN]	Vy [kN]	Vz [kN]	Mx [kNm]	My [kNm]	Mz [kNm]
B426	diagonaly1 - SHS250/250/12.5	6.10.a_vietor_y_cool	236,49	0,12	-5,19	-1,53	-10,09	2,05
B426	diagonaly1 - SHS250/250/12.5	6.10.b_vietor_y_pos	2008,96	-4,56	15,59	-5,83	-20,57	15,74
B426	diagonaly1 - SHS250/250/12.5	6.10.b_vietor_x_neg	1622,68	-14,11	-8,66	-19,48	-20,87	-21,08
B426	diagonaly1 - SHS250/250/12.5	6.10.b_vietor_y_pos	2007,66	1,35	-23,90	-5,95	-46,41	5,80
B426	diagonaly1 - SHS250/250/12.5	6.10.b_vietor_y_heat	1852,22	-4,31	16,12	-5,22	-22,35	15,37
B426	diagonaly1 - SHS250/250/12.5	6.10.a_vietor_y_cool	236,77	-0,07	4,57	-1,52	-7,01	1,85
B426	diagonaly1 - SHS250/250/12.5	6.10.b_vietor_y_cool	1847,94	-0,78	-0,44	-5,24	11,91	4,09
B426	diagonaly1 - SHS250/250/12.5	6.10.b_vietor_x_neg	1623,00	-8,59	5,35	-18,99	-9,39	55,59

- Únosnosť prierezu

$$N_{pl,Rd} = \frac{A * f_y}{\gamma_{M0}} = \frac{11,7 * 10^{-3} * 355}{1,0} = 4153 kN$$

$$M_{pl,y,Rd} = \frac{W_{pl,y} * f_y}{\gamma_{M0}} = \frac{1,037 * 10^{-3} * 355}{1,0} = 368 kNm$$

$$M_{pl,z,Rd} = \frac{W_{pl,z} * f_y}{\gamma_{M0}} = \frac{1,037 * 10^{-3} * 355}{1,0} = 368 kNm$$

- Posúdenie

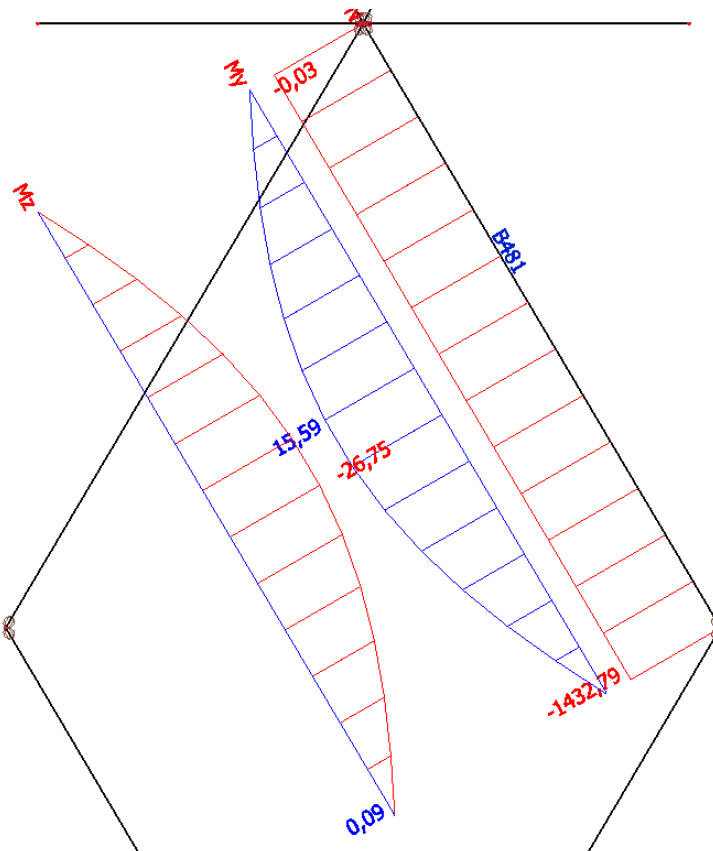
$$\frac{N_{Ed}}{N_{pl,Rd}} + \frac{M_{y,Ed}}{M_{pl,y,Rd}} + \frac{M_{z,Ed}}{M_{pl,z,Rd}} \leq 1$$

$$\frac{2008}{4153} + \frac{46,4}{368} + \frac{5,8}{368} \leq 1$$

$$0,63 < 1 \implies VYHOVUJE$$

6.2 Dolné stuženie

6.2.1 Diagonála - B481(SHS250/12,5)



Obr. 6.5: B481-NK 6.10.b/vietor/x/neg

- $N_{Ed} = -1426 kN$
- $M_{y,Ed} = 16 kNm$
- $M_{z,Ed} = -26,8 kNm$

1. Vnitřní síly na prutu

Nelineární výpočet, Extrém : Prvek, Systém : Hlavní
Výběr : B481
Třída : Nelinearne_MSU

Prvek	css	Stav	N [kN]	Vy [kN]	Vz [kN]	My [kNm]	Mz [kNm]
B481	stuzenie_D_1 - SHS250/250/12.5	6.10.b_vietor_x_neg	-1432,79	10,26	-5,97	0,10	0,09
B481	stuzenie_D_1 - SHS250/250/12.5	6.10.a_vietor_y_-cool	-43,94	1,40	-4,98	0,00	0,00
B481	stuzenie_D_1 - SHS250/250/12.5	6.10.b_vietor_x_neg	-1418,83	-10,21	6,01	-0,03	0,01
B481	stuzenie_D_1 - SHS250/250/12.5	6.10.b_vietor_y_neg	-383,10	-1,79	-11,02	0,00	0,01
B481	stuzenie_D_1 - SHS250/250/12.5	6.10.b_vietor_y_neg	-377,16	1,78	11,01	0,00	0,00
B481	stuzenie_D_1 - SHS250/250/12.5	MSP_char_vietor_y_cool	-256,49	-1,49	-7,77	0,00	0,00
B481	stuzenie_D_1 - SHS250/250/12.5	6.10.b_vietor_x_neg	-1425,31	-1,02	0,58	15,59	-26,74
B481	stuzenie_D_1 - SHS250/250/12.5	6.10.a_vietor_y_-cool	-46,76	-0,11	0,38	-11,53	3,24
B481	stuzenie_D_1 - SHS250/250/12.5	6.10.b_vietor_y_neg	-380,39	-0,15	-0,89	26,20	4,24
B481	stuzenie_D_1 - SHS250/250/12.5	6.10.b_vietor_x_neg	-1426,38	0,97	-0,58	15,58	-26,75
B481	stuzenie_D_1 - SHS250/250/12.5	6.10.a_vietor_y+neg	-369,78	-0,17	-0,71	20,91	4,98

Klasifikácia prierezu:

$$c/t \leq 33\varepsilon$$

$$213/12,5 = 17 \leq 33 * \sqrt{235/355} = 27 \rightarrow \text{Trieda prierezu 1}$$

Interakcia: ohyb+tlak

Prostá únosnosť

- Únosnosť prierezu

$$N_{pl,Rd} = \frac{A * f_y}{\gamma_{M0}} = \frac{11,7 * 10^{-3} * 355}{1,0} = 4153 kN$$

$$M_{pl,y,Rd} = \frac{W_{pl,y} * f_y}{\gamma_{M0}} = \frac{1,037 * 10^{-3} * 355}{1,0} = 368 kNm$$

$$M_{pl,z,Rd} = \frac{W_{pl,z} * f_y}{\gamma_{M0}} = \frac{1,037 * 10^{-3} * 355}{1,0} = 368 kNm$$

- Posúdenie

$$\frac{N_{Ed}}{N_{pl,Rd}} + \frac{M_{y,Ed}}{M_{pl,y,Rd}} + \frac{M_{z,Ed}}{M_{pl,z,Rd}} \leq 1$$

$$\frac{1426}{4153} + \frac{16}{368} + \frac{26,8}{368} \leq 1$$

$$0,46 < 1 \implies \text{VYHOVUJE}$$

Únosnosť s vplyvom straty stability

$$\frac{N_{Ed}}{\chi_y * N_{pl,Rd}} + k_{yy} \frac{M_{y,Ed}}{\chi_{Lt} * M_{pl,y,Rd}} + k_{yz} * \frac{M_{z,Ed}}{M_{pl,z,Rd}} \leq 1$$

$$\frac{N_{Ed}}{\chi_z * N_{pl,Rd}} + k_{zy} \frac{M_{y,Ed}}{\chi_{Lt} * M_{pl,y,Rd}} + k_{zz} * \frac{M_{z,Ed}}{M_{pl,z,Rd}} \leq 1$$

- Stanovenie súčiniteľa vzperu

$\chi_y = \chi_z \|L_{cr,y/z} = 9,3m\|$ krivka vzpernej pevnosti a

$$\lambda_1 = 93,9 * \varepsilon = 93,9 * \sqrt{\frac{235}{355}} = 76,4$$

$$i_y = \sqrt{\frac{I_y}{A}} = \sqrt{\frac{1,0915 * 10^{-4}}{1,17 * 10^{-2}}} = 0,0966m$$

$$\lambda_y = \frac{L_{cr,y}}{i_y} = \frac{9,3}{0,0966} = 96,3$$

$$\overline{\lambda}_y = \frac{\lambda_y}{\lambda_1} = \frac{96,3}{76,4} = 1,26$$

$$\phi = 0,5 * [1 + \alpha(\overline{\lambda}_y - 0,2) + \overline{\lambda}_y^2] = 0,5[1 + 0,21(1,26 - 0,2) + 1,26^2] = 1,41$$

$$\chi_y = \frac{1}{\phi + \sqrt{\phi^2 - \overline{\lambda}_y^2}} = \frac{1}{1,41 + \sqrt{1,41^2 - 1,26^2}} = 0,493$$

- Súčinitel klopenia χ_{LT}

Kedže sa jedná o pravouhlý uzavretý prierez, tak $\chi_{LT} = 1,0$

- Súčinitele interakcie k

Podľa STN EN 1993-1-1 príloha B.

$$\psi_{y/z} = 0$$

$$\alpha_{h,y} = \alpha_{h,z} = 0$$

$$C_{my} = 0,95$$

$$C_{mz} = 0,95$$

$$k_{yy} = \min[C_{my}(1 + (\overline{\lambda}_y - 0,2)\frac{N_{Ed}}{\chi_y * N_{pl,Rd}}); C_{my}(1 + 0,8\frac{N_{Ed}}{\chi_y * N_{pl,Rd}})]$$

$$k_{yy} = \min[0,95(1 + (1,26 - 0,2)\frac{1426}{0,493 * 4153}); 0,95(1 + 0,8\frac{1426}{0,493 * 4153})] = 1,48$$

$$k_{zz} = \min[C_{mz}(1 + (\overline{\lambda}_z - 0,2)\frac{N_{Ed}}{\chi_z * N_{pl,Rd}}); C_{mz}(1 + 0,8\frac{N_{Ed}}{\chi_z * N_{pl,Rd}})]$$

$$k_{zz} = \min[0,95(1 + (1,26 - 0,2)\frac{1426}{0,493 * 4153}); 0,95(1 + 0,8\frac{1426}{0,493 * 4153})] = 1,48$$

$$k_{yz} = 0,6 * k_{zz} = 0,6 * 1,48 = 0,89$$

$$k_{zy} = 0,6 * k_{yy} = 0,6 * 1,48 = 0,89$$

- Posúdenie

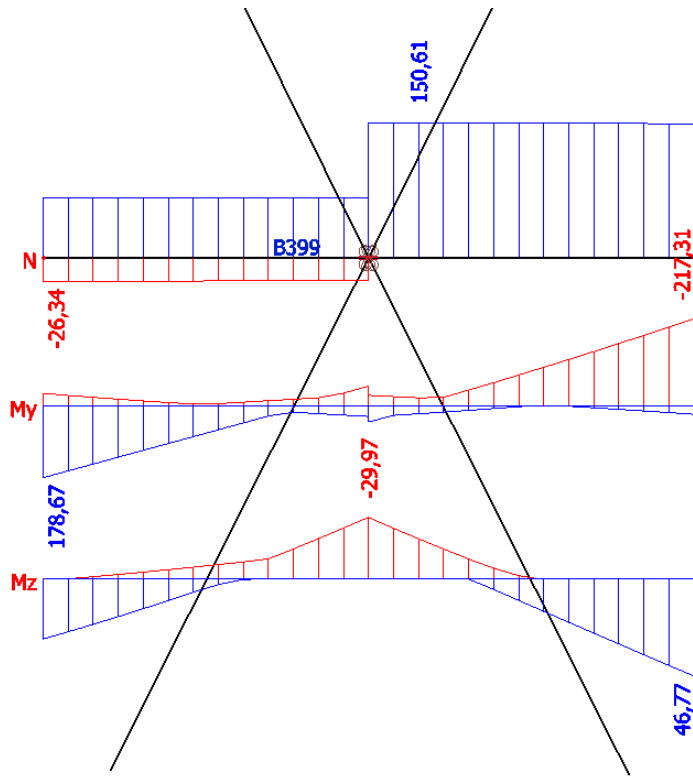
$$\frac{1426}{0,493 * 4153} + 1,48 \frac{16}{1,0 * 368} + 0,89 \frac{26,8}{368} < 1$$

$$0,79 < 1,0 \implies VYHOVUJE$$

$$\frac{1426}{0,493 * 4153} + 0,89 \frac{16}{1,0 * 368} + 1,48 \frac{26,8}{368} < 1$$

$$0,82 < 1,0 \implies VYHOVUJE$$

6.2.2 Priečnik - B401(SHS250/10,0)



Obr. 6.6: B401-Obálka VS

1. Vnitřní síly na prutu

Nelineární výpočet, Extrém : Prvek, Systém : Hlavní
Výběr : B399
Třída : Nelinearne_MSU

Prvek	css	Stav	N [kN]	Vy [kN]	Vz [kN]	My [kNm]	Mz [kNm]
B399	stuzenie_D_2 - SHS250/250/10.0	6.10.b_vietor_x_pos	-26,34	-3,29	-57,05	177,66	0,80
B399	stuzenie_D_2 - SHS250/250/10.0	6.10.b_vietor_x_heat	150,61	18,22	-63,03	-1,45	-12,45
B399	stuzenie_D_2 - SHS250/250/10.0	6.10.b_vietor_y_pos	67,38	-17,73	8,72	18,04	-29,97
B399	stuzenie_D_2 - SHS250/250/10.0	6.10.b_vietor_x_neg	149,06	18,76	-64,22	39,61	-22,46
B399	stuzenie_D_2 - SHS250/250/10.0	6.10.b_vietor_x_neg	147,83	17,28	-69,51	-217,31	46,77
B399	stuzenie_D_2 - SHS250/250/10.0	6.10.b_vietor_y_neg	60,84	-11,44	19,01	-31,88	28,83
B399	stuzenie_D_2 - SHS250/250/10.0	6.10.b_vietor_x_heat	-26,09	-3,31	-56,78	178,67	2,00

- $N_{Ed} = 148 \text{ kN}$
- $M_{y,Ed} = -217,3 \text{ kNm}$

- $M_{z,Ed} = 47kNm$

Klasifikácia prierezu:

$$c/t \leq 72\varepsilon$$

$$220/10 = 22 \leq 72 * \sqrt{235/355} = 58,3 \rightarrow \text{Trieda prierezu 1}$$

Interakcia: ohyb+ťah

- Únosnosť prierezu

$$N_{pl,Rd} = \frac{A * f_y}{\gamma_{M0}} = \frac{9,49 * 10^{-3} * 355}{1,0} = 3369kN$$

$$M_{pl,y,Rd} = \frac{W_{pl,y} * f_y}{\gamma_{M0}} = \frac{0,851 * 10^{-3} * 355}{1,0} = 302,1kNm$$

$$M_{pl,z,Rd} = \frac{W_{pl,z} * f_y}{\gamma_{M0}} = \frac{0,851 * 10^{-3} * 355}{1,0} = 302,1kNm$$

- Posúdenie

$$\frac{N_{Ed}}{N_{pl,Rd}} + \frac{M_{y,Ed}}{M_{pl,y,Rd}} + \frac{M_{z,Ed}}{M_{pl,z,Rd}} \leq 1$$

$$\frac{148}{3369} + \frac{217,3}{302,1} + \frac{47}{302,1} \leq 1$$

$$0,92 < 1 \Rightarrow \text{VYHOVUJE}$$

6.3 Horné stuženie

6.3.1 Diagonála - B585(SHS200/10,0)

- $N_{Ed} = 1145kN$

Prostý ťah

- Únosnosť prierezu

$$N_{pl,Rd} = \frac{A * f_y}{\gamma_{M0}} = \frac{7,49 * 10^{-3} * 355}{1,0} = 2659kN$$

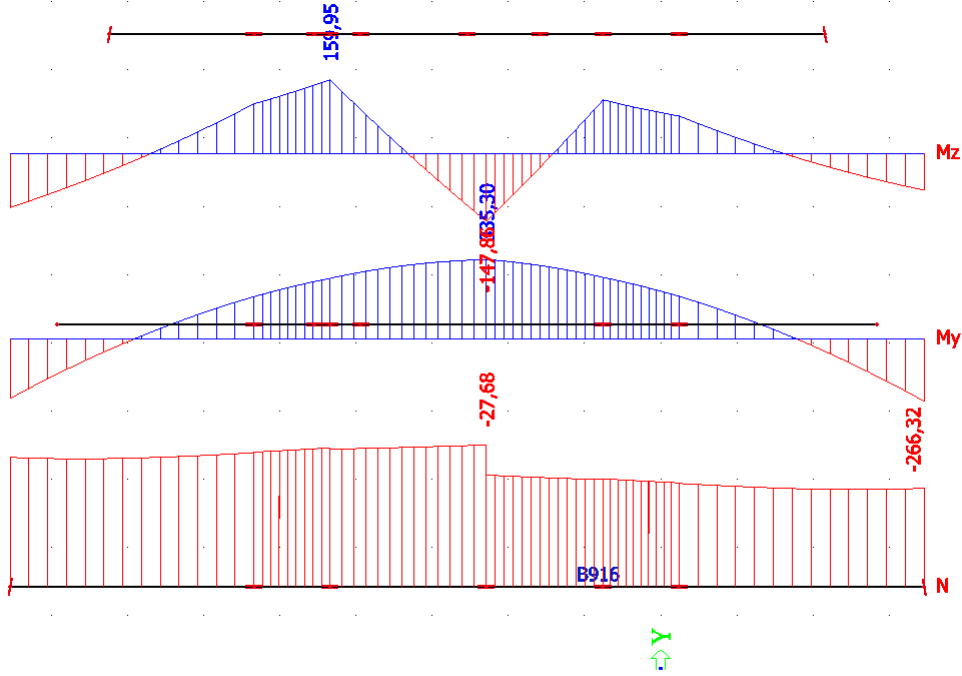
- Posúdenie

$$\frac{N_{Ed}}{N_{pl,Rd}} \leq 1$$

$$\frac{1145}{2659} \leq 1$$

$$0,43 < 1 \Rightarrow \text{VYHOVUJE}$$

6.3.2 Priečnik - B916(SHS300/16,0)



Obr. 6.7: B916-NK 6.10.b/vietor/y/pos

1. Vnitřní síly na prutu

Nelineární výpočet, Extrém : Prvek, Systém : Hlavní
Výběr : B916
Třída : Nelinearne_MSU

Prvek	css	Stav	N [kN]	Vy [kN]	Vz [kN]	Mx [kNm]	My [kNm]	Mz [kNm]
B916	priecnik_H_1 - SHS300/300/16.0	6.10.b_pos_vietor_x	-79,20	42,27	-9,06	-5,51	234,28	-19,90
B916	priecnik_H_1 - SHS300/300/16.0	6.10.b_vietor_x_heat	30,85	-92,66	-82,43	39,63	-37,31	-32,54
B916	priecnik_H_1 - SHS300/300/16.0	6.10.b_vietor_y_neg	9,17	-244,05	59,31	10,56	208,44	145,42
B916	priecnik_H_1 - SHS300/300/16.0	6.10.b_vietor_y_heat	26,39	211,23	-58,48	-9,06	202,57	195,91
B916	priecnik_H_1 - SHS300/300/16.0	6.10.b_vietor_y_pos	-25,28	-54,04	-175,24	49,22	-254,11	-117,49
B916	priecnik_H_1 - SHS300/300/16.0	6.10.b_vietor_y_pos	-19,26	33,68	178,87	-44,49	-266,32	-79,82
B916	priecnik_H_1 - SHS300/300/16.0	6.10.b_vietor_y_neg	10,16	50,54	140,75	-55,72	-198,59	-102,82
B916	priecnik_H_1 - SHS300/300/16.0	6.10.b_vietor_y_heat	27,30	-75,14	-139,81	56,64	-199,16	-150,77
B916	priecnik_H_1 - SHS300/300/16.0	6.10.b_vietor_y_pos	-21,83	-162,11	25,58	6,50	335,30	-147,84
B916	priecnik_H_1 - SHS300/300/16.0	6.10.b_vietor_y_heat	18,25	-224,21	19,52	7,24	268,19	-216,33
B916	priecnik_H_1 - SHS300/300/16.0	6.10.b_vietor_y_heat	25,96	-74,21	-47,51	47,04	202,53	196,38

- $N_{Ed} = -22kN$
- $M_{y,Ed} = 335,3kNm$
- $M_{z,Ed} = -148kNm$
- $V_{y,Ed} = -244kNm$

- $M_{x,Ed} = 57 \text{ kNm}$

Klasifikácia prierezu:

$$c/t \leq 33\epsilon$$

$$252/16 = 16 \leq 33 * \sqrt{235/355} = 27 \rightarrow \text{Trieda prierezu 1}$$

Podmienka malého šmyku

- Prostý šmyk

$$V_{Pl,y,Rd} = \frac{A_{v,y} * f_y / \sqrt{3}}{\gamma_{M0}} = \frac{8,95 * 10^{-3} * 355 * 10^3 / \sqrt{3}}{1,0} = 1834 \text{ kN}$$

$$\frac{V_{y,Ed}}{V_{Pl,y,Rd}} < 0,5$$

$$\frac{244}{1834} < 0,5$$

$$0,133 < 0,5$$

- Vplyv krútenia

$$2A_s = \omega = 2 * (0,3 - 0,016)^2 = 0,161 \text{ m}^2$$

$$\tau_{t,Ed} = \frac{T_t}{\omega * t_i} = \frac{57 * 10^{-3}}{0,161 * 0,016} = 22,1 \text{ MPa}$$

$$V_{Pl,T,Rd} = (1 - \frac{\tau_{t,Ed}}{(f_y/\sqrt{3})/\gamma_{M0}}) * V_{Pl,y,Rd} = (1 - \frac{22,1}{(355/\sqrt{3})/1,0}) = 1637 \text{ kN}$$

$$\frac{V_{Ed,z}}{V_{Pl,T,Rd}} < 0,5$$

$$\frac{244}{1637} < 0,5$$

$$0,15 < 0,5$$

Netreba redukovať medzú klzu

Interakcia: ohyb+tlak

Prostá únosnosť

- Únosnosť prierezu

$$N_{pl,Rd} = \frac{A * f_y}{\gamma_{M0}} = \frac{17,9 * 10^{-3} * 355}{1,0} = 6354 \text{ kN}$$

$$M_{pl,y,Rd} = \frac{W_{pl,y} * f_y}{\gamma_{M0}} = \frac{1,895 * 10^{-3} * 355}{1,0} = 672,7 \text{ kNm}$$

$$M_{pl,z,Rd} = \frac{W_{pl,z} * f_y}{\gamma_{M0}} = \frac{1,895 * 10^{-3} * 355}{1,0} = 672,7 \text{ kNm}$$

- Posúdenie

$$\frac{N_{Ed}}{N_{pl,Rd}} + \frac{M_{y,Ed}}{M_{pl,y,Rd}} + \frac{M_{z,Ed}}{M_{pl,z,Rd}} \leq 1$$

$$\frac{22}{6354} + \frac{335,3}{672,7} + \frac{148}{672,7} \leq 1$$

$$0,72 < 1 \implies VYHOVUJE$$

Únosnosť s vplyvom straty stability

$$\frac{N_{Ed}}{\chi_y * N_{pl,Rd}} + k_{yy} \frac{M_{y,Ed}}{\chi_{Lt} * M_{pl,y,Rd}} + k_{yz} * \frac{M_{z,Ed}}{M_{pl,z,Rd}} \leq 1$$

$$\frac{N_{Ed}}{\chi_z * N_{pl,Rd}} + k_{zy} \frac{M_{y,Ed}}{\chi_{Lt} * M_{pl,y,Rd}} + k_{zz} * \frac{M_{z,Ed}}{M_{pl,z,Rd}} \leq 1$$

- Stanovenie súčiniteľa vzperu

$L_{cr,y} = 6m$ || $L_{cr,z} = 12m$ || krivka vzpernej pevnosti a

$$\lambda_1 = 93,9 * \varepsilon = 93,9 * \sqrt{\frac{235}{355}} = 76,4$$

$$i_y = i_z = \sqrt{\frac{I_y}{A}} = \sqrt{\frac{2,385 * 10^{-4}}{1,79 * 10^{-2}}} = 0,115m$$

$$\lambda_y = \frac{L_{cr,y}}{i_y} = \frac{6}{0,115} = 52,2$$

$$\lambda_z = \frac{L_{cr,z}}{i_z} = \frac{12}{0,115} = 104,4$$

$$\overline{\lambda}_y = \frac{\lambda_y}{\lambda_1} = \frac{52,2}{76,4} = 0,68$$

$$\overline{\lambda}_z = \frac{\lambda_z}{\lambda_1} = \frac{104,4}{76,4} = 1,37$$

$$\phi_y = 0,5 * [1 + \alpha(\overline{\lambda}_y - 0,2) + \overline{\lambda}_y^2] = 0,5[1 + 0,21(0,68 - 0,2) + 0,68^2] = 0,78$$

$$\phi_z = 0,5 * [1 + \alpha(\overline{\lambda}_z - 0,2) + \overline{\lambda}_z^2] = 0,5[1 + 0,21(1,37 - 0,2) + 1,37^2] = 1,56$$

$$\chi_y = \frac{1}{\phi_y + \sqrt{\phi_y^2 - \overline{\lambda}_y^2}} = \frac{1}{0,78 + \sqrt{0,78^2 - 0,68^2}} = 0,856$$

$$\chi_z = \frac{1}{\phi_z + \sqrt{\phi_z^2 - \overline{\lambda}_z^2}} = \frac{1}{1,56 + \sqrt{1,56^2 - 1,37^2}} = 0,435$$

- Súčinitel klopenia χ_{LT}

Kedže sa jedná o pravouhlý uzavretý prierez, tak $\chi_{LT} = 1,0$

- Súčinitele interakcie k

Podľa STN EN 1993-1-1 príloha B.

$$\psi_{y/z} = 1$$

$$\alpha_{h,y} = -0,79$$

$$\alpha_{h,z} = -0,50$$

$$C_{my} = 0,95 + 0,05 * (-0,79) = 0,91$$

$$C_{mz} = 0,95 + 0,05 * (-0,50) = 0,93$$

$$k_{yy} = \min[C_{my}(1 + (\bar{\lambda}_y - 0,2)\frac{N_{Ed}}{\chi_y * N_{pl,Rd}}); C_{my}(1 + 0,8\frac{N_{Ed}}{\chi_y * N_{pl,Rd}})]$$

$$k_{yy} = \min[0,91(1 + (0,68 - 0,2)\frac{22}{0,856 * 6354}); 0,91(1 + 0,8\frac{22}{0,856 * 6354})] = 0,91$$

$$k_{zz} = \min[C_{mz}(1 + (\bar{\lambda}_z - 0,2)\frac{N_{Ed}}{\chi_z * N_{pl,Rd}}); C_{mz}(1 + 0,8\frac{N_{Ed}}{\chi_z * N_{pl,Rd}})]$$

$$k_{zz} = \min[0,93(1 + (1,37 - 0,2)\frac{22}{0,435 * 6354}); 0,93(1 + 0,8\frac{22}{0,435 * 6354})] = 0,93$$

$$k_{yz} = 0,6 * k_{zz} = 0,6 * 0,93 = 0,56$$

$$k_{zy} = 0,6 * k_{yy} = 0,6 * 1,91 = 0,55$$

- Posúdenie

$$\frac{22}{0,856 * 6354} + 0,91 \frac{335,3}{1,0 * 672,7} + 0,56 \frac{148}{672,7} < 1$$

$$0,58 < 1,0 \implies VYHOVUJE$$

$$\frac{22}{0,435 * 6354} + 0,55 \frac{335,3}{1,0 * 672,7} + 0,93 \frac{148}{672,7} < 1$$

$$0,49 < 1,0 \implies VYHOVUJE$$

6.4 Dolné schody

1. Vnitřní síly na prutu

Nelineární výpočet, Extrém : Globální, Systém : Hlavní
Výběr : B918
Třída : Nelinearne_MSU

Prvek	css	Stav	N [kN]
B918	tiahla_schody2 - CFCHS114.3X3	6.10.b_vietor_x_heat	-47,33
B918	tiahla_schody2 - CFCHS114.3X3	6.10.a_vietor_y+pos	11,13

2. Vnitřní síly na prutu

Nelineární výpočet, Extrém : Globální, Systém : Hlavní
Výběr : B903
Třída : Nelinearne_MSU

Prvek	css	Stav	N [kN]
B903	schody_dolne3 - IPE120	6.10.b_vietor_x_cool	-64,91
B903	schody_dolne3 - IPE120	6.10.b_vietor_y_pos	0,45

3. Vnitřní síly na prutu

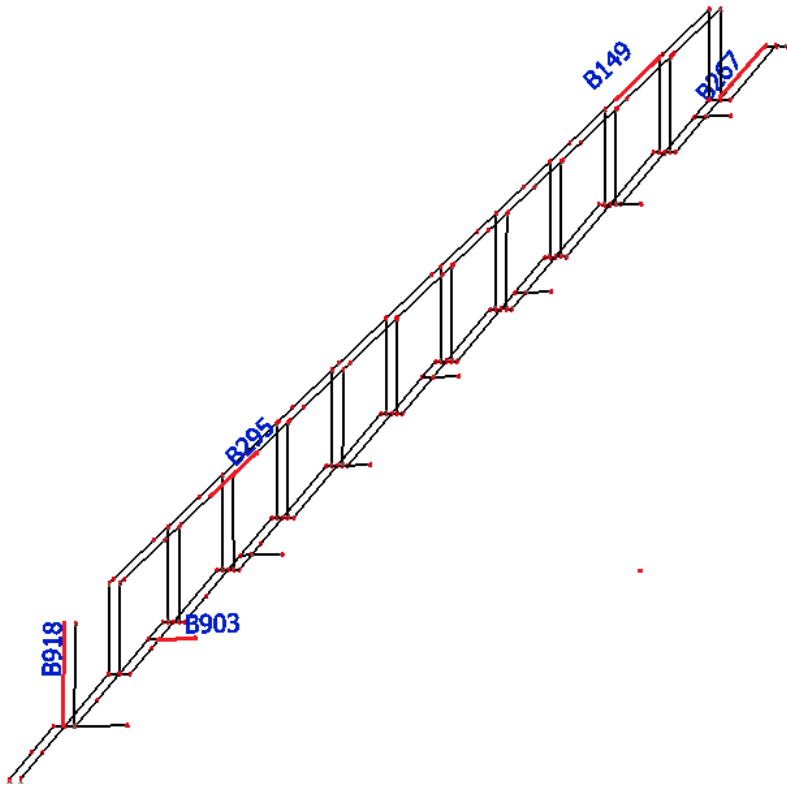
Nelineární výpočet, Extrém : Globální, Systém : Hlavní
Výběr : B295
Třída : Nelinearne_MSU

Prvek	css	Stav	N [kN]	Vy [kN]	Vz [kN]	My [kNm]	Mz [kNm]
B295	zaves_schody - UPE140	6.10.a_vietor_y_cool	15,98	0,00	1,75	-1,75	-0,01
B295	zaves_schody - UPE140	6.10.b_vietor_y_pos	177,83	0,03	-3,78	0,00	0,00
B295	zaves_schody - UPE140	6.10.b_vietor_x_heat	68,94	-0,57	-9,35	0,00	0,00
B295	zaves_schody - UPE140	6.10.b_vietor_x_heat	48,25	1,86	19,39	-18,66	-1,66
B295	zaves_schody - UPE140	6.10.b_vietor_x_cool	75,32	-0,56	-10,27	19,94	1,46
B295	zaves_schody - UPE140	6.10.b_vietor_x_neg	54,23	1,85	19,40	-18,61	-1,63
B295	zaves_schody - UPE140	6.10.b_vietor_x_pos	72,78	-0,55	-10,25	19,95	1,47
B295	zaves_schody - UPE140	6.10.b_vietor_x_heat	48,42	1,66	19,11	19,93	1,67

4. Vnitřní síly na prutu

Nelineární výpočet, Extrém : Globální, Systém : Hlavní
Výběr : B267
Třída : Nelinearne_MSU

Prvek	css	Stav	N [kN]	Vy [kN]	Vz [kN]	My [kNm]	Mz [kNm]
B267	schody_dolne1 - J(CH)200X100X6	6.10.a_vietor_x+cool	-3,82	14,55	-4,96	-0,58	-0,14
B267	schody_dolne1 - J(CH)200X100X6	6.10.b_vietor_y_cool	3,42	-0,18	3,94	5,38	0,72
B267	schody_dolne1 - J(CH)200X100X6	6.10.b_vietor_x_heat	3,03	-18,39	1,57	2,40	-21,78
B267	schody_dolne1 - J(CH)200X100X6	6.10.b_vietor_x_neg	-2,41	24,29	-4,17	-1,58	-0,24
B267	schody_dolne1 - J(CH)200X100X6	6.10.b_vietor_y_heat	-2,97	-0,17	-6,40	0,00	-0,01
B267	schody_dolne1 - J(CH)200X100X6	6.10.b_vietor_y_heat	3,41	-0,18	3,95	5,38	0,72
B267	schody_dolne1 - J(CH)200X100X6	6.10.b_vietor_y_heat	0,94	-0,17	-0,02	8,74	0,43
B267	schody_dolne1 - J(CH)200X100X6	6.10.b_vietor_x_heat	-0,01	0,41	0,00	4,04	-35,67



Obr. 6.8: Lokalizácia rozhodujúcich prvkov

6.4.1 Tiahlo B918(CFCHS88,9/5,0)

- $N_{Ed} = -47,3kN$

Vzper

- Únosnosť prierezu

$$N_{Rd} = \frac{A * f_y}{\gamma_{M0}} = \frac{1,32 * 10^{-3} * 355}{1,0} = 468,6kN$$

- Stanovenie súčiniteľa vzperu

$$\chi_y = \chi_z \|L_{cr,y/z} = 5,4m\| \text{ krvka vzpernej pevnosti c}$$

$$\lambda_1 = 93,9 * \varepsilon = 93,9 * \sqrt{\frac{235}{355}} = 76,4$$

$$i_y = \sqrt{\frac{I_y}{A}} = \sqrt{\frac{0,01164 * 10^{-4}}{0,1049 * 10^{-2}}} = 0,0297m$$

$$\lambda_y = \frac{L_{cr,y}}{i_y} = \frac{5,4}{0,0297} = 181$$

$$\overline{\lambda_y} = \frac{\lambda_y}{\lambda_1} = \frac{181}{76,4} = 2,38$$

$$\phi = 0,5 * [1 + \alpha(\overline{\lambda_y} - 0,2) + \overline{\lambda_y}^2] = 0,5[1 + 0,21(2,38 - 0,2) + 2,38^2] = 3,86$$

$$\chi_y = \frac{1}{\phi + \sqrt{\phi^2 - \overline{\lambda_y}^2}} = \frac{1}{3,86 + \sqrt{3,86^2 - 2,38^2}} = 0,14$$

- Posúdenie

$$\begin{aligned} \frac{N_{Ed}}{\chi_y * N_{Rd}} &< 1 \\ \frac{47,3}{0,14 * 468,6} &< 1 \\ 0,72 < 1,0 \implies & VYHOVUJE \end{aligned}$$

6.4.2 Priečne stuženie B903(IPE120)

- $N_{Ed} = -65kN$

Klasifikácia prierezu:

$$\begin{aligned} c/t \leq 33\varepsilon \\ 93,4/4,4 = 21,2 \leq 33 * \sqrt{235/355} = 26,7 \rightarrow \text{Trieda prierezu 1} \end{aligned}$$

Vzper

- Únosnosť prierezu

$$N_{pl,Rd} = \frac{A * f_y}{\gamma_{M0}} = \frac{1,32 * 10^{-3} * 355}{1,0} = 468,6kN$$

- Stanovenie súčiniteľa vzperu(vybočenie kolmo k menej tuhej osy)
 $\|L_{cr,z} = 2,7m\|$ krivka vzpernej pevnosti b

$$\lambda_1 = 93,9 * \varepsilon = 93,9 * \sqrt{\frac{235}{355}} = 76,4$$

$$i_z = \sqrt{\frac{I_z}{A}} = \sqrt{\frac{2,77 * 10^{-7}}{1,32 * 10^{-3}}} = 0,0145m$$

$$\lambda_z = \frac{L_{cr,z}}{i_z} = \frac{2,7}{0,0145} = 186,2$$

$$\overline{\lambda_z} = \frac{\lambda_z}{\lambda_1} = \frac{186,2}{76,4} = 2,44$$

$$\phi = 0,5 * [1 + \alpha(\overline{\lambda_z} - 0,2) + \overline{\lambda_z}^2] = 0,5[1 + 0,21(2,44 - 0,2) + 2,44^2] = 3,85$$

$$\chi_z = \frac{1}{\phi + \sqrt{\phi^2 - \overline{\lambda_z}^2}} = \frac{1}{3,85 + \sqrt{3,85^2 - 2,44^2}} = 0,15$$

- Posúdenie

$$\begin{aligned} \frac{N_{Ed}}{\chi_y * N_{pl,Rd}} &< 1 \\ \frac{47,3}{0,15 * 372,8} &< 1 \\ 0,95 < 1,0 \implies & VYHOVUJE \end{aligned}$$

6.4.3 Pozdĺžnik - B295(UPN140)

- $N_{Ed} = 73kN$
- $M_{y,Ed} = 20kNm$
- $M_{z,Ed} = 1,5kNm$
- $V_{z,Ed} = 20kNm$

Klasifikácia prierezu:

$$c/t \leq 9\epsilon$$

$$43/10 = 4,3 \leq 9 * \sqrt{235/355} = 7,3 \rightarrow \text{Trieda prierezu 1}$$

Podmienka malého šmyku

- Prostý šmyk

$$V_{Pl,z,Rd} = \frac{A_{v,z} * f_y / \sqrt{3}}{\gamma_{M0}} = \frac{1,041 * 10^{-3} * 355 * 10^3 / \sqrt{3}}{1,0} = 213kN$$

$$\frac{V_{z,Ed}}{V_{Pl,z,Rd}} < 0,5$$

$$\frac{20}{213} < 0,5$$

$$0,1 < 0,5$$

Netreba redukovať medzu klzú

Interakcia: ohyb+ťah

- Únosnosť prierezu

$$N_{pl,Rd} = \frac{A * f_y}{\gamma_{M0}} = \frac{2,04 * 355}{1,0} = 724,2kN$$

$$M_{pl,y,Rd} = \frac{W_{pl,y} * f_y}{\gamma_{M0}} = \frac{0,103 * 355}{1,0} = 36,5kNm$$

$$M_{pl,z,Rd} = \frac{W_{pl,z} * f_y}{\gamma_{M0}} = \frac{0,0283 * 355}{1,0} = 10,05kNm$$

- Posúdenie

$$\frac{N_{Ed}}{N_{pl,Rd}} + \frac{M_{y,Ed}}{M_{pl,y,Rd}} + \frac{M_{z,Ed}}{M_{pl,z,Rd}} \leq 1$$

$$\frac{73}{742} + \frac{20}{36,5} + \frac{1,5}{10,05} \leq 1$$

$$0,8 < 1 \implies VYHOUVUJE$$

6.4.4 Nosník-B267(J200/100/6,0)

- $N_{Ed} = 0 \text{ kN}$
- $M_{y,Ed} = 4,04 \text{ kNm}$
- $M_{z,Ed} = -35,7 \text{ kNm}$

Klasifikácia prierezu:

$$c/t \leq 72\varepsilon$$

$$164/6 = 22 \leq 72 * \sqrt{235/355} = 58,3 \rightarrow \text{Trieda prierezu 1}$$

Interakcia: ohyb

- Únosnosť prierezu

$$M_{pl,y,Rd} = \frac{W_{pl,y} * f_y}{\gamma_{M0}} = \frac{0,213 * 10^{-3} * 355}{1,0} = 75,6 \text{ kNm}$$

$$M_{pl,z,Rd} = \frac{W_{pl,z} * f_y}{\gamma_{M0}} = \frac{0,132 * 10^{-3} * 355}{1,0} = 46,9 \text{ kNm}$$

- Posúdenie

$$\frac{N_{Ed}}{N_{pl,Rd}} + \frac{M_{y,Ed}}{M_{pl,y,Rd}} + \frac{M_{z,Ed}}{M_{pl,z,Rd}} \leq 1$$

$$\frac{4,04}{75,6} + \frac{35,7}{46,9} \leq 1$$

$$0,82 < 1 \Rightarrow VYHOVUJE$$

Revízia

Z konštrukčných dôvodov (nedostatok miesta pre schodiskové stupne) sme použili prierez J220/120/6,3.

6.4.5 Pozdĺžnik - B149(UPN140)

- $N_{Ed} = -47 \text{ kN}$
- $M_{y,Ed} = -5,2 \text{ kNm}$
- $M_{z,Ed} = 0 \text{ kNm}$

Klasifikácia prierezu:

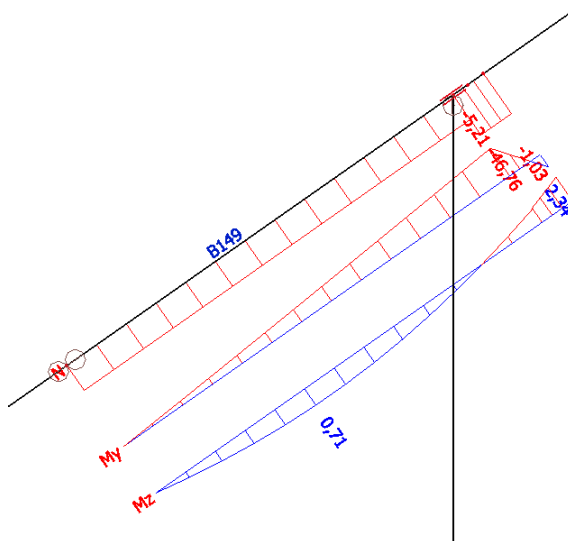
$$\rightarrow \text{Trieda prierezu 1}$$

- Únosnosť prierezu

$$N_{pl,Rd} = 724,2 \text{ kN}$$

$$M_{pl,y,Rd} = 36,5 \text{ kNm}$$

Prostá únosnosť



Obr. 6.9: B149-NK 6.10.b/vietor/x/heat

1. Vnitřní síly na prutu

Nelineární výpočet, Extrém : Globální, Systém : Hlavní
Výběr : B149
Třída : Nelinearne_MSU

Prvek	css	Stav	N [kN]	Vy [kN]	Vz [kN]	My [kNm]	Mz [kNm]
B149	zaves_schody - UPE140	6.10.b_vietor_x_heat	-46,76	-1,31	24,75	-5,21	-0,62
B149	zaves_schody - UPE140	6.10.b_pos_vietor_y	6,54	0,09	-10,12	-2,14	0,10
B149	zaves_schody - UPE140	6.10.b_vietor_x_heat	-46,73	-1,39	24,73	2,34	-1,03
B149	zaves_schody - UPE140	6.10.b_vietor_x_heat	-29,02	0,84	-1,16	0,00	0,00
B149	zaves_schody - UPE140	6.10.a_vietor_y+pos	4,08	0,10	-10,83	-2,50	0,11
B149	zaves_schody - UPE140	6.10.b_vietor_x_neg	-35,52	-1,25	24,87	-5,43	-0,60
B149	zaves_schody - UPE140	6.10.b_vietor_x_neg	-17,38	-1,01	-1,56	-5,43	-0,56
B149	zaves_schody - UPE140	6.10.b_vietor_x_pos	-27,42	-1,32	24,22	2,53	-0,94
B149	zaves_schody - UPE140	6.10.b_vietor_x_heat	-28,89	0,09	-1,33	-1,87	0,71

- Posúdenie

$$\frac{N_{Ed}}{N_{pl,Rd}} + \frac{M_{y,Ed}}{M_{pl,y,Rd}} \leq 1$$

$$\frac{47}{724,2} + \frac{5,2}{36,5} \leq 1$$

$$0,21 < 1 \implies \text{VYHOVUJE}$$

Tlak+ohyb

- Stanovenie súčiniteľa vzperu
 $L_{cr,y/z} = 4,2m \parallel$ krivka vzpernej pevnosti c

$$\lambda_1 = 76,4$$

$$i_y = \sqrt{\frac{0,06 * 10^{-4}}{0,204 * 10^{-2}}} = 0,0545m$$

$$i_z = \sqrt{\frac{0,00627 * 10^{-4}}{0,204 * 10^{-2}}} = 0,0175m$$

$$\lambda_y == \frac{4,2}{0,0545} = 77$$

$$\lambda_z == \frac{4,2}{0,0175} = 240$$

$$\overline{\lambda_y} = \frac{73,56}{76,4} = 1,01$$

$$\overline{\lambda_z} = \frac{202,9}{76,4} = 3,14$$

$$\phi_y = 0,5[1 + 0,49(1,01 - 0,2) + 0,96^2] = 1,21$$

$$\phi_z = 0,5[1 + 0,49(3,14 - 0,2) + 3,14^2] = 6,15$$

$$\chi_y = \frac{1}{1,21 + \sqrt{1,21^2 - 1,01^2}} = 0,535$$

$$\chi_z = \frac{1}{6,15 + \sqrt{6,15^2 - 3,14^2}} = 0,087$$

- Súčinieľ klopenia χ_{LT}

URČENIE KRITICKÉHO MOMENTU M_{cr} z koncových momentov na prúte pre prierezy symetrické k ose y-y			
ocel	S355	E =	$210 \cdot 10^3$ Pa
		G =	$81 \cdot 10^3$ Pa
prúrež	UPN140	tř.prúrezu	1
		$I_y =$	$6,05 \cdot 10^8$ mm ⁴
		$I_z =$	$0,627 \cdot 10^8$ mm ⁴
		$I_t =$	$56,8 \cdot 10^5$ mm ⁴
		$I_w =$	$1,8 \cdot 10^5$ mm ⁴
		$W_{pl,y} =$	$103 \cdot 10^3$ mm ³
		$W_y =$	$86,4 \cdot 10^3$ mm ³
charakteristika prutu a zatížení			
délka L =	4200 mm	$z_g =$	70 mm
$k_y =$	1	$z_j =$	0 mm
$k_w =$	1	$C_{1,0} =$	1,77
$k_z =$	1	$C_{1,1} =$	1,85
$\psi_f =$	0	$C_1 =$	1,79
		$C_3 =$	1,00
		$\kappa_{wt} =$	0,214
		$\zeta_j =$	0,000
		$\mu_{cr} =$	1,828
$M_{cr} =$	33,650 kNm		

Obr. 6.10: B149 - kritický moment podľa EC3-1-1 NB.3.1

$$M_{cr} = 33,65 \text{ kNm}$$

$$\overline{\lambda_{LT}} = \sqrt{\frac{W_y * f_y}{M_{cr}}} = \sqrt{\frac{0,0864 * 10^{-3} * 355 * 10^3}{33,65}} = 0,955$$

$$\phi_{LT} = 0,5 * [1 + \alpha_{LT}(\overline{\lambda_{LT}} - 0,2) + \overline{\lambda_{LT}}^2] = 0,5[1 + 0,49(0,955 - 0,2) + 0,955^2] = 1,14$$

$$\chi_{LT} = \frac{1}{\phi_{LT} + \sqrt{\phi_{LT}^2 - \overline{\lambda_{LT}}^2}} = \frac{1}{1,14 + \sqrt{1,14^2 - 0,955^2}} = 0,567$$

- Súčinitele interakcie k

Podľa STN EN 1993-1-1 príloha B.

$$\psi_y = 0$$

$$C_{my} = 0,6 + 0,4 * 0 = 0,6$$

$$k_{yy} = \min[0,6(1 + (0,96 - 0,2)\frac{47}{0,562 * 653,2}); 0,6(1 + 0,8\frac{47}{0,562 * 653,2})] = 0,66$$

$$k_{zy} = 0,6 * 0,68 = 0,39$$

- Posúdenie

$$\frac{47}{0,562 * 653,2} + 0,66 \frac{5,2}{0,567 * 35,1}$$

$$0,3 < 1,0 \implies VYHOVUJE$$

$$\frac{47}{0,119 * 653,2} + 0,39 \frac{5,2}{0,567 * 35,1}$$

$$0,85 < 1,0 \implies VYHOVUJE$$

6.5 Horné schody

1. Vnitřní síly na prutu

Nelineární výpočet, Extrém : Globální, Systém : Hlavní
 Výběr : B791
 Třída : Nelinearne_MSU

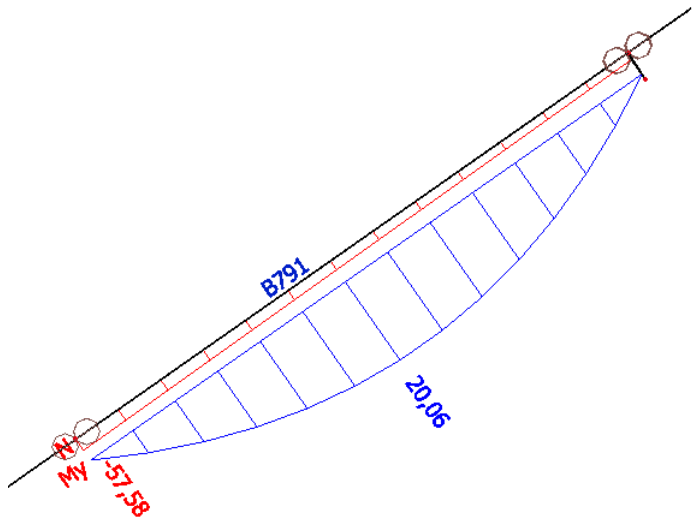
Prvek	css	Stav	N [kN]	Vy [kN]	Vz [kN]	Mx [kNm]	My [kNm]	Mz [kNm]
B791	schody_horne1 - J(CH)180X100X6	6.10.b_heat_vietor_x	-77,50	0,02	16,02	0,06	0,00	0,00
B791	schody_horne1 - J(CH)180X100X6	6.10.a_vietor_y_-cool	-7,50	0,00	-0,88	0,01	0,00	0,00
B791	schody_horne1 - J(CH)180X100X6	6.10.b_vietor_x_neg	-34,44	-0,05	-15,70	-0,06	0,00	0,00
B791	schody_horne1 - J(CH)180X100X6	6.10.b_vietor_x_neg	-55,76	0,05	15,81	-0,06	0,00	0,00
B791	schody_horne1 - J(CH)180X100X6	6.10.b_sneh_vietor_x_heat	-47,22	-0,02	-18,74	0,08	0,00	0,00
B791	schody_horne1 - J(CH)180X100X6	6.10.b_sneh_vietor_x_heat	-72,39	0,02	18,89	0,08	0,00	0,00
B791	schody_horne1 - J(CH)180X100X6	6.10.b_vietor_x_neg	-46,05	0,00	1,19	-0,16	16,95	0,05
B791	schody_horne1 - J(CH)180X100X6	6.10.b_pos_vietor_y	-34,92	0,00	1,18	0,36	16,84	-0,03
B791	schody_horne1 - J(CH)180X100X6	6.10.b_sneh_vietor_x_heat	-60,96	0,00	1,42	0,01	20,29	0,02
B791	schody_horne1 - J(CH)180X100X6	6.10.b_vietor_y_pos	-40,46	0,00	-1,50	0,30	20,01	-0,04
B791	schody_horne1 - J(CH)180X100X6	6.10.b_vietor_x_neg	-44,41	0,00	-1,26	-0,16	16,94	0,05

2. Vnitřní síly na prutu

Nelineární výpočet, Extrém : Globální, Systém : Hlavní
 Výběr : B69
 Třída : Nelinearne_MSU

Prvek	css	Stav	N [kN]	Vy [kN]	Vz [kN]	Mx [kNm]	My [kNm]	Mz [kNm]
B69	schody_horne3 - UPE200	6.10.a_vietor_y_-cool	29,71	0,00	1,86	0,00	0,00	0,00
B69	schody_horne3 - UPE200	6.10.b_vietor_x_neg	385,87	-5,37	-3,42	6,62	-0,07	-0,01
B69	schody_horne3 - UPE200	6.10.b_vietor_x_heat	366,03	-5,49	-3,44	6,62	-0,07	-0,01
B69	schody_horne3 - UPE200	6.10.b_vietor_x_heat	360,72	5,54	3,42	-6,62	-0,13	0,03
B69	schody_horne3 - UPE200	6.10.b_vietor_x_neg	382,09	1,77	-5,28	-2,55	-0,62	4,63
B69	schody_horne3 - UPE200	6.10.a_vietor_y+heat	274,71	0,04	3,91	0,00	0,00	0,00
B69	schody_horne3 - UPE200	6.10.b_vietor_x_pos	376,39	5,44	3,41	-6,62	-0,13	0,03
B69	schody_horne3 - UPE200	6.10.b_vietor_x_heat	363,04	0,64	-2,88	-0,51	-1,36	5,24
B69	schody_horne3 - UPE200	6.10.a_vietor_y+heat	277,44	0,01	0,29	0,00	3,80	0,03
B69	schody_horne3 - UPE200	6.10.b_vietor_x_pos	381,69	-5,39	-3,43	6,62	-0,07	-0,01

6.5.1 Nosník B791(J180/100/6,0)



Obr. 6.11: B791-NK 6.10.b/sneh/vietor/x/neg

- $N_{Ed} = -60,1 kN$
- $M_{y,Ed} = 20,3 kNm$

Klasifikácia prierezu:

$$c/t \leq 33\epsilon$$

$$156/6 = 26 \leq 33 * \sqrt{235/355} = 27 \rightarrow \text{Trieda prierezu 1}$$

Interakcia: ohyb+tlak

Prostá únosnosť

- Únosnosť prierezu

$$N_{pl,Rd} = \frac{A * f_y}{\gamma_{M0}} = \frac{3,18 * 10^{-3} * 355}{1,0} = 1129 kN$$

$$M_{pl,y,Rd} = \frac{W_{pl,y} * f_y}{\gamma_{M0}} = \frac{0,186 * 10^{-3} * 355}{1,0} = 66 kNm$$

- Posúdenie

$$\frac{N_{Ed}}{N_{pl,Rd}} + \frac{M_{y,Ed}}{M_{pl,y,Rd}} \leq 1$$

$$\frac{60,1}{1129} + \frac{20,3}{66} \leq 1$$

$$0,36 < 1 \Rightarrow VYHOVUJE$$

Únosnosť s vplyvom straty stability

$$\frac{N_{Ed}}{\chi_y * N_{pl,Rd}} + k_{yy} \frac{M_{y,Ed}}{\chi_{Lt} * M_{pl,y,Rd}} \leq 1$$

$$\frac{N_{Ed}}{\chi_z * N_{pl,Rd}} + k_{zy} \frac{M_{y,Ed}}{\chi_{Lt} * M_{pl,y,Rd}} \leq 1$$

- Stanovenie súčiniteľa vzperu
 $L_{cr,y/z} = 4,3m \parallel$ krivka vzpernej pevnosti a

$$\lambda_1 = 93,9 * \sqrt{\frac{235}{355}} = 76,4$$

$$i_y = \sqrt{\frac{0,135 * 10^{-4}}{0,318 * 10^{-2}}} = 0,0652m$$

$$i_z = \sqrt{\frac{0,5459 * 10^{-5}}{0,318 * 10^{-2}}} = 0,0411m$$

$$\lambda_y = \frac{4,3}{0,0652} = 66$$

$$\lambda_z = \frac{4,3}{0,0411} = 104,6$$

$$\overline{\lambda}_y = \frac{66}{76,4} = 0,86$$

$$\overline{\lambda}_z = \frac{104,6}{76,4} = 1,37$$

$$\phi_y = 0,5[1 + 0,21(0,86 - 0,2) + 0,86^2] = 0,94$$

$$\phi_z = 0,5[1 + 0,21(1,37 - 0,2) + 0,1,37^2] = 1,56$$

$$\chi_y = \frac{1}{0,94 + \sqrt{0,94^2 - 0,86^2}} = 0,758$$

$$\chi_z = \frac{1}{1,56 + \sqrt{1,56^2 - 1,37^2}} = 0,433$$

- Súčinitel klopenia χ_{LT}

Kedže sa jedná o pravouhlý uzavretý prierez, tak $\chi_{LT} = 1,0$

- Súčinitele interakcie k

Podľa STN EN 1993-1-1 príloha B.

$$\psi_y = 0$$

$$\alpha_{h,y} = 0$$

$$C_{my} = 0,95$$

$$k_{yy} = \min[0,95(1 + (0,86 - 0,2)\frac{60,1}{0,758 * 1129}); 0,95(1 + 0,8\frac{60,1}{0,758 * 1129})] = 0,99$$

$$k_{zy} = 0,6 * k_{yy} = 0,6 * 0,99 = 0,60$$

- Posúdenie

$$\frac{60,1}{0,758 * 1129} + 0,99 \frac{20,3}{66} < 1$$

$$0,38 < 1,0 \implies VYHOVUJE$$

$$\frac{60,1}{0,433 * 1129} + 0,60 \frac{20,3}{66} < 1$$

$$0,31 < 1,0 \implies VYHOVUJE$$

6.5.2 Nosník - B69(UPE200)

Rozhoduje kombinácia namáhania ohyb+ťah. Torzný moment nezohľadnime, pretože sú nosníky vystužené schodiskovými stupňami.

- $N_{Ed} = 363kN$
- $M_{y,Ed} = -1,4kNm$
- $M_{z,Ed} = 5,24kNm$

Klasifikácia prierezu:

$$c/t \leq \frac{9\varepsilon}{\alpha}$$

$$61/11 = 5,6 \leq \frac{9 * 0,81}{0,89} = 8,2 \rightarrow \text{Trieda prierezu 1}$$

Interakcia: ohyb+ťah

- Únosnosť prierezu

$$N_{pl,Rd} = \frac{A * f_y}{\gamma_{M0}} = \frac{2,9 * 10^{-3} * 355}{1,0} = 1029,5kN$$

$$M_{pl,y,Rd} = \frac{W_{pl,y} * f_y}{\gamma_{M0}} = \frac{0,177 * 10^{-3} * 355}{1,0} = 62,8kNm$$

$$M_{pl,z,Rd} = \frac{W_{pl,z} * f_y}{\gamma_{M0}} = \frac{0,059 * 10^{-3} * 355}{1,0} = 20,9kNm$$

- Posúdenie

$$\frac{N_{Ed}}{N_{pl,Rd}} + \frac{M_{y,Ed}}{M_{pl,y,Rd}} + \frac{M_{z,Ed}}{M_{pl,z,Rd}} \leq 1$$

$$\frac{363}{1029,5} + \frac{1,4}{62,8} + \frac{5,24}{20,9} \leq 1$$

$$0,63 < 1 \implies \text{VYHOUJE}$$

6.6 Horná plošina HP 3

1. Vnitřní síly na prutu

Nelineární výpočet, Extrém : Prvek, Systém : Hlavní
 Výběr : B543
 Třída : Nelinearne_MSU

Prvek	css	Stav	N [kN]	Vy [kN]	Vz [kN]	Mx [kNm]	My [kNm]	Mz [kNm]
B543	H.P.3_2 - HEA300	6.10.b_pos_vietor_x	-70,81	18,62	-35,33	-0,64	169,23	-20,15
B543	H.P.3_2 - HEA300	6.10.b_neg_vietor_y	36,88	12,35	93,12	0,00	0,00	0,00
B543	H.P.3_2 - HEA300	6.10.b_vietor_x_pos	-52,93	-36,58	-93,73	-0,06	9,49	3,70
B543	H.P.3_2 - HEA300	6.10.b_vietor_y_pos	-47,06	22,43	-44,08	-0,35	146,33	0,87
B543	H.P.3_2 - HEA300	6.10.b_vietor_y_pos	-46,54	-32,74	-110,25	0,00	0,00	0,00
B543	H.P.3_2 - HEA300	6.10.b_vietor_y_pos	-46,00	12,56	110,46	0,00	0,00	0,00
B543	H.P.3_2 - HEA300	6.10.b_vietor_x_pos	-52,90	18,57	-35,21	-0,92	168,52	-19,63
B543	H.P.3_2 - HEA300	6.10.b_sneh_vietor_y_neg	14,80	-19,09	35,94	0,43	161,47	-1,53
B543	H.P.3_2 - HEA300	6.10.a_vietor_y+heat	-18,09	11,82	96,21	0,00	0,00	0,00
B543	H.P.3_2 - HEA300	6.10.b_vietor_y_pos	-47,24	-19,67	33,92	0,14	205,03	-26,26
B543	H.P.3_2 - HEA300	6.10.b_vietor_x_pos	-52,72	19,02	-67,42	-0,40	56,64	22,20

2. Vnitřní síly na prutu

Nelineární výpočet, Extrém : Prvek, Systém : Hlavní
 Výběr : B550
 Třída : Nelinearne_MSU

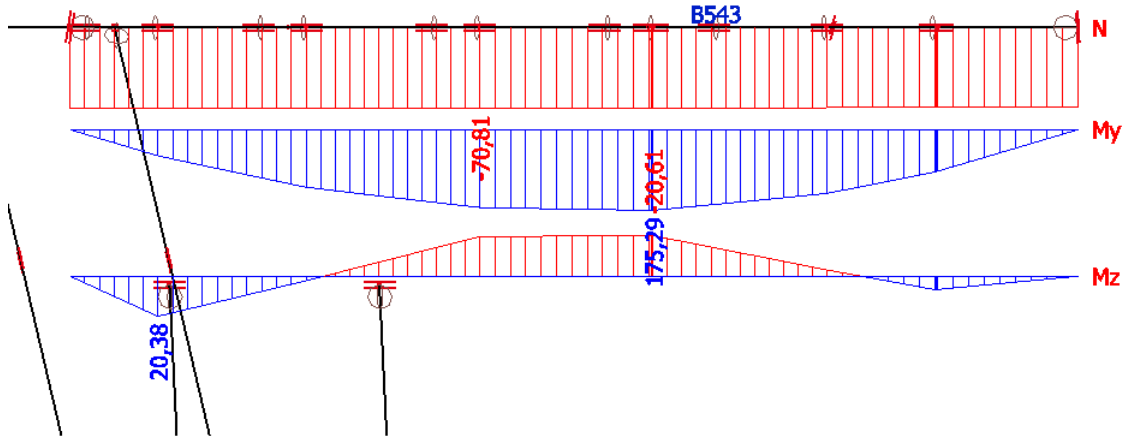
Prvek	css	Stav	N [kN]	Vy [kN]	Vz [kN]	Mx [kNm]	My [kNm]	Mz [kNm]
B550	H.P.3_1 - IPE270	6.10.b_sneh_vietor_y_heat	-18,32	0,02	-9,02	0,00	68,38	-0,16
B550	H.P.3_1 - IPE270	6.10.a_vietor_y_-cool	-3,80	0,00	-2,46	0,00	0,00	0,00
B550	H.P.3_1 - IPE270	6.10.b_vietor_x_neg	-14,93	-0,09	-33,01	0,00	0,00	0,00
B550	H.P.3_1 - IPE270	6.10.b_sneh_vietor_y_pos	-17,29	0,15	-38,95	0,00	0,00	0,00
B550	H.P.3_1 - IPE270	6.10.b_sneh_vietor_y_heat	-18,09	0,12	-38,96	0,00	0,00	0,00
B550	H.P.3_1 - IPE270	6.10.b_sneh_vietor_y_heat	-17,33	-0,05	38,95	0,00	0,00	0,00
B550	H.P.3_1 - IPE270	6.10.b_vietor_x_pos	-15,58	0,00	-2,55	-0,19	60,85	0,10
B550	H.P.3_1 - IPE270	6.10.b_neg_vietor_y	-14,77	0,00	2,55	0,03	60,82	-0,04
B550	H.P.3_1 - IPE270	6.10.b_neg_vietor_y	-14,60	0,06	-33,01	0,00	0,00	0,00
B550	H.P.3_1 - IPE270	6.10.b_sneh_vietor_y_heat	-18,24	-0,01	3,01	0,00	71,81	-0,15
B550	H.P.3_1 - IPE270	6.10.b_sneh_vietor_y_pos	-17,55	0,03	-9,02	-0,01	68,36	-0,20
B550	H.P.3_1 - IPE270	6.10.b_vietor_x_neg	-15,10	0,01	2,55	-0,16	60,83	0,18

3. Vnitřní síly na prutu

Nelineární výpočet, Extrém : Prvek, Systém : Hlavní
 Výběr : B545
 Třída : Nelinearne_MSU

Prvek	css	Stav	N [kN]	Vy [kN]	Vz [kN]	Mx [kNm]	My [kNm]	Mz [kNm]
B545	H.P.3_3 - J(CH)250X150X5	6.10.a_vietor_y_-cool	4,53	-0,08	-0,24	-0,15	3,71	-0,20
B545	H.P.3_3 - J(CH)250X150X5	6.10.b_vietor_y_pos	102,87	-6,94	-64,78	5,97	0,05	3,34
B545	H.P.3_3 - J(CH)250X150X5	6.10.b_vietor_x_neg	84,68	-10,97	23,77	1,00	-38,83	13,74
B545	H.P.3_3 - J(CH)250X150X5	6.10.b_vietor_x_neg	95,21	25,72	-68,56	4,76	-59,98	12,82
B545	H.P.3_3 - J(CH)250X150X5	6.10.b_sneh_vietor_x_pos	100,67	8,31	-77,29	5,95	-71,04	4,24
B545	H.P.3_3 - J(CH)250X150X5	6.10.b_sneh_vietor_y_heat	77,87	-1,39	27,88	-2,48	-45,27	3,56
B545	H.P.3_3 - J(CH)250X150X5	6.10.b_vietor_x_neg	84,90	4,18	-3,11	-8,99	24,87	-0,76
B545	H.P.3_3 - J(CH)250X150X5	6.10.b_sneh_vietor_x_heat	95,19	9,90	-70,10	6,62	2,18	-4,89
B545	H.P.3_3 - J(CH)250X150X5	6.10.b_sneh_vietor_y_neg	83,59	-1,48	1,38	-2,61	29,64	-3,32
B545	H.P.3_3 - J(CH)250X150X5	6.10.b_vietor_x_neg	95,42	23,82	-63,96	5,79	5,93	-11,80

6.6.1 Nosník B543(HEA300)



Obr. 6.12: B791-NK 6.10.b/pos/vietor/x

- $N_{Ed} = -71kN$
- $M_{y,Ed} = 170kNm$
- $M_{z,Ed} = -20,2kNm$
- $V_{z,Ed} = 111kNm$

Klasifikácia prierezu:

Stojna:

$$c/t \leq 33\epsilon$$

$$208/8,5 = 24,5 \leq 33 * 0,81 = 26,7 \rightarrow \text{Trieda 1}$$

Pásnica:

$$c/t \leq 14\epsilon$$

$$119/14 = 8,5 \leq 14 * 0,81 = 11,3 \rightarrow \text{Trieda 3}$$

\rightarrow Trieda prierezu 3

- Prostý šmyk

$$\frac{\tau_{Ed}}{f_y/\sqrt{3}} \leq 1,0$$

$$\tau_{Ed} = \frac{V_{Ed}}{A_w} = \frac{111 * 10^{-3}}{0,208 * 0,0085} = 63MPa$$

$$\frac{63}{355/\sqrt{3}} \leq 1,0$$

$$0,31 < 1,0$$

Interakcia: ohyb+tlak

Prostá únosnosť

- Únosnosť prierezu

$$N_{el,Rd} = \frac{A * f_y}{\gamma_{M0}} = \frac{17,9 * 10^{-3} * 355}{1,0} = 3993,8 kN$$

$$M_{el,y,Rd} = \frac{W_{el,y} * f_y}{\gamma_{M0}} = \frac{1,26 * 10^{-3} * 355}{1,0} = 447,3 kNm$$

$$M_{el,z,Rd} = \frac{W_{el,z} * f_y}{\gamma_{M0}} = \frac{0,4206 * 10^{-3} * 355}{1,0} = 149,3 kNm$$

- Posúdenie

$$\frac{N_{Ed}}{N_{el,Rd}} + \frac{M_{y,Ed}}{M_{el,y,Rd}} + \frac{M_{z,Ed}}{M_{el,z,Rd}} \leq 1$$

$$\frac{71}{3993,8} + \frac{170}{447,3} + \frac{20,2}{149,3} \leq 1$$

$$0,53 < 1 \implies VYHOVUJE$$

Únosnosť s vplyvom straty stability

$$\frac{N_{Ed}}{\chi_y * N_{el,Rd}} + k_{yy} \frac{M_{y,Ed}}{\chi_{L1} * M_{el,y,Rd}} + k_{yz} * \frac{M_{z,Ed}}{M_{el,z,Rd}} \leq 1$$

$$\frac{N_{Ed}}{N_{el,Rd}} + k_{zy} \frac{M_{y,Ed}}{\chi_{L1} * M_{el,y,Rd}} + k_{zz} * \frac{M_{z,Ed}}{M_{el,z,Rd}} \leq 1$$

Nosník je priečne podoprený, takže nevybočuje kolmo na mäkšiu osu z.

- Stanovenie súčiniteľa vzperu

$L_{cr,y} = 7 \parallel$ krivka vzpernej pevnosti b

$$\lambda_1 = 76,4$$

$$i_y = \sqrt{\frac{1,826 * 10^{-4}}{1,125 * 10^{-2}}} = 0,1274m$$

$$\lambda_y = \frac{7}{0,1274} = 54,95$$

$$\overline{\lambda_y} = \frac{54,95}{76,4} = 0,72$$

$$\phi_y = 0,5[1 + 0,34(0,72 - 0,2) + 0,72^2] = 0,85$$

$$\chi_y = \frac{1}{0,85 + \sqrt{0,85^2 - 72^2}} = 0,77$$

- Súčiniteľ klopenia χ_{LT} Na bezpečnej strane uvažujeme, že prierez klopí.

$$M_{cr} = 590,67 kNm$$

URČENIE KRITICKÉHO MOMENTU M_{cr} zo zaťaženia podľa tabuľky NB.3.2			
pre prierezy symetrické k ose y-y			
ocel	S355	$E =$	$210 \cdot 10^9 \text{ Pa}$
		$G =$	$81 \cdot 10^9 \text{ Pa}$
prúrež	HE300A	tř.prúrezu	3
		$I_y =$	$182,6 \cdot 10^8 \text{ mm}^4$
		$I_z =$	$63,1 \cdot 10^8 \text{ mm}^4$
		$I_t =$	$851,7 \cdot 10^3 \text{ mm}^4$
		$I_w =$	$1200 \cdot 10^9 \text{ mm}^4$
		$W_{pl,y} =$	$1383 \cdot 10^3 \text{ mm}^3$
		$W_y =$	$1260 \cdot 10^3 \text{ mm}^3$
charakteristika prutu a zatlžení			
délka $L =$	7400 mm	$z_g =$	0 mm
$k_y =$	1	$z_j =$	0 mm
$k_z =$	1	$C_{1,0} =$	1,13
$k_w =$	1	$C_{1,1} =$	1,13
$\psi_f =$	0	$C_1 =$	1,13
		$C_2 =$	0,46
		$C_3 =$	0,53
		$K_{wt} =$	0,811
		$\zeta_g =$	0,000
		$\zeta_j =$	0,000
		$\mu_{cr} =$	1,455
$M_{cr} =$	590,672 kNm		

Obr. 6.13: B543 - kritický moment podľa EC3-1-1 NB.3.2

$$\overline{\lambda_{LT}} = \sqrt{\frac{W_y * f_y}{M_{cr}}} = \sqrt{\frac{0,09884 * 10^3 * 355 * 10^3}{590,67}} = 0,87$$

$$\phi_{LT} = 0,5 * [1 + \alpha_{LT}(\overline{\lambda_{LT}} - 0,2) + \overline{\lambda_{LT}}^2] = 0,5[1 + 0,34(0,87 - 0,2) + 0,87^2] = 0,993$$

$$\chi_{LT} = \frac{1}{\phi_{LT} + \sqrt{\phi_{LT}^2 - \overline{\lambda_{LT}}^2}} = \frac{1}{0,993 + \sqrt{0,993^2 - 0,87^2}} = 0,68$$

- Súčinitele interakcie k

Podľa STN EN 1993-1-1 príloha B.

$$\psi_y = 0$$

$$C_{my} = 0,95 + 0,4 * 0 = 0,95$$

$$C_{mz} = 0,95 + 0,4 * 0 = 0,95$$

$$k_{yy} = \min[0,95(1 + (0,72 - 0,2)\frac{71}{0,77 * 3993}); 0,95(1 + 0,8\frac{71}{0,77 * 3993})] = 0,96$$

$$k_{zz} = \min[0,95(1 + (0 - 0,2)\frac{71}{1,0 * 3993}); 0,95(1 + 0,8\frac{71}{1,0 * 3993})] = 0,95$$

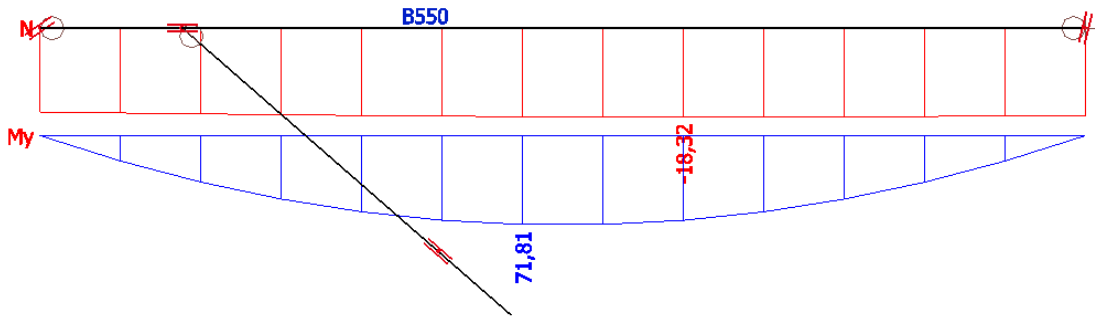
$$k_{yz} = 0,6 * k_{zz} = 0,6 * 0,95 = 0,57$$

- Posúdenie

$$\frac{71}{0,77 * 3993} + 0,57 \frac{170}{0,68 * 447,3} + 0,96 \frac{20,2}{149,3} < 1$$

$$0,7 < 1,0 \implies VYHOUVUJE$$

6.6.2 Nosník B550(IPE270)



Obr. 6.14: B550-NK 6.10.b/sneh/vietor/y/heat

- $N_{Ed} = -18kN$
- $M_{y,Ed} = 72kNm$

Klasifikácia prierezu:

Stojna:

$$c/t \leq \frac{36\epsilon}{\alpha}$$

$$219,6/6,6 = 33,3 \leq \frac{36 * 0,81}{0,5} = 58 \rightarrow \text{Trieda 1}$$

Pásnica:

$$c/t \leq 9\epsilon$$

$$49,2/10,2 = 4,8 \leq 9 * 0,81 = 7,3 \rightarrow \text{Trieda 1}$$

$$\rightarrow \text{Trieda prierezu 1}$$

Interakcia: ohyb+tlak

$$\frac{N_{Ed}}{\chi_y * N_{pl,Rd}} + k_{yy} \frac{M_{y,Ed}}{\chi_{Lt} * M_{pl,y,Rd}} \leq 1$$

Prostá únosnosť

- Únosnosť prierezu

$$N_{pl,Rd} = \frac{4,59 * 10^{-3} * 355}{1,0} = 1630,9kN$$

$$M_{pl,y,Rd} = \frac{0,484 * 10^{-3} * 355}{1,0} = 171,8kNm$$

- Posúdenie

$$\frac{N_{Ed}}{N_{pl,Rd}} + \frac{M_{y,Ed}}{M_{pl,y,Rd}} \leq 1$$

$$\frac{54}{171,8} \leq 1$$

$$0,53 < 1 \implies VYHOVUJE$$

Únosnosť s vplyvom straty stability

- Stanovenie súčiniteľa vzperu

Nosník je priečne podoprený z oboch strán.

$L_{cr,y} = 7,4m$ || krivka vzpernej pevnosti a

$$\lambda_1 = 76,4$$

$$i_y = \sqrt{\frac{0,579 * 10^{-4}}{0,4594 * 10^{-2}}} = 0,112m$$

$$\lambda_y = \frac{7,4}{0,112} = 65,9$$

$$\overline{\lambda_y} = \frac{65,9}{76,4} = 0,86$$

$$\phi_y = 0,5[1 + 0,21(0,86 - 0,2) + 0,86^2] = 0,94$$

$$\chi_y = \frac{1}{0,94 + \sqrt{0,94^2 - 86^2}} = 0,758$$

- Súčiniteľ klopenia χ_{LT} Nosník je obojstranne spojený s plošným prvkom. Avšak sme neposudzovali predpoklad spojitého priečneho podoprenia a teda budeme uvažovať vplyv klopenia.

$$M_{cr} = 118,6kNm$$

$$\overline{\lambda_{LT}} = \sqrt{\frac{W_y * f_y}{M_{cr}}} = \sqrt{\frac{0,4289 * 10^{-3} * 355 * 10^3}{118,6}} = 1,13$$

$$\phi_{LT} = 0,5 * [1 + \alpha_{LT}(\overline{\lambda_{LT}} - 0,2) + \overline{\lambda_{LT}}^2] = 0,5[1 + 0,21(1,13 - 0,2) + 1,13^2] = 1,24$$

$$\chi_{LT} = \frac{1}{\phi_{LT} + \sqrt{\phi_{LT}^2 - \overline{\lambda_{LT}}^2}} = \frac{1}{1,24 + \sqrt{1,24^2 - 1,13^2}} = 0,57$$

- Súčinitele interakcie k

Podľa STN EN 1993-1-1 príloha B.

$$\psi_y = 0$$

$$C_{my} = 0,95 + 0,4 * 0 = 0,95$$

$$C_{mz} = 0$$

$$k_{yy} = \min[0,95(1 + (0,86 - 0,2)\frac{18}{0,76 * 1630,9}); 0,95(1 + 0,8\frac{18}{0,76 * 1630,9})] = 0,96$$

- Posúdenie

$$\frac{18}{0,76 * 1630,9} + 0,96 \frac{72}{0,57 * 171,8} < 1$$

$$0,72 < 1,0 \implies VYHOVUJE$$

URČENIE KRITICKÉHO MOMENTU M_{cr} zo zaťaženia podľa tabuľky NB.3.2		
pre prierezy symetrické k ose y-y		
ocel	S355	
		$E = 210 \cdot 10^9 \text{ Pa}$
		$G = 81 \cdot 10^9 \text{ Pa}$
prúrež	IPE270	tř.prúrezu
		1
		$I_y = 57,9 \cdot 10^8 \text{ mm}^4$
		$I_z = 4,199 \cdot 10^8 \text{ mm}^4$
		$I_t = 159,4 \cdot 10^3 \text{ mm}^4$
		$I_w = 70,58 \cdot 10^3 \text{ mm}^4$
		$W_{pl,y} = 484 \cdot 10^3 \text{ mm}^3$
		$W_y = 428,9 \cdot 10^3 \text{ mm}^3$
charakteristika prutu a zatížení		
délka L =	7400 mm	$z_g = 0 \text{ mm}$
$k_y =$	1	$z_j = 0 \text{ mm}$
$k_z =$	0,5	$C_{1,0} = 0,95$
$k_w =$	0,5	$C_{1,1} = 0,97$
$\psi_f =$	0	$C_1 = 0,97$
		$C_2 = 0,4$
		$C_3 = 0,44$
		$K_{wt} = 0,910$
		$\zeta_g = 0,000$
		$\zeta_j = 0,000$
		$\mu_{cr} = 2,618$
$M_{cr} =$	118,583 kNm	

Obr. 6.15: B550 - kritický moment podľa EC3-1-1 NB.3.2

6.6.3 Nosník B545(J250/150/5,0)

- $N_{Ed} = 101kN$
- $M_{y,Ed} = -71kNm$
- $M_{z,Ed} = 4,2kNm$
- $V_{z,Ed} = -77,3kN$

Klasifikácia prierezu:

$$c/t \leq 72\epsilon$$

$$230/5 = 46 \leq 72 * 0,81 = 58,3 \rightarrow \text{Trieda prierezu 1}$$

- Prostý šmyk

$$V_{Pl,z,Rd} = \frac{A_{v,z} * f_y / \sqrt{3}}{\gamma M_0} = \frac{2,4 * 10^{-3} * 355 * 10^3 / \sqrt{3}}{1,0} = 491,3kN$$

$$\frac{V_{z,Ed}}{V_{Pl,z,Rd}} < 0,5$$

$$\frac{77,3}{491,3} < 0,5$$

$$0,157 < 0,5$$

Netreba redukovať medzi klzú

Interakcia: ohyb+ťah

- Únosnosť prierezu

$$N_{pl,Rd} = \frac{3,84 * 10^{-3} * 355}{1,0} = 1363,2 kN$$

$$M_{pl,y,Rd} = \frac{0,32 * 10^{-3} * 355}{1,0} = 113,6 kNm$$

$$M_{pl,z,Rd} = \frac{0,225 * 10^{-3} * 355}{1,0} = 79,9 kNm$$

- Posúdenie

$$\frac{N_{Ed}}{N_{pl,Rd}} + \frac{M_{y,Ed}}{M_{pl,y,Rd}} + \frac{M_{z,Ed}}{M_{pl,z,Rd}} \leq 1$$
$$\frac{101}{1363,2} + \frac{71}{113,6} + \frac{4,2}{79,9} \leq 1$$
$$0,75 < 1 \implies VYHOVUJE$$

6.7 Horná plošina HP 2

1. Vnitřní síly na prutu

Výběr : B538

Třída : Nelinearne_MSU

Prvek	css	Stav	N [kN]	Vy [kN]	Vz [kN]	Mx [kNm]	My [kNm]	Mz [kNm]
B538	H.P.2_2 - J(CH)300X200X8	6.10.b_vietor_x_neg	-71,85	-26,71	-54,58	0,83	14,83	-22,71
B538	H.P.2_2 - J(CH)300X200X8	6.10.b_vietor_x_pos	144,15	42,56	-18,11	1,18	18,13	4,00
B538	H.P.2_2 - J(CH)300X200X8	6.10.b_vietor_x_cool	-69,03	-27,78	-55,78	1,03	21,55	-18,91
B538	H.P.2_2 - J(CH)300X200X8	6.10.b_vietor_y_cool	18,81	45,27	-3,40	-0,23	45,86	-40,99
B538	H.P.2_2 - J(CH)300X200X8	6.10.b_vietor_x_pos	133,31	30,49	-61,71	1,99	-126,72	51,77
B538	H.P.2_2 - J(CH)300X200X8	6.10.b_vietor_y_pos	38,54	-5,85	56,28	0,01	-75,77	19,07
B538	H.P.2_2 - J(CH)300X200X8	6.10.b_neg_vietor_y	5,17	42,13	-2,71	-0,69	41,30	1,91
B538	H.P.2_2 - J(CH)300X200X8	6.10.b_vietor_x_cool	-65,32	-9,93	-3,97	1,05	56,46	-4,24
B538	H.P.2_2 - J(CH)300X200X8	6.10.b_vietor_y_pos	37,10	45,09	-5,31	-0,03	49,78	-41,57

2. Vnitřní síly na prutu

Výběr : B282

Třída : Nelinearne_MSU

Prvek	css	Stav	N [kN]	Vy [kN]	Vz [kN]	Mx [kNm]	My [kNm]	Mz [kNm]
B282	H.P.2_3 - J(CH)250X150X6	6.10.a_vietor_y_cool	34,85	0,11	6,94	0,43	-10,85	-0,36
B282	H.P.2_3 - J(CH)250X150X6	6.10.b_sneh_vietor_x_neg	358,25	-27,16	-19,97	-12,45	-15,36	13,32
B282	H.P.2_3 - J(CH)250X150X6	6.10.b_vietor_x_neg	357,24	-49,22	-19,94	-12,24	-39,75	-41,38
B282	H.P.2_3 - J(CH)250X150X6	6.10.b_vietor_x_neg	319,26	3,79	27,56	0,71	-54,73	-1,96
B282	H.P.2_3 - J(CH)250X150X6	6.10.b_sneh_vietor_y_cool	322,54	-1,70	-32,74	-8,66	-53,64	-0,06
B282	H.P.2_3 - J(CH)250X150X6	6.10.a_vietor_x+neg	309,64	1,96	28,48	1,93	-55,46	-0,73
B282	H.P.2_3 - J(CH)250X150X6	6.10.b_vietor_x_pos	339,89	-42,59	-11,12	-16,88	-10,27	49,19
B282	H.P.2_3 - J(CH)250X150X6	6.10.b_vietor_x_pos	296,58	-10,47	6,93	8,82	41,71	-16,63
B282	H.P.2_3 - J(CH)250X150X6	6.10.b_sneh_vietor_x_neg	327,81	1,86	28,27	2,02	-56,39	-0,55
B282	H.P.2_3 - J(CH)250X150X6	6.10.b_sneh_vietor_x_neg	327,69	-6,87	8,35	6,78	44,68	-11,67
B282	H.P.2_3 - J(CH)250X150X6	6.10.b_vietor_x_neg	357,24	-44,01	-11,50	-15,98	-8,20	50,05

3. Vnitřní síly na prutu

Výběr : B702

Třída : Nelinearne_MSU

Prvek	css	Stav	N [kN]	Vy [kN]	Vz [kN]	Mx [kNm]	My [kNm]	Mz [kNm]
B702	H.P.2_1 - IPE240	6.10.b_sneh_vietor_y_neg	0,21	0,32	-26,87	-0,13	63,21	-0,70
B702	H.P.2_1 - IPE240	6.10.b_vietor_y_pos	34,96	-0,07	17,77	0,01	0,00	0,00
B702	H.P.2_1 - IPE240	6.10.b_vietor_x_pos	25,25	-3,90	-18,58	-0,33	46,42	7,37
B702	H.P.2_1 - IPE240	6.10.b_neg_vietor_y	4,04	0,53	-24,91	-0,10	59,26	-1,12
B702	H.P.2_1 - IPE240	6.10.b_vietor_y_pos	1,30	-0,68	-36,79	-0,04	0,00	0,00
B702	H.P.2_1 - IPE240	6.10.a_vietor_y+cool	33,76	-0,06	17,90	0,01	0,00	0,00
B702	H.P.2_1 - IPE240	6.10.b_neg_vietor_y	32,12	-0,10	5,69	0,06	28,79	-0,24
B702	H.P.2_1 - IPE240	6.10.b_neg_vietor_y	4,32	0,32	-34,37	-0,04	0,00	0,00
B702	H.P.2_1 - IPE240	6.10.b_vietor_y_pos	0,99	-0,46	-27,31	-0,18	64,09	0,84
B702	H.P.2_1 - IPE240	6.10.b_vietor_x_cool	19,54	-0,31	-12,78	-0,06	11,73	-1,46

6.7.1 Nosník B538(J300/200/8,0)

- $N_{Ed} = 133,3 kN$
- $M_{y,Ed} = -127 kNm$
- $M_{z,Ed} = 52 kNm$
- $V_{z,Ed} = -62 kN$

Klasifikácia prierezu:

$$c/t \leq 72\epsilon$$

$$260/8 = 32,5 \leq 72 * 0,81 = 58,3 \rightarrow \text{Trieda prierezu 1}$$

- Prostý šmyk

$$V_{Pl,z,Rd} = \frac{A_{v,z} * f_y / \sqrt{3}}{\gamma_{M0}} = \frac{4,51 * 10^{-3} * 355 * 10^3 / \sqrt{3}}{1,0} = 924 kN$$

$$\frac{V_{z,Ed}}{V_{Pl,z,Rd}} < 0,5$$

$$\frac{62}{924} < 0,5$$

$$0,07 < 0,5$$

Netreba redukovať medziu klzú

Interakcia: ohyb+ťah

- Únosnosť prierezu

$$N_{pl,Rd} = \frac{7,52 * 10^{-3} * 355}{1,0} = 2669,6 kN$$

$$M_{pl,y,Rd} = \frac{0,757 * 10^{-3} * 355}{1,0} = 268,7 kNm$$

$$M_{pl,z,Rd} = \frac{0,574 * 10^{-3} * 355}{1,0} = 203,8 kNm$$

- Posúdenie

$$\frac{N_{Ed}}{N_{pl,Rd}} + \frac{M_{y,Ed}}{M_{pl,y,Rd}} + \frac{M_{z,Ed}}{M_{pl,z,Rd}} \leq 1$$

$$\frac{133,3}{2669,6} + \frac{127}{268,7} + \frac{52}{203,8} \leq 1$$

$$0,78 < 1 \implies \text{VYHOVUJE}$$

6.7.2 Nosník B282(J250/150/6,0)

- $N_{Ed} = 358kN$
- $M_{y,Ed} = -40kNm$
- $M_{z,Ed} = -41,4kNm$
- $V_{y,Ed} = -50kN$

Klasifikácia prierezu:

$$c/t \leq 72\epsilon$$

$$260/8 = 32,5 \leq 72 * 0,81 = 58,3 \rightarrow \text{Trieda prierezu 1}$$

- Prostý šmyk

$$V_{Pl,y,Rd} = \frac{1,71 * 10^{-3} * 355 * 10^3 / \sqrt{3}}{1,0} = 350,5kN$$

$$\frac{V_{y,Ed}}{V_{Pl,y,Rd}} < 0,5$$

$$\frac{50}{350,5} < 0,5$$

$$0,14 < 0,5$$

Netreba redukovať medzi klzu

Interakcia: ohyb+ťah

- Únosnosť prierezu

$$N_{pl,Rd} = \frac{4,56 * 10^{-3} * 355}{1,0} = 1618,8kN$$

$$M_{pl,y,Rd} = \frac{0,378 * 10^{-3} * 355}{1,0} = 134,2kNm$$

$$M_{pl,z,Rd} = \frac{0,266 * 10^{-3} * 355}{1,0} = 94,4kNm$$

- Posúdenie

$$\frac{N_{Ed}}{N_{pl,Rd}} + \frac{M_{y,Ed}}{M_{pl,y,Rd}} + \frac{M_{z,Ed}}{M_{pl,z,Rd}} \leq 1$$

$$\frac{358}{1618,8} + \frac{40}{134,2} + \frac{41,4}{94,4} \leq 1$$

$$0,95 < 1 \implies VYHOVUJE$$

6.7.3 Nosník B702(IPE240)

- $N_{Ed} = 25,3 kN$
- $M_{y,Ed} = 46,4 kNm$
- $M_{z,Ed} = 7,4 kNm$
- $V_{z,Ed} = 37 kN$

Klasifikácia prierezu:

Stojna:

$$c/t \leq 72\epsilon$$

$$190,4/6,2 = 30,7 \leq 72 * 0,81 = 58,3 \rightarrow \text{Trieda 1}$$

Pásnica:

$$c/t \leq 9\epsilon$$

$$41,9/9,8 = 4,3 \leq 9 * 0,81 = 7,3 \rightarrow \text{Trieda 1}$$

$\rightarrow \text{Trieda prierezu 1}$

- Prostý šmyk

$$V_{Pl,z,Rd} = \frac{1,914 * 10^{-3} * 355 * 10^3 / \sqrt{3}}{1,0} = 392 kN$$

$$\frac{V_{z,Ed}}{V_{Pl,z,Rd}} < 0,5$$

$$\frac{37}{392} < 0,5$$

$$0,1 < 0,5$$

Netreba redukovať medzi klzu

Interakcia: ohyb+ťah

- Únosnosť prierezu

$$N_{Pl,Rd} = \frac{3,91 * 10^{-3} * 355}{1,0} = 1618,8 kN$$

$$M_{Pl,y,Rd} = \frac{0,3666 * 10^{-3} * 355}{1,0} = 130,1 kNm$$

$$M_{Pl,z,Rd} = \frac{0,07392 * 10^{-3} * 355}{1,0} = 26,2 kNm$$

- Posúdenie

$$\frac{N_{Ed}}{N_{Pl,Rd}} + \frac{M_{y,Ed}}{M_{Pl,y,Rd}} + \frac{M_{z,Ed}}{M_{Pl,z,Rd}} \leq 1$$

$$\frac{25,3}{1618,8} + \frac{46,4}{130,1} + \frac{7,4}{26,2} \leq 1$$

$$0,66 < 1 \implies \text{VYHOVUJE}$$

6.8 Horná plošina HP 1

1. Vnitřní síly na prutu

Nelineární výpočet, Extrém : Prvek, Systém : Hlavní

Výběr : B698

Třída : Nelinearne_MSU

Prvek	css	Stav	N [kN]	Vy [kN]	Vz [kN]	My [kNm]	Mz [kNm]
B698	H.P.1_2 - IPE220	6.10.b_pos_vietor_y	-2,39	0,61	14,68	-1,03	-0,40
B698	H.P.1_2 - IPE220	6.10.b_vietor_x_neg	24,93	-0,99	10,52	-4,33	0,52
B698	H.P.1_2 - IPE220	6.10.b_vietor_x_pos	-0,06	-7,77	-30,04	-35,25	-9,64
B698	H.P.1_2 - IPE220	6.10.b_vietor_x_neg	-0,50	8,95	42,46	-35,95	-4,38
B698	H.P.1_2 - IPE220	6.10.b_vietor_x_pos	-1,54	8,48	41,86	-36,09	-3,90
B698	H.P.1_2 - IPE220	6.10.b_sneh_vietor_y_neg	5,31	1,24	0,11	0,28	-0,43
B698	H.P.1_2 - IPE220	6.10.b_vietor_x_pos	-1,46	7,91	38,04	-6,42	2,19

2. Vnitřní síly na prutu

Nelineární výpočet, Extrém : Prvek, Systém : Hlavní

Výběr : B846

Třída : Nelinearne_MSU

Prvek	css	Stav	N [kN]
B846	tiahla_schody1 - CHS48.3/3.2	6.10.a_vietor_y_-cool	12,05
B846	tiahla_schody1 - CHS48.3/3.2	6.10.a_vietor_y+pos	43,87

3. Vnitřní síly na prutu

Nelineární výpočet, Extrém : Prvek, Systém : Hlavní

Výběr : B825

Třída : Nelinearne_MSU

Prvek	css	Stav	N [kN]	Vy [kN]	Vz [kN]	My [kNm]	Mz [kNm]
B825	H.P.1_3 - J(CH)180X100X6	6.10.b_vietor_x_pos	-31,01	-8,07	-12,25	21,24	6,68
B825	H.P.1_3 - J(CH)180X100X6	6.10.b_vietor_y_neg	13,37	4,41	-2,04	7,56	-2,69
B825	H.P.1_3 - J(CH)180X100X6	6.10.b_vietor_x_pos	-30,97	-8,12	-15,80	12,66	1,71
B825	H.P.1_3 - J(CH)180X100X6	6.10.b_neg_vietor_y	12,93	5,04	-8,92	-0,02	3,56
B825	H.P.1_3 - J(CH)180X100X6	6.10.b_vietor_x_pos	-30,96	-8,05	-19,86	-0,06	-4,08
B825	H.P.1_3 - J(CH)180X100X6	6.10.b_vietor_x_pos	-22,65	-6,34	28,98	-12,15	1,23
B825	H.P.1_3 - J(CH)180X100X6	6.10.b_vietor_x_neg	-22,69	-6,08	28,63	-12,28	1,19
B825	H.P.1_3 - J(CH)180X100X6	6.10.b_vietor_x_pos	-22,81	-6,47	21,47	21,34	-7,32
B825	H.P.1_3 - J(CH)180X100X6	6.10.b_vietor_x_cool	-22,82	-6,48	21,31	21,08	-7,32

6.8.1 Nosník B698(IPE220)

- $N_{Ed} = 0kN$
- $M_{y,Ed} = -35,3kNm$
- $M_{z,Ed} = -9,6kNm$

Klasifikácia prierezu:

Stojna:

$$c/t \leq 72\varepsilon$$

$$177,6/5,9 = 30,1 \leq 72 * 0,81 = 58,3 \rightarrow \text{Trieda 1}$$

Pásnica:

$$c/t \leq 9\varepsilon$$

$$\begin{aligned} 40/9,2 &= 4,4 \leq 9 * 0,81 = 7,3 \rightarrow \text{Trieda 1} \\ &\rightarrow \text{Trieda prierezu 1} \end{aligned}$$

Interakcia: ohyb+ťah

- Únosnosť prierezu

$$\begin{aligned} N_{pl,Rd} &= \frac{3,34 * 10^{-3} * 355}{1,0} = 1184,6kN \\ M_{pl,y,Rd} &= \frac{0,2854 * 10^{-3} * 355}{1,0} = 101,3kNm \\ M_{pl,z,Rd} &= \frac{0,05811 * 10^{-3} * 355}{1,0} = 20,6kNm \end{aligned}$$

- Posúdenie

$$\begin{aligned} \frac{M_{y,Ed}}{M_{pl,y,Rd}} + \frac{M_{z,Ed}}{M_{pl,z,Rd}} &\leq 1 \\ \frac{35,3}{101,3} + \frac{9,6}{20,6} &\leq 1 \\ 0,98 < 1 &\implies \text{VYHOVUJE} \end{aligned}$$

6.8.2 Tiahlo B846(CHS48,3/3,2)

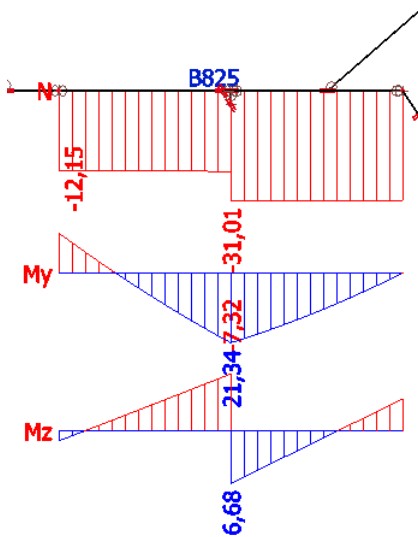
- $N_{Ed} = 44kN$
- Únosnosť prierezu

$$N_{pl,Rd} = \frac{0,45 * 10^{-3} * 355}{1,0} = 161kN$$

- Posúdenie na prostý ťah

$$\begin{aligned} \frac{N_{Ed}}{N_{pl,Rd}} &\leq 1 \\ \frac{44}{161} &\leq 1 \\ 0,27 < 1 &\implies \text{VYHOVUJE} \end{aligned}$$

6.8.3 Nosník B825(J180/100/6,0



Obr. 6.16: B791-NK 6.10.b/vietor/x/pos

- $N_{Ed} = -31kN$
- $M_{y,Ed} = 21,24kNm$
- $M_{z,Ed} = 6,7kNm$

Klasifikácia prierezu:

$$c/t \leq 33\varepsilon$$

$$156/6 = 26 \leq 33 * \sqrt{235/355} = 27 \rightarrow \text{Trieda prierezu 1}$$

Interakcia: ohyb+tlak

Prostá únosnosť

- Únosnosť prierezu

$$N_{pl,Rd} = \frac{3,18 * 10^{-3} * 355}{1,0} = 1129kN$$

$$M_{pl,y,Rd} = \frac{0,186 * 10^{-3} * 355}{1,0} = 66kNm$$

$$M_{pl,z,Rd} = \frac{0,123 * 10^{-3} * 355}{1,0} = 43,7kNm$$

- Posúdenie

$$\frac{N_{Ed}}{N_{pl,Rd}} + \frac{M_{y,Ed}}{M_{pl,y,Rd}} + \frac{M_{z,Ed}}{M_{pl,z,Rd}} \leq 1$$

$$\frac{31}{1129} + \frac{21,24}{66} + \frac{6,7}{43,7} \leq 1$$

$$0,5 < 1 \implies \text{VYHOUVUJE}$$

Únosnosť s vplyvom straty stability

Eulerovo kritické bremeno:

$$L_{cr,y/z} = 1,4m$$

$$N_{cr} = \frac{EI\pi^2}{L_{cr}^2} = \frac{210 * 10^6 * 5,4594 * 10^{-6}}{1,4^2} = 585$$

$$\frac{N_{Ed}}{N_{cr}} \leq 0,04$$

$$0,05 \approx 0,04 \Rightarrow VYHOVUJE$$

Ked' platí podmienka, posudzujeme na prostý tlak a teda platí posudok prostej únosnosti.

6.8.4 Priečnik B810(HEA220)

1. Vnitřní síly na prutu

Nelineární výpočet, Extrém : Prvek, Systém : Hlavní

Výběr : B810

Třída : Nelinearne_MSU

Prvek	css	Stav	N [kN]	Vy [kN]	Vz [kN]	My [kNm]	Mz [kNm]
B810	H.P.1_4 - HEA220	6.10.b_vietor_x_pos	-63,70	7,55	46,38	33,09	5,37
B810	H.P.1_4 - HEA220	6.10.b_vietor_x_neg	17,75	31,31	-29,80	-0,01	-0,03
B810	H.P.1_4 - HEA220	6.10.b_pos_vietor_y	-48,52	-10,75	-14,55	33,43	-1,82
B810	H.P.1_4 - HEA220	6.10.b_vietor_x_neg	17,75	31,49	-29,59	1,58	-1,73
B810	H.P.1_4 - HEA220	6.10.b_vietor_x_heat	-52,16	8,61	-40,43	37,53	7,09
B810	H.P.1_4 - HEA220	6.10.b_vietor_x_neg	-53,10	6,72	47,27	0,00	0,00
B810	H.P.1_4 - HEA220	6.10.b_vietor_x_pos	-0,61	30,30	-29,95	-0,02	-0,03
B810	H.P.1_4 - HEA220	6.10.b_vietor_x_neg	-49,68	6,52	34,52	74,86	4,19
B810	H.P.1_4 - HEA220	6.10.b_vietor_x_pos	-10,40	11,40	5,95	19,03	-19,00
B810	H.P.1_4 - HEA220	6.10.b_vietor_x_pos	-10,26	15,61	-16,91	2,63	11,18

- $N_{Ed} = -50kN$
- $M_{y,Ed} = 75kNm$
- $M_{z,Ed} = 4,2kNm$

Klasifikácia prierezu:

Stojna:

$$c/t \leq 33\epsilon$$

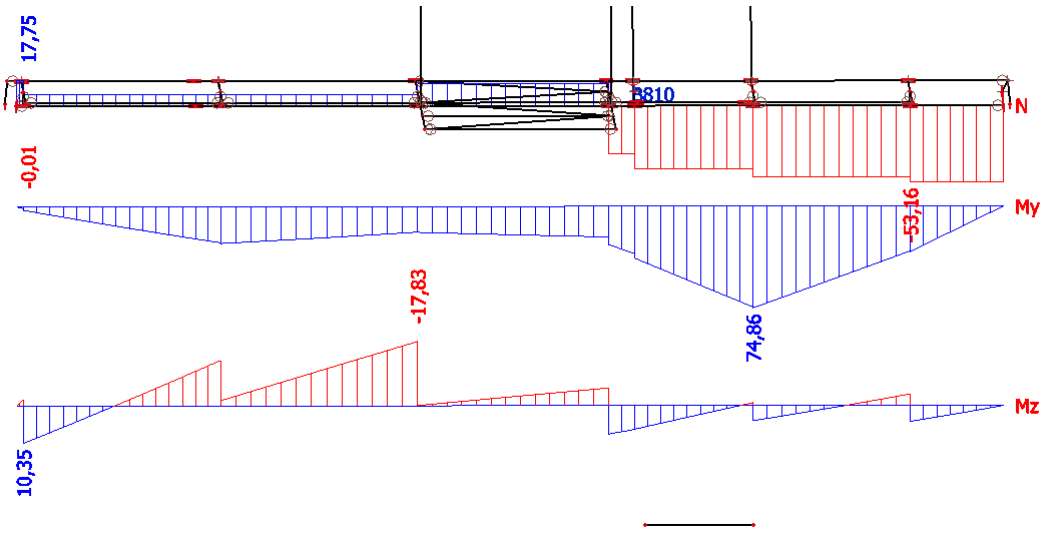
$$152/7,0 = 21,7 \leq 33 * 0,81 = 26,7 \rightarrow \text{Trieda 1}$$

Pásnica:

$$c/t \leq 14\epsilon$$

$$88,5/11 = 8,1 \leq 14 * 0,81 = 11,3 \rightarrow \text{Trieda 3}$$

$\rightarrow \text{Trieda prierezu 3}$



Obr. 6.17: B810-NK 6.10.b/pos/vietor/x/neg

Interakcia: ohyb+tlak Prostá únosnosť

- Únosnosť prierezu

$$N_{el,Rd} = \frac{6,43 * 10^{-3} * 355}{1,0} = 2284 kN$$

$$M_{el,y,Rd} = \frac{0,5152 * 10^{-3} * 355}{1,0} = 182,9 kNm$$

$$M_{el,z,Rd} = \frac{0,1777 * 10^{-3} * 355}{1,0} = 63,1 kNm$$

- Posúdenie

$$\frac{N_{Ed}}{N_{el,Rd}} + \frac{M_{y,Ed}}{M_{el,y,Rd}} + \frac{M_{z,Ed}}{M_{el,z,Rd}} \leq 1$$

$$\frac{50}{2284} + \frac{75}{182,9} + \frac{4,2}{63,1} \leq 1$$

$$0,5 < 1 \implies VYHOVUJE$$

Únosnosť s vplyvom straty stability

$$\frac{N_{Ed}}{\chi_y * N_{el,Rd}} + k_{yy} \frac{M_{y,Ed}}{\chi_{Lt} * M_{el,y,Rd}} + k_{yz} * \frac{M_{z,Ed}}{M_{el,z,Rd}} \leq 1$$

$$\frac{N_{Ed}}{N_{el,Rd}} + k_{zy} \frac{M_{y,Ed}}{\chi_{Lt} * M_{el,y,Rd}} + k_{zz} * \frac{M_{z,Ed}}{M_{el,z,Rd}} \leq 1$$

Nosník je priečne podoprený, takže nevybočuje kolmo na mäkkšiu osu z.

- Stanovenie súčiniteľa vzperu

Budeme uvažovať aj vybočenie kolmo k mäkej ose.

$L_{cr,y} = 7,5m \parallel$ krivka vzpernej pevnosti: \perp ku y-y \rightarrow b \parallel \perp ku z-z \rightarrow c

$$\lambda_1 = 76,4$$

$$i_y = 0,0917m$$

$$i_z = 0,0551m$$

$$\lambda_y = 81,8$$

$$\lambda_z = 136$$

$$\overline{\lambda}_y = 1,07$$

$$\overline{\lambda}_z = 1,78$$

$$\phi_y = 1,22$$

$$\phi_z = 2,47$$

$$\chi_y = 0,553$$

$$\chi_z = 0,239$$

- Súčinitel klopenia χ_{LT} Na bezpečnej strane uvažujeme, že prierez klopí.

URČENIE KRITICKÉHO MOMENTU M_{cr} zo zaťaženia podľa tabuľky NB.3.2			
pre prierezy symetrické k ose y-y			
ocel	S355	E =	$210 \cdot 10^9$ Pa
		G =	$81 \cdot 10^9$ Pa
príručka	HE220A	tř.príruče	3
		$I_y =$	$54,1 \cdot 10^6$ mm ⁴
		$I_z =$	$19,55 \cdot 10^6$ mm ⁴
		$I_t =$	$2846 \cdot 10^3$ mm ⁴
		$I_w =$	$193,3 \cdot 10^9$ mm ⁴
		$W_{pl,y} =$	$568,5 \cdot 10^3$ mm ³
		$W_y =$	$515,2 \cdot 10^3$ mm ³
charakteristika prutu a zatížení			
dĺžka L =	7500 mm	$z_g =$	0 mm
$k_y =$	1	$z_j =$	0 mm
$k_z =$	1	$C_{1,0} =$	1,13
$k_w =$	1	$C_{1,1} =$	1,13
$\psi_f =$	0	$C_1 =$	1,13
		$C_2 =$	0,46
		$C_3 =$	0,53
		$K_{wt} =$	0,176
		$\zeta_g =$	0,000
		$\zeta_j =$	0,000
		$\mu_{cr} =$	1,147
$M_{cr} =$	467,539 kNm		

Obr. 6.18: B810 - kritický moment podľa EC3-1-1 NB.3.2

$$M_{cr} = 467,5 \text{ kNm}$$

$$\frac{W_y * f_y}{M_{cr}} = \sqrt{\frac{0,5152 * 10^{-3} * 355 * 10^3}{467,5}} = 0,625$$

$$\phi_{LT} = 0,5 * [1 + \alpha_{LT}(\overline{\lambda_{LT}} - 0,2) + \overline{\lambda_{LT}}^2] = 0,5[1 + 0,34(0,625 - 0,2) + 0,625^2] = 0,768$$

$$\chi_{LT} = \frac{1}{\phi_{LT} + \sqrt{\phi_{LT}^2 - \overline{\lambda_{LT}}^2}} = \frac{1}{0,768 + \sqrt{0,768^2 - 0,625^2}} = 0,824$$

- Súčinitele interakcie k

Podľa STN EN 1993-1-1 príloha B.

$$\psi_y = 0$$

$$\psi_z = 1$$

$$C_{my} = 0,95 + 0,05 * 0 = 0,95$$

$$C_{mz} = 0,6 + 0,4 * 1 = 1,0$$

$$k_{yy} = \min[0,95(1 + (0,63 - 0,2)\frac{50}{0,55 * 2284}); 0,95(1 + 0,8\frac{50}{0,55 * 2284})] = 0,98$$

$$k_{zz} = \min[1,0(1 + (1,78 - 0,2)\frac{50}{0,24 * 2284}); 1,0(1 + 0,8\frac{50}{0,24 * 2284})] = 1,07$$

$$k_{zy} = 0,6 * k_{yy} = 0,6 * 0,98 = 0,59$$

$$k_{yz} = 0,6 * k_{zz} = 0,6 * 1,07 = 0,64$$

- Posúdenie

$$\frac{50}{0,55 * 2284} + 0,98 \frac{75}{0,824 * 182,9} + 0,64 \frac{4,2}{63,1} < 1$$

$$0,57 < 1,0 \implies VYHOVUJE$$

$$\frac{50}{0,24 * 2284} + 0,59 \frac{75}{0,824 * 182,9} + 1,07 \frac{4,2}{63,1} < 1$$

$$0,46 < 1,0 \implies VYHOVUJE$$

6.8.5 Stuženie B847(L63/5,0)

- $N_{Ed} = -36 \text{ kN}$

Vzper

- Únosnosť prierezu

$$N_{Rd} = \frac{A * f_y}{\gamma_{M0}} = \frac{0,61 * 10^{-3} * 355}{1,0} = 216,5 \text{ kN}$$

- Stanovenie súčiniteľa vzperu

$L_{cr,y/z} = 2m$ || krivka vzpernej pevnosti b

$$\lambda_1 = 76,4$$

$$i_y = 0,0125 \text{ m}$$

$$\lambda_y = 156,8$$

$$\overline{\lambda_y} = 2,05$$

$$\phi_y = 2,92$$

$$\chi_y = 0,2$$

1. Vnitřní síly na prutu

Nelineární výpočet, Extrém : Prvek, Systém : Hlavní
 Výběr : B559, B560, B561, B847, B848
 Třída : Nelinearne_MSU

Prvek	css	Stav	N [kN]
B559	H.P_stuženie - LS(CH)70X7	6.10.b_vietor_x_pos	-12,21
B559	H.P_stuženie - LS(CH)70X7	6.10.b_vietor_y_neg	0,43
B560	H.P_stuženie - LS(CH)70X7	6.10.b_vietor_x_neg	-7,36
B560	H.P_stuženie - LS(CH)70X7	6.10.a_vietor_y_-cool	0,01
B561	H.P_stuženie - LS(CH)70X7	6.10.b_vietor_y_neg	-0,57
B561	H.P_stuženie - LS(CH)70X7	6.10.b_vietor_x_cool	33,65
B847	H.P_stuženie - LS(CH)70X7	6.10.b_vietor_x_neg	-35,64
B847	H.P_stuženie - LS(CH)70X7	6.10.a_vietor_y_-cool	0,05
B848	H.P_stuženie - LS(CH)70X7	6.10.b_vietor_x_neg	-31,62
B848	H.P_stuženie - LS(CH)70X7	6.10.a_vietor_y_-cool	-2,15

- Posúdenie

$$\frac{N_{Ed}}{\chi_y * N_{Rd}} < 1$$

$$\frac{36}{0,2 * 216,5} < 1$$

$$0,83 < 1,0 \implies VYHOVUJE$$

6.9 Schody/plošina

1. Vnitřní síly na prutu

Nelineární výpočet, Extrém : Prvek, Systém : Hlavní
 Výběr : B271
 Třída : Nelinearne_MSU

Prvek	css	Stav	N [kN]	M _y [kNm]	M _z [kNm]
B271	H.P.schody - UPE200	6.10.b_vietor_x_pos	-17,02	-0,06	-0,06
B271	H.P.schody - UPE200	6.10.b_neg_vietor_y	9,48	0,00	0,00
B271	H.P.schody - UPE200	6.10.b_vietor_x_neg	-3,56	-1,37	-5,50
B271	H.P.schody - UPE200	6.10.b_vietor_y_pos	-3,82	10,27	0,62
B271	H.P.schody - UPE200	6.10.b_vietor_x_pos	-12,72	4,86	-6,33
B271	H.P.schody - UPE200	6.10.b_pos_vietor_y	-6,63	8,61	1,00

2. Vnitřní síly na prutu

Nelineární výpočet, Extrém : Prvek, Systém : Hlavní
 Výběr : B1046, B1047, B1049, B1050
 Třída : Nelinearne_MSU

Prvek	css	Stav	N [kN]
B1046	H.P2_stuženie - L100X8	6.10.a_vietor_y_-cool	7,24
B1046	H.P2_stuženie - L100X8	6.10.b_vietor_x_pos	77,69
B1047	H.P2_stuženie - L100X8	6.10.b_vietor_y_pos	-43,07
B1047	H.P2_stuženie - L100X8	6.10.b_vietor_x_neg	1,09
B1049	H.P2_stuženie - L100X8	6.10.a_vietor_y_-cool	7,89
B1049	H.P2_stuženie - L100X8	6.10.b_vietor_x_pos	183,31
B1050	H.P2_stuženie - L100X8	6.10.b_sneh_vietor_x_pos	-115,42
B1050	H.P2_stuženie - L100X8	6.10.a_vietor_y_-cool	-7,89

6.9.1 Schody B271(UPE200)

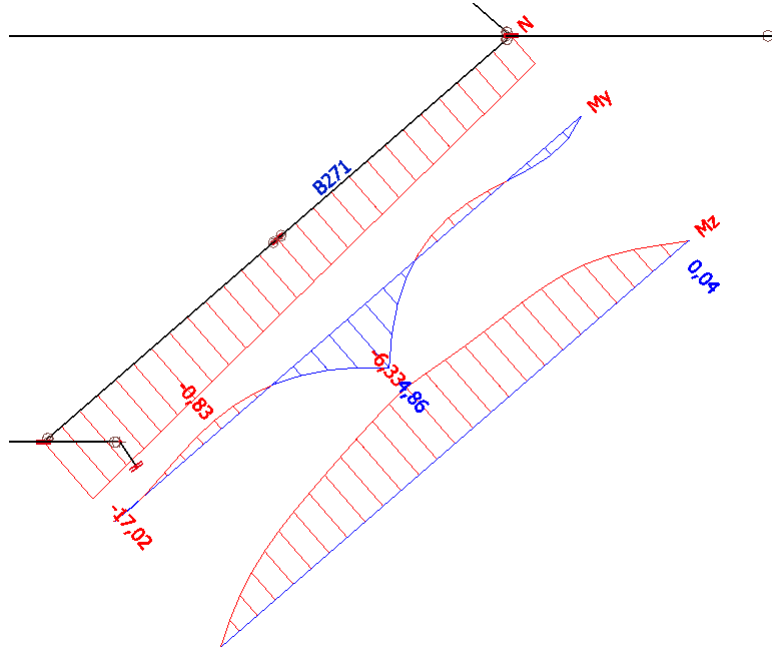
- $N_{Ed} = -12,7 \text{ kN}$
- $M_{y,Ed} = 4,9 \text{ kNm}$
- $M_{z,Ed} = -6,3 \text{ kNm}$

Klasifikácia prierezu:

$$c/t \leq \frac{9\epsilon}{\alpha}$$

$$61/11 = 5,6 \leq \frac{9 * 0,81}{0,89} = 8,2 \rightarrow \text{Trieda prierezu 1}$$

Interakcia: ohyb+ťah



Obr. 6.19: B810-NK 6.10.b/pos/vietor/x/neg

- Únosnosť prierezu

$$N_{pl,Rd} = \frac{A * f_y}{\gamma_{M0}} = \frac{2,9 * 10^{-3} * 355}{1,0} = 1029,5 kN$$

$$M_{pl,y,Rd} = \frac{W_{pl,y} * f_y}{\gamma_{M0}} = \frac{0,177 * 10^{-3} * 355}{1,0} = 62,8 kNm$$

$$M_{pl,z,Rd} = \frac{W_{pl,z} * f_y}{\gamma_{M0}} = \frac{0,059 * 10^{-3} * 355}{1,0} = 20,9 kNm$$

- Posúdenie

$$\frac{N_{Ed}}{N_{pl,Rd}} + \frac{M_{y,Ed}}{M_{pl,y,Rd}} + \frac{M_{z,Ed}}{M_{pl,z,Rd}} \leq 1$$

$$\frac{12,7}{1029,5} + \frac{4,9}{62,8} + \frac{6,3}{20,9} \leq 1$$

$$0,4 < 1 \implies VYHOUVUJE$$

Únosnosť s vplyvom straty stability

$$\frac{N_{Ed}}{\chi_y * N_{el,Rd}} + k_{yy} \frac{M_{y,Ed}}{\chi_{Lt} * M_{el,y,Rd}} + k_{yz} * \frac{M_{z,Ed}}{M_{el,z,Rd}} \leq 1$$

$$\frac{N_{Ed}}{N_{el,Rd}} + k_{zy} \frac{M_{y,Ed}}{\chi_{Lt} * M_{el,y,Rd}} + k_{zz} * \frac{M_{z,Ed}}{M_{el,z,Rd}} \leq 1$$

- Stanovenie súčiniteľa vzperu

$L_{cr,y} = 4,8m \wedge L_{cr,z} = 2,4m$ || krivka vzpernej pevnosti: c

$$\lambda_1 = 76,4$$

$$i_y = 0,0811m$$

$$i_z = 0,0254m$$

$$\lambda_y = 59,2$$

$$\lambda_z = 94,5$$

$$\overline{\lambda_y} = 0,77$$

$$\overline{\lambda_z} = 1,24$$

$$\phi_y = 0,94$$

$$\phi_z = 1,52$$

$$\chi_y = 0,68$$

$$\chi_z = 0,42$$

- Súčiniteľ klopenia χ_{LT}

URČENIE KRITICKÉHO MOMENTU M_{cr} zo zatáčenia podľa tabuľky NB.3.2			
pre prierezy symetrické k ose y-y			
ocel	S355	E =	$210 \cdot 10^9$ Pa
		G =	$81 \cdot 10^9$ Pa
prúrež	UPE200	tř.prúrezu	1
		I_y =	$19,1 \cdot 10^8$ mm ⁴
		I_z =	$1,873 \cdot 10^8$ mm ⁴
		I_t =	$88,88 \cdot 10^3$ mm ⁴
		I_w =	$11 \cdot 10^9$ mm ⁴
		$W_{pl,y}$ =	$177 \cdot 10^3$ mm ³
		W_y =	$190,9 \cdot 10^3$ mm ³
charakteristika prutu a zatížení			
délka L =	4800 mm	z_g =	0 mm
k_y =	1	z_j =	0 mm
k_z =	1	$C_{1,0}$ =	1,13
k_w =	1	$C_{1,1}$ =	1,13
ψ_f =	0	C_1 =	1,13
		C_2 =	0,46
		C_3 =	0,53
		K_{wt} =	0,371
		ζ_g =	0,000
		ζ_j =	0,000
		μ_{cr} =	1,205
M_{cr} =	41,974 kNm		

Obr. 6.20: B271 - kritický moment podľa EC3-1-1 NB.3.2

$$M_{cr} = 42 \text{ kNm}$$

$$\overline{\lambda_{LT}} = \sqrt{\frac{W_y * f_y}{M_{cr}}} = \sqrt{\frac{0,1909 * 10^{-3} * 355 * 10^3}{42}} = 1,27$$

$$\phi_{LT} = 0,5 * [1 + \alpha_{LT}(\overline{\lambda_{LT}} - 0,2) + \overline{\lambda_{LT}}^2] = 0,5[1 + 0,49(1,27 - 0,2) + 1,27^2] = 1,57$$

$$\chi_{LT} = \frac{1}{\phi_{LT} + \sqrt{\phi_{LT}^2 - \overline{\lambda_{LT}}^2}} = \frac{1}{1,57 + \sqrt{1,57^2 - 1,27^2}} = 0,4$$

- Súčinitele interakcie k

Podľa STN EN 1993-1-1 príloha B.

$$\psi_{y/z} = 0$$

$$C_{my} = 0,95$$

$$C_{mz} = 0,95$$

$$k_{yy} = \min[0,95(1 + (0,77 - 0,2)\frac{13}{0,68 * 1029,5}); 0,95(1 + 0,8\frac{13}{0,68 * 1029,5})] = 0,96$$

$$k_{zz} = \min[0,95(1 + (1,24 - 0,2)\frac{13}{0,42 * 1029,5}); 0,95(1 + 0,8\frac{13}{0,42 * 1029,5})] = 0,97$$

$$k_{zy} = 0,6 * k_{yy} = 0,6 * 0,96 = 0,58$$

$$k_{yz} = 0,6 * k_{zz} = 0,6 * 0,97 = 0,58$$

- Posúdenie

$$\frac{13}{0,68 * 1029,5} + 0,96 \frac{4,9}{0,4 * 62,8} + 0,58 \frac{6,3}{20,9} < 1$$

$$0,4 < 1,0 \implies VYHOVUJE$$

$$\frac{13}{0,42 * 1029,5} + 0,96 \frac{4,9}{0,4 * 62,8} + 0,97 \frac{6,3}{20,9} < 1$$

$$0,44 < 1,0 \implies VYHOVUJE$$

6.9.2 Stuženie B1050(L100/8,0)

- $N_{Ed} = -116kN$

Vzper

- Únosnosť prierezu

$$N_{Rd} = \frac{A * f_y}{\gamma_{M0}} = \frac{1,55 * 10^{-3} * 355}{1,0} = 550kN$$

- Stanovenie súčiniteľa vzperu

$$L_{cr,y/z} = 2,6m \parallel \text{krivka vzpernej pevnosti b}$$

$$\lambda_1 = 76,4$$

$$i_y = 0,0198m$$

$$\lambda_y = 131,3$$

$$\overline{\lambda_y} = 1,72$$

$$\phi_y = 2,24$$

$$\chi_y = 0,27$$

- Posúdenie

$$\frac{N_{Ed}}{\chi_y * N_{Rd}} < 1$$

$$\frac{116}{0,27 * 550} < 1$$

$$0,78 < 1,0 \implies VYHOVUJE$$

6.10 Posúdenie trapézových plechov

Tabuľka s návrhovými hodnotami sa nachádza v prílohe.

6.10.1 Prípad 1

Statický systém: prostý nosník, L=4,3m

Návrh : H135/310 – 1,25 (pozitívna poloha)

Moment únosnosti v poli

$$M_{F,k} = 20,6 \text{ kNm/m} \rightarrow M_{F,Rd} = 20,6/1,1 = 18,7 \text{ kNm/m}$$

Maximálna posúvajúca sila nad podporou

$$R_{A,k}^T = 23,6 \text{ kN/m} \rightarrow R_{A,Rd}^T = 23,6/1,1 = 21,4 \text{ kN/m}$$

Zaťažovacie stavy

- 1.Vlastná váha - 0,161kN/m²
- 2.Technológie - 1,5kN/m²
- 3.Sneh - 2,95kN/m²
- 4.Vietor - 1,1kN/m²

Prepočet zaťaženia do lokálneho systému prútu.

- 1.Vlastná váha - 0,161*cos(35)=0,13kN/m²
- 2.Technológie - 1,5*cos(35)=1,23kN/m²
- 3.Sneh - 2,95*(cos(35))²=1,98kN/m²
- 4.Vietor - 1,1kN/m²

Kombinácia zaťažení (MSÚ/MSP)

$$f_d = 1,35 * (0,13 + 1,23) + 1,5 * (1,98 + 0,6 * 1,1) = 5,8 \text{ kN/m}^2$$

$$f_{char} = 0,13 + 1,23 + 1,98 + 0,6 * 1,1 = 4 \text{ kN/m}^2$$

Návrhové vnútorné sily

$$M_{F,Ed} = 5,8 * 4,3^2 / 8 = 13,4 \text{ kNm/m}$$

$$V_{A,Ed} = 5,8 * 4,3 / 2 = 12,5 \text{ kN/m}$$

Posúdenie - MSÚ

$$M_{F,Ed} / M_{F,Rd} = 13,4 / 18,7 = 0,72 < 1 \text{ OK}$$

$$V_{A,Ed} / R_{A,Rd}^T = 12,5 / 21,4 = 0,6 < 1 \text{ OK}$$

Posúdenie - MSP

$$w = \frac{5 * f_{char} * L^4}{384 * EI_{ef}^+} = \frac{5 * 4 * 4,3^4}{384 * 210 * 491 * 10^{-5}} = 17,3 \text{ mm}$$
$$w \leq L/250$$

$$17,3 > 4300/250 = 17,2 \text{ mm FALSE}$$

Nový návrh : H135/310 – 1,50

$$w = \frac{5 * f_{char} * L^4}{384 * EI_{ef}^+} = \frac{5 * 4 * 4,3^4}{384 * 210 * 594 * 10^{-5}} = 14,3mm$$

14,3 < 17,2mm OK

6.10.2 Prípad 2

Statický systém: spojity nosník, L=4,3m
Šírka podpory v poli $\geq 160\text{mm}$

Návrh : H135/310 – 1,25 (pozitívna poloha)

Moment únosnosti v poli

$$M_{F,Rd} = 18,7\text{kNm}/m$$

Moment únosnosti nad podporou

$$\max M_{B,k} = 21,9\text{kNm}/m \rightarrow \max M_{B,Rd} = 21,9/1,1 = 19,9\text{kNm}/m$$

Maximálna posúvajúca sila nad krajnou podporou

$$R_{A,Rd}^T = 21,4\text{kN}/m$$

Maximálna posúvajúca sila nad strednou podporou

$$\max R_{B,k} = 76,4\text{kN}/m \rightarrow \max R_{B,Rd} = 76,4/1,1 = 69,4\text{kN}/m$$

Interakcia

$$M_{B,k}^0 = 24,0\text{kNm}/m \rightarrow M_{B,Rd}^0 = 24/1,1 = 21,8\text{kNm}/m$$

$$R_{B,k}^0 = 82,8\text{kNm}/m \rightarrow R_{B,Rd}^0 = 82,8/1,1 = 75,3\text{kNm}/m$$

Zaťažovacie stavy: Rovnaké ako v prípade 1.

Návrhové vnútorné sily

$$M_{F,Ed} = 0,07 * 5,8 * 4,3^2 = 7,5\text{kNm}/m$$

$$M_{B,Ed} = -0,125 * 5,8 * 4,3^2 = -13,4\text{kNm}/m$$

$$V_{A,Ed} = 0,375 * 5,8 * 4,3 = 9,4\text{kN}/m$$

$$V_{B,Ed} = 1,25 * 5,8 * 4,3 = 31,2\text{kN}/m$$

Posúdenie - MSÚ

$$M_{F,Ed}/M_{F,Rd} = 7,5/18,7 = 0,4 < 1,0 \text{ OK}$$

$$M_{B,Ed}/\max M_{B,Rd} = 13,4/19,9 = 0,7 < 1,0 \text{ OK}$$

$$V_{A,Ed}/R_{A,Rd}^T = 9,4/21,4 = 0,44 < 1,0 \text{ OK}$$

$$V_{B,Ed}/\max R_{B,Rd} = 31,2/69,4 = 0,45 < 1,0 \text{ OK}$$

Interakcia

$$\frac{M_{B,Ed}}{M_{B,Rd}^0} + \left(\frac{V_{B,Ed}}{R_{B,Rd}^0}\right)^2$$

$$\frac{13,4}{21,8} + \left(\frac{31,2}{75,3}\right)^2 = 0,79 < 1 \text{ OK}$$

Posúdenie - MSP

$$w = 0,0054 \frac{f_{char} * L^4}{EI_{ef}^+} = 0,0054 \frac{4 * 4,3^4}{210 * 491 * 10^{-5}} = 7,2mm$$

7,2 < 17,2mm OK

POSÚDENIE V MSP

Posúdime **globálnu deformáciu** konštrukcie pre rozhodujúce kombinácie.

- Zvislý posun u_z
 - MSP_char_vietor_y_heat
 - MSP_častá_vietor_y_heat
- Vodorovný posun u_x
 - MSP_char_vietor_x_pos
 - MSP_častá_vietor_x_pos

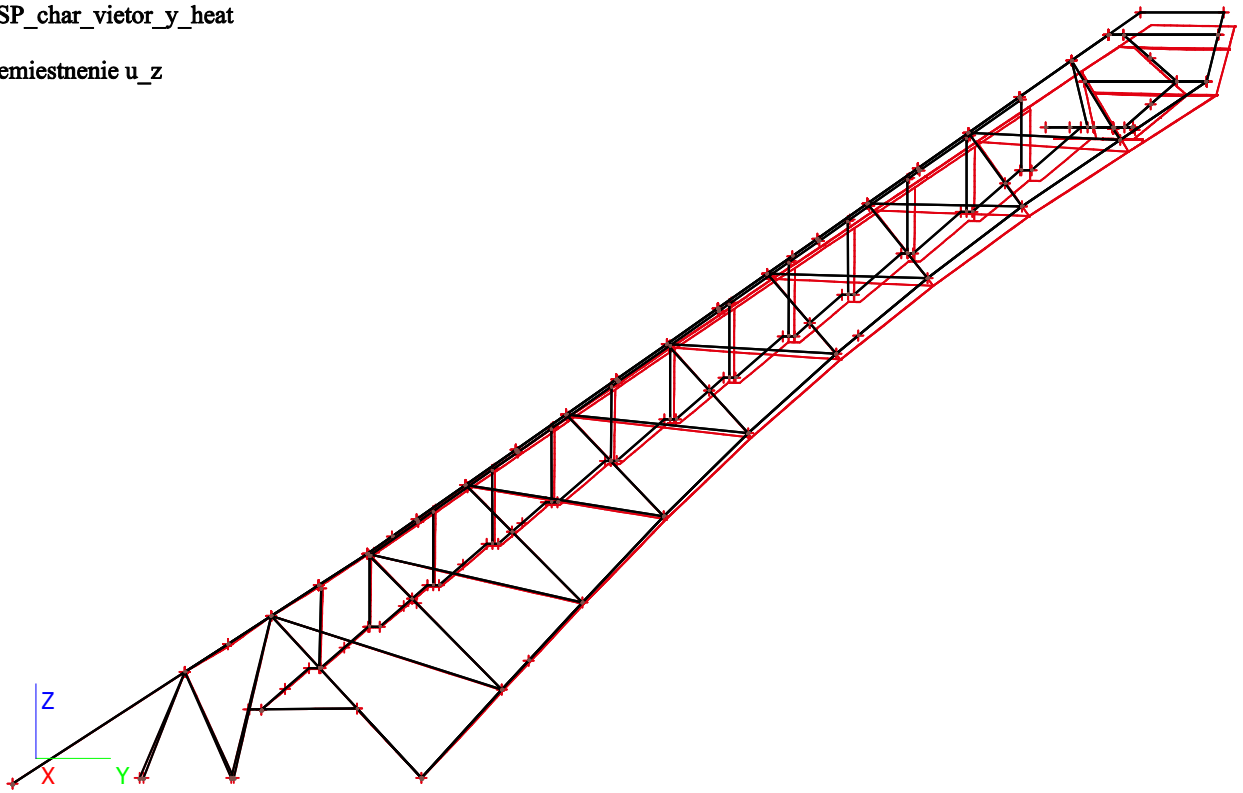
Ďalej posúdime príhyb nosníkov horných plošín **HP1, HP2, HP3**.

1. Deformovaná konstrukce

Merítko deformací: 1,0

MSP_char_vietor_y_heat

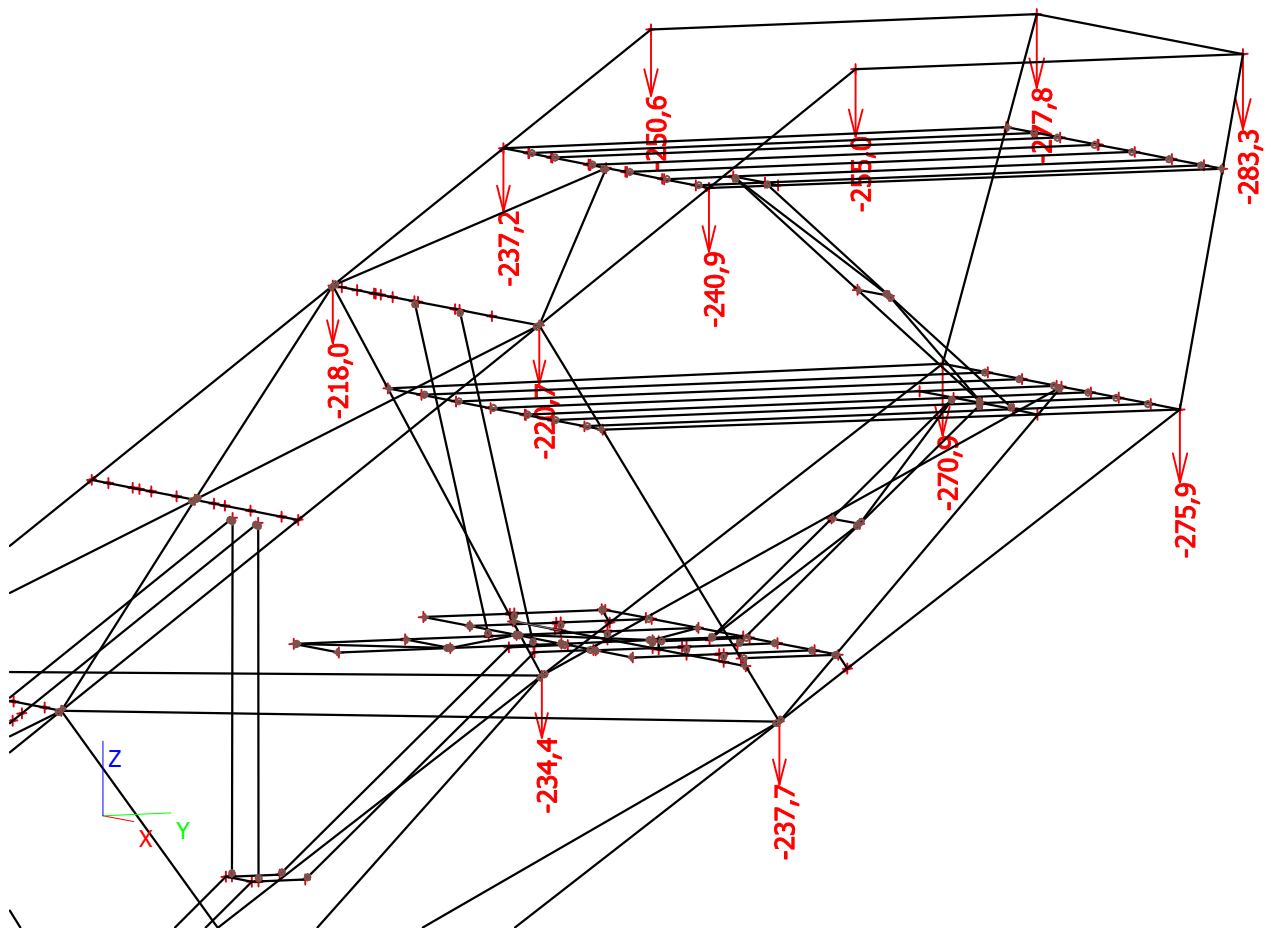
Premiestnenie u_z



2. Přemístění uzlů; Uz

MSP_char_vietor_y

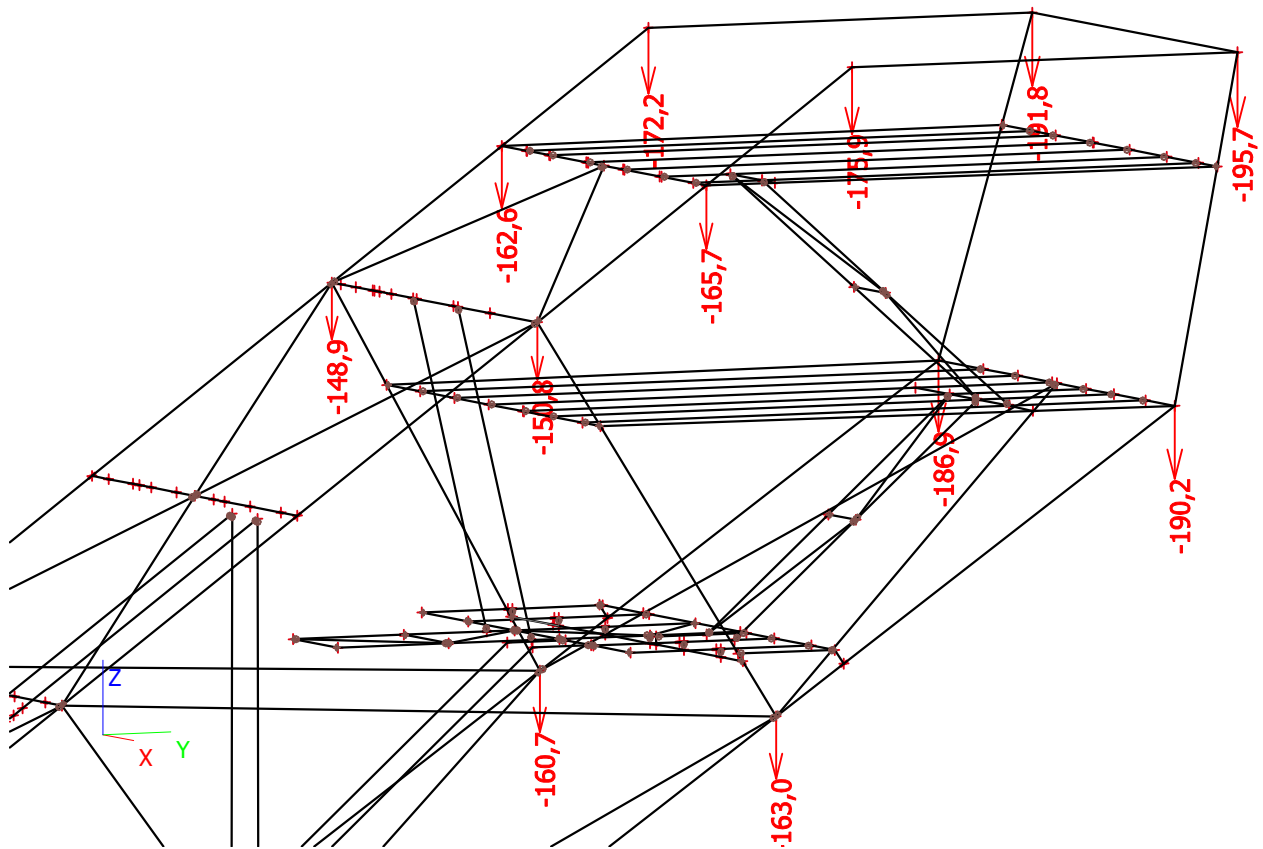
Premiestnenie u_z



3. Přemístění uzel; Uz

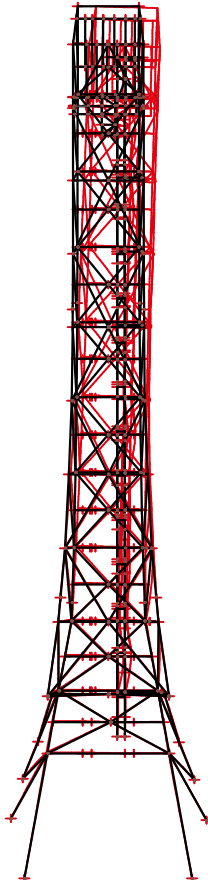
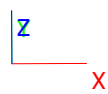
MSP_častá_vietor_y_heat

Premiestnenie u_z



4. Deformovaná konstrukce

Merítko deformací: 2,0
MSP_char_vietor_x_pos
Premiestnenie u_x

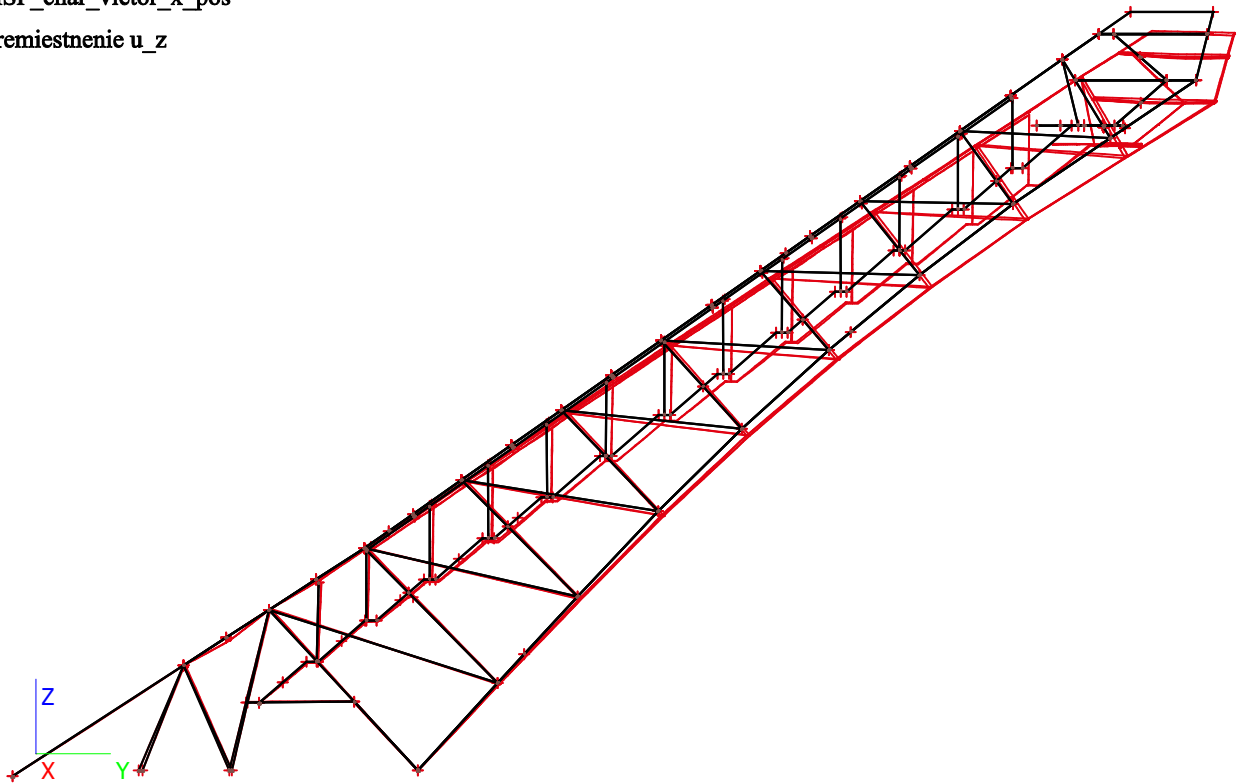


5. Deformovaná konstrukce

Merítko deformací: 2,0

MSP_char_vietor_x_pos

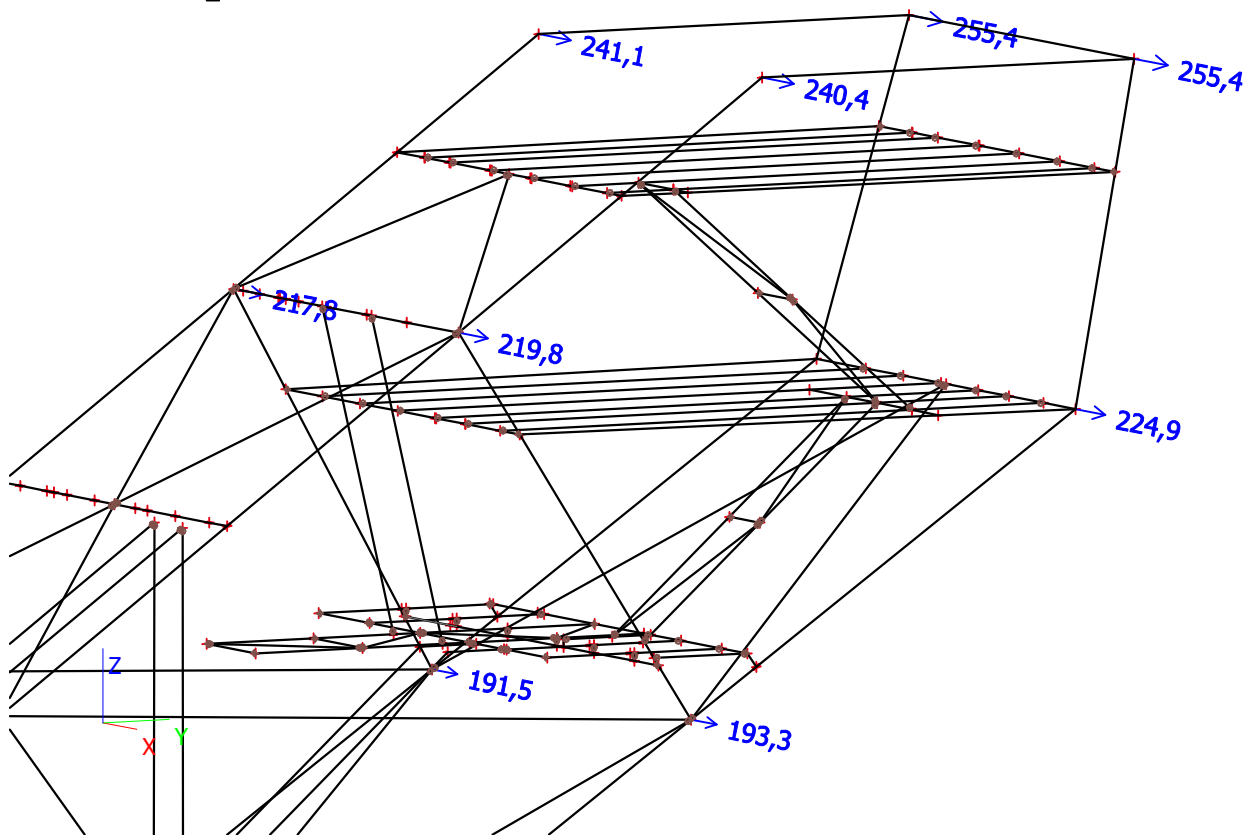
Premiestnenie u_z



6. Přemístění uzelů; Ux

MSP_char_vietor_x_pos

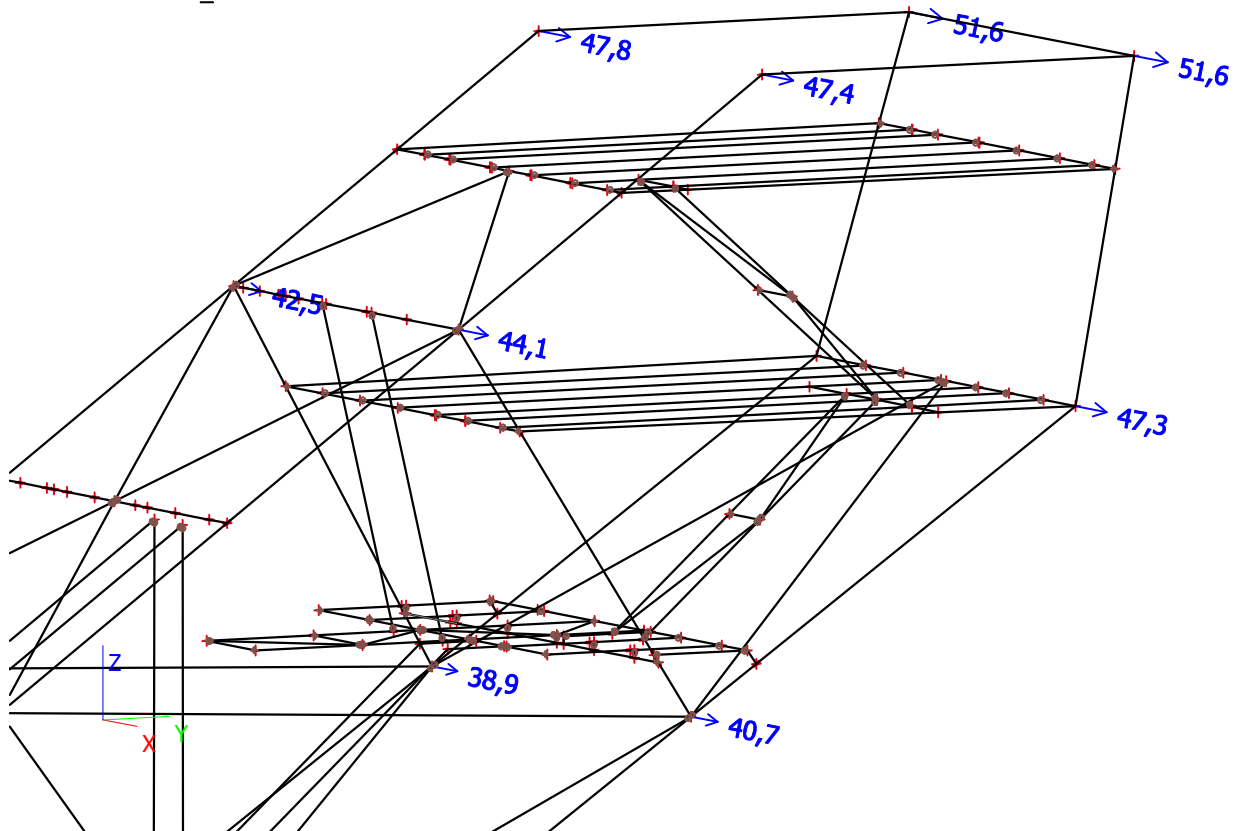
Premiestnenie u_x



7. Přemístění uzelů; Ux

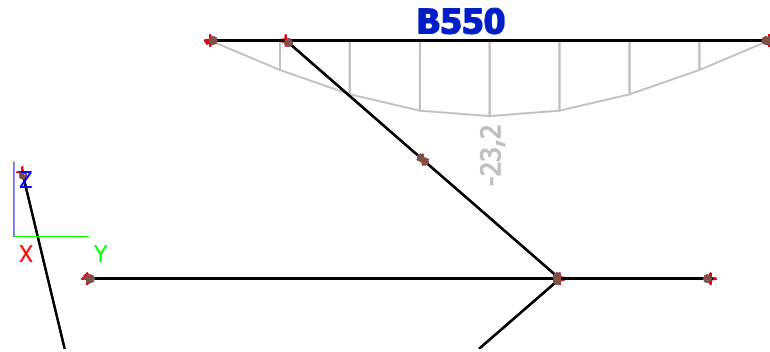
MSP_častá_vietor_x_pos

Premiestnenie u_x



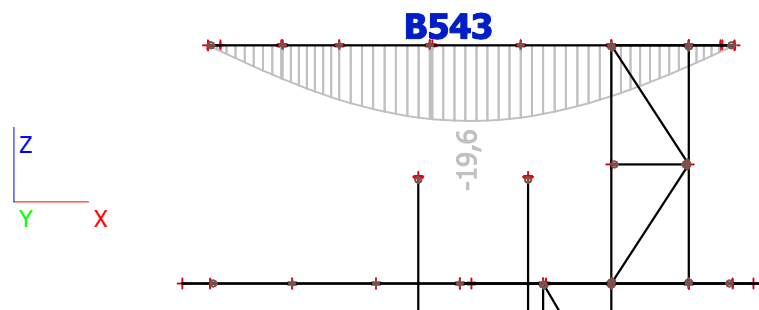
1. Relativní deformace; uz

MSP_char_sneh

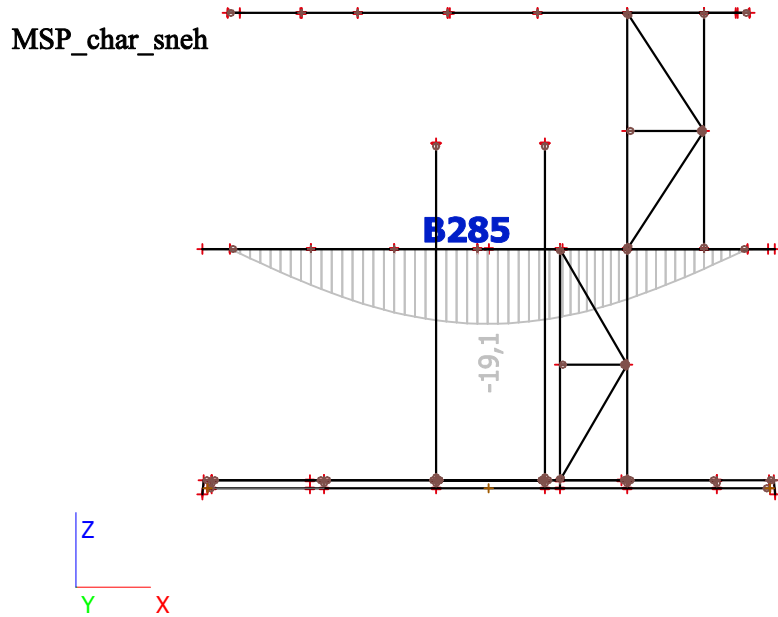


2. Relativní deformace; uz

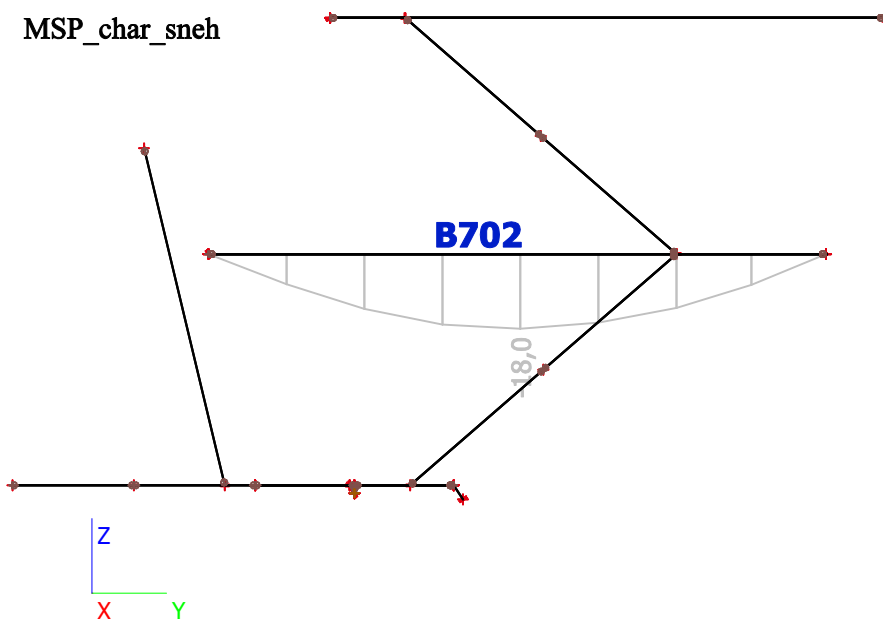
MSP_char_sneh



3. Relativní deformace; uz

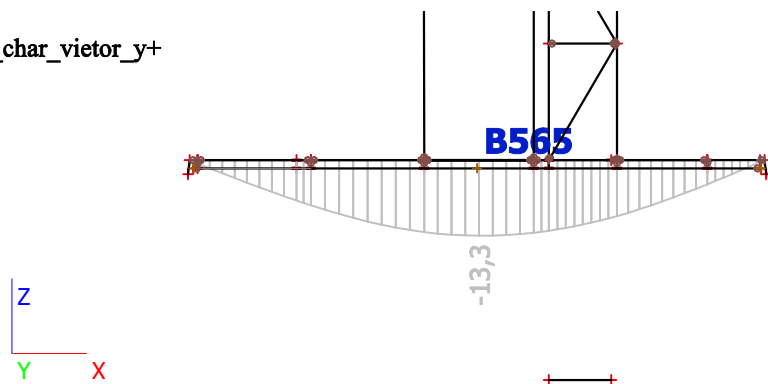


4. Relativní deformace; uz



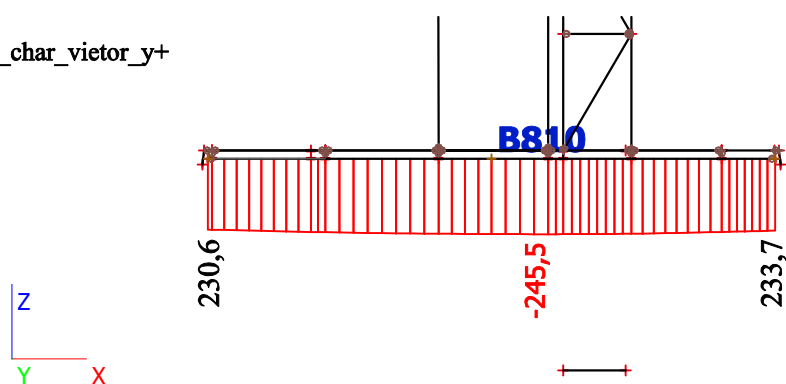
5. Relativní deformace; uz

MSP_char_vietor_y+



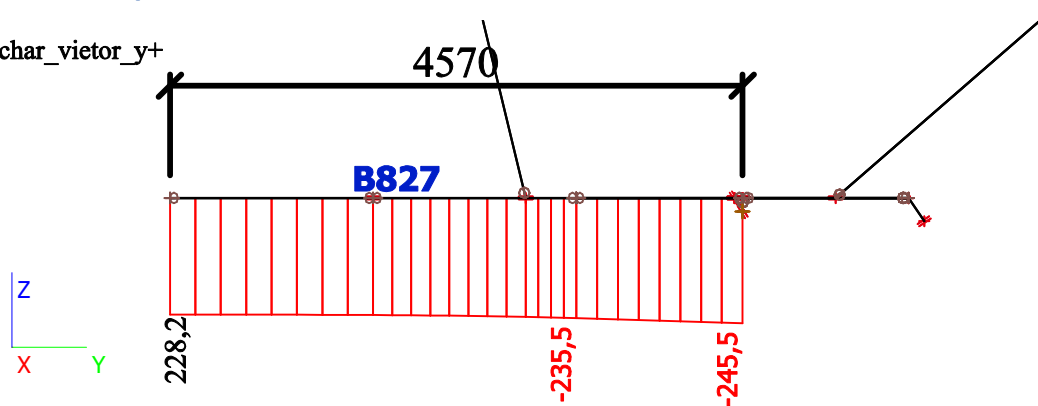
6. Deformace na prutu; uz

MSP_char_vietor_y+



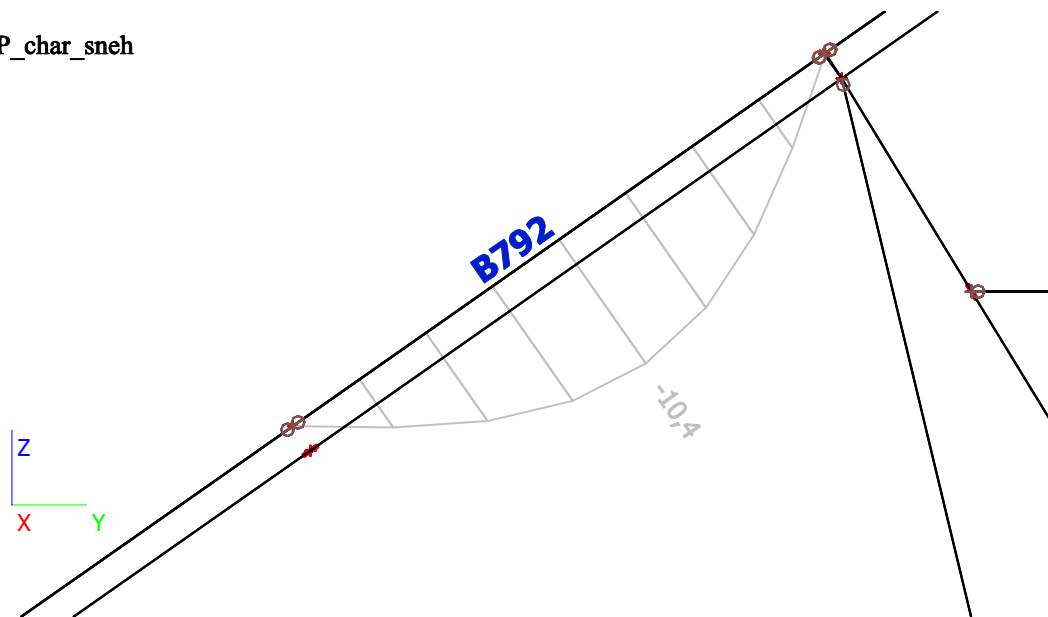
7. Deformace na prutu; uz

MSP_char_vietor_y+



8. Relativní deformace; uz

MSP_char_sneh



POSÚDENIE DETAILOV

8.1 Styčníky priehradového nosníku

Posúdenie je vykonané v programe IDEA StatiCa 9. Návrh je založený na medznom stave maximálnej povolenej deformácie podľa [10],[11]. Posudzovanie napäťia nemá zmysel, keďže nami použitý program je založený na pružnoplastickom materiálovom modely a teda maximálne napätie, ktoré môžeme dosiahnuť je rovné medzi klzu. Maximálne deformácie uvádzajú literatúra [10] ako aj [11] nasledovne:

- $\varepsilon_{max} = 1,0\%$ v MSP
- $\varepsilon_{max} = 3,0\%$ v MSÚ

Aby sme získali lepšiu predstavu, porovnali sme ručný výpočet typického styčníku podľa [10] resp. [9] s výsledkami použitého programu IDEA StatiCa. Tento program nám poskytol relatívne plastické deformácie ε_{pl} , ktoré boli výrazne za hranicou 3% podľa [10] a takisto sa nachádzali za hranicou 5% podľa EC3-1-5. Viac podrobností nebudem uvádzať. Pri posúdení budú platíť hore stanovené ε_{max} .

U prvkov s hrúbkou $> 25\text{mm}$, sa vykoná kontrola kvality materiálu, aby sa zaistilo, že kvalita materiálu po hrúbke je rovnaká.

Posudky sú uvedené v prílohe. Nazvané tak, ako sú označené vo výkresoch.

8.2 Čapový spoj-dolné schody

Vo výkrese označené ako DET.D1/DET.D2. Styčníkové plechy s hrúbkou $t=10\text{mm}$ sú navrhnuté z ocele S235. Čap o $\phi = 20\text{mm}$ z ocele S355 prenáša silu $F_{V,Ed} = 68\text{kN}$.

- Rozteče styčníkového plechu čapu

$$a \geq \frac{F_{V,Ed}\gamma_{M0}}{2tf_y} + \frac{2d_0}{3} = \frac{68 * 10^3 * 1,0}{2 * 12 * 235} + \frac{2 * 21}{3} = 26,1\text{mm} \Rightarrow a = 30\text{mm}$$

$$c \geq \frac{F_{V,Ed}\gamma_{M0}}{2tf_y} + \frac{d_0}{3} = \frac{68 * 10^3 * 1,0}{2 * 12 * 235} + \frac{21}{3} = 19,1\text{mm} \Rightarrow c = 22\text{mm}$$

- Únosnosť v strihu pre 2 strižné roviny

$$F_{V,Rd} = 2 * 0,6A \frac{f_{up}}{\gamma_{M2}} = 2 * 0,6 * \frac{\pi * 20^2}{4} * \frac{490}{1,25} = 153,8 * 10^3\text{N}$$

$$F_{V,Rd} = 153,8\text{kN} > F_{V,Ed} = 68\text{kN} \rightarrow VYHOVUJE$$

- Únosnosť v ohybe

$$M_{Rd} = 1,5W_{el} \frac{f_y}{\gamma_{M0}} = 1,5 * \frac{\pi * 20^3}{32} * \frac{355}{1,0} = 0,418 * 10^6 Nmm = 0,418kNm$$

$$M_{Ed} = \frac{F_{V,Ed}}{8}(t + 4b + 2t_1) = \frac{68}{8}(12 + 4 * 1 + 2 * 10) * 10^{-3} = 0,306kNm$$

$$\frac{M_{Ed}}{M_{Rd}} = \frac{0,306}{0,418} = 0,73 < 1,0 \rightarrow VYHOVUJE$$

- Interakcia: ohyb+šmyk

$$(\frac{M_{Ed}}{M_{Rd}})^2 + (\frac{F_{V,Ed}}{F_{V,Rd}})^2 \leq 1,0$$

$$(\frac{0,306}{0,418})^2 + (\frac{68}{153,8})^2 = 0,73 \leq 1,0 \rightarrow VYHOVUJE$$

- Ovlačenie plechu a čapu

$$F_{b,Rd} = \frac{1,5dtf_y}{\gamma_{M0}} = \frac{1,5 * 20 * 12 * 235}{1,0} = 84,6kN$$

$$\frac{F_{V,Ed}}{F_{b,Rd}} = \frac{68}{84,6} = 0,8 < 1 \rightarrow VYHOVUJE$$

Posúdenie čelného svaru:

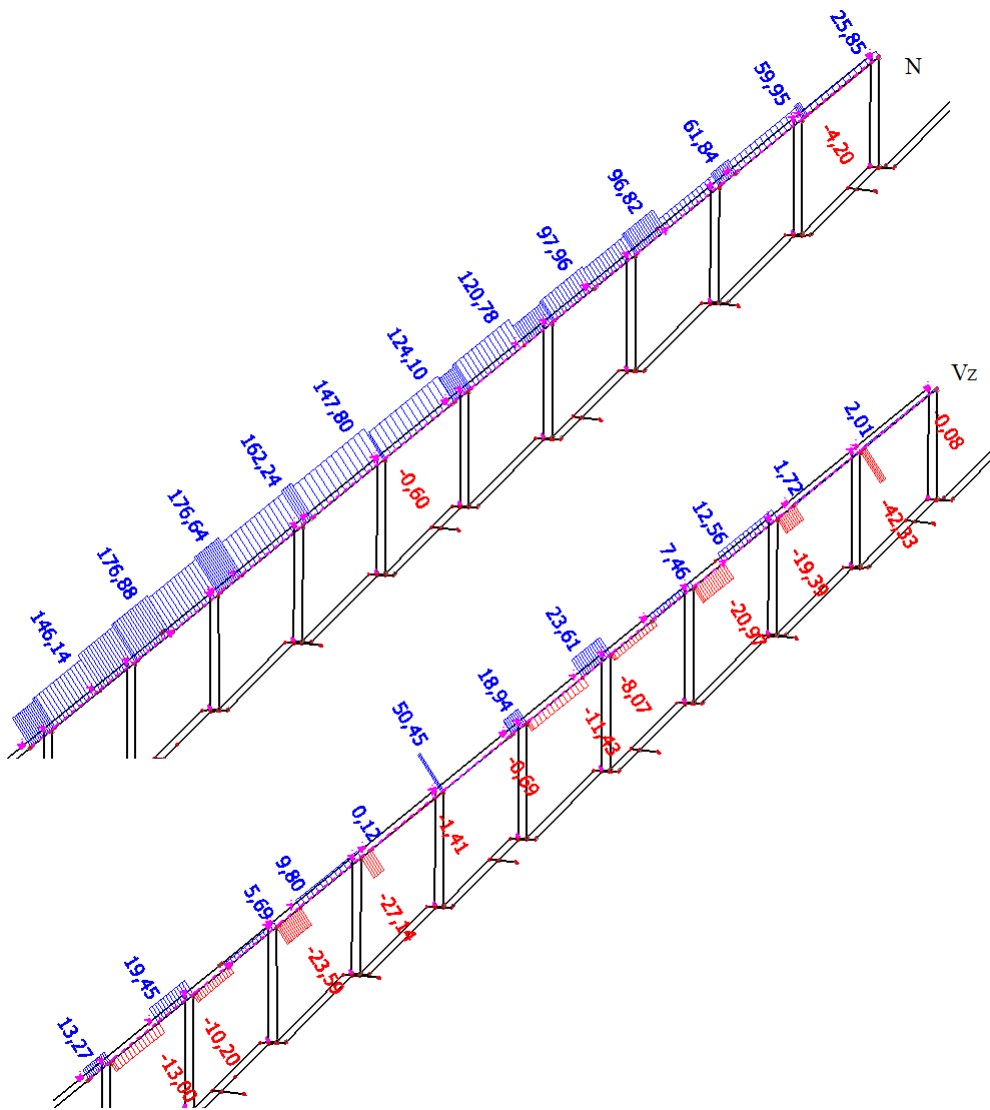
$$\sigma_R = \frac{68 * 10^3}{4 * 90 * 2} = 95MPa$$

$$\sigma_R \leq \frac{f_u}{\beta_w \gamma_{M2} \sqrt{2}}$$

$$\sigma_R = 95MPa \leq \frac{490}{0,9 * 1,25 * \sqrt{2}} = 308MPa \rightarrow VYHOVUJE$$

8.3 Pripojenie UPN140 na RHS300/16,0

Vo výkresoch označené ako DET.D2.



Obr. 8.1: N+Vz

Posúdenie zvarov(a=5mm)

Najväčšia osová sila v pozdĺžniku, ktorá musí byť prenesená zvarom činí $N=146\text{kN}$ a na bezpečnej strane ju kombinujeme s max. šmykovou silou $V=51\text{kN}$.

- Momenty od excentricity

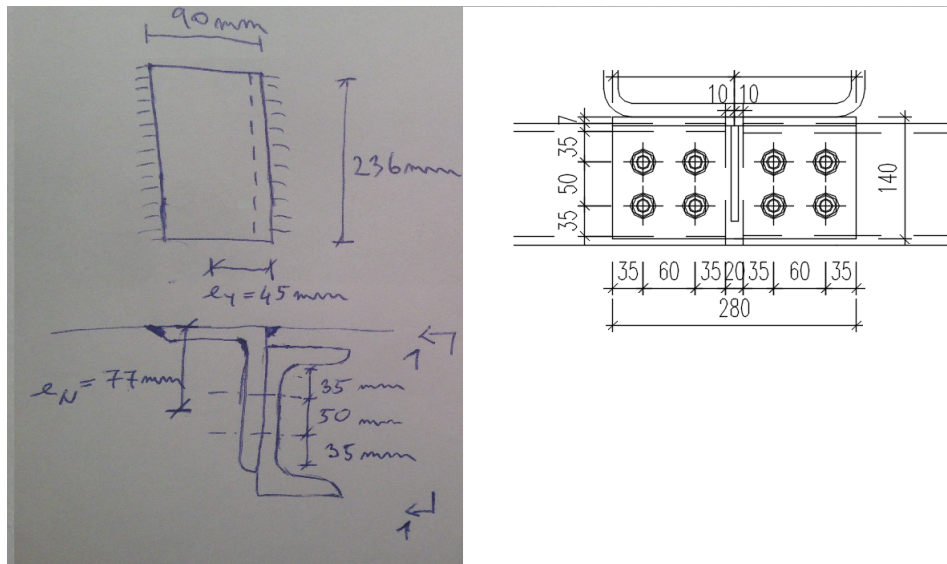
$$M_y = N * e_N = 146 * 0,077 = 11,24 \text{ kNm}$$

$$M_z = V * e_y = 51 * 0,045 = 2,34 \text{ kNm}$$

- Momenty zotrvačnosti zvareného obrazca

$$I_y = 0,8763 * 10^{-5} \text{ m}^4$$

$$I_z = 417,3 * 10^{-8} \text{ m}^4$$



Obr. 8.2: Detail D2

- $\sigma_{\perp}, \tau_{\perp}, \tau_{\parallel}$

- Príspevok od N

$$\tau_{\parallel} = \frac{N}{2l_1 a} = \frac{146 * 10^3}{2 * 236 * 5} = 61,9 MPa$$

- Príspevok od V

$$\sigma_{\perp} = \tau_{\perp} = \frac{F}{2al_1 * \sqrt{2}} = \frac{52 * 10^3}{2 * 5 * (236) * \sqrt{2}} = 15,6 MPa$$

- Príspevok od M_y

$$\sigma_{\perp} = \tau_{\perp} = \frac{M_y}{I_y \sqrt{2}} (l_1 + 2a)/2 = \frac{11,24}{0,8763 * 10^{-5} * \sqrt{2}} (0,236)/2 = 107,1 MPa$$

- Príspevok od M_z

$$\sigma_{\perp} = \tau_{\perp} = \frac{M_z}{I_z \sqrt{2}} (l_2 + 2a)/2 = \frac{2,34}{417,3 * 10^{-8} * \sqrt{2}} (0,09 + 2 * 0,005)/2 = 21,8 MPa$$

- Posúdenie

$$\sigma_{\perp} = 15,6 + 107,1 + 21,8 = 144,5 MPa$$

$$\tau_{\perp} = 15,6 + 107,1 + 21,8 = 144,5 MPa$$

$$\tau_{\parallel} = 61,9 MPa$$

$$\sqrt{144,5^2 + 3(144,5^2 + 61,9^2)} \leq \frac{490}{0,9 * 1,25}$$

$$308 MPa < 435 MPa \rightarrow VYHOVUJE$$

Šrouby(M16;8.8)

Šrouby musia preniesť max. osovú silu N=177kN a šmyk V=52kN.

- Únosnosť jednostrižného šroubu v šmyku

$$F_{V,Rd} = \frac{0,6A f_{ub}}{\gamma_{M2}} = \frac{0,6 * 201 * 800}{1,25} = 77,2kN$$

- Únosnosť v otlačení

- α_b

$$\alpha_b = \min\left(\frac{e_1}{3d_0}; \frac{f_{ub}}{f_u}; 1, 0\right) = \left(\frac{35}{3 * 18}; \frac{800}{490}; 1, 0\right) = 0,648$$

- k_1

$$k_1 = \min(2, 8 \frac{e_2}{d_0} - 1, 7; 2, 5) = \min(2, 8 * \frac{35}{18} - 1, 7; 2, 5) = 2, 5$$

- $F_{b,Rd}$

$$F_{b,Rd} = \frac{k_1 \alpha_b d f_u}{\gamma_{M2}} = \frac{2,5 * 0,648 * 16 * 7 * 490}{1,25} = 71,1kN$$

- Posúdenie

Maximálna šmyková sila na 1 šroub = $\sqrt{F^2 + N^2}/4 = 185/4 = 46,3kN$

$$F_{V,Ed} \leq F_{V,Rd}$$

$$46,3kN < 77,2kN \rightarrow VYHOVUJE$$

$$F_{V,Ed} \leq F_{b,Rd}$$

$$46,3 < 71,1kN \rightarrow VYHOVUJE$$

8.4 Posúdenie uloženia konštrukcie

Označenie ako vo výkrese. Geometria viď výkresovú dokumentáciu.

8.4.1 DET.Z1

Posúdenie patného plechu

Betón: C40/50A; Hĺbka $h_c=1500\text{mm}$

- Stanovenie návrhovej pevnosti betónu f_{Rdu}/f_{jd}

$$a_1 = \min(3 * 1930; 1930 + 1500; 3500) = 3430\text{mm}$$

$$b_1 = \min(3 * 2200; 2200 + 1500; 3500) = 3500\text{mm}$$

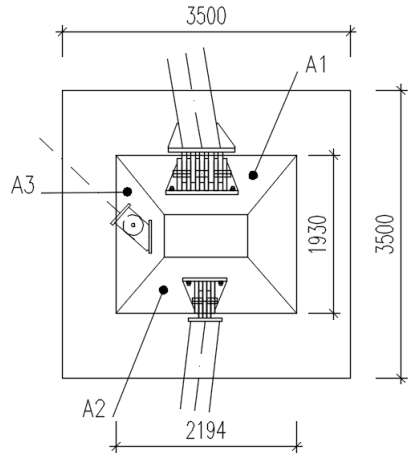
$$A_{c0} = 2,2 * 1,93 = 4,246\text{m}^2$$

$$A_{c1} = 3,43 * 3,5 = 12\text{m}^2$$

$$f_{Rdu} = f_{cd} \sqrt{\frac{A_{c1}}{A_{c0}}} = 40/1,5 \sqrt{\frac{12}{4,246}} = 44,8 \text{MPa} \leq 3,0 f_{cd} = 3 * 40/1,5 = 80 \text{MPa}$$

$$f_{jd} = \beta_j f_{Rdu} = \frac{2}{3} 44,8 = 29,9 \text{MPa}$$

- Posúdenie jednotlivých patných plechov



Obr. 8.3: DET.Z1

- Plocha A1-t=50mm

$$c = t \sqrt{\frac{f_{yd}}{3f_{jd}}} = 0,05 * \sqrt{\frac{355}{3 * 29,9}} = 100mm$$

$$A_{eff} = 0,592m^2$$

$$N_{Rd} = f_{jd}A_{eff} = 29,9 * 0,592 = 17,7MN$$

$$N_{Ed}/N_{Rd} = 13,4/17,7 = 0,76 < 1 \rightarrow OK$$

Prenos vodorovnej sily

$$V_{Ed} = 13373 * \sin(9,74) = 2263kN < V_{Rd} = 0,2 * 13373 = 2674,6kN \rightarrow OK$$

- Plocha A2-t=40mm

$$c = t \sqrt{\frac{f_{yd}}{3f_{jd}}} = 0,04 * \sqrt{\frac{355}{3 * 29,9}} = 80mm$$

$$A_{eff} = 0,285m^2$$

$$N_{Rd} = f_{jd}A_{eff} = 29,9 * 0,285 = 8,5MN$$

$$N_{Ed}/N_{Rd} = 3,5/8,5 = 0,42 < 1 \rightarrow OK$$

Prenos vodorovnej sily

$$V_{Ed} = 3500 * \sin(6,9) = 421kN < V_{Rd} = 0,2 * 3500 = 700kN \rightarrow OK$$

- Plocha A3-t=30mm

$$c = t \sqrt{\frac{f_{yd}}{3f_{jd}}} = 0,03 * \sqrt{\frac{355}{3 * 29,9}} = 60mm$$

$$A_{eff} = 0,06m^2$$

$$N_{Rd} = f_{jd}A_{eff} = 29,9 * 0,06 = 1,8MN$$

$$N_{Ed}/N_{Rd} = 0,41/1,8 = 0,23 < 1 \rightarrow OK$$

Prenos vodorovnej sily

$$V_{Ed} = 555 * \cos(41,3) * \cos(46,9) = 285kN > V_{Rd} = 0,2 * 410 = 82kN \rightarrow FALSE$$

Je nutné navrhnúť zarážku → **Návrh: HEB220;a=4mm**

Bude prenášať silu: $F = V_{Ed} - V_{Rd} = 285 - 82 = 205kN$

Stanovenie hĺbky zapustenia:

$$h = \frac{F}{bf_{cd}} = \frac{205}{0,2 * 40/1,5} = 39mm \rightarrow Navrh = 70mm$$

$$I_{svarek,obrazca} = 5,4437 * 10^{-5} m^4$$

Posúdenie na stojne:

$$\tau_{\parallel} = 205/(2 * 4 * 152) = 167,4 MPa$$

$$\tau_{\perp} = \sigma_{\perp} = \frac{0,205 * 0,07}{\sqrt{2} * 5,4437 * 10^{-5}} * 0,152/2 = 14 MPa$$

Podmienka plasticity:

$$\sqrt{14^2 + 3 * (167,4^2 + 14^2)} = 291,2 MPa < \frac{490}{0,9 * 1,25} = 435 MPa \rightarrow OK$$

Zvar na pásnici nerozhoduje, nebudeme posudzovať.

- **Posúdenie čapu na ploche A1; $N_{Ed} = 13373kN$**

- Navrhujem čap $\phi = 80mm$ z ocele triedy 10.9. Prípojné plechy sú hrúbky 50 a 60mm z ocele S450J0. Čap je navrhnutý s 10 strižnými rovinami.
- Únosnosť v strihu pre 10 strižných rovín

$$F_{V,Rd} = 10 * 0,6A \frac{f_{up}}{\gamma_{M2}} = 10 * 0,6 * 50,26 * 10^{-4} * \frac{1000}{1,25} = 24,1 MN > 13,4 MN \rightarrow OK$$

- Ovlačenie plechu a čapu

$$F_{b,Rd} = \frac{1,5dtf_y}{\gamma_{M0}} = \frac{1,5 * 0,08 * 0,06 * 410}{1,0} = 2,95 MN > 13,373/5 = 2,67 MN \rightarrow OK$$

$$F_{b,Rd} = \frac{1,5dtf_y}{\gamma_{M0}} = \frac{1,5 * 0,08 * 0,05 * 410}{1,0} = 2,46 MN > 13,373/6 = 2,23 MN \rightarrow OK$$

- Únosnosť v ohybe

$$M_{Rd} = 1,5W_{el} \frac{f_y}{\gamma_{M0}} = 1,5 * \frac{\pi * 0,08^3}{32} * \frac{900 * 10^3}{1,0} = 67,85 kNm$$

$$M_{Ed} = \frac{N_{Ed}/5}{8}(t + 4b + 2t_1) = \frac{13373/5}{8}(0,06 + 4 * 0,001 + 0,05 * 2) * 10^{-3} = 54,83 kNm$$

$$\frac{M_{Ed}}{M_{Rd}} = \frac{54,83}{67,85} = 0,81 < 1,0 \rightarrow OK$$

- Interakcia: ohyb+šmyk

$$(\frac{54,83}{67,85})^2 + (\frac{13373}{24100})^2 = 0,96 \leq 1,0 \rightarrow OK$$

• **Posúdenie čapu na ploche A2; $N_{Ed} = 3538kN$**

- Navrhujem čap $\phi = 65mm$ z ocele triedy 10.9. Prípojné plechy sú hrúbky 50mm z ocele S450J0. Čap je navrhnutý so 4 strižnými rovinami.
- Únosnosť v strihu pre 4 strižných rovín

$$F_{V,Rd} = 4 * 0,6 * 33,18 * 10^{-4} * \frac{1000}{1,25} = 6,37MN > 3,54MN \rightarrow OK$$

- Ovlačenie plechu a čapu

$$F_{b,Rd} = \frac{1,5 * 0,065 * 0,05 * 410}{1,0} = 2,0MN > 3,538/2 = 1,77MN \rightarrow OK$$

- Únosnosť v ohybe

$$M_{Rd} = 1,5 * \frac{\pi * 0,065^3}{32} * \frac{900 * 10^3}{1,0} = 36,4kNm$$

$$M_{Ed} = \frac{3538/2}{8} (0,05 + 4 * 0,001 + 0,05 * 2) * 10^{-3} = 27,4kNm$$

$$\frac{27,4}{36,4} = 0,75 < 1,0 \rightarrow OK$$

- Interakcia: ohyb+šmyk

$$(\frac{27,4}{36,4})^2 + (\frac{3538}{6370})^2 = 0,88 \leq 1,0 \rightarrow OK$$

• **Posúdenie čapu na ploche A3; $N_{Ed} = 555kN$**

- Navrhujem čap $\phi = 40mm$ z ocele triedy 10.9. Prípojné plechy sú hrúbky 30mm z ocele S450J0. Čap je navrhnutý s 2 strižnými rovinami.
- Únosnosť v strihu pre 2 strižných rovín

$$F_{V,Rd} = 2 * 0,6 * 12,56 * 10^{-4} * \frac{1000}{1,25} = 1,2MN > 0,555MN \rightarrow OK$$

- Ovlačenie plechu a čapu

$$F_{b,Rd} = \frac{1,5 * 0,04 * 0,03 * 410}{1,0} = 738kN > 555kN \rightarrow OK$$

- Únosnosť v ohybe

$$M_{Rd} = 1,5 * \frac{\pi * 0,04^3}{32} * \frac{900 * 10^3}{1,0} = 8,48kNm$$

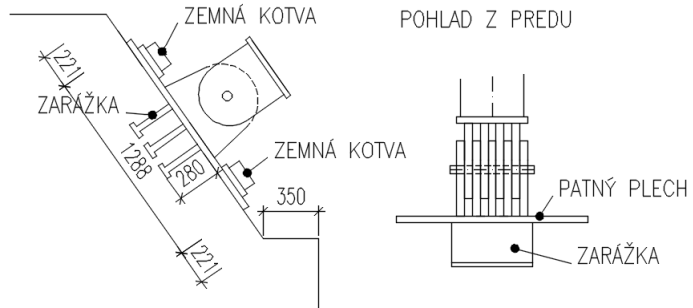
$$M_{Ed} = \frac{555}{8} (0,03 + 4 * 0,001 + 0,03 * 2) * 10^{-3} = 6,52kNm$$

$$\frac{6,52}{8,48} = 0,77 < 1,0 \rightarrow OK$$

- Interakcia: ohyb+šmyk

$$(0,77)^2 + (\frac{555}{1200})^2 = 0,81 \leq 1,0 \rightarrow OK$$

Kontrolu geometrie nebudem už uvádzať. Viď výkresy.



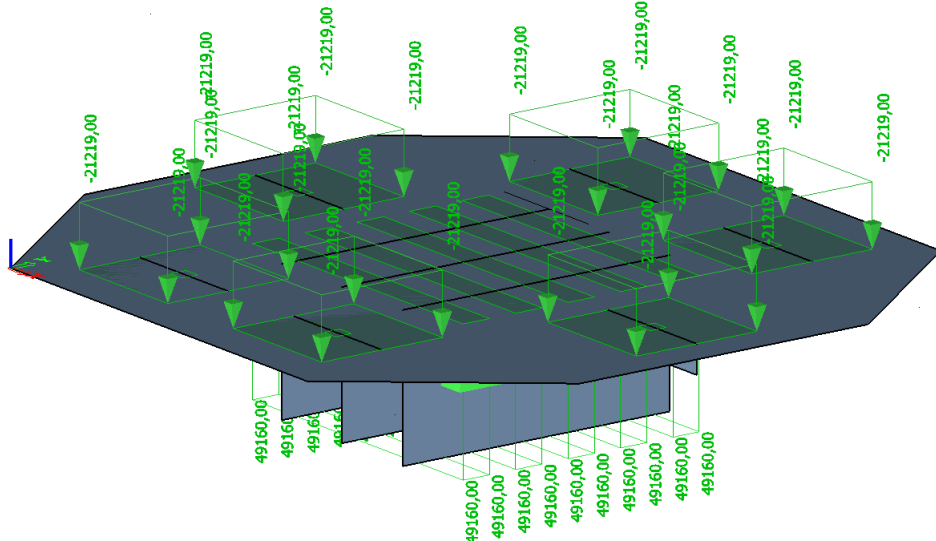
Obr. 8.4: DET.Z2

8.4.2 DET.Z2

Pre bezpečný prenos ľahových síl z oceľového prútu do horninového prostredia navrhujem 6kusov trvalých horninových kotiev VSL-0,6"/12(S1860). Tieto kotvy sú ukotvené priamo do patného plechu a teda návrhová ľahová sila nepôsobí na beton ale priamo na kotvu. Počet kotiev je riadený jednako deformáciami patného plechu, ako aj "zaručenou kotevnou silou v koreni"(nás by skôr zaujímala návrhová únosnosť v koreni a preto by bolo vhodné zjednotiť pojmy). Pre analýzu patného plechu sme zvolili dosko-stenový model, ktorý sme zaťažili volným plošným zaťažením, čím simulujeme plošný styk plechov. Kolmo na styčníkové plechy sme navrhli T-zarážky, ktoré sú zabetónované v základovom bloku. Vďaka zarážkam nepotrebujeme pri montáži šrouby na stabilizáciu polohy a vďaka kotvám nepotrebujeme šrouby na prenos ľahových síl. Hrúbka plechu je 40mm z ocele S355J2.

Podrobnosti ku kotvám by bolo ideálne riešiť s výrobcom, ktorý najlepšie pozná svoju technológiu. Budú vznikať totiž deformácie, ktoré ovplyvnia náklon konštrukcie(napr. preklz kotevného kužela). Avšak tomuto sme sa nevenovali, keďže to nie je predmetom práce.

Posúdenie prípoja

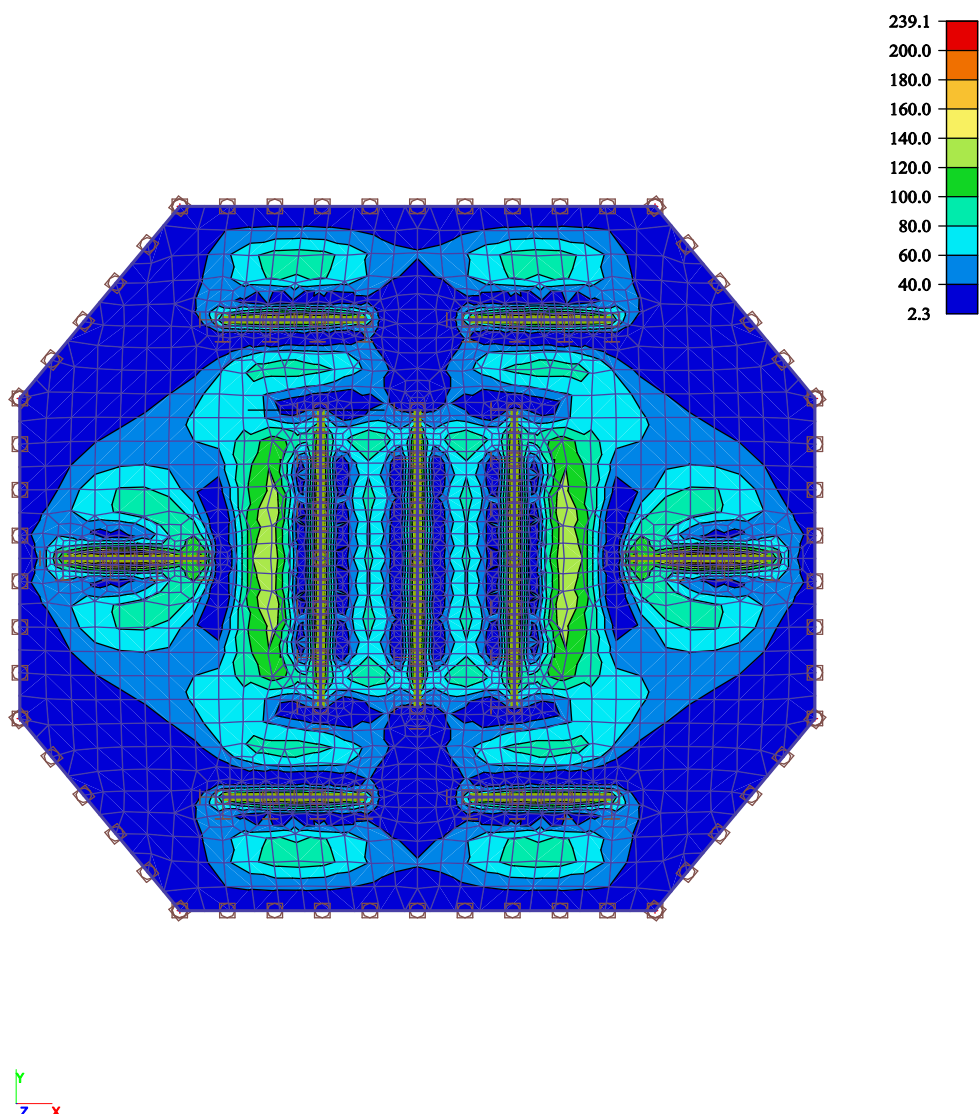


Obr. 8.5: Uvažované zaťaženie v kPa

Zrovnávacie napäťia - von Mises

SCIAENGINEER

sigE+ [MPa]

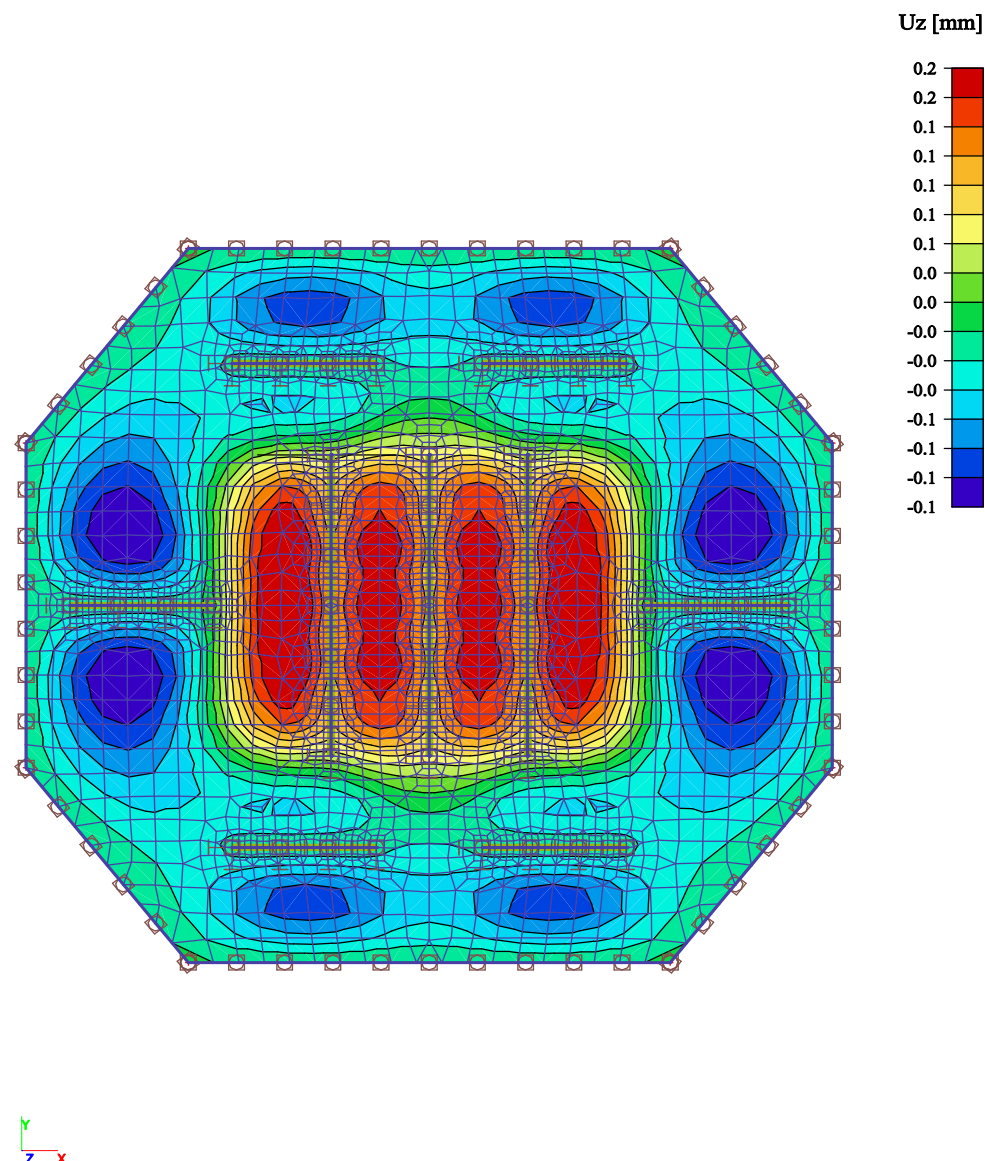


Result : sigE+

Project : -
Printed : 02.09.2018 11:11

Posun kolmo na rovinu plechu

SCIAENGINEER



Posúdenie vytrhnutia kužela betónu zarážkou

Návrhová sila $F=151\text{kN}/\text{m}$

- $N_{Rk,c}^0$

$$N_{Rk,c}^0 = k_1 h_{ef}^{1,5} \sqrt{f_{ck}} = 8,9 * 0,25^{1,5} * \sqrt{35} = 6,58\text{MN}$$

- $\psi_{A,N}$

$$A_{c,N}^0 = (3 * 0,25 + 0,354) * 0,51 = 0,56\text{m}^2$$

$$A_{c,N} = 0,18\text{m}^2 (\text{z jednoduene kolm priemet})$$

$$\psi_{A,N} = \frac{A_{c,N}}{A_{c,N}^0} = \frac{0,18}{0,56} = 0,32$$

- $\psi_{S,N} = \psi_{re,N} = 1,0$

- $N_{Rd,c}$

$$N_{Rd,c} = N_{Rk,c}^0 \psi_{A,N} \psi_{S,N} \frac{\psi_{re,N}}{\gamma_{Mc}} = 6,58 * 0,32 * 1,0 * 1,0 / 1,5 = 1,4\text{MN}$$

$\rightarrow OK$

Posúdenie čapu $N_{Ed} = 6735\text{kN}$

- Navrhujem čap $\phi = 70\text{mm}$ z ocele triedy 10.9. Prípojné plechy sú hrúbky 50mm z ocele S450J0. Čap je navrhnutý s 8 strižnými rovinami.
- Únosnosť v strihu pre 8 strižných rovín

$$F_{V,Rd} = 8 * 0,6 * 38,48 * 10^{-4} * \frac{1000}{1,25} = 14,78\text{MN} > 6,74\text{MN} \rightarrow OK$$

- Ovlačenie plechu a čapu

$$F_{b,Rd} = \frac{1,5 * 0,07 * 0,05 * 410}{1,0} = 2,15\text{MN} > 6,735/4 = 1,68\text{MN} \rightarrow OK$$

- Únosnosť v ohybe

$$M_{Rd} = 1,5 * \frac{\pi * 0,06^3}{32} * \frac{900 * 10^3}{1,0} = 45,46\text{Nm}$$

$$M_{Ed} = \frac{6735/4}{8} (0,05 + 4 * 0,001 + 0,05 * 2) * 10^{-3} = 32,4\text{Nm}$$

$$\frac{32,4}{45,46} = 0,71 < 1,0 \rightarrow OK$$

- Interakcia: ohyb+šmyk

$$(0,71)^2 + \left(\frac{6735}{14780}\right)^2 = 0,72 \leq 1,0 \rightarrow OK$$

KAPITOLA
DEVIATA

ZÁVER

V rámci diplomovej práce sme vyhodnotili architektonický návrh, ktorý nesplňoval nami stanovené kritéria a preto sme sa vydali cestou návrhu vlastnej nosnej konštrukcie. Vykonali sme podrobný rozbor zaťaženia a pomocou výpočetnej techniky vyšetrili priebeh vnútorných sôl, napäť a deformácií. Bol vykonaný podrobný návrh vybraných detailov. Na záver práce bola vytvorená projektová dokumentáciu v stupni DRS(dokumentácia pre realizáciu stavby).

ZOZNAM OBRÁZKOV

1.1	Pohľad na pôvodný návrh	1
1.2	3D pohľad	2
1.3	Vyústenie výťahu	2
1.4	Statický model	4
1.5	Znázornenie zmien v pôvodnom návrhu	4
1.6	Základné profily-V.A	5
1.7	Pôvodný verzus finálny tvar	5
1.8	Finálny tvar mostíka	6
2.1	3D model v SCII	7
2.2	Označenie hlavných nosníkov	8
2.3	Názvy prvkov jednotlivých nosníkov	9
2.4	Označenie a názvy prvkov stuženia	15
2.5	Statický model-ukážka	16
2.6	Označenie a názvy prvkov horných priečnikov	20
2.7	Statický model-ukážka	21
2.8	Pohľad na dolné a horné schodisko	24
2.9	Statický model - dolné schodisko	25
2.10	Statický model - horné schodisko	26
2.11	Horné plošiny	29
2.12	Celková konštrukcia + HP1	30
2.13	HP2 + HP3	31
2.14	Umiestnenie dráhy výťahu	36
2.15	Model uloženia konštrukcie	37
3.1	Mapa zaťaženia - trapéz	39
3.2	Mapa zaťaženia - pororošt	40
3.3	Mapa zaťaženia - technologie	41
3.4	Kategórie a parametre terénu	42
3.5	Referenčná výška	43
3.6	Interné uzlové body	45
3.7	Hodnoty konštrukčného tlmenia	45
3.8	Aproximácia ekvivalentnej hmotnosti	46
3.9	Súčinitel $c_{f,0}$ pre pravouhlé prierezy	46
3.10	Súčinitel ψ_r	47
3.11	Stanovenie pomernej plnosti	47
3.12	Súčinitel účinku koncov	48
3.13	Stanovenie $c_{f,0}$	48
3.14	Ekvivalentná drsnosť povrchu k	49
3.15	Ukážka otvorených prierezov	49

3.16	Súčinitele tlaku $c_{p,net}$	49
3.17	Rozloženie zaťaženia	50
3.18	Súčiniteľ závetria ψ_s	50
3.19	Strouhalovo číslo	51
3.20	Kombinácia skupín hmôt	52
3.21	Vlastné frekvencie	59
3.22	1. vlastný tvar	59
3.23	2. vlastný tvar	60
3.24	3. vlastný tvar	60
3.25	Zaťaženie vetrom x	61
3.26	Súčiniteľ expozície	66
3.27	Zaťaženie snehom	67
3.28	Detail - zjazdová plošina(horné priečniky)	67
3.29	Detail - horná plošina HP3	68
3.30	Typ konštrukcie	68
3.31	Rozsah teplôt	70
3.32	Ekvivalentné zložky teplotného spádu	71
3.33	Súčiniteľ k_{sur}	71
3.34	Zaťaženie od $T_{N,neg}$	72
3.35	Zaťaženie od $T_{N,pos}$	72
3.36	Zaťaženie od $T_{M,heat}$	73
3.37	Zaťaženie od $T_{M,cool}$	73
3.38	Rozloženie síl bez vplyvu vetra	74
3.39	Rozloženie síl vplyvom vetra	75
3.40	Vyobrazenie zaťaženia v SCII	75
5.1	1. vlastný tvar vybočenia - vybočuje B481	92
5.2	Náhradné vodorovné sily	94
5.3	Zaťažovací stav - imperfekcie	94
5.4	Osové sily - lineárny výpočet	95
6.1	B455-Obálka VS	98
6.2	B403-NK 6.10.b/vietor/x/neg	100
6.3	B416-NK 6.10.b/vietor/x/neg	103
6.4	B426-Obálka VS	106
6.5	B481-NK 6.10.b/vietor/x/neg	107
6.6	B401-Obálka VS	110
6.7	B916-NK 6.10.b/vietor/y/pos	112
6.8	Lokalizácia rozhodujúcich prvkov	117
6.9	B149-NK 6.10.b/vietor/x/heat	121
6.10	B149 - kritický moment podľa EC3-1-1 NB.3.1	122
6.11	B791-NK 6.10.b/sneh/vietor/x/neg	125
6.12	B791-NK 6.10.b/pos/vietor/x	129
6.13	B543 - kritický moment podľa EC3-1-1 NB.3.2	131
6.14	B550-NK 6.10.b/sneh/vietor/y/heat	132
6.15	B550 - kritický moment podľa EC3-1-1 NB.3.2	134
6.16	B791-NK 6.10.b/vietor/x/pos	142
6.17	B810-NK 6.10.b/pos/vietor/x/neg	144
6.18	B810 - kritický moment podľa EC3-1-1 NB.3.2	145
6.19	B810-NK 6.10.b/pos/vietor/x/neg	149
6.20	B271 - kritický moment podľa EC3-1-1 NB.3.2	150
8.1	N+Vz	169

8.2	Detail D2	170
8.3	DET.Z1	172
8.4	DET.Z2	175
8.5	Uvažované zaťaženie v kPa	175

LITERATÚRA

- [1] Studnička J., Medřický V.: *Ocelové a dřevené konstrukce 10*, ČVUT, Praha 2001, ISBN 80-01-01891-1
- [2] Sokol Z., Wald.F.: *Ocelové konstrukce-tabulky*, ČVUT, Praha 2013, ISBN 978-80-01-04655-5
- [3] STN EN 1991-1-1: *Eurokód 1:Zaťaženia konštrukcií-Časť 1-1: Všeobecné zaťaženia-Objemová tiaž, vlastná tiaž a úžitkové zaťaženia budov*
- [4] STN EN 1991-1-3: *Eurokód 1:Zaťaženia konštrukcií-Časť 1-3: Všeobecné zaťaženia-zaťaženie snehom*
- [5] STN EN 1991-1-4: *Eurokód 1:Zaťaženia konštrukcií-Časť 1-4: Všeobecné zaťaženia-zaťaženie vetrom*
- [6] STN EN 1991-1-5: *Eurokód 1:Zaťaženia konštrukcií-Časť 1-5: Všeobecné zaťaženia-zaťaženia účinkami teploty*
- [7] STN EN 1990: *Eurokód: Zásady navrhovania konštrukcií*
- [8] STN EN 1993-1-1: *Eurokód 3: Navrhovanie oceľových konštrukcií-Časť 1-1: Všeobecné pravidlá a pravidlá pre budovy*
- [9] STN EN 1993-1-8: *Eurokód 3: Navrhovanie oceľových konštrukcií-Časť 1-8: Navrhovanie styčníkov*
- [10] Jeffrey A. Packer., Jaap Wardenier, Xiao-Ling Zhao, Addie van der Vegte und Joshiaki Kurobane: *Anschlüsse mit rechteckigen Hohlprofilen unter vorwiegend ruhender Beanspruchung*, CIDECT 2009, ISBN 978-3-938817-08-7
- [11] J. Wardenier: *Hollow sections in Structural Applications*, CIDECT 2001, ISBN 0-471-49912-9